



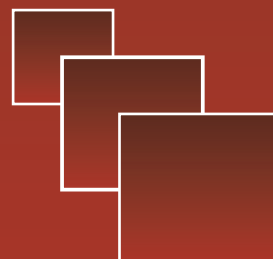
Вестник

Уральского
государственного
университета
путей сообщения

Научный журнал

Herald
of the Ural State University
of Railway Transport

Scientific journal



Научный журнал
«Вестник Уральского государственного
университета путей сообщения»
№ 1 (21), 2014 год

**Главный редактор,
научный редактор**
Василий Михайлович Сай

Литературный и выпускающий редактор
Людмила Станиславовна Барышникова

Техническое редактирование и верстка
Андрей Викторович Трубин

Дизайн обложки
Ольга Петровна Игнатьева

Учредитель и издатель:
Уральский государственный
университет путей сообщения
(УрГУПС)

Адрес для корреспонденции:
620034, Екатеринбург,
ул. Колмогорова, 66, УрГУПС,
редакция журнала
«Вестник УрГУПС»

Телефон редакции: (342) 221-25-60.
Веб-сайт: www.vestnik.usurt.ru;
e-mail: vestnik@usurt.ru.

Журнал издается по решению
ученого совета университета
©УрГУПС

Свидетельство о регистрации
средства массовой информации
Роскомнадзора ПИ № ФС77–38188
от 30 ноября 2009 г.

Подписной индекс журнала
в общероссийском
каталоге «Роспечать» — 70070

Отпечатано в издательстве
Уральского государственного
университета путей сообщения,
620034, Екатеринбург,
ул. Колмогорова, 66.

Подписано в печать 24.04.2014.

Тираж 300. 1-й з-д: 1–100.
Формат 70×100/16.
Заказ 59

Scientific journal «Herald of the
Ural State University
of Railway Transport»
№ 1 (21), 2014

**Editor-in-chief,
Science editor**
Vasily M. Say

Script and copy editor
Lyudmila S. Baryshnikova

Technical editing and make-up
Andrey V. Trubin

Cover design
Olga P. Ignatjeva

Founder and publisher:
The Ural State University
of Railway Transport
(USURT)

Correspondence address:
«Herald of USURT» editorial office
The Ural State University of
Railway Transport»
66 Kolmogorov Street,
620034, Ekaterinburg,

Telephone: +7 (342) 221-25-60.
Web-site: www.vestnik.usurt.ru;
e-mail: vestnik@usurt.ru.

The journal is published by the decision of
University Academic Board
©USURT

Certificate of registration of mass media
by the Federal Service for Supervision
in the sphere of communications,
information technology and mass communications
(Roskomnadzor) PI № FS77–38188
of November 30, 2009.

Subscription reference number of the issue
in the All Russia Catalogue «Rospechat» — 70070

Printed in the Publishing house
of the Ural State University of
Railway Transport
66 Kolmogorov Street,
620034, Ekaterinburg.

Passed for printing 24.04.2014.

Circulation 300. 1-й з-д: 1–100.
Format 70×100/16.
Order 59

Международный редакционный совет

Кейт Бурнхам, профессор, Университет г. Ковентри, факультет машиностроения и вычислительной техники, Великобритания

Владимир Анциферов, д-р техн. наук, профессор академик РАН, Пермь, Россия

Петер Копачек, профессор, Венский технологический университет, Венский институт транспорта и робототехники, интеллектуальный транспорт и робототехника, Вена, Австрия

Владимир Цыганов, д-р техн. наук, профессор, Институт проблем управления Российской академии наук, Москва, Россия

Марек Ситаж, профессор, Силезский технический университет, транспортный факультет, кафедра «Железнодорожный транспорт», Польша

Клаус Беккер, профессор, Университет прикладных наук г. Кельна, Институт автомобильной техники, лаборатория NVH, Германия

Василий Сай, д-р техн. наук, профессор, Уральский государственный университет путей сообщения, Екатеринбург, Россия

Редколлегия

Вовк Алексей Александрович, д-р экон. наук, профессор, МГУПС, Москва

Воскресенская Тамара Петровна, д-р техн. наук, профессор, СибГИУ, Новокузнецк

Воробьев Александр Алексеевич, д-р техн. наук, профессор, МГУПС, Москва

Ефимов Александр Васильевич, канд. техн. наук, профессор, УрГУПС, Екатеринбург

Корнилов Сергей Николаевич, д-р техн. наук, профессор, МГТУ, Магнитогорск

Нестеров Валерий Леонидович, д-р техн. наук, профессор, УрГУПС, Екатеринбург

Сапожников Валерий Владимирович, д-р техн. наук, профессор, С.-ПГУПС, Санкт-Петербург

Черемисин Василий Титович, д-р техн. наук, профессор, ОмГУПС, Омск

Щурин Константин Владимирович, д-р техн. наук, профессор, ОГУ, Оренбург

Тимофеева Галина Адольфовна, д-р физ.-мат. наук, профессор, УрГУПС, Екатеринбург

International editorial board

Keith Burnham, professor, Coventry University, Faculty of Engineering and Computing, Great Britain

Vladimir Antsiferov, DSc, professor, academician of Russian Academy of Sciences, Perm, Russia

Peter Kopachek, professor, Vienna University of Technology, Vienna Institute of Transportation and Robotics, Intelligent Transportation and Robotics, Vienna, Austria

Vladimir Tsyganov, DSc, professor, Russian Academy of Sciences, Institute of Control Sciences, Moscow, Russia

Marek Sitarz, professor, Silesian University of Technology, Faculty of Transport, Railway Engineering Department, Poland

Klaus Becker, professor, Cologne University of Applied Sciences, Institute of Automotive Engineering, NVH Laboratory, Germany

Vasily Say, DSc, professor, The Ural State University of Railway Transport, Ekaterinburg, Russia

Editorial board

Vovk Alexei Aleksandrovich, DSc, professor, Moscow State University of Railway Transport, Moscow

Voskresenskaya Tamara Petrovna, DSc, professor, Siberian State Industrial University, Novokuznetsk

Vorobjev Alexander Alexeevich, DSc, professor, Moscow State University of Railway Transport, Moscow

Efimov Alexander Vasilievich, DSc, professor, The Ural State University of Railway Transport, Ekaterinburg

Kornilov Sergey Nikolaevich, DSc, professor, Magnitogorsk State Technical University, Magnitogorsk

Nesterov Valery Leonidovich, DSc, professor, The Ural State University of Railway Transport, Ekaterinburg

Sapozhnikov Valery Vladimirovich, DSc, professor, Saint-Petersburg State University of Railway Transport, Saint-Petersburg

Cheremisin Vasily Titovich, DSc, professor, Omsk State University of Railway Transport, Omsk

Shchurin Konstantin Vladimirovich, DSc, professor, Orenburg State University, Orenburg

Timofeeva Galina Adolfova, DSc, professor, The Ural State University of Railway Transport, Ekaterinburg

Содержание

Математические модели технологических процессов

- 4 Н. П. Чуев, А. С. Скрипай. Аналитические исследования динамики численности подвижного состава

Механика машин и роботов

- 14 И. А. Добычин, М. Ю. Градинаров. Особенности метода акселерометров при исследовании движения колесной пары

Организация и логистика

- 30 Н. К. Горяев. Совершенствование нормирования расхода топлива с использованием спутниковой навигации

Управление. Экономика

- 34 И. Д. Громов, Ю. А. Москвина. Графоаналитическая модель организационной сети с разделенными интересами
- 41 В. М. Воронин, З. А. Наседкина. Перспективные приложения когнитивной науки

Организация образовательного процесса

- 56 Е. А. Малыгин. Практико-ориентированная подготовка специалистов
- 65 Ю. А. Савельев. Гипотезы теории мнимых чисел

Строительные конструкции

- 75 А. Х. Ягофаров, Х. Ягофаров, А. Б. Разумов. Анализ деформативности и пример проектирования неразрезной балки переменной жесткости

Аспирантская тетрадь

- 94 А. Ю. Инжеватова. Снижение уровня производственного травматизма за счет повышения надежности работника
- 100 А. В. Барковский. Эволюция партийной избирательной системы современной России
- 109 В. В. Курейко, Ю. А. Москвина. Влияние личности преподавателя на успешность студента
- 116 Г. В. Шишкова. Социологические аспекты детерминант профессиональных деформаций
- 123 А. О. Богатырko, А. В. Григорьева. Индивидуально-образовательный маршрут студента как механизм реализации личностно-ориентированного обучения

Contents

Mathematic models of technological processes

- 4 N. P. Chuev, A. S. Skripay. Analytical studies of dynamics of rolling stock size

Mechanics of machines and robots

- 14 I. A. Dobychin, M. Yu. Gradinarov. Specifics of accelerometer method in wheelset motion study

Organization and logistics

- 30 N. K. Goryaev. Rationing of fuel consumption improvement with the use of satellite navigation

Management. Economics

- 34 I. D. Gromov, Yu. A. Moskvina. Graphoanalytical model of organization network with shared interests
- 41 V. M. Voronin, Z. A. Nasedkina. Prospective applications of cognitive science

Study process organization

- 56 E. A. Malygin. Practice-oriented training of specialists
- 65 Yu. A. Savelyev. Imaginary numbers theory hypotheses

Building structures

- 75 A. Kh. Yagofarov, Kh. Yagofarov, A. B. Razumov. Deformability analysis and design example of a continuous beam with variable stiffness

Research of young scientists

- 94 A. Yu. Inzhevatova. Reduction of occupational injury rate by improving reliability of workers
- 100 A. V. Barkovsky. Evolution of the party electoral system in today's Russia
- 109 V. V. Kureyko, Yu. A. Moskvina. Influence of the teacher's personality on student's success
- 116 G. V. Shishkova. Sociological aspects of professional deformation determinants
- 123 A. O. Bogatyryko, A. V. Grigoryeva. Individual educational route of a student as a student-centered approach implementing mechanism

Математические модели технологических процессов

УДК 51-74:629.4.058 (65)

Н. П. Чуев, А. С. Скрипай

Аналитические исследования динамики численности подвижного состава

UDC 51-74:629.4.058 (65)

N. P. Chuev, A. S. Skripay

Analytical studies of dynamics of rolling stock size

Аннотация

В работе рассматривается математическая непрерывная модель динамики численности вагонного парка в течение определенного периода эксплуатации подвижного состава. В соответствии с требованиями к построению математической модели, данная модель содержит важные сведения об исследуемом объекте; модель достаточно проста, может быть с минимальными усилиями исследована, а также используется для планирования и прогнозирования численности вагонного парка.

Одной из наиболее важных проблем экономической эффективности промышленных предприятий является обеспечение надежной работы объектов подвижного состава. На основе построенной дифференциальной модели находится аналитическое и численное решение системы, моделирующей процесс динамики подвижного состава, определяется численность и время текущего и капитального ремонта средств подвижного состава.

Цель настоящей статьи — с помощью математических методов найти теоретическое обоснование эффективного управления стабильной численности подвижного состава. Выработать условия, при которых возможно анализировать динамику распределения объектов по различным фазам жизненного цикла подвижного состава, по состоянию пробега объектов подвижного состава.

В работе использовались методы теории решения и исследования дифференциального уравнения с частными производными, систем обыкновенных дифференциальных уравнений. В работе использовался пакет MathCAD 14 для численных решений систем дифференциальных уравнений.

Ключевые слова: математическая модель; дифференциальные уравнения с частными производными; системы обыкновенных дифференциальных уравнений; подвижной состав; вагонный парк.

Summary

The paper analyzes the mathematical continuous model of rolling stock size dynamics for a certain period of operation of rolling stock. In accordance with the requirements of construction of a mathematical model, the model contains important information about the object, the model is quite simple, can be analyzed with minimal effort, and also can be used for planning and forecasting the size of the rolling stock.

One of the most important problems of economic efficiency of industrial enterprises is to ensure reliable operation of rolling stock objects. On the basis of the developed differential model, analytical and numerical solution is found for the system modeling dynamics process of rolling stock; size and duration of routine repair and overhaul of rolling stock assets is determined.

The paper seeks to find a theoretical justification for effective management of a stable rolling stock size, with the help of mathematical methods, to work out the conditions under which it is possible to analyze the dynamics of objects distribution by different phases of the rolling stock life cycle, by rolling stock mileage.

The paper uses the methods of theory of solution and research of differential equations with partial derivatives, ordinary differential systems. MathCAD 14 for numerical solutions of differential equations is used.

Keywords: mathematical model, differential equations with partial derivatives, ordinary differential systems; rolling stock; car fleet.

Николай Павлович Чуев, канд. физ.-мат. наук, доцент; кафедра «Высшая и прикладная математика» Уральского государственного университета путей сообщения; Екатеринбург, Россия. E-mail: n_chuev@mail.ru.

Александра Сергеевна Скрипай, студент; Уральский государственный университет путей сообщения; Екатеринбург, Россия. E-mail: Alexandra.skripay@gmail.com.

Nikolay Pavlovich Chuev, PhD in Physics & Mathematics, Associate Professor, Higher and Applied Mathematics Department, Ural State University of Railway Transport, Ekaterinburg, Russia. E-mail: n_chuev@mail.ru.

Aleksandra Sergeevna Skripay, student, Ural State University of Railway Transport, Ekaterinburg, Russia. E-mail: Alexandra.skripay@gmail.com.

Важная проблема развития экономики страны (региона) — достижение высокого уровня организации и управления процессом перевозок грузов, обеспечение надежности транспорта, связанной с содержанием всей техники в надежном рабочем состоянии, ритмичности проведения графиков обследования подвижного состава (ПС), обеспечения качественного ремонта. Последнее особенно существенно, так как в случае, когда незапланированный и многочисленный вывод в ремонт, вывод из эксплуатации ПС может привести к серьезным сбоям в обеспечении ритмичной работы всех звеньев перевозочного процесса. Для устранения возможных рисков нехватки вагонного парка необходимо рассматривать сложные системы взаимосвязей. Моделирование, в частности математическое моделирование, дает возможность вскрыть общие закономерности наблюдаемых процессов и позволит решать прикладные, практические задачи эксплуатации подвижного состава.

Математическое моделирование состоит из четырех основных этапов.

Первый этап — формулирование законов, связывающих основные объекты модели. Этот этап требует широкого знания фактов, относящихся к изучаемым явлениям, и глубокого проникновения в их взаимосвязи. Эта стадия завершается записью в математических терминах сформулированных качеств, представлений о связях между объектами модели.

Второй этап — исследование математических задач, к которым приводят математические модели (ММ). Основной вопрос — решение прямой задачи, получение в результате анализа модели выходных данных (теоретических следствий) для дальнейшего их сопоставления с результатами наблюдений изучаемых явлений. На этом этапе важную роль приобретают математический аппарат, необходимый для анализа ММ, и вычислительная техника — мощное средство для получения количеств, выходной информации

как результата решения сложных математических задач. Часто математические задачи, возникающие на основе ММ различных явлений, бывают одинаковыми (например, основная задача линейного программирования отражает ситуации различной природы). Это дает основание рассматривать такие типичные математические задачи как самостоятельный объект, абстрагируясь от изучаемых явлений.

Третий этап — выяснение того, удовлетворяет ли принятая гипотетическая модель критерию практики, то есть выяснение вопроса, согласуются ли результаты наблюдений с теоретическими следствиями модели в пределах точности наблюдений. Если модель была вполне определена — все параметры ее были заданы, то определение отклонений теоретических следствий от наблюдений дает решения прямой задачи с последующей оценкой отклонений. Если отклонения выходят за пределы точности наблюдений, то модель не может быть принята. Часто при построении модели некоторые ее характеристики остаются неопределенными. Задачи, в которых определяются характеристики модели (параметрические, функциональные) таким образом, чтобы выходная информация была сопоставима в пределах точности наблюдений с результатами наблюдений изучаемых явлений, называются обратными задачами. Если ММ такова, что ни при каком выборе характеристик этим условиям нельзя удовлетворить, то модель непригодна для исследования рассматриваемых явлений. Применение критерия практики к оценке ММ позволяет делать вывод о правильности положений, лежащих в основе подлежащей изучению (гипотетической) модели. Этот метод является единственным методом изучения недоступных нам непосредственно явлений макро- и микромира.

Четвертый этап — последующий анализ модели в связи с накоплением данных об изучаемых явлениях и модернизация модели. В процессе развития

науки и техники данные об изучаемых явлениях все более и более уточняются и наступает момент, когда выводы, получаемые на основании существующей ММ, не соответствуют нашим знаниям о явлении. Таким образом, возникает необходимость построения новой, более совершенной ММ.

В настоящее время наблюдается глубокое проникновение математических методов в самые разнообразные сферы человеческой деятельности, в том числе при решении организационно-технических транспортных проблем и в развитии транспорта в целом.

Математическое исследование транспортных потоков началось в пятидесятые годы прошлого столетия. В 1932 г. выдающимся русским математиком С.А. Чаплыгиным издана работа «Новый метод интегрирования общего дифференциального уравнения движения поезда», в которой проведены исследования о влиянии профиля на работу железнодорожных поездов [1].

Первая в мировой литературе монография Ф. Хейта [2] по теории транспортных потоков появилась только в 1963 г. Позднее в России и за рубежом опубликованы многочисленные книги, статьи, посвященные математическому моделированию транспортных систем. Для анализа использовались методы теории вероятностей и теории массового обслуживания. Для решения задачи применялись методы линейного программирования. В работах [3, 4] по математическому моделированию транспортных потоков предложена гидродинамическая модель с анализом основополагающих понятий «распад разрыва», «волны разряжения», «ударные волны», которые являются основными в теории газовой динамики.

Цель и главная задача настоящей работы — построение математической модели динамики численности в течение определенного периода эксплуатации ПС. Необходимо, чтобы данная модель, с одной стороны, содержала необходимые сведения об исследуемом объекте, а с другой стороны, могла бы

с минимальными усилиями быть исследована, а также использована для планирования, сравнения и прогнозирования необходимой численности вагонного парка логическим путем.

Методы решения

Используются аналитические методы теории дифференциальных уравнений с частными производными первого порядка, системы обыкновенных дифференциальных уравнений [5–7] и системы их решения в MathCAD 14 [8].

Дифференциальная математическая модель разрабатывалась на основе изучения исходной информации, установления закономерностей взаимодействий операторов вагонных потоков, ремонтных предприятий. Составление уравнений опиралось на учет реальных закономерностей, присущих исследуемому процессу.

В данном исследовании использовалась «гидродинамическая» теория описания динамики подвижного состава, а именно: закон сохранения масс при наличии «источников» и «стоков» [3, 4].

Пусть $n(t, s)$ — погонная плотность транспортных средств, т.е. число объектов подвижного состава в момент времени t на единицу пробега s в некотором географическом регионе. Обозначим S — общий пробег подвижного состава до отправки объекта на капитальный ремонт или списание.

Общая численность объектов подвижного состава в момент времени t определим по формуле (1)

$$N(t) = \int_0^S n(t, s) ds, t > 0. \quad (1)$$

В начальный момент задается распределение подвижного состава как функция от переменной s :

$$n(0, s) = \varphi(s), 0 \leq s \leq S. \quad (2)$$

При эксплуатации подвижного состава численность подвижного состава уменьшается из-за вывода в ремонт, аварий, выхода из строя отдельных

механизмов, перевода в другой регион и т.п., а также увеличивается за счет ввода в эксплуатацию после ремонта, приобретения новых средств подвижного состава, перевода из других регионов и т.п.

Плотность распределения «стоков» и «источников» задается выражением:

$$F(t, s, n) = (-\alpha(t, s) + \beta(t, s))n(t, s) + f(t, s), \quad (3)$$

где $\alpha(t, s)$ и $\beta(t, s)$ — коэффициенты убыли и прибыли подвижного состава внутри региона соответственно; $f(t, s)$ — функция, характеризующая плотность дополнительных источников поступления подвижного состава.

Скорость изменения численности подвижного состава на произвольном фиксированном отрезке $[s_1, s_2] \cap [0, S]$ пропорциональна прибыли и убыли подвижного состава в зависимости от $k(t, s) = -\alpha(t, s) + \beta(t, s) > 0$ или $k(t, s) < 0$ и плотности дополнительных источников, т.е.

$$\frac{d}{dt} N_{s_1, s_2}(t) = \int_{s_1}^{s_2} [(-\alpha(t, s) + \beta(t, s))n(t, s) + f(t, s)] ds. \quad (4)$$

Дифференцируя левую часть и считая, что

$$s = s_0 + vt, \quad (5)$$

где v — средняя выборочная скорость передвижения вагонов, найденная на основе статистического анализа функционирования подвижного состава оператора; s_0 — начальный пробег вагона.

$$\int_{s_1}^{s_2} \left(\frac{\partial n}{\partial t} + \frac{\partial n}{\partial s} \frac{ds}{dt} \right) ds = \int_{s_1}^{s_2} (-\alpha(t, s)n + \beta(t, s)n + f(t, s)) ds. \quad (6)$$

В силу произвольности отрезка $[s_1, s_2]$ получим дифференциальное уравнение с частными производными первого порядка с учетом (5)

$$\frac{\partial n}{\partial t} + v \frac{\partial n}{\partial s} = k(t, s)n + f(t, s) \quad (7)$$

при $t \geq 0; s \in [0, S]$.

Уравнение (7) в математической физике рассматривается как уравнение переноса [9].

Если проинтегрировать (7) по $s \in [0, S]$, то получим уравнение, описывающее процесс изменения общего числа подвижного состава:

$$\frac{d}{dt} \int_0^R n(t, s) ds = \int_0^R (k(t, s)n(t, s) + f(t, s)) ds,$$

если $k(t, s) = \text{const}$, тогда

$$\frac{dN(t)}{dt} = kN(t) + F(t), \quad (8)$$

где

$$F(t) = \int_0^S f(t, s) ds. \quad (9)$$

Отсюда следует, что уравнение (8) является недостаточным для глубокого анализа динамики эксплуатационного периода объектов подвижного состава, т.к. отсутствует величина пробега.

Рассмотрим задачу Коши (задачу с начальными условиями) для уравнения (7) с условием (2), при этом $v = \text{const}$.

$$\frac{\partial n}{\partial t} + v \frac{\partial n}{\partial s} = k(t, s)n + f(t, s),$$

$$n(0, s) = \varphi(s).$$

Пусть функции $k(t, s)$, $f(t, s)$, $\varphi(s)$ принадлежат к классу C^1 , т.е. являются непрерывными и имеющими непрерывные частные производные по всем переменным.

Используя метод замены переменных [10]

$$\begin{cases} s = \xi + vt', \\ t = t' \end{cases}$$

или

$$\begin{cases} \xi = s - vt, \\ t' = t, \end{cases} \text{ преобразуем функцию } n(t, s) \quad (10)$$

Тогда

$$n(t, s) = n(t', \xi + vt') \text{ или } n = n(t', \xi).$$

Вычислим производные с учетом замены переменных:

$$\begin{cases} \frac{\partial n}{\partial t} = \frac{\partial n}{\partial t'} + \frac{\partial n}{\partial \xi}(-v), \\ \frac{\partial n}{\partial s} = \frac{\partial n}{\partial \xi}. \end{cases} \quad (11)$$

После подстановки (11) в (7) и (2) получим:

$$\begin{aligned} \frac{\partial n}{\partial t'} - v \frac{\partial n}{\partial \xi} + v \frac{\partial n}{\partial \xi} = \\ = k(t', \xi + vt')n + f(t', \xi + vt'), \\ n(0, \xi) = \varphi(\xi). \end{aligned}$$

Окончательно будем решать задачу Коши для уравнения

$$\begin{aligned} \frac{\partial n}{\partial t'} = k(t', \xi + vt')n + f(t', \xi + vt'), \\ n|_{t=0} = \varphi(\xi). \end{aligned} \quad (12)$$

Считая ξ постоянным параметром, решим (12) уравнение как линейное обыкновенное дифференциальное уравнение [7]:

$$n = e^{\psi} [\varphi(\xi) + \int_0^{t'} f(\xi + v\tau, \tau) e^{-\psi} d\tau], \quad (13)$$

где
$$\psi = \int_0^{t'} k(\tau, \xi + v\tau) d\tau, \quad (14)$$

а функция ψ под знаком интеграла имеет вид

$$\psi^* = \int_0^{\tau} k(\eta, \xi + v\eta) d\eta. \quad (15)$$

Возвращаясь к старым переменным (10), получим:

$$\begin{aligned} n(t, s) = e^{\psi} [\varphi(s - vt) + \\ + \int_0^t f(\tau, s + v(\tau - t)) e^{-\psi} d\tau], \end{aligned} \quad (16)$$

где
$$\psi = \int_0^t k(\tau, s + v(\tau - t)) d\tau, \quad (17)$$

а под знаком интеграла —

$$\psi^* = \int_0^{\tau} k(\eta, s + v(\eta - t)) d\eta. \quad (18)$$

Таким образом, полученные решения (16)–(18) действительно удовлетворяют уравнению (7) и начальным условиям (2), что можно проверить непосредственной подстановкой (10) в уравнение (7).

Если в равенстве (5) рассматривать в общем виде функцию $s = g(t)$, то в формуле (16) необходимо заменить произведение vt на $g(t)$.

Предположим существование двух решений n_1 и n_2 и рассмотрим их разность:

$$m(t, s) = n_1(t, s) - n_2(t, s).$$

Тогда $m(t, s)$ удовлетворяет уравнению

$$\frac{\partial m}{\partial t} - v \frac{\partial m}{\partial s} = km \quad (19)$$

с начальным условием

$$m(t, s)|_{t=0} = 0. \quad (20)$$

Задача Коши для уравнения (19) с нулевым начальным условием на основании формулы решения (16) будет иметь только нулевое решение, т. е.

$$m(t, s) \equiv 0 \text{ или } n_1(t, s) \equiv n_2(t, s).$$

Отсюда следует единственность решения задачи Коши для уравнения (7) с начальным условием (2).

Рассматривая ограниченный промежуток времени $t \in [0, T]$ и учитывая, что $s \in [0, S]$ и функции $k(t, s)$ и $f(t, s)$ класса C^1 , получим:

$$|\varphi(s)| < A; |k(t, s)| < A \text{ и } |f(t, s)| < A, \quad (21)$$

где $A = \text{const}$, т. е. данные функции ограничены.

Тогда

$$\begin{aligned} |n(t, s)| &= \\ &= e^{\psi} \left| \varphi(s - vt) + \int_0^t f(\tau, s + v(\tau - t)) e^{-\psi} d\tau \right| \leq \\ &\leq e^{\psi} \left(|\varphi| + \int_0^t |f| e^{-\psi} d\tau \right) \leq e^{\psi} (A + ABt) \leq \\ &\leq A(C + BT) < D = \text{const}, \end{aligned}$$

где обозначены константами C и B первые части равенств

$$|e^{\psi}| < C; |e^{-\psi}| < B. \quad (22)$$

Таким образом, при условии принадлежности функций φ, k, f классу C^1 , неравенствами (21)–(22) и при $t \in [0, T]$ следует ограниченность решения (16).

На основании вышеизложенного доказана теория существования единственности и ограниченности решения.

Теорема

Задача Коши для уравнения (7) с начальными условиями (2), при условии, что функции $\varphi(s), k(s, t), f(s, t)$ принадлежат классу C^1 , т.е. непрерывны и имеют непрерывные частные производные первого порядка по s и t в области переменных $t, s: D = [0, T] \times [0, S]$ имеет единственное ограниченное решение класса C^1 .

Для определенного типа вагонов период эксплуатации определяется только временем t (например, пассажирские вагоны).

Тогда можно использовать для анализа динамики численности вагонов уравнение, описывающее изменение общей суммы таких вагонов (8)–(9).

В этом случае решение (8)–(9) при условии

$$N(t)|_{t=0} = N_0 = \text{const},$$

имеет вид [7]

$$\begin{aligned} N(t) &= e^{\int_0^t k d\tau} \left[N_0 + \int_0^t F(\tau) e^{-\int_0^{\tau} k d\eta} d\tau \right] = \\ &= e^{kt} \left[N_0 + \int_0^t F(\tau) e^{-k\tau} d\tau \right]. \quad (23) \end{aligned}$$

Для того чтобы исследовать динамику численности вагонного парка с учетом вывода его в ремонт, а также учесть число отремонтированных вагонов, необходимо сформировать еще два дифференциальных уравнения.

Пусть $N_1(t) = \alpha N(t)$ — определенная часть объектов подвижного состава направляется на различного вида ремонтные работы, $N_2(t)$ — число отремонтированных вагонов.

Тогда можно получить систему двух обыкновенных дифференциальных уравнений первого порядка двух типов.

1. Линейная система

$$\begin{aligned} \frac{dN_1(t)}{dt} &= -\beta N_1(t) - \delta N_2(t) + \varphi(t), \\ \frac{dN_2(t)}{dt} &= -\gamma N_2(t) + \mu N_1(t), \end{aligned}$$

где $\beta, \delta, \gamma, \mu$ — постоянные коэффициенты.

$$\begin{aligned} \frac{dN_1(t)}{dt} &= aN_1(t) - bN_1N_2(t), \\ \frac{dN_2(t)}{dt} &= -cN_2 + dN_1N_2(t). \end{aligned}$$

2. Нелинейная система, например, система типа Лотки – Вольтерра.

$$\begin{aligned} \frac{dN_1(t)}{dt} &= aN_1(t) - bN_1N_2(t), \\ \frac{dN_2(t)}{dt} &= -cN_2 + dN_1N_2(t). \end{aligned}$$

где a, b, c, d — положительные постоянные.

В качестве примера приведем построение математической модели с помощью систем линейных дифференциальных уравнений, описывающих передвижения вагонов с учетом вывода их в ремонт [11]. Численное решение системы двух дифференциальных уравнений первого порядка, описывающих передвижения вагонов на подъездных путях предприятий, покажем с помощью MathCAD 14 (рис. 1 и 1, α).

Заданы начальные и конечные для t условия:

$$t_0 := 0 \quad t_1 := 50$$

Решение системы линейных дифференциальных уравнений [7]

Given

$$\frac{d}{dt}y(t) = -0.2 \cdot y(t) - 0.3 \cdot z(t) + 6$$

$$y(t_0) = 15$$

$$\frac{d}{dt}z(t) = 0.4 \cdot y(t) + 0.2 \cdot z(t) - 7$$

$$z(t_0) = 17$$

$$\begin{pmatrix} y \\ z \end{pmatrix} := \text{Odesolve} \left[\begin{pmatrix} y \\ z \end{pmatrix}, t, t_1 \right]$$

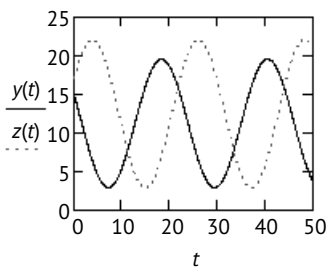


Рис. 1. График решения системы

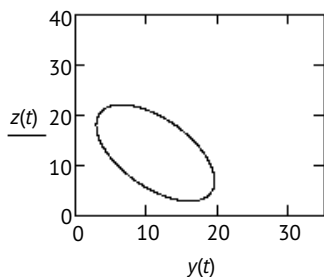


Рис. 1, а. Фазовый портрет системы

Построенная модель показывает, что устанавливается некий периодический режим. Число отремонтированных вагонов колеблется в пределах от 5 до 23, а число вагонов, подлежащих ремонту, — от 5 до 20. Но общая картина показывает периодичность этого режима. Фазовый портрет имеет вид эллипса, что также доказывает, что изменение численности вагонов происходит в окрестности стационарного состояния.

Отметим, что фазовая траектория вполне соответствуют ритмичной работе ремонтных предприятий.

Можно сделать вывод, что вид фазового портрета определяют не только параметры системы, но и начальные условия, хотя известно, что эти условия фиксируют одну определенную траекторию.

Подчеркнем, что варьируя каждый параметр системы на основе статистического анализа при постоянных начальных условиях задачи или же при постоянных параметрах системы и различных начальных условиях задачи, можно найти теоретическое обоснование эффективного управления движением вагонов с учетом их вывода в ремонт.

Приведем пример численного решения системы двух нелинейных дифференциальных уравнений первого порядка, представим с помощью MathCAD 14 (рис. 2 и 2, а); получим не только кривую решений системы двух дифференциальных уравнений, но и фазовый портрет.

$$t_0 := 0 \quad t_1 := 100$$

Given

$$\frac{d}{dt}y(t) = 0.9 \cdot y(t) - 0.45 \cdot y(t) + 0.15$$

$$y(t_0) = 15$$

$$\frac{d}{dt}z(t) = 0.3 \cdot y(t) \cdot z(t) - 0.6z(t) - 0.15$$

$$z(t_0) = 14$$

$$\begin{pmatrix} y \\ z \end{pmatrix} := \text{Odesolve} \left[\begin{pmatrix} y \\ z \end{pmatrix}, t, t_1 \right]$$

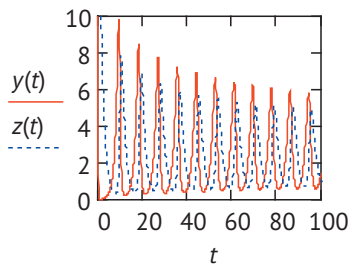


Рис. 2. Решение системы Лотка – Вольterra

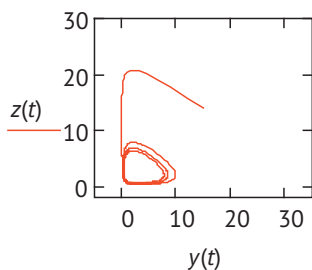


Рис. 2, а. Фазовый портрет системы Лотка – Вольтерра

Изменение параметров системы ($\alpha, \beta, \delta, \lambda, N_1$ и N_2) и начальных условий задачи придает фазовым портретам резко отличающийся вид, чем дано в предыдущих примерах. Вид фазовых портретов характеризуется семейством эллипсоподобных фигур, вложенных одна в другую, описываемых вокруг стационарной точки.

Кроме того, построенные виды фазовых портретов показывают не только на ритмичный характер поступления количества вагонов в ремонт или вывода из ремонта, но и на достаточно устойчивую работу предприятия.

Данные задачи являются актуальными прикладными задачами по управлению процессом эксплуатации и ремонта подвижного состава (вагонов) на железнодорожном транспорте.

Частные случаи дифференциального уравнения (7) с начальными условиями (2)

Будем искать численное решение задачи Коши для дифференциального уравнения (7) с начальными условиями (2) с последующим построением их графиков в MathCAD 14.

Покажем это в следующих примерах.

Пример 1.

Пусть $k = 0, v = \text{const}, f = 0$.

Решим задачу Коши с начальными условиями

$$\frac{\partial n}{\partial t} + v \frac{\partial n}{\partial s} = 0,$$

$$n|_{t=0} = \varphi(s).$$

При заданных условиях из уравнения (16) следует

$$n(t, s) = \varphi(s - vt).$$

Рассмотрим начальную функцию

$$\varphi = 5e^{-(s-5)^2} + 2.$$

Случай 1.

В соответствии с программой решения дифференциальных уравнений MathCAD 14 (рис. 3) зададим начальные и конечные для t условия и постоянную $v = 4$.

Получим функцию в виде

$$n(s) = 5e^{-(s-5)^2} + 2.$$

Случай 2.

$$t_1 = 5, v = 4.$$

Тогда $n(s) = 5e^{-(s-25)^2} + 2$.

Случай 3.

$$t_1 = 6, v = 4$$

Тогда $n(s) = 5e^{-(s-29)^2} + 2$.

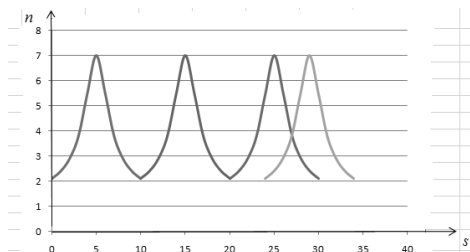


Рис. 3. График решения уравнения

Графики решения данных ДУ являются графиками типа «бегущая волна». Это говорит, что численность вагонов не изменяется.

Пример 2.

Зададим функции

$$n(s) = 5e^{-(s-5)^2} + 2, f(s) = 10$$

и постоянные $v = 4, k = 0,2$ (рис. 4).

Тогда решение (16) примет вид

$$n(t, s) = e^{kt} \left(5 \cdot e^{-(s-vt-5)^2} + \int_0^t 10 \cdot e^{-k\tau} d\tau \right) = e^{0,2t} (5 \cdot e^{-(s-4t-5)^2} - 50 \cdot (e^{-0,2t} - 1)).$$

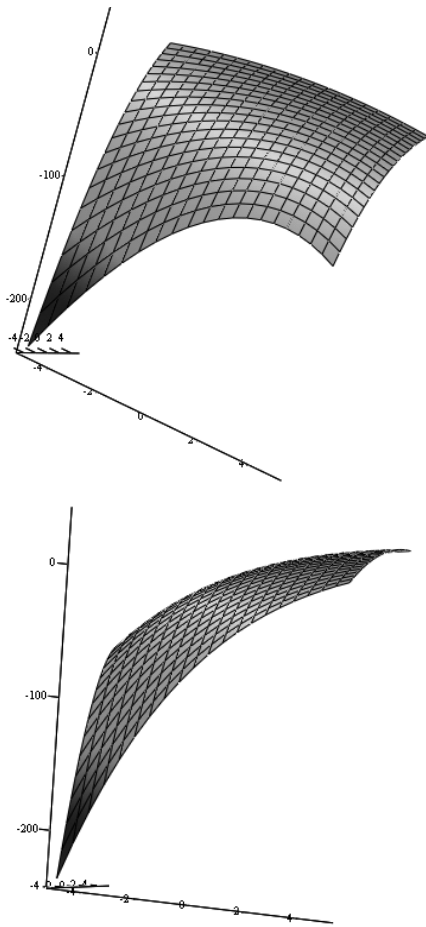


Рис. 4. График решения уравнения

График демонстрирует быстрый рост численности вагонов оператора. Такая возможность служит основанием для значительного роста транспортных услуг в перевозках грузов и естественным образом связана с экономическим ростом владельцев данного подвижного состава. Данный процесс подчеркивает адекватность построенной математической модели для развивающейся фирмы, оператора.

Выводы

1. В работе построена математическая модель динамики численности подвижного состава в течение определенного периода эксплуатации;
2. Доказана теорема существования и единственности ограниченного решения задачи Коши для дифференциального уравнения с частными производными первого порядка, которое является основой построенной модели;
3. На основании статистического анализа за несколько лет можно определить среднюю скорость пробега v , аналитически подобрать функции $k(t, s)$ и $f(t, s)$, сделать вывод об адекватности построенной математической модели;
4. Построенная математическая модель может служить для производственного анализа управления численностью вагонов, а также может быть использована для планирования, сравнения и прогнозирования необходимой численности вагонного парка. ■

Литература

1. Чаплыгин С. А. Избранные труды. Механика жидкости и газа. Математика. Общая механика. — М. : Наука, 1976. — С. 496.
2. Хэйт Ф. Математическая теория транспортных потоков. М. : Мир, 1996. — С. 287.
3. Гасников А. В. Автоматика по времени решения задач о распаде «размазанного разрыва» для закона сохранения. Известия РАН. Сер. : «Математическая», 2009. Т. 76. № 6. С. 39–76.
4. Гасников А. В. Введение в математическое моделирование транспортных потоков : учеб. пособие. М. : МЦНМО, 2012. 377 с.
5. Степанов В. В. Курс дифференциальных уравнений : учеб. для вузов. — М. : Комкнига, 2006. — С. 472.
6. Эрроусмит Д. К. Обыкновенные дифференциальные уравнения : качественная теория с приложениями. — М. : Мир, 1986. — С. 243.
7. Петровский И. Г. Лекции по теории обыкновенных дифференциальных уравнений : учеб. для вузов. — М. : МГУ, 1984. — С. 296.
8. Макаров Е. Г. MathCAD 14 : учеб. пособие. СПб, 2009. 384 с.
9. Тихонов А. Н., Васильева А. Б., Свешников А. Г. Дифференциальные уравнения : учеб. для вузов. — М. : Физматлит, 2005. — С. 256.
10. Курант Р. Уравнения с частными производными. — М. : Мир, 1964. — С. 828.
11. Скрипай А. С. Построение математической дифференциальной модели обеспечения вагонами промышленных предприятий / Сб. научн. работ «Перспектива». — Екатеринбург : Изд-во УрГУПС, 2013. С. 423–434.
12. Скрипай А. С. Построение математической дифференциальной модели передвижения вагонов на промышленных предприятиях. — Мюнхен : International Conference on European Science and Technology, 2013. — 276–286 с.

References

1. Chaplygin S. A. Izbrannyye trudy. Mekhanika zhidkosti i gaza. Matematika. Obschaya mekhanika. [Selected Works. Fluid mechanics. Mathematics. General Mechanics]. — М. : Nauka, 1976. — P. 496.
2. Kheyт F. Matematicheskaya teoriya transportnykh potokov. [Mathematical theory of traffic flow]. М. : Mir, 1996. — P. 287.
3. Gasnikov A. V. Avtomatika po vremeni resheniya zadach o raspade «razmazannogo razryva» dlya zakona sokhraneniya. [Automatics for the time for solving the problem of decay of «smearred gap» for conservation law]. Izvestiya RAN. Ser. : «Matematicheskaya», 2009. Iss. 76. № 6. P. 39–76.
4. Gasnikov A. V. Vvedenie v matematicheskoe modelirovanie transportnykh potokov : ucheb. posobie. [Introduction to mathematical modeling of traffic flows : a textbook]. М. : MCNMO, 2012. 377 p.
5. Stepanov V. V. Kurs differencialnykh uravneniy : ucheb. dlya vuzov. [Differential equations course : a textbook for universities]. — М. : Komkniga, 2006. — P. 472.
6. Arrowsmith, D. C. Obyknovennyye differencialnye uravneniya : kachestvennaya teoriya s prilozheniyami. [Ordinary differential equations: qualitative theory with applications]. — М. : Mir, 1986. — P. 243.
7. Petrovskiy I. G. Lekcii po teorii obyknovennykh differencialnykh uravneniy : ucheb. dlya vuzov. [Lectures on the theory of ordinary differential equations : a textbook for universities]. — М. : MGU, 1984. — P. 296.
8. Makaro E. G. Mathcad 14 : ucheb. posobie. [Mathcad 14 : a textbook]. SPb, 2009. 384 p.
9. Tikhonov A. N., Vasileva A. B., Sveshnikov A. G. Differencialnye uravneniya : ucheb. dlya vuzov. [Differential equations : a textbook for universities]. — М. : Fizmatlit, 2005. — P. 256.
10. Kurant R. Uravneniya s chastnymi proizvodnymi. [Partial differential equations]. — М. : Mir, 1964. — P. 828.
11. Skripay A. S. Postroenie matematicheskoy differencialnoy modeli obespecheniya vagonami promyshlennykh predpriyatiy [Construction of mathematical differential model for providing railway cars for industrial enterprises] / Sb. nauchn. rabot «Perspektiva». — Ekaterinburg : USURT Publishing House, 2013. P. 423–434.
12. Skripay A. S. Postroenie matematicheskoy differencialnoy modeli peredvizheniya vagonov na promyshlennykh predpriyatiyakh. [Construction of mathematical differential model of movement of cars at industrial enterprises]. — Munich : International Conference on European Science and Technology, 2013. — 276–286 p.

Статья сдана в редакцию 14 декабря 2014 года

Механика машин и роботов

УДК 639.4.015

И. А. Добычин, М. Ю. Градинаров

Особенности метода акселерометров при исследовании движения колесной пары

UDC 639.4.015

I. A. Dobychin, M. Yu. Gradinarov

Specifics of accelerometer method in wheelset motion study

Аннотация

На основе измерения ускорений двух точек колесной пары с помощью трехосных ускоренимеров (акселерометров), установленных на крышках букс, и измерения угловой скорости собственного (волчкового) вращения колесной пары, определяются кинематические характеристики и пространственные движения колесной пары вдоль рельсовой колеи. На основе принципа мгновенной склерономизации связей и уравнений мгновенных геометрических и неголономных кинематических связей колес с рельсами при безотрывном движении получена замкнутая система дифференциально-алгебраических уравнений движения. Разработан пошаговый алгоритм решения полученной системы уравнений по времени.

Ключевые слова: метод акселерометров, колесная пара, неголономная механика, дифференциальные уравнения движения, пошаговый метод решения.

Summary

Accelerometers (acceleration meters) found wide application in the study of dynamic processes of rolling stock, particularly in railway car testing, and are used mainly to assess dynamic loading of rolling stock components and individual bodies (partial masses). In this paper, based on the measurement of accelerations of two wheelset points using triaxial accelerometers mounted on axle box covers, and measurement of wheelset angular self-rotation (turbinate) velocity, kinematic characteristics and spatial wheelset movement along the rail track are found. On the basis of instantaneous scleronomization of relations and equations of instant geometric and nonholonomic kinematic links of wheels with rails during unseparated motion, a closed system of differential-algebraic motion equations has been obtained. Step-by-step algorithm for solving the resulting equation system in time has been developed.

Keywords: accelerometer method, wheel pair, nonholonomic mechanics, differential motion equations, step-by-step solution method.

Иван Александрович Добычин, д-р техн. наук, профессор, главный научный сотрудник; научно-производственное предприятие «Тормо»; Екатеринбург, Россия. Тел.: +7 (343) 372-92-10.

Михаил Юрьевич Градинаров, научный сотрудник; научно-производственное предприятие «Тормо»; Екатеринбург, Россия.
E-mail: gradinarovm@gmail.com.

Ivan Alexandrovich Dobychin, DSc in Engineering, Professor, Chief Researcher, Scientific Production Enterprise Tormo, Ekaterinburg, Russia. Tel.: +7 (343) 372-92-10.

Mikhail Yurievich Gradinarov, Engineer, Researcher, Scientific Production Enterprise Tormo, Ekaterinburg, Russia.
E-mail: gradinarovm@gmail.com.

Колесные пары с буксовыми узлами, боковыми рамами и примерно треть массы рессорных комплектов относятся к необрессоренной массе вагона. При динамических испытаниях вагонов наиболее часто измеряют ускорения буксового узла с целью исследования сил инерции необрессоренных масс вагона [1]. Настоящая статья посвящена особенностям применения метода акселерометров, описанного в [2], и исследованию движения колесной пары по рельсовому пути криволинейного в плане очертания. Решается задача определения кинематических характеристик и пространственных движений колесной пары на основе измерения ускорений с помощью трехосных акселерометров, установленных на крышках букс, и измерения угловой скорости собственного (волчкового) вращения колесной пары, с применением уравнений неголономной механики, в частности, уравнений неголономных связей колес с рельсами [3].

Кинематика путевого репера и постановка задачи

Рассмотрим движение колесной пары вдоль рельсовой колеи криволинейного в плане очертания, когда криволинейная базовая ось рельсовой колеи представляет собой пространственную кривую L , вдоль которой движется путевая система координат $O\xi\eta\zeta$ с репером $\{\bar{e}_O\}$ (рис. 1). Это движение в общем случае определяется дуговой координатой

$S = \widehat{OO}$ и углами $\varphi_O, \chi_O, \psi_O$, которые можно представить как функции координаты S :

$$\begin{aligned} \varphi_O &= \varphi_O(S), \\ \chi_O &= \chi_O(S), \\ \psi_O &= \psi_O(S). \end{aligned} \quad (1)$$

В путевой системе координат $O\xi\eta\zeta$ скорость \bar{v}_O и ускорение \bar{a}_O поступательного движения репера $\{\bar{e}_O\} = (\bar{i}_O, \bar{j}_O, \bar{k}_O)^T$ имеют вид [4, 5]

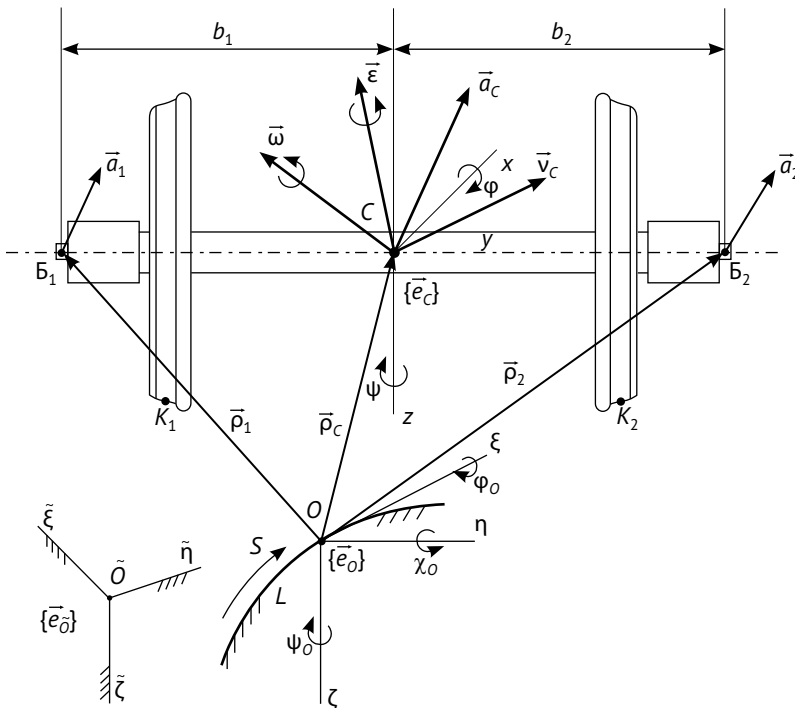


Рис. 1. К исследованию движения колесной пары с помощью двух трехосных акселерометров

$$\begin{cases} \vec{v}_O = \dot{S}\vec{i}_O, \\ \vec{a}_O = \ddot{S}\vec{i}_O + \frac{(\dot{S})^2}{R_n} \cos(\varphi_O - \varphi_n) \vec{j}_O - \\ - \frac{(\dot{S})^2}{R_n} \sin(\varphi_O - \varphi_n) \vec{k}_O, \end{cases} \quad (2)$$

где в общем случае

$$\begin{cases} tg \varphi_n = \frac{R_\psi}{R_\chi \cos(\chi_O)}; \\ R_n = \frac{R_\psi R_\chi}{\sqrt{(R_\chi \cos(\chi_O))^2 + R_\psi^2}}; \\ R_\psi = \frac{1}{\left(\frac{d\psi_O}{dS}\right)}; R_\chi = \frac{1}{\left(\frac{d\chi_O}{dS}\right)} \end{cases} \quad (3)$$

или в виде

$$\begin{cases} \{\vec{v}_O\} = \begin{Bmatrix} v_{O\xi} \\ v_{O\eta} \\ v_{O\zeta} \end{Bmatrix} = \begin{Bmatrix} \dot{S} \\ 0 \\ 0 \end{Bmatrix}; \\ \{\vec{a}_O\} = \begin{Bmatrix} a_{O\xi} \\ a_{O\eta} \\ a_{O\zeta} \end{Bmatrix} = \begin{Bmatrix} \ddot{S} \\ \frac{(\dot{S})^2}{R_n} \cos(\varphi_O - \varphi_n) \\ -\frac{(\dot{S})^2}{R_n} \sin(\varphi_O - \varphi_n) \end{Bmatrix}. \end{cases} \quad (4)$$

В (3) $R_n = \frac{1}{k_n}$ — радиус кривизны (k_n — кривизна).

Угловая скорость $\vec{\omega}_O$ репера $\{\vec{e}_O\}$ в общем случае вычисляется по формуле

$$\{\vec{\omega}_O\} = A_{\omega_O} \{\dot{\vec{\theta}}_O\}, \quad (5)$$

где

$$\begin{cases} \{\vec{\omega}_O\} = (\omega_{O\xi}, \omega_{O\eta}, \omega_{O\zeta})^T, \\ \{\dot{\vec{\theta}}_O\} = (\dot{\varphi}_O, \dot{\chi}_O, \dot{\psi}_O)^T, \\ \dot{\varphi}_O = \frac{\partial \varphi_O}{\partial S} \dot{S}, \dot{\chi}_O = \frac{\dot{S}}{R_\chi}, \dot{\psi}_O = \frac{\dot{S}}{R_\psi}, \\ A_{\omega_O} = \begin{bmatrix} 1 & 0 & -\sin \chi_O \\ 0 & \cos \chi_O & \sin \varphi_O \\ 0 & \cos \chi_O & \sin \varphi_O \end{bmatrix} \end{cases} \quad (6)$$

При постоянном угле подъема $\chi_O = \text{const}$ имеем $R_\chi = \infty$; $\varphi_n = 0$ и $R_\psi = R_n = R$, где R — радиус кривизны плоской криволинейной оси L .

Угловое ускорение $\vec{\varepsilon}_O = \dot{\vec{\omega}}_O$ в общем случае вычисляется по формуле

$$\{\vec{\varepsilon}_O\} = \{\dot{\vec{\omega}}_O\} = A_{\omega_O} \{\ddot{\vec{\theta}}_O\} + \dot{A}_{\omega_O} \{\dot{\vec{\theta}}_O\}, \quad (7)$$

где

$$\{\vec{\varepsilon}_O\} = (\varepsilon_{O\xi}, \varepsilon_{O\eta}, \varepsilon_{O\zeta})^T = (\dot{\omega}_{O\xi}, \dot{\omega}_{O\eta}, \dot{\omega}_{O\zeta})^T$$

и следует учесть (6).

В частном случае движения колесной пары на горизонтальном круговом участке пути с постоянным радиусом закругления ($R = \text{const}$) и с постоянным углом превышения ($\varphi_O = \text{const}$) и началом отсчета \tilde{O} дуговой координаты S , помещенным в начале кругового участка пути, для путевого репера $\{\vec{e}_O\}$ получим

$$\begin{cases} \{\vec{\theta}_O\} = \begin{Bmatrix} \varphi_O = \arctg \frac{h^0}{b^0} \approx \frac{h^0}{b^0} \\ \chi_O = 0 \\ \psi_O = \frac{S}{R} \end{Bmatrix}; \\ \{\vec{\rho}_O\} = \begin{Bmatrix} \xi_O \\ \eta_O \\ \zeta_O \end{Bmatrix} = \\ = \begin{Bmatrix} R \sin \psi_O = R \sin \frac{S}{R} \\ R(1 - \cos \psi_O) = R \left(1 - \cos \frac{S}{R}\right) \\ -h^0 \end{Bmatrix}; \end{cases} \quad (8)$$

$$\begin{cases} \{\vec{v}_O\} = (\dot{S}, 0, 0)^T; \\ \{\vec{a}_O\} = \left(\ddot{S}, \frac{(\dot{S})^2}{R} \cos \frac{S}{R}, -\frac{(\dot{S})^2}{R} \cos \frac{S}{R} \right)^T; \\ \{\vec{\omega}_O\} = \left(0, \frac{\dot{S}}{R} \sin \frac{S}{R}, \frac{\dot{S}}{R} \cos \frac{S}{R} \right)^T; \\ \{\vec{\varepsilon}_O\} = \left(0, \frac{\ddot{S}}{R} \sin \frac{S}{R}, \frac{\ddot{S}}{R} \cos \frac{S}{R} \right)^T, \end{cases} \quad (9)$$

где дополнительно обозначено $2h^0$ — превышение наружного рельса над внутренним; $2b^0$ — расстояние между центрами тяжести поперечных сечений рельсов.

Отметим, что в рассмотренном частном случае путевого репера

$$\{\bar{e}_O\} = (\bar{i}_O, \bar{j}_O, \bar{k}_O)^T$$

не совпадает с натуральным репером

$$\{\bar{e}_{nat}\} = (\bar{\tau}, \bar{n}, \bar{b})^T$$

криволинейной оси L [6]. Путевого репера $\{\bar{e}_O\}$ получается поворотом репера $\{\bar{e}_{nat}\}$ вокруг оси $O\tau$ на угол превышения φ_O (рис. 2). Если $\psi_O = \text{const}$, то кривая L расположена в продольной вертикальной плоскости $\bar{O}\tilde{\xi}\tilde{\zeta}$, кручение равно нулю

$$\left(k_{\tau} - \frac{\sin \chi_O}{R_{\psi}} = 0 \right)$$

и $R_n = R_{\chi}$, $\varphi_n = \pm\pi/2$, а натуральный репер $\{\bar{e}_{nat}\}$ повернут по отношению к путевому на 90° в сторону вогнутости кривой L .

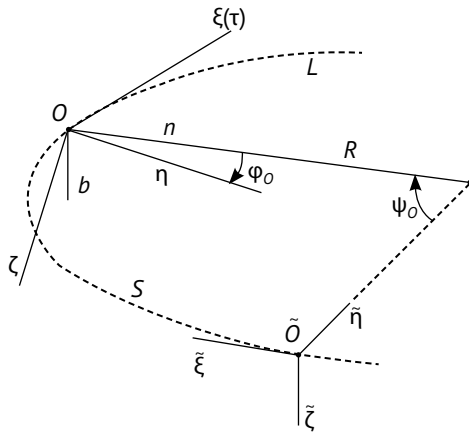


Рис. 2. Связь между путевым и натуральным реперами на круговом участке пути

В общем случае, например, на так называемых переходных кривых, высота h^0 подъема центра O зависит от угла поворота ψ_O и, следовательно, углы ψ_O и χ_O связаны между собой дифференциальной зависимостью. Например,

на переходных кривых криволинейную ось L в горизонтальной плоскости описывают уравнениями радиoidalной спирали. На рис. 3 показана схема положения переходной кривой (a — план, b — профиль). Координаты $\tilde{\xi}(S)$, $\tilde{\eta}(S)$, $\tilde{\zeta}(S)$ определяются выражениями [4, 5]

$$\begin{cases} \tilde{\xi}_O(S) = S - \frac{S^{15}}{40C^2} + \frac{S^9}{3456C^4}, \\ \tilde{\eta}_O(S) = \frac{S^3}{6C} - \frac{S^7}{336C^3} + \frac{S^{11}}{42240C^5}, \\ -\tilde{\zeta}_O(S) = h^0(S) = \text{Stg}\chi_O, \end{cases} \quad (10)$$

где $C = RS_{\text{ПК}}$ — геометрический параметр переходной кривой L ; R — радиус кривизны кругового участка пути; $S_{\text{ПК}}$ — длина переходной кривой. При этом угол подъема χ_O , называемый углом отвода, ограничивается максимальной скоростью движения поездов по круговой кривой радиуса R и др. (на практике $\text{tg}\chi_O \leq 0,001$). Угол поворота ψ_O определяется по (10) по формуле

$$\text{tg}\psi_O = \frac{d\tilde{\xi}_O(S)}{d\tilde{\zeta}_O(S)}. \quad (11)$$

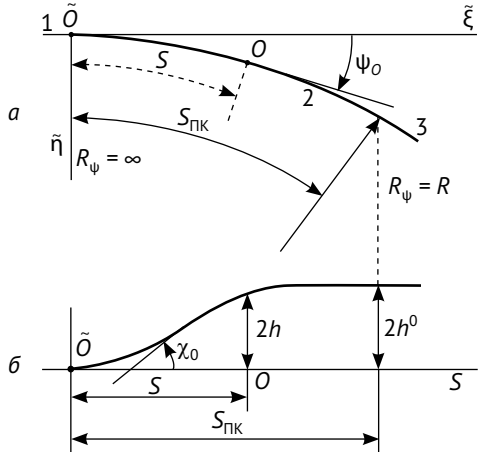


Рис. 3. Схема положения переходной кривой a — план; b — профиль

В разложении (10) больше двух слагаемых практически не используют (подробно об устройстве рельсовой колеи и расчете ее параметров см. [7, 8]).

В дальнейшем будем считать, что характеристики колесной пары и рельсовой колеи, а также профили колес и рельсов заданы [3–5]. Так же будем считать заданным движение путевого репера $\{\bar{e}_O\}$ через дуговую координату $S = S(t)$ и углы $\varphi_O, \chi_O, \psi_O$ как функции $S(t)$.

Установим на крышки букс трехосные акселерометры, как показано на рис. 1, которые обеспечивают измерение ускорений \bar{a}_j точек B_j ($j = 1, 2$) в виде

$$\bar{a}_j = \bar{a}_j^* - \bar{g}, \quad j = 1, 2, \quad (12)$$

где \bar{a}_j^* — абсолютные ускорения точек B_j , измеряемые непосредственно (по показаниям акселерометров) вдоль осей букс C_{xj}, C_{yj}, C_{zj} ; \bar{g} — ускорение свободного падения.

В собственных координатах колесной пары $Cxyz$ для ускорения \bar{a}_j^* получим

$$\{\bar{a}_j^*\}_i = X^j \{\bar{a}_j^*\}_{Bj}, \quad (13)$$

где X^j — матрица поворота j -й буксы вокруг оси колесной пары на угол χ^j . В развернутом виде из (13) получим

$$\begin{Bmatrix} a_{jx}^* \\ a_{jy}^* \\ a_{jz}^* \end{Bmatrix} = \begin{Bmatrix} a_{jx^j}^* \cos \chi^j + a_{jz^j}^* \sin \chi^j \\ a_{jy^j}^* \\ -a_{jx^j}^* \sin \chi^j + a_{jz^j}^* \cos \chi^j \end{Bmatrix}. \quad (14)$$

Отметим, что углы χ^j весьма малы и, возможно, что ими можно пренебречь. В дальнейшем примем для упрощения выкладок $\chi^j \approx 0$, то есть будем считать, что

$$\{\bar{a}_j^*\}_C \approx \{\bar{a}_j^*\}_{Bj}. \quad (15)$$

Кроме акселерометров на буксы установим датчики, обеспечивающие измерение угловой скорости собственного (волчкового) вращения колесной пары $\dot{\theta}$ (получаемой как среднее значение угловых скоростей относительно каждой из букс).

Ускорения точек установки акселерометров \bar{a}_j в собственной системе

координат колесной пары $Cxyz$ с репером $\{\bar{e}_C\}$ определяется по формуле

$$\{\bar{a}_j\}_C = \{\bar{a}_C\}_C + [\dot{\bar{\Omega}} + \bar{\Omega}^2] \{\bar{r}_j\}, \quad (i = 1, 2), \quad (16)$$

где \bar{a}_j ($j = 1, 2$) — ускорения точек установки акселерометров; \bar{a}_C — ускорение центра масс; \bar{r}_j — собственные координаты точек B_j . При этом

$$\begin{cases} \{\bar{r}_j\} = (x_j, y_j, z_j)^T = (0, (-1)^{j-1} b_j, 0)^T; \\ \dot{\bar{\Omega}} \Leftrightarrow \{\dot{\bar{\omega}}\} = (\dot{\omega}_x, \dot{\omega}_y, \dot{\omega}_z)^T = (\varepsilon_x, \varepsilon_y, \varepsilon_z)^T; \\ \bar{\Omega} \Leftrightarrow \{\bar{\omega}\} = (\omega_x, \omega_y, \omega_z)^T, \end{cases} \quad (17)$$

$\dot{\bar{\Omega}}, \bar{\Omega}$ — матричные (тензорные) представления векторов абсолютного углового ускорения $\dot{\bar{\omega}}$ и абсолютной угловой скорости $\bar{\omega}$ колесной пары в собственных координатах $Cxyz$ [3, 4].

Соотношения (12)–(17) примем в качестве исходных и поставим следующую задачу: на основе измерения ускорений \bar{a}_j^* ($j = 1, 2$) и угловой скорости собственного (волчкового) вращения $\dot{\theta}$ определить кинематические характеристики и движение колесной пары вдоль рельсовой колеи.

Определение сферического движения колесной пары

Образует из выражений (16) разность $\{\bar{a}_2 - \bar{a}_1\}$ и, учитывая (12), составим уравнение

$$\begin{aligned} \text{sign}(a_{2y}^* - a_{1y}^*) \{\bar{a}_2^* - \bar{a}_1^*\} = \\ = [\dot{\bar{\Omega}} - \bar{\Omega}^2] \{\overline{B_1 B_2}\}, \end{aligned} \quad (18)$$

где $\overline{B_1 B_2} = (b_1 + b_2) \bar{j}$ (\bar{j} — орт оси колесной пары),

$$\text{sign}(a_{2y}^* - a_{1y}^*) = \begin{cases} 1, & \text{при } a_{2y}^* \geq a_{1y}^* \\ -1, & \text{при } a_{2y}^* < a_{1y}^* \end{cases}.$$

Представляя (18) в координатной форме, получим три уравнения

$$\begin{cases} -\varepsilon_z + \omega_y \omega_x = \text{sign}(a_{2y}^* - a_{1y}^*) \frac{(a_{2x}^* - a_{1x}^*)}{(b_1 + b_2)}; \\ \omega_x^2 + \omega_z^2 = \text{sign}(a_{2y}^* - a_{1y}^*) \frac{(a_{2y}^* - a_{1y}^*)}{(b_1 + b_2)}; \\ \varepsilon_x + \omega_y \omega_z = \text{sign}(a_{2y}^* - a_{1y}^*) \frac{(a_{2z}^* - a_{1z}^*)}{(b_1 + b_2)}. \end{cases} \quad (19)$$

Введение функции $\text{sign}(a_{2y}^* - a_{1y}^*)$ позволило удовлетворить условию неотрицательности правой части второго равенства в (19).

Учтем теперь, что абсолютная угловая скорость колесной пары имеет вид

$$\{\bar{\omega}\} = \{\bar{\omega}_C\} + \{\dot{\theta}\bar{j}\}, \quad (20)$$

где $\{\bar{\omega}_C\}$ — абсолютная угловая скорость репера $\{\bar{e}_C\}$ (системы координат $Cxyz$); $\dot{\theta}$ — измеряемая угловая скорость собственного волчкового вращения колесной пары вокруг оси Cy . Для абсолютного углового ускорения колесной пары $\bar{\varepsilon}$ в координатах $Cxyz$ получим

$$\{\bar{\varepsilon}\} = \{\dot{\bar{\omega}}_C\} + \{\ddot{\theta}\bar{j}\} + \dot{\theta}\{\dot{\bar{j}}\}, \quad (21)$$

где (согласно формуле Бура) $\dot{\bar{j}} = \bar{\omega}_C \cdot \bar{j}$.

В координатной форме выражения (20) и (21) принимают вид

$$\begin{cases} \omega_x \\ \omega_y \\ \omega_z \end{cases} = \begin{cases} \omega_{Cx} \\ \omega_{Cy} + \dot{\theta} \\ \omega_{Cz} \end{cases}; \quad \begin{cases} \varepsilon_x \\ \varepsilon_y \\ \varepsilon_z \end{cases} = \begin{cases} \dot{\omega}_{Cx} + \dot{\theta}\omega_{Cz} \\ \dot{\omega}_{Cy} + \ddot{\theta} \\ \dot{\omega}_{Cz} + \dot{\theta}\omega_{Cx} \end{cases}, \quad (22)$$

где

$$\begin{cases} \omega_{Cx} \\ \omega_{Cy} \\ \omega_{Cz} \end{cases} = \begin{cases} \dot{\varphi} - \dot{\psi} \sin \chi_O \\ \dot{\psi} \cos \chi_O \sin \tilde{\varphi} + \dot{\chi}_O \cos \tilde{\varphi} \\ \dot{\psi} \cos \chi_O \cos \tilde{\varphi} - \dot{\chi}_O \sin \tilde{\varphi} \end{cases}. \quad (23)$$

Уравнения (19) справедливы при замене в них $\bar{\omega}, \bar{\varepsilon}$ на $\bar{\omega}_C, \bar{\varepsilon}_C$ (в этом легко убедиться непосредственной подстановкой (22) в (19)).

Напомним, что

$$\begin{aligned} \tilde{\varphi} &= \varphi + \varphi_O(S), \\ \tilde{\psi} &= \psi + \psi_O(S), \\ \chi_O &= \chi_O(S), \end{aligned} \quad (23^*)$$

где $\varphi_O(S), \psi_O(S), \chi_O(S)$ — известные функции. Учитывая сказанное, перепишем (19) в виде

$$\begin{cases} -\dot{\omega}_{Cz} + \omega_{Cy} \omega_{Cx} = \\ = \text{sign}(a_{2y}^* - a_{1y}^*) \frac{(a_{2x}^* - a_{1x}^*)}{(b_1 + b_2)}; \\ \omega_{Cx}^2 + \omega_{Cz}^2 = \\ = \text{sign}(a_{2y}^* - a_{1y}^*) \frac{(a_{2y}^* - a_{1y}^*)}{(b_1 + b_2)}; \\ \dot{\omega}_{Cx} + \omega_{Cy} \omega_{Cz} = \\ = \text{sign}(a_{2y}^* - a_{1y}^*) \frac{(a_{2z}^* - a_{1z}^*)}{(b_1 + b_2)}. \end{cases} \quad (24)$$

После подстановки (23) в (24) получим два дифференциальных уравнения второго порядка относительно углов $\tilde{\varphi}$ и $\tilde{\psi}$ в виде

$$\begin{aligned} \ddot{\tilde{\varphi}} &= -(\dot{\psi}^2 \sin \chi_O - 2\dot{\psi}\dot{\tilde{\varphi}}) \sin \chi_O \text{tg} \tilde{\varphi} + \\ &+ 2\dot{\tilde{\varphi}}\dot{\chi}_O \text{tg} \chi_O + \ddot{\chi}_O \text{tg} \chi_O \text{tg} \tilde{\varphi} + \\ &+ \text{sign}(a_{2y}^* - a_{1y}^*) \times \\ &\times \frac{(a_{2z}^* - a_{1z}^*) \cos \chi_O \cos \tilde{\varphi} - (a_{2x}^* - a_{1x}^*)}{\cos \chi_O \cos \tilde{\varphi} (b_1 + b_2)}; \\ \ddot{\tilde{\psi}} &= -(\dot{\psi}^2 \sin \chi_O - 2\dot{\psi}\dot{\tilde{\varphi}}) \text{tg} \tilde{\varphi} + \\ &+ \frac{2\dot{\tilde{\varphi}}\dot{\chi}_O}{\cos \chi_O} + \ddot{\chi}_O \frac{\text{tg} \tilde{\varphi}}{\cos \chi_O} - \text{sign}(a_{2y}^* - a_{1y}^*) \times \\ &\times \frac{(a_{2x}^* - a_{1x}^*)}{\cos \chi_O \cos \tilde{\varphi} (b_1 + b_2)} \end{aligned} \quad (25)$$

и дополнительно — уравнение кинематической связи

$$\begin{aligned} &(\dot{\tilde{\varphi}} + \dot{\psi} \sin \chi_O)^2 + \\ &+ (\dot{\psi} \cos \chi_O \cos \tilde{\varphi} - \dot{\chi}_O \sin \tilde{\varphi})^2 = \\ &= \text{sign}(a_{2y}^* - a_{1y}^*) \frac{(a_{2y}^* - a_{1y}^*)}{(b_1 + b_2)}. \end{aligned} \quad (26)$$

К уравнениям (25), (26) необходимо добавить начальные условия

$$\begin{aligned} t = 0 &\Rightarrow S = S(0) = S_0; \\ \chi_o(S), \dot{\chi}_o(S), \ddot{\chi}_o(S); \\ \tilde{\varphi} &= \tilde{\varphi}^0 = \varphi^0 + \varphi_o(S_0); \\ \tilde{\psi} &= \tilde{\psi}^0 = \psi^0 + \psi_o(S_0); \\ \dot{\tilde{\varphi}} &= \dot{\tilde{\varphi}}^0 = \dot{\varphi}^0 + \dot{\varphi}_o(S_0); \\ \dot{\tilde{\psi}} &= \dot{\tilde{\psi}}^0 = \dot{\psi}^0 + \dot{\psi}_o(S_0), \end{aligned} \quad (27)$$

которые должны удовлетворять уравнению дифференциальной связи (26).

Кроме сказанного, переменные $\tilde{\varphi}$, $\tilde{\psi}$ и начальные условия (27) должны удовлетворять — совместно с поступательными перемещениями центра масс $\{\tilde{u}\} = (x, y, z)^T$ — уравнениям мгновенных геометрических и кинематических неинтегрируемых (неголономных) связей колес с рельсами. Уравнения (25), (26) не могут быть проинтегрированы независимо от уравнений поступательного движения колесной пары с учетом упомянутых уравнений неголономных связей колес с рельсами [3].

Определение поступательного движения колесной пары

Используя выражения (16) и (12) для абсолютного ускорения центра масс в путевой системе координат $Sxuz$, получим выражение

$$\begin{aligned} \{\tilde{a}_C\}_C &= \frac{1}{2}\{a_1^* + a_2^*\} - \{\tilde{g}\}_C - \\ &- \frac{1}{2}[\dot{\tilde{\Omega}}_C + \tilde{\Omega}_C^2]\{(b_2 - b_1)\tilde{j}\}. \end{aligned} \quad (28)$$

В путевой системе координат $O\xi\eta\zeta$ для \tilde{a}_C

$$\{\tilde{a}_C\} = \Pi_C^O \{\tilde{a}_C\}_C, \quad \Pi_C^O = \Psi\Phi, \quad (29)$$

где $\{\tilde{a}_C\}_C$ дано по (28), а Ψ , Φ — матрицы поворотов репера относительно осей Cz и Cx на углы ψ и φ соответственно

$$\Psi = \begin{bmatrix} \cos \psi & -\sin \psi & 0 \\ \sin \psi & \cos \psi & 0 \\ 0 & 0 & 1 \end{bmatrix}, \quad \Phi = \begin{bmatrix} 1 & 0 & 0 \\ 0 & \cos \varphi & -\sin \varphi \\ 0 & \sin \varphi & \cos \varphi \end{bmatrix}.$$

Углы ψ , φ можно выразить через $\tilde{\psi}$, $\tilde{\varphi}$ по формулам (23*).

Матрица относительного поворота Π_C^O (репера $\{\tilde{e}_C\}$ относительно путевого репера $\{\tilde{e}_O\}$) имеет вид

$$\Pi_C^O = \Psi\Phi = \begin{bmatrix} \cos \psi & -\sin \psi \cos \varphi & \sin \psi \sin \varphi \\ \sin \psi & \cos \psi \cos \varphi & -\cos \psi \sin \varphi \\ 0 & \sin \varphi & \cos \varphi \end{bmatrix}. \quad (30)$$

Скорость \tilde{v}_C и ускорение \tilde{a}_C центра масс C в путевой системе координат $C\xi\eta\zeta$ имеют вид [4, 5]

$$\{\tilde{v}_C\} = \{\tilde{v}_O\} + \{\dot{\tilde{u}}\} + \tilde{\Omega}_O \{\tilde{\rho}_O + \tilde{u}\}, \quad (31)$$

$$\begin{aligned} \{\tilde{a}_C\} &= \{\tilde{a}_O\} + \{\ddot{\tilde{u}}\} + 2\tilde{\Omega}_O \{\dot{\tilde{u}}\} + \\ &+ [\dot{\tilde{\Omega}}_O + \tilde{\Omega}_O^2] \{\tilde{\rho}_O + \tilde{u}\}, \end{aligned} \quad (32)$$

где $\{\tilde{u}\} = (x, y, z)^T$ — вектор перемещения центра масс C ; $\{\tilde{\rho}_O\} = (0, 0, -h_C)^T$ — вектор базового положения центра масс C ; \tilde{v}_O, \tilde{a}_O — скорость и ускорение центра масс O путевого системы координат соответственно;

$$\begin{cases} \tilde{\Omega}_O \Leftrightarrow \{\tilde{\omega}_O\} = (\omega_{O\xi}, \omega_{O\eta}, \omega_{O\zeta})^T; \\ \dot{\tilde{\Omega}}_O \Leftrightarrow \{\tilde{\varepsilon}_O\} = \{\dot{\tilde{\omega}}_O\} = (\varepsilon_{O\xi}, \varepsilon_{O\eta}, \varepsilon_{O\zeta})^T \end{cases} \quad (33)$$

— матричные представления векторов угловой скорости $\tilde{\omega}_O$ и углового ускорения $\tilde{\varepsilon}_O$ репера $\{\tilde{e}_O\}$ путевого системы координат $O\xi\eta\zeta$; при этом $\{\tilde{v}_O\}, \{\tilde{a}_O\}$ и $\{\tilde{\omega}_O\}, \{\tilde{\varepsilon}_O\}$ в общем случае вычисляются по формулам (4) и (5), (7) соответственно или по формулам (8), (9) в частном случае движения по круговому участку пути.

Ускорение свободного падения \tilde{g} в путевой системе координат:

$$\{\tilde{g}\}_O = \begin{bmatrix} g_\xi \\ g_\eta \\ g_\zeta \end{bmatrix} = g \begin{bmatrix} -\sin \chi_O \\ \cos \chi_O \sin \varphi_O \\ \cos \chi_O \cos \varphi_O \end{bmatrix}. \quad (34)$$

После подстановки в левую часть равенства (32) вместо ускорения $\{\tilde{a}_C\}$ его

представления (29) с учетом (28) получим три дифференциальных уравнения второго порядка относительно перемещений $\{\bar{u}\} = (x, y, z)^T$ в виде

$$\begin{aligned} \{\ddot{\bar{u}}\} + 2\bar{\Omega}_O \{\dot{\bar{u}}\} + [\ddot{\bar{\Omega}}_O + \bar{\Omega}_O^2] \{\bar{\rho}_O + \bar{u}\} = \\ = \frac{1}{2} \Pi_C^O \{\bar{a}_1^* + \bar{a}_2^*\} - \frac{1}{2} \Pi_C^O [\ddot{\bar{\Omega}}_C + \bar{\Omega}_C^2] \{(b_2 - b_1)\bar{j}\} + \{\bar{g} - \bar{a}_O\}. \end{aligned} \quad (35)$$

В выражениях (28), (35) логично принять, что $b_1 = b_2 = b$; это означает, что акселерометры на крышках букс размещены на оси колесной пары симметрично относительно центра масс C (этого всегда можно добиться). Принимая $b_1 = b_2 = b$, для абсолютного ускорения центра масс \bar{a}_C (28) получим выражение

$$\{\bar{a}_C\} = \frac{1}{2} \Psi \Phi \{\bar{a}_1^* + \bar{a}_2^*\} - \{\bar{g}\}_O. \quad (36)$$

Уравнения (35) в развернутой форме примут вид

$$\begin{aligned} \begin{Bmatrix} \dot{x} \\ \dot{y} \\ \dot{z} \end{Bmatrix} + 2 \begin{Bmatrix} -\omega_{O_\zeta} \dot{y} + \omega_{O_\eta} \dot{z} \\ \omega_{O_\zeta} \dot{x} - \omega_{O_\xi} \dot{z} \\ -\omega_{O_\eta} \dot{x} + \omega_{O_\xi} \dot{y} \end{Bmatrix} + \\ + \begin{Bmatrix} -(\omega_{O_\zeta}^2 + \omega_{O_\eta}^2)x + (-\dot{\omega}_{O_\zeta} + \omega_{O_\eta} \omega_{O_\xi})y + (\dot{\omega}_{O_\eta} + \omega_{O_\zeta} \omega_{O_\xi})(z - h_C) \\ (\dot{\omega}_{O_\zeta} + \omega_{O_\xi} \omega_{O_\eta})x - (\omega_{O_\zeta}^2 + \omega_{O_\xi}^2)y + (-\dot{\omega}_{O_\xi} + \omega_{O_\zeta} \omega_{O_\eta})(z - h_C) \\ (-\dot{\omega}_{O_\eta} + \omega_{O_\xi} \omega_{O_\zeta})x + (\dot{\omega}_{O_\xi} + \omega_{O_\eta} \omega_{O_\zeta})y - (\omega_{O_\eta}^2 + \omega_{O_\xi}^2)(z - h_C) \end{Bmatrix} = \\ = \begin{Bmatrix} \frac{1}{2} \left(\cos \psi \sum_j a_{jx}^* - \sin \psi \cos \varphi \sum_j a_{jy}^* + \sin \psi \sin \varphi \sum_j a_{jz}^* \right) + g_\xi - a_{O_\xi} \\ \frac{1}{2} \left(\sin \psi \sum_j a_{jx}^* + \cos \psi \cos \varphi \sum_j a_{jy}^* - \cos \psi \sin \varphi \sum_j a_{jz}^* \right) + g_\eta - a_{O_\eta} \\ \frac{1}{2} \left(\sin \varphi \sum_j a_{jy}^* + \cos \varphi \sum_j a_{jz}^* \right) + g_\zeta - a_{O_\zeta} \end{Bmatrix}, \end{aligned} \quad (37)$$

где g_ξ, g_η, g_ζ даны по (34) и следует учесть выражения для компонентов векторов $\{\bar{\omega}_O\}$ и $\{\dot{\bar{\omega}}_O\}$ согласно (5), (7) и вектора $\{\bar{a}_O\}$ по (4) в общем случае или по формулам (8), (9) в случае движения по круговому участку пути.

К уравнениям (37) следует добавить начальные условия:

$$\begin{cases} t = 0, x = x_O, y = y_O, z = z_O, \\ \dot{x} = \dot{x}_O, \dot{y} = \dot{y}_O, \dot{z} = \dot{z}_O. \end{cases} \quad (38)$$

Уравнения поступательного движения колесной пары (37) могут быть проинтегрированы только совместно с уравнениями сферического движения (25), (26), при этом переменные x, y, z совместно с φ, ψ (23*) должны удовлетворять уравнениям мгновенных связей колес с рельсам, как указывалось выше, уравнения (37), как и уравнения (25), (26), являются кинематическими, так как не содержат явно действующих сил и инерционных характеристик.

Мгновенные геометрические связи колес с рельсами

Пусть $K_j(j = 1,2)$ — точки мгновенного контакта колес с рельсами (рис. 1), а точки $K_j^O(j = 1,2)$ — точки мгновенного контакта рельсов с колесами (на рис. 1 точки K_j^O не показаны). Пусть также \bar{e}_{3j} и \bar{e}_{3j}^O нормальные орты локальных реперов площадок контакта на колесах $\{\bar{e}_{K_j}\}$ и на рельсах $\{\bar{e}_{K_j}^O\}$ соответственно.

Геометрические условия мгновенного непроникающего контакта колес с рельсами в совпадающих точек $K_j = K_j^O$ в путевой системе координат $[O\xi\eta\zeta, \{\bar{e}_O\}]$ запишутся в виде

$$\{\bar{p}_{K_j}\} = \{\bar{p}_{K_j^O}^O\}, \{\bar{e}_{3j}\} = \{\bar{e}_{3j}^O\}, (j = 1,2), (39)$$

где $\bar{p}_{K_j} = \overline{OK_j}$, $\bar{p}_{K_j^O}^O = \overline{OK_j^O}$ — соответствующие радиус-векторы точек K_j на колесах и точек K_j^O на рельсах и заключаются в совпадении координат точек контакта на колесах и рельсах и совпадении нормалей в точках контакта для конкретного фиксированного момента времени (в соответствии с принципом мгновенной склерономизации связей) [3–5].

Подробнее с уравнениями мгновенных геометрических связей колес с рельсами (39) и процедурой определения координат совпадающих точек мгновенного контакта $K_j = K_j^O = M_j$ на колесах $\{\bar{r}_{M_j}\} = (x_{M_j}, y_{M_j}, z_{M_j})^T$ и K_j^O на рельсах $\{\bar{r}_{M_j}^O\} = (x_{M_j}^O, y_{M_j}^O, z_{M_j}^O)^T$ можно ознакомиться в работе [3] и более ранних [4, 5]. Здесь же отметим, что условия совпаде-

ния нормалей (второе из условий (39)) удастся удовлетворить в общем виде. При этом собственные координаты точек мгновенного контакта $K_j = K_j^O = M_j$ на рельсах (в координатах $C_j^O x_j^O y_j^O z_j^O$) и на колесах (в координатах $Cxyz$) соответственно имеют вид

$$\begin{cases} x_{M_j}^O \\ y_{M_j}^O \\ z_{M_j}^O \end{cases} = \begin{cases} x_{M_j}^O \\ y_{M_j}^O \\ f_j^O(y_{M_j}^O) \end{cases}, \quad \begin{cases} x_{M_j} \\ y_{M_j} \\ z_{M_j} \end{cases} = \begin{cases} f_j(y_{M_j}) \sin \alpha_{M_j} \\ y_{M_j} \\ f_j(y_{M_j}) \cos \alpha_{M_j} \end{cases}, (40)$$

где $f_j^O(y_j^O), f_j(y_j)$ — функции, описывающие образующие поверхностей катания рельсов (с боковыми гранями) и поверхностей катания колес соответственно; α_{M_j} — углы забегания точек K_j на мгновенных кругах катания колес (с радиусами катания $r_{M_j} = f_j(y_{M_j})$), определяемые в виде

$$\operatorname{tg} \alpha_{K_j} = - \frac{\operatorname{tg}(\beta_{K_j} + \varphi)}{\sqrt{1 - \operatorname{tg}^2 \psi \operatorname{tg}^2(\beta_{K_j} + \varphi)}}, (41)$$

где углы β_{K_j} , характеризующие наклон касательных на поверхностях катания колес, определены через производные от функций f_j в виде [3]

$$\operatorname{tg} \beta_{M_j} = f_j'(y_{M_j}). (42)$$

В путевой системе координат $O\xi\eta\zeta$ для точек K_j и K_j^O соответственно имеем

$$\{\bar{p}_{M_j}^O\} = \begin{cases} \xi_{M_j}^O \\ \eta_{M_j}^O \\ \zeta_{M_j}^O \end{cases} = \begin{cases} \xi_{C_j^O} + x_{M_j}^O \\ \eta_{C_j^O} + y_{M_j}^O \cos \bar{\gamma}_j - z_{M_j}^O \sin \bar{\gamma}_j \\ \zeta_{C_j^O} + y_{M_j}^O \sin \bar{\gamma}_j + z_{M_j}^O \sin \bar{\gamma}_j \end{cases}, (j = 1,2)$$

$$\{\bar{p}_{M_j}\} = \begin{cases} \xi_{M_j} \\ \eta_{M_j} \\ \zeta_{M_j} \end{cases} = \begin{cases} x + x_{M_j} \cos \psi - y_{M_j} \sin \psi \\ y + x_{M_j} \sin \psi \cos \varphi + y_{M_j} \cos \psi \cos \varphi - z_{M_j} \sin \varphi \\ z - h_C + x_{M_j} \sin \psi \sin \varphi + y_{M_j} \cos \psi \sin \varphi + z_{M_j} \cos \varphi \end{cases}, (j = 1,2) (43)$$

где $\bar{\gamma}_j = \gamma_j + \varphi_{P_j}^O$ (γ_j — углы подуклонки рельсов, $\varphi_{P_j}^O$ — углы поворота контактных сечений рельсов относительно продольных осей); $\xi_{C_j^O}$, $\eta_{C_j^O}$, $\zeta_{C_j^O}$ — путевые координаты центров тяжести поперечных сечений рельсов.

Нормальные орты $\{\bar{e}_{3j}\} = \{\bar{e}_{3j}^O\}$ в точках мгновенного контакта $K_j = K_j^O = M_j$ в путевой системе координат имеют вид

$$\{\bar{e}_{3j}\} = \{\bar{e}_{3j}^O\} = (0, -\sin(\beta_{M_j}^O + \bar{\gamma}_j), \cos(\beta_{M_j}^O + \bar{\gamma}_j))^T, \quad (44)$$

где углы $\beta_{M_j}^O$ определяются в виде

$$\operatorname{tg}\beta_{M_j}^O = f_j^{O'}(y_{M_j}^O), \quad (45)$$

а углы $\bar{\gamma}_j = \gamma_j + \varphi_{P_j}^O$ указаны выше.

Условие совпадения нормалей в (39) имеет вид уравнения

$$\Re_j[y_{M_j}^O, y_{M_j}^O, \bar{q}_j(t)] = 0, \quad (j = 1, 2), \quad (46)$$

где обозначено

$$\Re_j = \operatorname{tg}(\beta_{M_j}^O + \bar{\gamma}_j) - \frac{\operatorname{tg}(\beta_{M_j} + \varphi)}{\sqrt{\cos^2 \psi - \sin^2 \psi \operatorname{tg}^2(\beta_{M_j} + \varphi)}}, \quad (47)$$

а через $\bar{q}_j(t) = (t, \varphi_{P_j}^O, \varphi, \psi)$ обозначены динамические переменные, входящие в (47).

Первая группа условий в (39) приводит к системе равенств

$$\xi_{M_j} = \xi_{M_j}^O, \quad \eta_{M_j} = \eta_{M_j}^O, \quad \zeta_{M_j} = \zeta_{M_j}^O, \quad (48)$$

где следует учесть выражения (43).

Из первого уравнения в (48) сразу находим выражение для координат $x_{M_j}^O$ в виде

$$x_{M_j}^O = x - \sin \psi \left\{ y_{M_j} + f_j'(y_{M_j}) \left[\frac{f_j'(y_{M_j}) + \operatorname{tg}\varphi}{1 - f_j'(y_{M_j})\operatorname{tg}\varphi} \right] \right\}, \quad (49)$$

где использованы равенства (40). Из двух последних уравнений в (48), также используя (40), выразим координаты $y_{M_j}^O$ и $z_{M_j}^O$ в виде [3]

$$\begin{cases} y_{M_j}^O = \tilde{y}_{M_j}^O(y_{M_j}, y_{P_j}^O, z_{P_j}^O, \varphi_{P_j}^O, x, y, z, \varphi, \psi); \\ z_{M_j}^O = \tilde{z}_{M_j}^O(y_{M_j}, y_{P_j}^O, z_{P_j}^O, \varphi_{P_j}^O, x, y, z, \varphi, \psi), \end{cases} \quad (50)$$

$$\begin{cases} \tilde{y}_{M_j}^O = (y - \eta_{C_j^O}) \cos \bar{\gamma}_j + (z - h_C - \zeta_{C_j^O}) \sin \bar{\gamma}_j + \cos \psi \cos(\bar{\gamma}_j - \varphi) \times \\ \times [y_{M_j} - f_j(y_{M_j}) \operatorname{tg}^2 \psi \operatorname{tg}(\beta_{M_j} + \varphi)] + \sin(\bar{\gamma}_j - \varphi) f_j(y_{M_j}) \sqrt{1 - \operatorname{tg}^2 \psi \operatorname{tg}^2(\beta_{M_j} + \varphi)}; \\ \tilde{z}_{M_j}^O = -(y - \eta_{C_j^O}) \sin \bar{\gamma}_j + (z - h_C - \zeta_{C_j^O}) \cos \bar{\gamma}_j - \cos \psi \sin(\bar{\gamma}_j - \varphi) \times \\ \times [y_{M_j} - f_j(y_{M_j}) \operatorname{tg}^2 \psi \operatorname{tg}(\beta_{M_j} + \varphi)] + \cos(\bar{\gamma}_j - \varphi) f_j(y_{M_j}) \sqrt{1 - \operatorname{tg}^2 \psi \operatorname{tg}^2(\beta_{M_j} + \varphi)}, \end{cases} \quad (51)$$

где

$$\operatorname{tg}(\beta_{M_j} + \varphi) = \frac{f_j'(y_{M_j}) + \operatorname{tg}\varphi}{1 - f_j'(y_{M_j})\operatorname{tg}\varphi}.$$

Подставляя выражения (50) в уравнения поверхностей головок рельсов, получим нелинейное алгебраическое уравнение относительно координаты y_{M_j} в виде

$$\mathfrak{R}_j^O[y_{M_j}, \bar{q}_j^O(t)] = 0, \quad (j = 1, 2), \quad (52)$$

где обозначено (с учетом (51))

$$\mathfrak{R}_j^O = \tilde{z}_{M_j}^O - f_j^O(\tilde{y}_{M_j}^O), \quad (53)$$

а через $\bar{q}_j^O(t) = (t, y_{P_j}^O, z_{P_j}^O, \varphi_{P_j}^O, y, z, \varphi, \psi)$ обозначена совокупность динамических переменных, входящих в (53).

Совместное решение системы алгебраических уравнений (46), (52) относительно координат $y_{M_j}, y_{M_j}^O$ с последующим использованием выражений (40), (49) является важной составной частью проблемы определения координат точек мгновенного контакта колес с рельсами ($K_j = K_j^O = M_j$) для любого фиксированного момента времени t , то есть и для определения движения колесной пары (время t входит в указанные уравнения через дуговую координату $S = S(t)$, задающую движение путевого репера).

Динамические переменные, входящие в $\bar{q}_j(t), \bar{q}_j^O(t)$, не являются независимыми. Используя принцип мгновенной склерономизации связей (то есть фиксируя мгновенные точки контакта) из уравнений (48), после усреднения их по $j = 1, 2$, несложно найти зависимость между x, y, z, φ, ψ , например, в виде

$$\begin{aligned} x &= x(t, \varphi, \psi), \\ y &= y(t, \varphi, \psi), \\ z &= z(t, \varphi, \psi). \end{aligned} \quad (54)$$

Уравнения (48) или (54) совместно с уравнениями (46), (52) позволяют непосредственно определить (задать) согласованные начальные условия для координат колесной пары и координат точек мгновенного контакта колес с рельсами в виде

$$\begin{cases} t = 0 \Leftrightarrow \varphi = \varphi^0, \psi = \psi^0, \\ x = x(0, \varphi^0, \psi^0), \\ y = y(0, \varphi^0, \psi^0), \\ z = z(0, \varphi^0, \psi^0), \\ y_{M_j} = y_{M_j}^O(0, \varphi^0, \psi^0), \\ y_{M_j}^O = y_{M_j}^O(0, \varphi^0, \psi^0). \end{cases} \quad (55)$$

Уравнения связей (54) справедливы для малого промежутка времени τ , начиная с момента мгновенной фиксации координат точек контакта $K_j = K_j^O = M_j$ колес с рельсами, что обуславливает существенно пошаговый характер решения задачи во времени.

Задание (доопределение) начальных условий для скоростей возможно лишь при использовании неголономных связей колес с рельсами.

Моделирование рельсового пути

Зависимость от времени конфигурации рельсовых нитей в процессе движения колесной пары (экипажа) складывается как за счет износа рабочих поверхностей рельсов и непосредственных вертикальных, поперечных и угловых отклонений поперечных сечений рельсов, так и за счет динамических прогибов рельсов. В данной работе предполагается упрощенный вариант рельсового пути, когда рельсовые нити принимаются как абсолютно жесткие неподвижные тела с обобщенными неровностями, описываемыми аналитическими функциями $\tilde{y}_{P_j}(S), \tilde{z}_{P_j}(S), \tilde{\varphi}_{P_j}(S)$, где $S = S(t)$ — дуговая координата, задающая движение путевого репера. Такой подход зачастую используется в инженерных и в теоретических моделях при исследовании динамики рельсовых экипажей [9–11].

Наиболее эффективным представляется вариант, когда одновременно с показаниями акселерометров снимаются характеристики рельсового пути, включая профилограммы поверхностей катания и боковых граней рельсов. Также может быть эффективным одновременное использование видеорегирующей аппаратуры.

Условия безотрывного движения колесной пары и уравнения

неголономных связей колес с рельсами

Движение колесной пары будем считать безотрывным, если в каждый момент времени у каждого из колес имеется хотя бы одна точка непроникающего контакта с соответствующим рельсом, в которой выполнены геометрические условия (39). Кинематические условия непроникания предполагают, что в мгновенно фиксированных точках контакта $K_j = K_j^O = M_j$ должны кроме (39) выполняться условия [3–5]

$$((\bar{v}_{M_j} - \bar{v}_{M_j}^O) \cdot \bar{e}_{3M_j}^O) \leq 0. \quad (56)$$

В случае неподвижных рельсов $\bar{v}_{M_j}^O = 0$. При безотрывном движении условие (56) должно выполняться со знаком равенства хотя бы для одной точки контакта на каждом из колес.

Допустим, что в начальный момент времени ($t = 0$) выполняются геометрические условия (39) и условие (56) со знаком равенства в виде $(\bar{v}_{M_j}^O = 0)$

$$(\bar{v}_{M_j} \Big|_{j=0} \cdot \bar{e}_{3M_j}^O) = 0, (\bar{e}_{3M_j}^O = \bar{e}_{3M_j}). \quad (57)$$

Тогда условием сохранения непроникающего контакта при последующем движении колесной пары можно считать условие $(\dot{\bar{v}}_{M_j} \cdot \bar{e}_{3M_j}^O) = 0$ или $(\bar{a}_{M_j} \cdot \bar{e}_{3M_j}^O) = 0$, то есть условие равенства нулю нормальной составляющей относительного ускорения ($\bar{a}_{M_j}^O = 0$) при мгновенно фиксированных нормальных ортах $\bar{e}_{3M_j}^O = \bar{e}_{3M_j}$.

Равенства

$$(\bar{v}_{M_j} \cdot \bar{e}_{3M_j}) = 0, (\bar{a}_{M_j} \cdot \bar{e}_{3M_j}) = 0, (j = 1, 2), \quad (58)$$

где $\bar{a}_{M_j} = \dot{\bar{v}}_{M_j}$ представляют собой уравнения неголономных (кинематических неинтегрируемых) связей, число которых совпадает с числом точек сохраняю-

щегося контакта. При этом контакт колеса с рельсом может быть одно-, двух- или многоточечным. Условия (58) указывают, что векторы относительных скоростей и ускорений точек сохраняющегося контакта $K_j = K_j^O$ лежат в плоскостях мгновенно совпадающих площадок контакта $\pi_{K_j} = \pi_{K_j^O}$ на колесах и рельсах соответственно (эти площадки могут только поворачиваться относительно друг друга вокруг общей нормали).

Скорости \bar{v}_{K_j} точек мгновенного контакта на колесах $M_j = K_j$ в путевой системе координат $O\xi\eta\zeta$ имеют вид

$$\begin{aligned} \{\bar{v}_{K_j}\} &= \{\bar{v}_O\} + \{\dot{\bar{u}}\} + \\ &+ \bar{\Omega}_O \{\bar{\rho}_O + \bar{u}\} + \Pi_C^O \bar{\Omega} \{\bar{r}_{K_j}\}, \end{aligned} \quad (59)$$

а ускорения –

$$\begin{aligned} \{\bar{a}_{K_j}\} &= \Pi_C^O \{\bar{a}_{K_j}\}_C = \frac{1}{2} \Pi_C^O \{\bar{a}_1^* + \bar{a}_2^*\} - \\ &- \{\bar{g}\}_O + \Pi_C^O [\bar{\Omega} + \bar{\Omega}^2] \{\bar{r}_{K_j}\}. \end{aligned} \quad (60)$$

В более подробной записи для $\{\bar{v}_{K_j}\}$ имеем

$$\begin{aligned} \begin{Bmatrix} v_{K_j\xi} \\ v_{K_j\eta} \\ v_{K_j\zeta} \end{Bmatrix} &= \begin{Bmatrix} \dot{S} + \dot{x} + \omega_{O\eta}(z - h_C) - \omega_{O\zeta}y \\ \dot{y} + \omega_{O\zeta}x - \omega_{O\xi}(z - h_C) \\ \dot{z} + \omega_{O\xi}y - \omega_{O\eta}x \end{Bmatrix} + \\ &+ \begin{Bmatrix} \cos \psi (\omega_y z_{K_j} - \omega_z y_{K_j}) - \\ - \sin \psi \cos \varphi (\omega_z x_{K_j} - \omega_x z_{K_j}) + \\ + \sin \psi \sin \varphi (\omega_x y_{K_j} - \omega_y x_{K_j}) \\ \sin \psi (\omega_y z_{K_j} - \omega_z y_{K_j}) + \\ + \cos \psi \cos \varphi (\omega_x x_{K_j} - \omega_x z_{K_j}) - \\ - \cos \psi \sin \varphi (\omega_x y_{K_j} - \omega_y x_{K_j}) \\ \sin \varphi (\omega_z x_{K_j} - \omega_x z_{K_j}) + \\ + \cos \varphi (\omega_x y_{K_j} - \omega_y x_{K_j}) \end{Bmatrix}, \end{aligned} \quad (59^*)$$

а для $\{\bar{a}_{K_j}\}$

$$\begin{aligned} & \begin{cases} a_{K_j\xi} \\ a_{K_j\eta} \\ a_{K_j\zeta} \end{cases} = \Pi_C^O \begin{cases} \frac{1}{2}(a_{1x}^* + a_{2x}^*) \\ \frac{1}{2}(a_{1y}^* + a_{2y}^*) \\ \frac{1}{2}(a_{1z}^* + a_{2z}^*) \end{cases} + \\ & + \begin{cases} -g \sin \chi_O \\ g \cos \chi_O \sin \varphi_O \\ g \cos \chi_O \cos \varphi_O \end{cases} + \\ & + \Pi_C^O \begin{cases} -(\omega_z^2 + \omega_y^2)x_{K_j} + \\ +(-\dot{\omega}_z + \omega_y \omega_x)y_{K_j} + \\ +(\dot{\omega}_y + \omega_z \omega_x)z_{K_j} \\ (\dot{\omega}_z + \omega_x \omega_y)x_{K_j} - \\ -(\omega_z^2 + \omega_x^2)y_{K_j} + \\ +(-\dot{\omega}_x + \omega_z \omega_y)z_{K_j} \\ (-\dot{\omega}_y + \omega_x \omega_z)x_{K_j} + \\ +(\dot{\omega}_x + \omega_y \omega_z)y_{K_j} - \\ -(\omega_y^2 + \omega_x^2)z_{K_j} \end{cases}, \quad (60^*) \end{aligned}$$

где матрица поворота $\Pi_C^O = \Psi\Phi$ дана выражением (30).

В (59), (60) $\{\bar{r}_{K_j}\} = (x_{K_j}, y_{K_j}, z_{K_j})^T$ учтены выражения (31) и (28) (при $b_2 = b_1$) соответственно, а также следует учесть выражения для $\bar{\omega}, \bar{\varepsilon}$ (22), для Π_C^O — (30) и для $\bar{\omega}_O$ — (5) или (9).

Векторы единичных нормалей $\bar{e}_{3K_j}^O = \bar{e}_{3K_j}$ в путевой системе координат представлены выражениями (44).

Раскрывая скалярные произведения в правых частях уравнений (58), обозначим их через

$$\begin{cases} N_{K_j}^v = v_{K_j\xi} \cos(\beta_{K_j}^O + \bar{\gamma}_j) - \\ -v_{K_j\xi} \sin(\beta_{K_j}^O + \bar{\gamma}_j); \\ N_{K_j}^a = a_{K_j\xi} \cos(\beta_{K_j}^O + \bar{\gamma}_j) - \\ -a_{K_j\xi} \sin(\beta_{K_j}^O + \bar{\gamma}_j), \end{cases} \quad (61)$$

где учтены выражения для нормальных ортов в точках контакта (44) и следует учесть выражения (59*) и (60*).

В выражениях (61) углы $\beta_{K_j}^O + \bar{\gamma}_j$ фиксированы в соответствии с принципом мгновенной склерономизации связей.

В результате уравнения неголономных связей (58) примут вид нелинейных дифференциально-алгебраических уравнений

$$\begin{aligned} & N_{K_j}^v [S(t), \dot{S}(t), x, y, z, \varphi, \\ & \psi, \dot{x}, \dot{y}, \dot{z}, \dot{\varphi}, \dot{\psi}, \dot{\theta}^*, \dots] = 0 \end{aligned} \quad (62)$$

и соответственно

$$\begin{aligned} & N_{K_j}^a [S(t), \dot{S}(t), \tilde{\varphi}, \tilde{\psi}, \dot{\tilde{\varphi}}, \dot{\tilde{\psi}}, \\ & \ddot{\tilde{\varphi}}, \ddot{\tilde{\psi}}, \dot{\theta}^*, \ddot{\theta}^*, \bar{a}_1^*, \bar{a}_2^*, \dots] = 0, \end{aligned} \quad (63)$$

где $\tilde{\varphi} = \varphi + \varphi_O(S)$, $\tilde{\psi} = \psi + \psi_O(S)$ в соответствии с (23*), ($j = 1, 2$).

Исключая из уравнений (63) вторые производные $\ddot{\tilde{\varphi}}, \ddot{\tilde{\psi}}$ с помощью выражений (25), приведем их к виду

$$\begin{aligned} & N_{K_j}^a [S(t), \dot{S}(t), \tilde{\varphi}, \tilde{\psi}, \dot{\tilde{\varphi}}, \\ & \dot{\tilde{\psi}}, \dot{\theta}^*, \ddot{\theta}^*, \bar{a}_1^*, \bar{a}_2^*, \dots] = 0. \end{aligned} \quad (64)$$

Уравнение внутренней кинематической связи (26) представим в виде

$$N^o [S(t), \dot{S}(t), \tilde{\varphi}, \dot{\tilde{\varphi}}, \dot{\tilde{\psi}}, \bar{a}_1^*, \bar{a}_2^*, \dots] = 0. \quad (65)$$

Уравнения (62), (64), (65) справедливы для малого промежутка времени τ , начиная с момента мгновенной фиксации координат точек контакта $K_j = K_j^O = M_j$, также как и уравнения геометрических связей (54) (или (48)).

Пошаговая процедура определения движения колесной пары

При определении движения колесной пары вдоль рельсовой колеи сперва определяем согласованные начальные условия (55) для координат колесной пары и координат точек мгновенного контакта колес с рельсами

$$\begin{aligned} & t = t_0 \Leftrightarrow \{\varphi^0, \psi^0, x^0, y^0, z^0\} \cup \\ & \cup \{y_{M_j}(0), y_{M_j}^O(0)\}, (j = 1, 2) \end{aligned} \quad (66)$$

путем согласованного решения системы уравнений (48) и (46), (52).

Далее подставляем начальные условия (66) в уравнения неголономных

связей (62), (64) и в уравнение кинематической связи (65). Разрешая полученную систему уравнений относительно скоростей, получим начальные условия для скоростей

$$t = t_0 \Leftrightarrow \{\dot{\phi}^0, \dot{\psi}^0, \dot{x}^0, \dot{y}^0, \dot{z}^0\}. \quad (67)$$

Если количества точек контакта $K_j = K_j^0$ какого-либо колеса с рельсом больше единицы, то на этом колесе выбираем одну точку сохраняющего контакта. В этом случае число уравнений (62), (64), (65) будет равно числу неизвестных, а решение (67) будет существовать.

После определения начальных скоростей (67) определяем координаты колесной пары (положение колесной пары) на момент $t_1 = \tau_1$ в виде

$$\begin{aligned} t = t_0 \Leftrightarrow \{\phi^{(1)} = \phi^0 + \dot{\phi}^0 \tau_1, \psi^{(1)} = \\ = \psi^0 + \dot{\psi}^0 \tau_1, \dots, z^{(1)} = z^0 + \dot{z}^0 \tau_1\}, \quad (68) \end{aligned}$$

где τ_1 — пробный шаг интегрирования по времени, подлежащий корректровке.

Далее найденные значения координат (68) подставляем в уравнения (46), (52) в виде

$$\begin{cases} \mathfrak{R}_j[y_{M_j}, y_{M_j}^0, \bar{q}_j(t_1)] = 0; \\ \mathfrak{R}_j^0[y_{P_j}^0, \bar{q}_j^0(t_1)] = 0, \end{cases} \quad (69)$$

где

$$\begin{aligned} \bar{q}_j(t_1) &= (t_1, \phi_{P_j}^0(t_1), \phi^{(1)}, \psi^{(1)}), \\ \bar{q}_j^0(t_1) &= (t_1, y_{P_j}^0(t_1), z_{P_j}^0(t_1), \\ &\phi_{P_j}^0(t_1), y^{(1)}, z^{(1)}, \phi^{(1)}, \psi^{(1)}). \end{aligned}$$

Решая систему уравнений (69) относительно y_{M_j} , $y_{M_j}^0$ и используя далее уравнения (40), найдем координаты точек K_j и K_j^0 для момента $t = t_1$:

$$\begin{aligned} t = t_1 \Leftrightarrow \{x_{K_j}(t_1), y_{K_j}(t_1), z_{K_j}(t_1), \\ x_{K_j}^0(t_1), y_{K_j}^0(t_1), z_{K_j}^0(t_1)\}. \quad (70) \end{aligned}$$

Фиксируя найденные значения координат (70), подставляем их в уравне-

ния геометрических связей (48) и находим согласованные координаты колесной пары для момента $t = t_1$:

$$\begin{aligned} t = t_1 \Leftrightarrow \{\phi(t_1), \psi(t_1), x(t_1), y(t_1), z(t_1)\} \cup \\ \cup \{y_{M_j}(t_1), y_{M_j}^0(t_1)\}, \quad (j = 1, 2). \quad (71) \end{aligned}$$

По рассогласованию полученных значений координат (71) с их значениями (68) определяем множество возможных значений шага интегрирования в виде

$$\left\{ \begin{aligned} \tau_\phi &= \frac{\phi(t_1) - \phi^0}{\dot{\phi}^0}, \\ \tau_\psi &= \frac{\psi(t_1) - \psi^0}{\dot{\psi}^0}, \\ &\dots, \\ \tau_z &= \frac{z(t_1) - z^0}{\dot{z}^0} \end{aligned} \right\} \quad (72)$$

и выбираем для τ_1 скорректированное значение $\tau_1 = \min\{\tau_\phi, \tau_\psi, \dots, \tau_z\}$, добиваясь сближения решений (71) и (68).

Окончательное решение на первом шаге обозначим

$$t = t_1^* \Leftrightarrow \{\phi_*^{(1)}, \psi_*^{(1)}, x_*^{(1)}, y_*^{(1)}, z_*^{(1)}\}. \quad (73)$$

Знак «*» в (73) означает, что решение согласованно по времени с моментами замера ускорений \ddot{a}_j^* точек B_j ($j = 1, 2$) и угловой скорости собственного (волчкового) вращения колесной пары $\dot{\theta}^*$.

После получения решения на первом шаге вычисляем вторые производные $\ddot{\phi}^*$, $\ddot{\psi}^*$ по формулам (25),

$$\{\ddot{u}^*\} = (\ddot{x}^*, \ddot{y}^*, \ddot{z}^*)^T$$

по формулам (35), (37) и

$$\ddot{\theta}^* = \frac{(\theta^{*(1)} - \theta^{*(0)})}{\tau_1}.$$

Далее вычисляем основные кинематические характеристики абсолютно го движения колесной пары: для сферического движения колесной пары: для сферического движения $\ddot{\epsilon}^*$, $\ddot{\omega}^*$ по формулам (21)–(23) и поступательного движения

\bar{a}_c^*, \bar{v}_c^* по формулам (36) и (31) соответственно. Затем переходим ко второму шагу интегрирования и повторяем описанную процедуру.

Таким образом, движение колесной пары полностью определено.

Выводы

1. Получена замкнутая система дифференциально-алгебраических уравнений движения колесной пары на основе измерения ускорений двух точек на буксах, измерения угловой скорости ее собственного волчкового вращения и использования уравнений кинематики и уравнений

мгновенных неголономных связей колес с рельсами.

2. Разработан пошаговый алгоритм решения полученной системы уравнений движения и определения всех кинематических характеристик колесной пары.
3. Полученные результаты могут быть использованы при разработке методики экспериментально-аналитического исследования инерционной нагруженности, а также сил и процессов контактного взаимодействия колес с рельсами в системе «колесная пара — рельсовая колея» в процессе движения. ■

Литература

1. Анисимов П. С. Испытания вагонов. М. : Маршрут, 2004. 197 с. ISBN 5-89035-152-4.
2. Добычин И. А., Градинаров М. Ю. Метод акселерометров в оценке инерционной нагруженности и определении пространственных движений элементов подвижного состава // Транспорт Урала. 2014, № 1(40). С. 38–44. ISSN 1815-9400.
3. Добычин И. А., Градинаров М. Ю. Неголономная динамика колесной пары // Вестник УрГУПС. 2012, № 1 (13). С. 22–38. ISSN 2070-0392.
4. Добычин И. А., Смольянинов А. В., Павлюков А. Э. Основы нелинейной механики рельсовых экипажей. Екатеринбург : НУУДО «Межотраслевой региональный центр», 1999, 265 с.
5. Добычин И. А., Смольянинов А. В., Павлюков А. Э. Теоретические основы нелинейной механики рельсовых экипажей. Екатеринбург : Изд. Г. П. Калинина, 2009, 278 с. ISBN 978-5-901487-53-2.
6. Корн Г., Корн Т. Справочник по математике (для научных работников и инженеров). М. : Наука, 1968. 720 с.
7. Шахунянц Г. М. Железнодорожный путь. М. : Транспорт, 1987. 479 с.
8. Амелин С. В., Андреев Г. Е. Устройство и эксплуатация пути. М. : Транспорт, 1986. 238 с.
9. Соколов М. М., Хусидов В. Д., Минкин Ю. Г. Динамическая нагруженность вагона. М. : Транспорт, 1981. 207 с.
10. Кондрашов В. М. Единые принципы исследования динамики железнодорожных экипажей в теории и эксперименте. М. : Интекст, 2001. 190 с. ISBN : 5-89277-027-3.
11. Гарг В. К., Дуккшати Р. В. Динамика подвижного состава / пер. с англ. / М., 1988, 391 с.

References

1. Anisimov P. S. Ispytaniya vagonov. [Railway car testing]. M. : Marshrut, 2004. 197 p. ISBN 5-89035-152-4.
2. Dobychin I. A., Gradinarov M. Yu. Metod akselerometrov v ocenke inercionnoy nagruzhennosti i opredelenii prostranstvennykh dvizheniy elementov podvizhnogo sostava [Accelerometer method in evaluation of inertial loading and definition of spatial movements of rolling stock components] // Transport of the Urals. 2014, № 1(40). P. 38–44. ISSN 1815-9400.
3. Dobychin I. A., Gradinarov M. Yu. Negolonomnaya dinamika kolesnoy pary [Nonholonomic dynamics of a wheelset] // Herald of USURT. 2012, № 1 (13). p. 22–38. ISSN 2070-0392.
4. Dobychin I. A., Smolyaninov A. V., Pavlyukov A. E. Osnovy nelineynoy mekhaniki relsovykh ekipazhey. [Fundamentals of nonlinear mechanics of rail vehicles]. Ekaterinburg : NUUDO «Mezhotraslevoy regionalny centr», 1999, 265 p.
5. Dobychin I. A., Smolyaninov A. V., Pavlyukov A. E. Teoreticheskie osnovy nelineynoy mekhaniki relsovykh ekipazhey. [Theoretical fundamentals of nonlinear mechanics of railway vehicles]. Ekaterinburg : Izd. G. P. Kalinina, 2009, 278 p. ISBN 978-5-901487-53-2.

6. Korn G., Korn T. Spravochnik po matematike (dlya nauchnykh rabotnikov i inzhenerov). [Mathematical Handbook (for scientists and engineers)]. M. : Nauka, 1968. 720 p.
7. Shakhunyanc G.M. Zheleznodorozhny put. [Railway track]. M. : Transport, 1987. 479 p.
8. Amelin S.V., Andreev G.E. Ustroystvo i ekspluatsiya puti. [Design and operation of railway track]. M. : Transport, 1986. 238 p.
9. Sokolov M.M., Khusidov V.D., Minkin Yu.G. Dinamicheskaya nagruzhennost vagona. [Dynamic loading of a railway car]. M. : Transport, 1981. 207 p.
10. Kondrashov V.M. Edinye principy issledovaniya dinamiki zheleznodorozhnykh ekipazhey v teorii i eksperimente. [Uniform principles of study of railway vehicle dynamics in theory and experiment]. M. : Intekst, 2001. 190 p. ISBN : 5-89277-027-3.
11. Garg V.K., Dukkipati R.V. Dinamika podvizhnogo sostava [Rolling stock dynamics] / per. s angl. / M., 1988, 391 p.

Статья сдана в редакцию 26 декабря 2013 года

Организация и логистика

УДК 336.144.382: 629.056.8

Н. К. Горяев

Совершенствование нормирования расхода топлива с использованием спутниковой навигации

UDK 336.144.382: 629.056.8

N. K. Goryaev

Rationing of fuel consumption improvement with the use of satellite navigation

Аннотация

В России нередки случаи, когда водители допускают несанкционированное использование подвижного состава и слив топлива, что приводит к увеличению расхода топлива. Для снижения расхода топлива транспортные средства оборудуются спутниковой навигацией (GPS/ГЛОНАСС) с приборами учета расхода топлива. Однако такое решение приводит к существенным дополнительным затратам. Предлагается использовать спутниковую навигацию для совершенствования нормирования расхода топлива. Объективные нормы расхода топлива дисциплинируют водителей и стимулируют к экономичному стилю вождения.

Существующие нормы расхода топлива, утвержденные Министерством транспорта Российской Федерации, не соответствуют современным дорогам и транспортным средствам. Главным недостатком этих норм является постоянный уровень расхода топлива на транспортную работу, вне зависимости от полной массы транспортного средства. Были собраны и проанализированы данные по расходу топлива при междугородных перевозках. Выявлены основные факторы, влияющие на расход топлива. Предложены методические рекомендации по совершенствованию нормирования расхода топлива.

Ключевые слова: нормирование расхода топлива, спутниковая навигация, междугородные перевозки, экономичное вождение.

Summary

In Russia, it is not uncommon that drivers are involved in unauthorized use of vehicles and drain fuel, which leads to increased fuel consumption. To reduce fuel consumption, vehicles are equipped with satellite navigation (GPS/GLONASS) with fuel consumption meters. However, such a solution leads to considerable additional costs. It is suggested to use satellite navigation to improve fuel rationing. Objective fuel consumption rates discipline drivers and promote economical driving style.

Existing fuel consumption rates, approved by the Ministry of Transport of the Russian Federation does not correspond to modern roads and vehicles. The main drawback of these rates is a constant level of fuel consumption for transport operation, regardless of the fully loaded mass of the vehicle. Data on fuel consumption in intercity transportation have been collected and analyzed. The major factors affecting fuel consumption have been revealed. Methodical recommendations for improving fuel rationing are proposed.

Keywords: fuel rationing, satellite navigation, intercity transportation, economical driving.

Николай Константинович Горяев, канд. техн. наук, доцент; кафедра «Эксплуатация автомобильного транспорта» Южно-Уральского государственного университета; Челябинск, Россия. E-mail: vetkadog@mail.ru.

Nicholay Konstantinovich Goryaev, PhD in Engineering, Associate Professor, Road Transport Operation Department, South-Ural State University, Chelyabinsk, Russia. E-mail: vetkadog@mail.ru.

In Russia, there are cases when the drivers permit the unauthorized use of vehicles and fuel drain, which leads to increased fuel consumption. To reduce fuel consumption vehicles are equipped with fuel consumption feedback devices connected to the system of satellite navigation (GPS/GLONASS). However, this solution leads to significant additional expenses. Moreover, this approach does not stimulate economical driving style. To reduce the cost it is proposed to use satellite monitoring system for rationing fuel consumption.

Currently, in accordance with the recommendations of the Ministry of Transport of Russia, the consumption of fuel for long-distance haulage is calculated according to the following formula:

$$Q = (H_{tr} + H_{ft}(G_{s/tr} + G_{load})(1+0,01K), \quad (1)$$

where H_{tr} — base fuel consumption for tractor running, liters per 100 km ($H_L=17$ — in average for haul tractor); H_{ft} — fuel consumption for freight turnover, liters per 100 ton-km ($H_W=1,3$ — const for diesel); $G_{s/tr}$ — unladen semitrailer weight, ton; G_{load} — load weight, ton; K — aggregate correction coefficient, %.

Aggregate correction coefficient takes into account more than 10 factors, including operating conditions, climatic conditions, age of the vehicle. The last factor is important because the average vehicle's age in Russia is about 10 years. This factor takes into account the age as follows: 5% fuel increase for 5–8-year-old vehicles, and 10% increase for the vehicles older than 8 years. Obviously, the real increase in fuel consumption during operation of vehicles is smooth and does not carry such a step character. Previous research for VOLVO FH-12 heavy trucks with SCHMITZ semitrailers [1] (the results of which are presented in Table 1) have shown that the fuel consumption for each year of operation of the vehicle increases by 1% on the average.

Fuel consumption for a gross vehicle weight 40-ton calculated according to the formula (1) is about 50 liters per 100

kilometers, while control measurements show consumption of 38–40 liters under these conditions. Analogous data for Finland show that the average fuel consumption for long-distance haulage is 39,6 liters per 100 kilometers [2]. Clearly, this method of calculating fuel consumption is inadequate. Main discrepancy is constant level of fuel consumption per 100 ton-km for vehicles of any weight. Thus, according to Kopfer [3], fuel consumption for freight turnover (liters per 100 ton-km) greatly depends on the gross vehicle weight, according to the general methodology in Germany (see Table 2).

Table 1

Fuel consumption depending on vehicle age

Year of manufacture	Age of vehicles	Number of vehicles	Fuel consumption (liters per 100 km)
2001	7	15	40,43
2002	6	9	39,44
2003	5	12	39,12
2004	4	3	38,93

Table 2

Fuel consumption for freight turnover

Vehicle category	Full vehicle weight (ton)	Fuel consumption for freight turnover (liters per 100 ton-km)
VC ₄₀	40	0,36
VC ₁₂	12	0,76
VC _{7,5}	7,5	1,54
VC _{3,5}	3,5	3,31

The system of satellite navigation GPS/GLONASS with fuel consumption feedback devices was used for data collection. This equipment is shown in fig. 1.

This equipment allows you to accurately determine the mileage and fuel consumption. Data are transmitted with a predetermined interval to the server through the mobile communication system. To view the data there is a program that allows you to calculate fuel consumption for each trip (fig. 2).



Fig. 1. Equipment for data collection

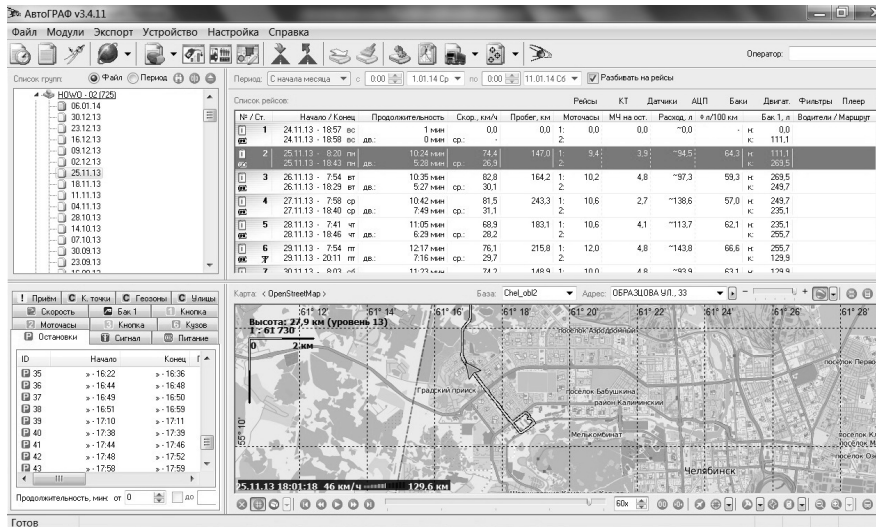


Fig. 2. Software for data analyzed

For determining actual level of fuel consumption a study was conducted according to the provider of satellite navigation services «SouthUralMonitoring» for tractors DAF XF105 with semitrailers Schmitz S01 manufactured in 2008, 2011 and 2012, which are in operation in various transport companies. Information about 160 trips executed in late 2012 — early 2013 was collected.

The empty runs data were analyzed at the beginning. An example of data for empty runs for new DAF XF 105 is presented in table 3. A new average value of fuel consumption for new tractors DAF XF105 with semitrailers Schmitz S01 22.3 l/100 km was determined taking into account the age of vehicles. This result corresponds to the existing norms of fuel consumption, approved by the Ministry of Transport of Russia.

Table 3

The empty runs data

Trip (from — to)	Fuel consumption (liters per 100 km)
Chelyabinsk — Ufa	21,2
Tver — St. Petersburg	22,9
Samara — Chelyabinsk	23,3
Tver — Ryazan	22,9
Ufa — Kurgan	21
Saratov — Voronezh	22,6
Troitsk — Chelyabinsk	20,8
Plast — Chelyabinsk	20,1
Chelyabinsk — Uruzan	20,9
Chelyabinsk — Miass	22,5

Based on the foregoing, the basic inadequacy of norms is fuel consumption for freight turnover. To determine this, data on a laden trips were collected. An example of data for laden trips for new DAF XF 105 with semitrailers Schmitz S01 is presented in table 4.

Research of fuel consumption for freight turnover has shown that the actual flow rate is substantially lower than the effective normative values of 1.3 l/100 t-km diesel fuel and is 0.76 l/100tkm for tractors DAF.

Thus, to calculate fuel consumption in long-distance haulage the following formula is proposed:

$$Q = (H_{rt} + H_f G_{load}) (1 + 0,01T), \quad (2)$$

where H_{rt} — base fuel consumption for road train, liters per 100 km (calculated according to the old method with all correction coefficients, except for age); H_f — fuel consumption for freight turnover, liters per 100 ton-km ($H_w = 0,76$ — const for diesel); G_{load} — load weight, ton; T — age of vehicle.

The proposed formula allows a much easier and more accurate determine fuel consumption for long-distance haulage.

Acknowledgment

The author is grateful to Evgeni Grigoriev of Traktorotorg-Auto and Petr Shelehov of SouthUralMonitoring for provided data. ■

Table 4

The data for laden trips

Date	Trip (from — to)	Load (ton)	Fuel consumption (liters per 100 km)
11.01.13	Chelyabinsk — St. Petersburg	10	25,7
15.01.13	St. Petersburg — Chelyabinsk	22	39,8
22.01.13	Chelyabinsk — Moscow	20	37,8
27.01.13	Moscow — Novosibirsk	20	35,9
02.02.13	Novosibirsk — Chelyabinsk	20	37,0
07.02.13	Chelyabinsk — Moscow	20	39,0
15.02.13	Moscow — Chelyabinsk	20	36,0
19.02.13	Chelyabinsk — St. Petersburg	22	40,1
24.02.13	St. Petersburg — Chelyabinsk	22	39,9
04.03.13	Chelyabinsk — Moscow	20	36,1

References

1. Goryaev N. The effectiveness of long-distance haulage in the context of market reforms in Russia. *Procedia — Social and Behavioral Sciences*. Vol. 54, 4 October, 2012. Pp. 286–293.
2. Liimatainen H., Stenholm P., Tapio P., McKinnon A. Energy efficiency practices among road freight hauliers. *Energy policy*, 2012. Pp. 833–842.
3. Kopfer H. Emissions minimization vehicle routing problem: approach subjected to the weight of vehicles. Flexibility and adaptability of global supply chains, *Proceedings of the 7th German-Russian Logistics Workshop DR-LOG 2012*, St. Petersburg. Pp. 245–250.

Статья сдана в редакцию 13 декабря 2013 года

Управление. Экономика

УДК 658.014

И. Д. Громов, Ю. А. Москвина

Графоаналитическая модель организационной сети с разделенными интересами

UDC 658.014

I. D. Gromov, Yu. A. Moskvina

Graphoanalytical model of organization network with shared interests

Аннотация

В статье рассмотрены основные идеи теории модельных представлений о формировании сети и взаимодействии субъектов права в сетевой организационной структуре с разделенными интересами. В авторской редакции сформулирована цель организационной сети, образованной вокруг крупной компании, как интегратора.

Разработана графоаналитическая модель организационной структуры сети, на которой отражены основные представления о взаимодействии хозяйствующих субъектов в сетях с разделенными интересами. Введены коэффициенты, количественно оценивающие силы притяжения субъектов сети к интегратору и рынку.

Обозначены некоторые основополагающие характеристики управленческого взаимодействия и предложены правила его применения в организационной сети. Рассмотрены обстоятельства вхождения субъектов в организационную сеть. Аналитически формализованы условия формирования организационной сети.

Ключевые слова: организационная сеть, хозяйствующий субъект, сетевая модель, сетевое притяжения, управленческое воздействие в сети.

Summary

The article describes the basic ideas of model assumptions about the formation of networks and interaction of legal entities in a network organizational structure with shared interests. The author formulates the objective of the organization network formed around a large company as an integrator.

A graphoanalytical model of organization network structure is developed, showing the basic concepts of interaction of economic agents in networks with shared interests. Coefficients are introduced quantitatively evaluating the force of attraction of network entities to the integrator and the market.

Some of the fundamental characteristics of management interaction are highlighted and rules for its use in the organization network are proposed. The circumstances in which subjects join organization network are analyzed. Conditions of formation of organization network are analytically formalized.

Keywords: organization network, economic entity, network model, network attraction, management influence in the network.

Игорь Дмитриевич Громов, аспирант; кафедра «Путь и железнодорожное строительство» Уральского государственного университета путей сообщения; Екатеринбург, Россия. E-mail: idgromov@gmail.com.

Юлия Александровна Москвина, преподаватель; кафедра иностранных языков и межкультурных коммуникаций Уральского государственного университета путей сообщения; Екатеринбург, Россия. E-mail: moskvina_yuliya@bk.ru.

Igor Dmitrievich Gromov, graduate student; Railway Construction and Railway Track Department, Ural State University of Railway Transport, Ekaterinburg, Russia. E-mail: idgromov@gmail.com.

Yuliya Alexandrovna Moskvina, Lecturer; Foreign Languages & Cross-Cultural Communication Department, Ural State University of Railway Transport, Ekaterinburg, Russia. E-mail: moskvina_yuliya@bk.ru.

Large socio-economic systems typically operate as dynamic organizational networks. As organizational economic formations, networks necessarily face external and internal factors that are able to influence on the stability and effectiveness of their work. The need to confront the negative part of factors brings us to the conception that the formation process of such networks isn't limited only by their organization. The integral part of network formation is its superstructure for reliable and effective work at goods and services market. Then, well-organized formation process of networks becomes a pledge of prosperity.

The features of formation, superstructure and operation in the organizational network first depend on its type.

The theoretical aspects of network formation with specific interests are considered below. The choice of network in which an integrator is a large company, is determined by a number of factors:

1. Such type of the network is the most wide-spread one in large organizational formations.

2. There are some features of specific interests agreements between large company and economic entity.

3. There is an integrator's unilateral administrative impact on economic entity.

The main stages of organizational network formation with large company as an integrator are analyzed below.

Purpose setting is the first and one of the key stages in the organizational network formation. To state a purpose of network formation we introduce the terms: the main purpose of network formation and personal purposes of its subjects. Generally we will consider the increment of integral consistency in all entities thanks to synergistic effect of work in the network as the main purpose of organizational network. Then, integral index of entity's activity is its consistency.

The personal purposes of entities, which are included into organizational network are strictly pragmatic and focused on the maximum level of consistency. So the deciding factor of network

successful operation is constructive, but not destructive nature of conflicts arising from the process of economical activity.

Obviously the main purpose of network requires the clarification based on its type. As a rule, for the network formed around large company the personal purpose of integrator more corresponds the main purpose of the network than the personal purposes of entities. This is due to the fact that network is created to service integrator, the large economic entity. Thus we will give a definition of the purpose of organizational network formed around large company as an integrator; stable and appropriate providing public needs in goods and services by integration of economic entities, interested in working in the network around company. The next important stage is an elaboration of organizational network structure and its grapho-analytical formalization. The figure 2.1 shows the organizational network structure designed by the author, where the main ideas of entities' cooperation in the networks with specific interests are represented. The figure is represented as a grapho-analytical model.

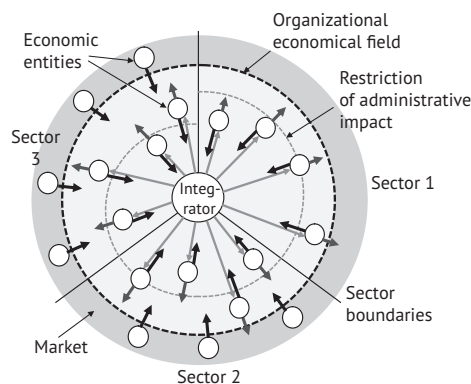


Fig. 1. Grapho-analytical model of organizational network with specific interests
 —> — entity's attractive force to the network;
 —> — entity's attractive force to the market;
 —> — administrative impact on the network entity

The offered model is a logical continuation of the planetary model theory of organizational cooperation in the network structures [1, 2]. The approach offered by

the author to a modeling organizational network differs from the approach given in the above-mentioned sources. The distinctive feature is a process formalization of the interaction between integrator and network element, considering their conflicting interests.

From the standpoint of mathematical formalization model represents a directed graph with labeled edges and points as it is shown in [3]. In this way, for example, edges are attributed to the meanings of resource flows (organizational, material, financial and information) and every point of the analyzed graph represents an economic entity, situated in the sector of planetary model.

The interaction of network entities with integrator takes place within the framework of organizational economical field of this network. At the same time, the analyzed organizational network essentially is not a closed system, and all network entities can interact with outdoor environment (market), having an accidental impact on the network.

This principle of presenting network requires additional studies in the formalization of grapho-analytical network representation and imitation mathematical modeling of interaction processes.

Basing on this principle, economic entity as a network element can provide services at the free market.

Product realization in the competitive landscape makes entity correspond with necessary market requirements (quality, volume and cost of production), which often run ahead market requirements. Therefore, integrator should not prevent subject from interacting with the market, but regulate and encourage realization of its products at the market.

We will use the approach given in the works [2, 4], and present the interaction of integrator and entity as an effect of attractive and repulsive «forces» (fig 2).

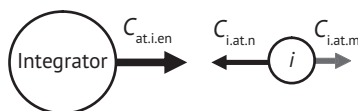


Fig. 2

The good analogy is drawn between network interaction of entities and gravitational interaction of material bodies in this work. Operating within the field of united institutional environment, contacts inevitably arise among entities. This leads to occurrence of economic attraction and repulsion. The same happens in the gravitational field. However the attraction brings other physical sense in the organizational network. As is known, the gravitational force between two material bodies is equal and determined by the formula:

$$F = F_1 = F_2 = G \cdot \frac{m_1 \cdot m_2}{r^2}.$$

On the contrary, the attractive forces of two entities essentially have a difference in scalar expression. Moreover, the distance between entities of institutional environment doesn't have an impact on the attractive forces in metric measurements. In such a case, propinquity of companies should be mentioned as a certain integrated index.

The coefficients of attractive forces are introduced for quantitative assessment [2].

$C_{at.i.en}$ is a coefficient of integrator attraction to the i^{th} entity of the network.

$C_{i.at.n}$ is a coefficient of the i^{th} entity's attraction to the network.

$C_{i.at.m}$ is a coefficient of the i^{th} entity's attraction to the market.

We will use the developments [5–7]. So, the coefficient of integrator attraction to the entity depends on four factors:

$$C_{at.i.en} = F(C_{en.ec.att}; C_{inst}; C_{en.st}; C_{spf}),$$

where $C_{en.ec.att}$ — a coefficient of entity's economic attractiveness [8]; $C_{en.st}$ — a coefficient of entity's stability and reliability [9]; C_{inst} — a coefficient reflecting institutional status of entity; C_{spf} — a coefficient reflecting the group of social-psychological (human) factors.

The coefficient of entity's attraction to the network [4, 10].

$$C_{en.ec.att} = F(C_{en.int}; C_{n.s.}),$$

where $C_{en.int}$ — a coefficient of meeting entity's interests when operating in the network; $C_{n.s}$ — a coefficient of network support.

Network support is understood as a synergistic effect that involves the growth of entity's consistency, its stability and reliability thanks to the higher degree of order guarantee, the long-term planning, the availability of reserves in the network, the possibility for redeployment of resources and etc. [4].

Let us assume that a coefficient of the i -th entity's attraction to the market is characterized by the degree of the entity repulsion from the network, i.e.:

$$C_{i.at.m} = 1 - C_{i.at.n}.$$

Basing on the possible ratios of the attractive forces of entity and integrator we will divide the organizational field of the network into three sectors.

There are the most important entities for the integrator in the first sector, in other words they play a key role in the work of organizational network. Integrator's interest mostly is higher than entity's interest to the network.

The condition on which there is the i^{th} entity in the sector 1

$$C_{at.i.en} > C_{i.at.n}.$$

The sector 2 includes entities which intent to work in the network according to the integrator's intention to interact, i.e.

$$C_{at.i.en} \approx C_{i.at.n}.$$

The sector 3 includes entities whose intention to work in the network is higher than integrator's intention to interact with them. For example, this takes place, when economic entities are in the difficult economic situation, or their goods can't be sold at the market. Then:

$$C_{i.at.n} > C_{at.i.en}.$$

In the developing process of imitation model of organizational network the

economic entities working at the free market should be also divided into the above-mentioned sectors. This lets to rank the integrator's relation to the outdoor economic environment.

According to its key areas of activity the integrator often can not rely on the economic entities of the market. This may concern safety ensurance of production management, high requirements for quality characteristics of processes, strict regulation of product delivery schedule and other factors. Therefore, when segmenting market participants, sector 1 as a rule is not filled in. The second sector is taken by entities from the market, who are interested in work in organizational network. Then entities if the third sector are constantly renewing enterprises which task is supporting of the network.

We will proceed on the basis that the presented grapho-analytical model should show regular structure changes of organizational network. There is constantly a part of the most important economic entities in the first sector. For example, track repair companies of RZD will always be in the first sector, because infrastructure maintenance is a strategically important question for this integrator. Depending on the problems solved by integrators, other entities may be referred to the second or the third sector. There is another scenario. For strategic problems solving, economic entities may be temporarily related to more preferred sector. Consequently, the distribution of entities by sectors is a integrator's preferred task and depends on realizable strategy.

This type of the network is characterized by the constant integrator's administrative impact on entities. Relying on contract relations, entity delegates management authorities, confirmed in contract to integrator. Integrator can manage entity as a share holder in property relations.

Administrative impact has an integration nature and aims to strengthen the network. On the one hand, such integrator's impact realizes its problem solving strategy, but on the other hand it allows entity conditions of effective work in the net.

Administrative impact will mean an integrator's organizational administrative and economic impact on entity and the network.

Both groups definitely are restricted by integrator's possibilities in the network. Organizational administrative impact is realized by the set of common network documents, regulating entity's activity in the network. Its main restriction is a reasonable impact of integrator on entity. This influence is defined by possibility of losing economical independence of entity in the network.

As administrative impact is restricted, the question that has to be answered is about its use efficiency.

The first main rule in use of administrative impact is related to the fact that the priority is placed on economic entities, which are there in the sectors with the higher ranks, i.e. sector 1 > sector 2 > sector 3.

The fulfilled scheme of administrative impact distribution can differ in the network. The resource of allocable administrative impact depends on both its availability and entity's demand for it. Then the situation is possible when there is an entity with the development level that doesn't require any additional administrative impact in the sector 1. However, a certain economic administrative impact is «reserved» for an entity with the highest priority. In this case, the released resource will be directed to the second priority entity.

So, the second rule is a science-based system of using administrative impact directed to effective impact on the network.

Before passing on the analytical formalization of network formation conditions, it is necessary to answer two questions: what does integrator really want from entity? What are the reasons of entering entity the network?

The integrator expects for positive results from all entities working in the network. The growth of economic consistency and its stability and reliability should be related to these results. But that integrator and network's interests are more integrated than the network entity's interests.

Solving the problem of including into the network, economic entity has to compare with the alternation, the work at the free market. Network job proposal may be offered at any stage of its life cycle. There are probably some variants of entity's further development at the market during overcoming the point T_i (fig. 3). The integrated index of entity's consistency C_{con} is shown on the vertical axis of the figure.

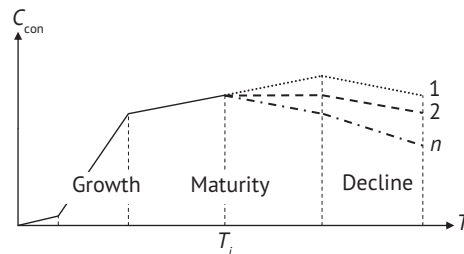


Fig. 3. Variants of entity's development at the market

The most unlikely variant of joining the network: company's mature growth stage, the peak level of development hasn't been overcome yet. This entity is characterized by the self-confidence and favorable market, so it requires important reasons for the choice in favor of the net.

As a result of n -issue the possibility of entity's joining the network greatly arises. Obviously, making a decision about work in the net, entity considers as stable market outlets. This gives a chance to prolong the entity's growth on the certain horizon of planning t , thereby setting the new growth peak and postponing stagnation (fig. 4).

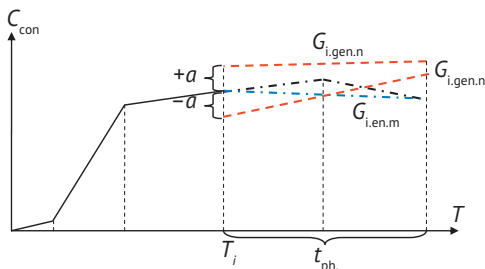


Fig. 4. Variants of entity's development in the network and the market

While refocusing on the network, one of two issues can arise. The first issue: considering the high level of company's development at the moment T of joining the network, entity will dynamically develop $+a$. So minimal adaptation is possible that leads to the reduction of indexes.

The second issue likely means the recession of entity's development in the adaptation period $-a$.

The lay of the land at the market highly influences on making decision. Favorable situation can be a base for the optimistic predictions, which let to work effectively at the market.

Then, the condition system of joining the network for the i^{th} subject is:

$$C_i = \begin{cases} C_{i.en.v} \geq A_{\min} \\ G_{i.en.n} t_{ph} - a \geq G_{i.en.m} t_{ph} \end{cases},$$

where $C_{i.en.v}$ — a coefficient of the i^{th} entity value for the network; A_{\min} — a minimal desired level of positive entity's influence (the influence coefficient) on the network. This level makes allowance for entity's opulence in the network; $G_{i.en.n}$, $G_{i.en.m}$ — are average predictable growth rates of the i^{th} entity during working in the net and at the market; a — an adaptation costs of the i^{th} entity when joining the network; t_{ph} — a prediction horizon for the i^{th} entity.

For the organizational network Z that consists of n entities, the restriction system becomes

$$C_z = \begin{cases} (C_1, \dots, C_n) \\ \text{under } U_{\text{int}} \geq \sum_{i=1}^n U_{r(i)} \end{cases},$$

where U_{int} , $U_{r(i)}$ — a potential of administrative integrator's impact and required administrative impact for the i^{th} in the network Z .

The offered grapho-analytical model represents the main ideas of model representation theory about network formation and entities' interaction in the network organizational structure with specific interests.

The next step of scientific research is related to mathematical formalization of the offered model representation. This formalization is directed towards the solution of research problems such as identifying rational network organizational structure, its stability, reliability and effectiveness.

The important problem that requires solutions is the grounds for compromise of interests among the entities included into the network.

Obviously it is impossible to solve these problems without development of program product, which allows to test many production scenarios of network development and its operation on imitation model. ■

Литература

1. Сай В. М., Фомин В. К. Моделирование системы взаимоотношений железной дороги с хозяйствующими субъектами // Транспорт Урала, 2008. № 4 (19). С. 15–19. ISSN 1815-9400.
2. Сай В. М., Сизый С. В. Образование, функционирование и распад организационных сетей : монография. — Екатеринбург : УрГУПС, 2011. С. 120–132. ISBN 978-5-94614-199-4.
3. Фомин В. К. Моделирование процессов взаимодействия железной дороги с внешним экономическим окружением. Графоаналитическая модель взаимодействия // М-лы Всероссий. научно-техн. конф. «Транспорт, наука, бизнес: проблемы и стратегия развития», посв. 130-летию СВЖД : сб. научн. тр. — Екатеринбург : УрГУПС. 2008. С. 121–122.
4. Громов И. Д., Сай В. М. Моделирование взаимоотношений хозяйствующих субъектов элементарной организационной сети с разделенными интересами // Современные проблемы транспортного комплекса России. 2013. № 3. С. 199–208. ISSN 2079-0392.
5. Фомин В. К. Оценка и ранжирование предприятий по степени приемлемости сотрудничества с железной дорогой // Вестник УрГУПС. 2009. № 1–2. С. 21–28.
6. Сизый С. В., Фомин В. К. Формирование и визуализация интегральной оценки взаимодействия узлов мультиоператорных организационных сетей // Транспорт Урала. 2009. № 4 (23). С. 16–20. ISSN 1815-9400.

7. Сай В. М., Сизый С. В., Фомин В. К. Интегральная оценка предприятий // Экономика железных дорог. 2010. № 1. С. 18–27. ISSN 1727-6500.
8. Сизый С. В., Фомин В. К., Вихарев С. В. Формирование коэффициентов привлекательности хозяйствующих субъектов / Развитие систем управления перевозочным процессом и транспортной логистики : сб. научн. тр. / под ред. С. А. Плахотича. — Екатеринбург : УрГУПС. 2009. Вып. 73 (156) С. 165–180.
9. Сизый С. В., Фомин В. К., Вихарев С. В., Сай В. М. Формирование показателя устойчивости хозяйствующих субъектов, взаимодействующих с железной дорогой / Проблемы организации производства и региональной логистики : сб. науч. тр. / под ред. В. М. Самуйлова. — Екатеринбург : УрГУПС. 2009. Вып. 74 (157). С. 155–165.
10. Громов И. Д. Алгоритм поддержки управленческих решений в сетях с разделенными интересами // Транспорт: наука, техника, управление. 2013. № 5. С. 83–94. ISSN 0236-1914.

References

1. Say V. M., Fomin V. K. Modelirovanie sistemy vzaimootnosheniy zheleznoy dorogi s khozyaystvuyuschimi subyektami [Simulating the system of interaction of the railway with business entities] // Transport of the Urals, 2008. № 4 (19). P. 15–19. ISSN 1815-9400.
2. Say V. M., Sizy S. V. Obrazovanie, funkcionirovanie i raspad organizacionnykh setey : monografiya. [Formation, functioning and dissociation of organization networks : monograph]. — Ekaterinburg : USURT, 2011. P. 120–132. ISBN 978-5-94614-199-4.
3. Fomin V. K. Modelirovanie processov vzaimodeystviya zheleznoy dorogi s vneshnim ekonomicheskim okruzheniem. Grafoanaliticheskaya model vzaimodeystviya [Simulation of interaction of the railway with external economic environment. Graphoanalytical interaction model] // M-ly Vseross. nauchno-tekhn. konf. «Transport, nauka, biznes : problemy i strategiya razvitiya», posv. 130-letiyu SvZhD : Sb. nauchn. tr. — Ekaterinburg : USURT. 2008. P. 121–122.
4. Gromov I. D., Say V. M. Modelirovanie vzaimootnosheniy khozyaystvuyuschikh subyektov elementarnoy organizacionnoy seti s razdelennymi interesami [Modeling the relationship of economic entities of elementary organization network with shared interests] // Sovremennye problemy transportnogo kompleksa Rossii. 2013. № 3. P. 199–208. ISSN 2079-0392.
5. Fomin V. K. Ocenka i ranzhirovanie predpriyatii po stepeni priemlemosti sotrudnichestva s zheleznoy dorogoy [Evaluation and ranking of companies by the degree of probability of cooperation with railway] // Herald of USURT. 2009. № 1–2. P. 21–28.
6. Sizy S. V., Fomin V. K. Formirovanie i vizualizaciya integralnoy ocenki vzaimodeystviya uzlov multioperatornykh organizacionnykh setey [Formation and visualization of integrated assessment of interaction between nodes of multi-operator organization networks] // Transport of the Urals. 2009. № 4 (23). P. 16–20. ISSN 1815-9400.
7. Say V. M., Sizy S. V., Fomin V. K. Integralnaya ocenka predpriyatii [Integral valuation of companies]. // Ekonomika zheleznykh dorog. 2010. № 1. P. 18–27. ISSN 1727-6500.
8. Sizy S. V., Fomin V. K., Vikharev S. V. Formirovanie koeffitsientov privlekatelnosti khozyaystvuyuschikh subyektov / Razvitie sistem upravleniya perevozochnym processom i transportnoy logistiki : Sb. nauchn. tr. [Formation of coefficients of attractiveness of business entities / Development of transportation management systems and transport logistics: collection of scientific papers] / Edited by S. A. Plakhoticha. — Ekaterinburg : USURT. 2009. Issue 73 (156). P. 165–180.
9. Sizy S. V., Fomin V. K., Vikharev S. V., Say V. M. Formirovanie pokazatelya ustoychivosti khozyaystvuyuschikh subyektov, vzaimodeystvuyuschikh s zheleznoy dorogoy / Problemy organizatsii proizvodstva i regionalnoy logistiki : sb. nauch. tr. [Formation of sustainability indicators of economic entities interacting with railway / Problems of organization of production and regional logistics: collection of scientific papers] / Edited by V. M. Samuylova. — Ekaterinburg : USURT. 2009. Issue 74 (157). P. 155–165.
10. Gromov I. D. Algoritm podderzhki upravlencheskikh resheniy v setyakh s razdelennymi interesami [Algorithm of management decisions support in networks with shared interests] // Transport: nauka, tekhnika, upravlenie. 2013. № 5. P. 83–94. ISSN 0236-1914.

Статья сдана в редакцию 16 декабря 2013 года

В. М. Воронин, З. А. Наседкина

Перспективные приложения когнитивной науки

(Окончание, начало см.: «Вестник УрГУПС», № 1, 2013)

V. M. Voronin, Z. A. Nasedkina

Prospective applications of cognitive science

(The termination, the beginning see: «Herald of USURT», № 1, 2013)

Аннотация

В статье с единых методологических позиций рассматриваются некоторые перспективные приложения когнитивной науки: когнитивная педагогика, когнитивная инженерия, когнитивная экономика, когнитивная теория управления, когнитивная политология. К основным направлениям, которые должны составить основу современной когнитивной инженерии, относятся системы распознавания образов, автоматический анализ и синтез речи, экспертные системы и инженерия знаний, автономный искусственный интеллект, системы нечеткой логики, обучение с подкреплением, искусственные нейронные сети, когнитивная эргономика.

Основное внимание в когнитивной педагогике уделяется познавательным структурам и инструментам человека, способам их организации и развития посредством учебной коммуникации.

С этих позиций в статье обсуждается применение пропозиционального и латентно-семантического анализа для оценки знаний.

Суть когнитивного моделирования в задачах анализа и управления слабоструктурированными системами, а к ним можно отнести экономику, социологию, политологию, медицину и т.д., — это исследование и развитие слабоструктурированных систем и ситуаций посредством построения их моделей на основе когнитивной карты.

В статье также рассматриваются перспективы развития когнитивной науки.

Ключевые слова: когнитивная наука, когнитивная педагогика, когнитивная экономика, когнитивная инженерия, когнитивная теория управления, искусственный интеллект.

Summary

The paper discusses, from unified methodological point of view, some promising applications of cognitive science: cognitive pedagogy, cognitive engineering, cognitive economics, cognitive control theory, cognitive political science. The main areas that should form the basis of modern cognitive engineering include pattern recognition system, automatic speech analysis and synthesis, expert systems and knowledge engineering, autonomous artificial intelligence, fuzzy logic systems, reinforcement learning, artificial neural networks, cognitive ergonomics.

The focus of cognitive pedagogy is on cognitive structures and human instruments, processes for their organization and development through educational communication.

From this perspective, the article discusses the use of propositional and latent semantic analysis for knowledge assessment.

The essence of cognitive modeling in semi-structured systems analysis and management problems, as they include economics, sociology, political science, medicine, etc. is a research and development of semi-structured systems and situations by building their models on the basis of a cognitive map.

The article also examines the prospects for the development of cognitive science.

Keywords: cognitive science, cognitive pedagogy, cognitive economics, cognitive engineering, cognitive control theory, artificial intelligence.

Владимир Митрофанович Воронин, д-р психолог. наук, профессор; кафедра «Управление эксплуатационной работой» Уральского государственного университета путей сообщения; Екатеринбург, Россия. E-mail: zanvvm@yandex.ru.

Зинаида Афанасьевна Наседкина, канд. техн. наук, доцент; кафедра механики Российского государственного профессионально-педагогического университета; Екатеринбург, Россия.

Vladimir Mitrofanovich Voronin, DSc in Psychology, Professor, Operations Management Department, Ural State University of Railway Transport, Ekaterinburg, Russia. E-mail: zanvvm@yandex.ru.

Zinaida Afanasyevna Nasedkina, PhD in Engineering, Associate Professor, Department of Mechanics, Russian State Professional Pedagogical University; Ekaterinburg, Russia.

Ранее нами рассматривались методология этапов, развитие инструментария междисциплинарной научной дисциплины — когнитивной науки [8]. Развивая эту проблематику, остановимся на некоторых основных приложениях когнитивной науки.

Когнитивная педагогика; о механизме получения и обработки информации человеком

Когнитивная педагогика — важнейшее приложение когнитивной науки, где, на наш взгляд, должен наступить серьезный прорыв. В когнитивной педагогике основное внимание уделяется познавательным структурам и инструментам человека, способам их организации и развития посредством учебной коммуникации.

Увлечение развитием внешних форм организации среды обучения и учебной коммуникации (внедрение компьютерных технологий, обучающих программ, мультимедийных сред) не принесет необходимого результата без глубокого понимания механизмов получения и обработки информации человеком.

Особое значение приобретает в настоящее время проблема оценки знаний учащихся. Существующая сейчас система оценки, построенная в виде разнообразных тестов на принципах разветвленного программированного обучения Н. Краудера, разработанная еще в 1960-х гг., вызывает все возрастающую критику со стороны педагогического сообщества. Но пока, к сожалению, это единственно возможный способ квазиобъективного и автоматизированного оценивания знаний учащихся по всему спектру учебных дисциплин.

Значительные надежды в сторону большей объективации и автоматизации можно возложить на исследования, проводимые школой Kintsch (Университет Колорадо, США). Конструкционно-интеграционная модель понимания (CI) в ее позднем варианте, разработанная Kintsch в 1998 г., организует пропозициональную репрезентацию, полученную из текста в форме сети так, что-

бы каждый узел в сети представлял собой пропозицию, а связи сети отражали бы когерентную взаимосвязь между ними [29]. Будучи основанной на коннекционистских системах, CI-модель предполагает, что каждая пропозиция имеет свою меру активации, а каждая связь между пропозициями — свой вес. Паттерн соединения определяет связанность пропозиции и ситуации выраженной в тексте. Применение коннекционистских идей представляет модели гибкость использования и возможность объяснения того, как различные факторы могут одновременно влиять на понимание. Поскольку узлы сети представляют собой символичные выражения (пропозиции, схемы, слова текста), то CI-модель объединяет особенности как символических, так и коннекционистских систем, являясь, таким образом, гибридной моделью.

CI-модель обладает целым рядом несомненных достоинств и, прежде всего, она предполагает ассоциативную организацию как для текстовой, так и для памяти общего знания о мире. Кроме того, модель предполагает, что знание о мире может быть представлено в терминах комплексных пропозиций. Также в нотации комплексных пропозиций могут быть выражены более общие формы репрезентации знания — фреймы, скрипты, схемы. Однако в практическом плане существенным недостатком CI-модели является то обстоятельство, что в ней игнорируется проблема парсинга лингвистических репрезентаций в пропозициональные микроструктуры. Иными словами, перекодирование текстов в пропозиции происходит вручную. Отсюда практическое применение этой модели пока сводится в основном к исследовательским проектам.

Авторы настоящей статьи применили CI-модель при оценке восприятия и понимания синтезированной по правилам речи [6].

Чтобы перейти к изложению латентно-семантического анализа (LSA) — полностью автоматического компьютерного метода конструирования ре-

презентации знания в форме семантического пространства высокой размерности, необходимо ответить на вопрос: каким образом возможно моделирование человеческого знания, его полнота, сложность, организацию и структуру? Знание является результатом взаимодействия человека с окружающим миром. Характер этого взаимодействия ограничивается природой человеческого тела и разума. Знание человека содержит информацию на различных уровнях репрезентации, начиная с уровня моторики и сенсорного опыта и заканчивая уровнем лингвистически закодированной информации и абстрактно-символическим уровнем. Человеческое знание может принимать различные формы, лингвистические же репрезентации играют особенно важную роль.

Каким образом может быть смоделирована такая система знания? Так как она слишком велика и непрозрачна для ручного кодирования, то единственным способом могла бы быть разработка алгоритма приобретения знаний через опыт способом, которым это делает человек. Однако современное состояние искусственного интеллекта не позволяет взаимодействовать с миром и извлекать из него информацию таким способом. Но если ограничиться моделированием не всего человеческого знания, а лишь его лингвистически закодированного компонента, то решение существует, и это имеет большое значение для педагогики. LSA, основанный на анализе большого корпуса письменного текста, позволяет автоматически осуществить эту процедуру, и происходит она следующим образом. В компьютер вводится большой фрагмент текста — миллионы слов (томенов), состоящий из тысяч документов и десятков тысяч типов слов. На основании этих входных данных конструируется огромная матрица «слова — документ», содержимое ячеек — частоты, с которыми каждый тип слов появляется в каждом из документов. Таким образом, входными данными для LSA служат совместные встречаемости

слов подобно тому, как для когнитивной системы человека входными данными — встречаемости восприятия-действия-слова. Эти данные обрабатываются и преобразуются двумя способами: сначала — через математическую технику сингулярного разложения, затем — через уменьшение размерности. Сингулярное разложение — это техника, позволяющая представить любую матрицу как произведение трех других матриц, одна из которых будет содержать сингулярные значения. Другими словами, результат уменьшения размерности — это абстрактное пространство знания, отражающее структуру информации, лежащую в основе прочитанных текстов. Построив подобным способом высокоразмерное семантическое пространство в 300–400 измерений, становится возможным выразить слова, предложения и целые тексты как векторы в этом пространстве. Отсюда можно легко вычислить меру семантической связанности векторов в терминах косинуса. Более того, можно найти другие вектора, расположенные в семантическом соседстве с интересующим вектором. Например, около вектора, репрезентирующего слово «гора», можно найти «пики», «прочный», «хребты» и «альпинисты»; около вектора, репрезентирующего слово «горь», — «пики», «плато» и «прочный». Эта информация необходима для моделирования активации знания в процессе понимания.

Применение LSA в педагогических исследованиях отражено в работах американских ученых [29, 30, 31] и в наших работах [7, 17].

Когнитивная инженерия и ее применение в человеко-машинных системах

Это приложение когнитивной науки неразрывно связано с достижениями в когнитивной психологии, искусственном интеллекте, нейронауках.

Перечислим основные направления, которые, на наш взгляд, должны составить основу современной когнитивной инженерии с кратким анализом

их применения в транспортных системах: системы распознавания образов (СР), автоматический анализ и синтез речи, экспертные системы и инженерия знаний, автономный искусственный интеллект, системы нечеткой логики, обучение с подкреплением, искусственные нейронные сети, когнитивная эргономика [5].

Для современного авиационного и железнодорожного транспорта характерно стремление к полной автоматизации всех рабочих процессов. Однако для осуществления этой цели требуется колоссальная система, такая, что ее будет трудно осуществить как экономически, так и технически. Одна из причин этого заключается в том, что спрос на пассажирские и грузовые перевозки и связанные с ними размеры движения на дорогах сильно меняются во времени и трудно поддаются моделированию. Это особенно справедливо в условиях начавшейся приватизации ОАО «РЖД». Устройства автоматизации должны выполнять очень сложные функции, обрабатывать большой объем информации.

Другая причина: аппаратура для управления движением поездов должна быть абсолютно надежна, поскольку к железнодорожному транспорту предъявляются требования обеспечения особо высокой безопасности движения поездов. Железнодорожный транспорт должен удовлетворять потребности в перевозках, всегда находиться в состоянии готовности осуществить их, свести к минимуму простои или снижение качества обслуживания, даже когда движение задерживается по каким-либо причинам.

Роль человека в транспортных эргатических системах не снизилась после появления на железных дорогах автоматической блокировки, диспетчерской централизации, ЭВМ и других совершенных устройств. Все эти средства повышают информационную насыщенность контура управления, его возможности, но реализация этих возможностей пока остается функцией человека, а технологическая сложность принятия

решений при этом растет. И так как все большая часть сообщений теперь формируется и представляется техническими средствами, человек вынужден работать с общей абстрактной моделью объекта управления, учитывающей машинный характер вводимых в нее сообщений. Он должен постоянно дополнять общую модель M_{Σ} частными моделями, достаточно точно описывающими свойства технических средств M_i . Отсюда непрерывно увеличивается мощность общего множества состояний системы и число элементов, к которым эти состояния относятся. Переход на скоростное и высокоскоростное движение приводит к росту параметров объектов управления и к общей насыщенности среды этими объектами, т.е. происходит усложнение обстановки, в которой находится объект управления. Все это приводит к росту условия требований к человеку из-за существенно уменьшающегося времени для принятия им решений и их реализации [4].

Требуются новые подходы к разработке таких сверхбольших эргатических систем, каковыми являются современный авиационный или железнодорожный транспорт, потому что сложность их инфраструктуры и объектов принципиально исключает возможность работы в полностью автоматическом режиме.

Именно такое понимание характерно для ведущих разработчиков систем управления железнодорожным транспортом [9], возлагающих большие надежды на интеллектуальные транспортные системы (ИТС), которые, наряду с точными математическими моделями, призваны использовать данные и знания людей, накопленные в процессе их деятельности. В основе работы таких систем может, а, по нашему мнению, должен лежать формализованный опыт высококвалифицированных специалистов. Исходя из этого ОАО «РЖД», как считают авторы работы [9], «... нуждается сейчас в разработке фундаментальных основ создания интеллектуальных железнодорожных систем с использованием комплексных междисциплинарных

подходов, которые в короткие сроки могут найти практическое применение».

Для разработки ИТС большое значение имеет знание человеческих способностей в процессе его взаимодействия с внешним миром, решения разнообразных задач, возникающих в процессе такого взаимодействия. Человек, в отличие от компьютера, обладает нечетким мышлением, эффективно оперирует переменными не только количественного, но и качественного характера.

Приведем характеристику человеческих способностей, полученную на основе достижений экспериментальной и когнитивной психологии. Для человека можно выделить следующие функциональные характеристики:

- способность интегрировать разнообразные элементы в единую систему;
- способность построить «модель внешнего мира»;
- предвидение событий внешнего мира;
- способность к выводам;
- решение нечетко сформулированных задач;
- распознавание ситуаций внешнего мира;
- способность ориентироваться во времени и пространстве;
- самонаблюдение;
- способность построить «модель внутреннего мира»;
- неограниченный диапазон гибкости способов переработки информации;
- общий тип решаемых проблем;
- создание абстрактных образов внешнего мира;
- способность выделения постоянных элементов внешнего мира.

Эти характеристики необходимо учитывать при создании экспертных систем, т.е. компьютерных программ, способных полностью или частично заменить специалиста-эксперта и некоторой, как правило, достаточно узкой проблемной области. Экспертные системы начали разрабатываться исследователями искусственного интеллекта в 1970-х гг., а уже в 1990-х нашли свои коммерческие приложения. Это

направление может иметь реальное практическое применение в железнодорожной отрасли при создании ИТС.

Примером экспертной системы средней сложности может служить система DELTA фирмы General Electric для отыскания неисправностей в дизельных электровозах. Одна из ныне действующих экспериментальных версий содержит около 500 правил, сформулированных опытным инженером. Эти правила организованы в иерархическую структуру таким образом, что правила одного типа выявляют, требуются ли какие-либо новые сведения, в то время как другой тип правил определяет, какие можно сделать выводы при вводе вновь получаемых данных. В дальнейшем число правил было увеличено примерно до 1200. Используемый в ЭС язык сравнительно прост, он содержит всего девять типов предикатов и восемь глаголов. Работа над системой оказалась достаточно трудоемкой; фирме General Electric понадобилось около 12 месяцев для создания прототипа, насчитывавшего 50 правил, и еще год — для разработки пакета DELTA с 500 правилами, который и был введен в эксплуатацию. Для доведения числа правил до 1200 потребовалось еще два года. Приведенный пример наглядно показывает, почему для создания ЭС требуются большие объемы временных, а также финансовых и вычислительных ресурсов.

Другой пример иллюстрирует использование нейросетей для диагностики двигателей, которые внедрила Ford Motor Company после неудачных попыток построить экспертную систему, так как хотя опытный инженер-механик и может диагностировать неисправности, но он не в состоянии описать алгоритм такого распознавания. В то же время нейросистема с данными от подключенных 31 датчика и нейросетью, обученной различным видам неисправностей, на 868 примерах достигла уровня лучших экспертов и значительно превосходила их в скорости [32].

Основные исследования в области нечеткой логики проводятся в США

и Японии, а в числе результатов этих исследований — многочисленные микрочипы, используемые как в бытовой технике (стиральные машины, СВЧ-печи), так и в моторных отсеках автомобилей, в поездах метрополитена и т.д. Свое место нечеткие системы управления нашли в военной технике (например, при проектировании «умных» ракет).

Классическим примером использования модуля нечеткой логики управления в системах управления стал эксперимент по управлению автомобилем при заезде на парковку. Не делая никаких лишних движений, автомобиль каждый раз без труда находил оптимальный путь для заезда. Система, управляющая автомобилем и заменяющая водителя, включала в себя всего лишь небольшой набор нечетких правил типа «если капот направлен влево, то возьми правее» и т.д. (всего 35 правил и 12 нечетких условий). Разработка такой системы посредством обычного математического аппарата потребовала бы на порядок больших усилий, да и вообще могла бы давать сбои в процессе эксплуатации.

Система, основанная на принципах и модулях нечеткой логики управления, может с успехом применяться и при управлении локомотивами на железнодорожном транспорте.

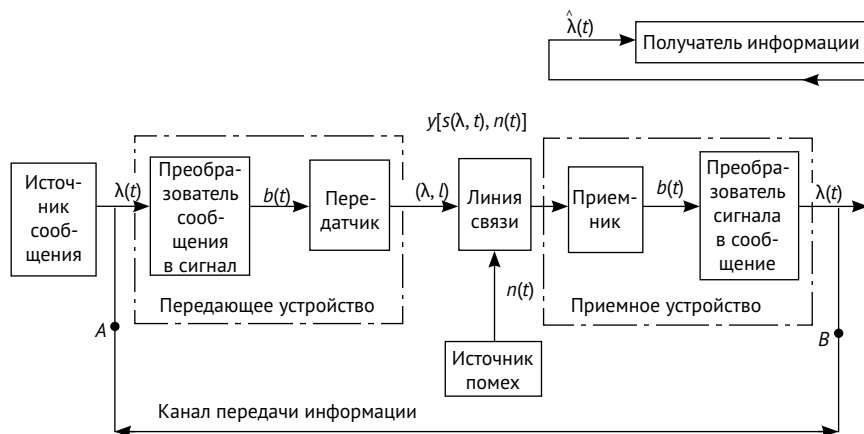
Несомненно, что описанные технологии привлекают внимание военных

(например, военно-научное агентство DARPA является крупнейшим финансисом проектов в области ИИ и робототехники). При разработке современного оружия сейчас активно используются системы ИИ (в основном, нейронные технологии и нечеткие экспертные системы). Например, доказано, что реализация режима автономного полета на небольшой высоте и в плохих условиях без использования заранее подготовленной компьютерной базы рельефа требует применения высокоэффективных механизмов синхронизации движения с данными, получаемыми от систем навигации, видеокамер, радаров и других датчиков, что, в свою очередь, требует использования суперкомпьютеров и программного обеспечения, основанного на численных методах. Использование же ИИ позволяет с помощью относительно малых компьютерных ресурсов получать достаточно точные результаты.

Когнитивная инженерия и системы связи с использованием анализа и синтеза речи

Чтобы оценить эффективность системы передачи речевых сообщений с применением анализа и синтеза речи, рассмотрим структурную схему системы связи.

Действующая в настоящее время структурная схема системы связи представлена на рисунке.



Структурная схема системы связи

Источник сообщения и получатель сообщения в одних системах связи — это люди, в других — различные технические устройства, например, ЭВМ. Передающее устройство преобразует сообщение в сигнал, приемное устройство — принятый сигнал в сообщение. Преобразователь в передающем устройстве преобразует сообщение $\lambda(t)$, которое может иметь различную физическую природу (звуковое давление в случае передачи речевого сообщения), в первичный электрический сигнал $b(t)$. В передатчике этот (обычно низкочастотный) сигнал превращается во вторичный высокочастотный (ВЧ) сигнал $S(\lambda, t)$, который представляет собой функцию не только времени t , но и сообщения λ . В результате этого преобразования (модуляции) сигнал приводится к виду, пригодному для передачи по используемой линии связи. Преобразование сообщения в сигнал должно быть обратимым, иначе часть информации будет потеряна даже при отсутствии помех.

При внедрении интеллектуальной системы анализа и синтеза речи преобразователь речевого сообщения в сигнал дополняется анализатором, преобразующим непрерывный сигнал в дискретный, аналогичный печатному тексту, например, в формате ASCII.

Линия связи — это среда, используемая для передачи сигнала от передатчика к приемнику. В системах электрической связи — это двухпроводная цепь, симметричный электрический, коаксиальный или волоконно-оптический кабель; в системах радиосвязи — доминантная область, т.е. область пространства, в которой распространяются электромагнитные волны от передатчика к приемнику. При передаче сигнала по линии связи он может искажаться из-за воздействия помех $n(t)$. В результате на выходе линии связи сигнал описывается функцией $y[S(\lambda, t), n(t)]$. Приемное устройство, принимая и обрабатывая этот сигнал, в начале формирует копию первичного сигнала $b(t)$ на выходе приемника, а затем копию λ

переданного сообщения. Иначе говоря, приемник на основе анализа $y[S(\lambda, t), n(t)]$ должен определить, какое из возможных сообщений передавалось. Приемное устройство при внедрении интеллектуальной системы анализа и синтеза речи дополняется речевым синтезатором, преобразующим дискретное сообщение типа печатного текста, например, в формате ASCII в речь. Проблемы речевого синтеза подробно освещены в нашей работе [6].

Оценим эффективность связи при использовании различных способов передачи речевых сообщений. Под эффективностью связи понимают отношение действительной скорости передачи информации и скорости, с которой информация должна была бы передаваться через идеальную систему, пропускающую тот же диапазон частот, имеющую тот же динамический диапазон и действующую в тот же промежуток времени.

Используя эту меру эффективности, можно сравнить систему нормальной телефонии, различные системы компрессии речи и системы с применением синтезированной речи. Если допустить, что при применении синтезированной речи в канале связи сигнал можно представить как передачу печатной информации, то, согласно Шеннону, необходимая скорость передачи печатной информации составляет 20 бит/с, считая букву за символ.

Для обычной телефонной связи эффективность будет определяться тем, что необходимая пропускная способность канала для нее равна 30000 бит/с частотный диапазон — 300–3000 Гц, динамический диапазон — 30 дБ). Следовательно, эффективность связи в случае нормальной телефонии равна 0,07 % по отношению к системе передачи печатного текста.

В случае применения вокодерной связи эффективность ее варьируется при применении различных типов вокодеров от 0,40 % до 0,64 % по отношению к системе передачи печатного текста.

Когнитивная наука в управлении

Одним из важнейших направлений приложения когнитивной науки является когнитивное моделирование при исследовании управления и принятия решений в слабоструктурированных проблемных областях. К ним можно отнести экономику, социологию, политологию, медицину и т.д. Когнитивный подход к исследованию слабоструктурированных систем и ситуаций (СС) был предложен Р. Аксельродом [27] и Ф. Робертсом [23] ввиду ограниченности применимости точных моделей при исследовании их поведения.

Методология когнитивного моделирования в задачах анализа и управления СС заключается в построении и анализе модели СС на основе когнитивной карты, которая представляет собой субъективную модель ситуации, отражающую знания субъекта о закономерностях ее развития.

В методологическом плане важно вычленив место когнитивной карты в ряду таких родственных моделей, как искусственные нейронные сети, семантические сети, графы потока сигналов. Когнитивные карты, в отличие от нейронных сетей, реализуют методологию «белого ящика» при описании и моделирования систем, нейронные же сети — «черного ящика».

С семантической сетью когнитивные карты имеют много общего, прежде всего и те и другие представляют отношения разного вида. Но семантическая сеть — понятие более абстрактное, в ней нет присущих когнитивным картам ограничений на тип отношений. Повышение уровня абстракции расширяет сферу применения, но снижает конструктивизм при решении конкретных задач [26].

Задачи анализа ситуаций на основе когнитивных карт в работе [16] разделены на два типа: статические и динамические. Статический анализ предусматривает анализ ситуации с помощью изучения структуры взаимовлияний когнитивной карты, и на этой основе выделяются те факторы, которые

оказывают наиболее сильное влияние на целевые факторы, т.е. факторы, значения которых требуется изменить. Динамический анализ предусматривает генерацию возможных сценариев развития ситуации во времени.

Для СС характерны проблемы, с трудом поддающиеся вычленению в исследуемой управленческой ситуации, что ограничивает возможности применения традиционных методов поиска оптимального (или хотя бы удовлетворительного) решения в задачах управления такими системами.

Одна из причин заключается в недостатке информации о состоянии СС в условиях слабоконтролируемой и изменяющейся внешней среды. Отсутствие достаточных знаний о системе, относительно которой принимается решение, не является единственной неопределенностью, обусловленной субъективными причинами. Также можно выделить неопределенность целей развития СС и критериев выбора управленческого решения [10, 25]. Как правило, неудовлетворенность текущим состоянием системы осознается субъектом управления, но его представления о причинах и возможных способах изменения ситуации в СС размыты, нечетки и противоречивы. Формализация нечетких представлений — одна из главных задач, которую надо решать при разработке моделей и методов принятия решений в слабоструктурированных ситуациях [10]. Важно также учесть, что субъекту управления очень часто приходится принимать решения в постоянно изменяющихся условиях и при ограниченных временных ресурсах.

Другая трудность связана с тем, что субъекту управления приходится манипулировать качественной информацией в виде гипотез (предположений), интуитивных понятий и смысловых образов. Многочисленные психологические исследования процессов принятия решений свидетельствуют, что человеку как субъекту управления свойственно мыслить и принимать решения прежде всего качественно, и для него поиск ре-

шения — это поиск, в первую очередь, замысла решения, где количественные оценки играют вспомогательную роль [10]. Поэтому структуры знания в мышлении субъекта управления оказываются важнейшими элементами ситуации, неустранимыми из модели принятия решений.

Применение когнитивных карт позволило получить существенные результаты при анализе сложных социальных политических и экономических проблем [23, 36] и моделировании управления промышленным производством [34, 35]. На их основе построена модель развития железнодорожного транспорта при взаимодействии с субъектами РФ [14].

Когнитивная экономика — одно из перспективных направлений развития экономики и прикладной когнитивной науки.

Предметом когнитивной экономики служит изучение процессов оценки, выбора и принятия решений человеком в экономической деятельности и объяснение природы эволюции организаций и социальных институтов в условиях структурной неопределенности [33].

Когнитивная экономика включает в себя три основных аспекта: интеллектуальные системы в экономике, управление знаниями в экономике и когнитивные технологии в экономике [1].

Последние основаны на применении когнитивной науки для исследования моделей принятия экономических решений в сознании человека. В этой связи плодотворным представляется подход, расширяющий возможности подхода, основанного на применении когнитивных карт как за счет явного моделирования ментального пространства, так и за счет методов гибридизации его с аналитическими моделями [2].

Еще одним из применяемых направлений когнитивной науки при разработке моделей экономического поведения множества людей является использование нейронных сетей. Результаты работы таких сетей, обученных на большом количестве наблюдений, будут больше соответствовать реальности, чем экс-

пертные системы, исчисляющие предикаты из базы знаний, полученной путем опроса нескольких экспертов, и системы нечеткой логики, использующие правила, также закладываемые несколькими экспертами [3].

При моделировании необходимо отметить важность учета мотивов поведения человека в социально-экономической среде. По мнению лауреата Нобелевской премии Г. Саймона, в человеческом поведении много иррационального, а границы рациональности для каждого индивидуума не статичны и могут изменяться в зависимости от окружения. Например, если ситуация хорошо знакома, а реакция внешней среды предсказуема, то принимаемое решение может быть оптимальным, однако в случае изменения какого-нибудь параметра внешней среды, с одной стороны, могут поменяться границы рациональности, а с другой, не факт, что принимаемое решение будет оптимальным.

Традиционное принятие решений на основе рационального поведения было раскритиковано Г. Саймоном в разработанной им концепции ограниченной рациональности, согласно которой «...способности человеческого мышления формулировать и решать комплексные проблемы в очень малой степени сравнимы с масштабом проблем, решение которых требуется для объективного рационального поведения в реальном мире или даже для приемлемой аппроксимации к такой объективной рациональности» [22].

Также необходимо отметить, что множество рассматриваемых человеком альтернатив гораздо меньше их реального числа, и поэтому невозможно точно предсказать последствия любой из них. Кроме того, цели, достигаемые человеком, являются неоднозначными и поэтому их нельзя измерить количественно.

Разработанная Г. Саймоном теория ограниченной рациональности (*bounded rationality*) имеет множество последователей как за рубежом, так и у нас в стране.

А. Р. Бахтизин отказался от традиционного моделирования поведения человека посредством максимизации функции полезности в пользу нестандартного моделирования ограниченной рациональности, посредством применения технологий нейронных сетей [3].

Одним из авторов настоящей статьи проведены многолетние эксперименты по исследованию поведения человека на большой выборке (500 студентов разных специальностей). В качестве экспериментального материала использованы задачи когнитивных психологов лауреата Нобелевской премии Каннемана и Тверски.

Результаты этих экспериментов показывают, что люди не являются абсолютно рациональными существами не только при принятии экономических решений, но при обычном поведении. Применявшийся в экспертных системах (PROSPECTOR, MYCIN и др.) способ байесовского оценивания правдоподобия правил зачастую не соответствует результатам принятых решений в поведенческих экспериментах.

Нельзя не признать, что некоторые исследователи, например, Коэн [28] стоят на противоположных позициях, считая, что рациональность должна определяться обычными людьми в реальных ситуациях, а не в искусственно спроектированных лабораторных экспериментах. Другим доводом они считают, что нельзя ожидать от обычных людей мудренности в рамках вероятности и статистики, которыми во многих экспериментах описываются базисная линия и отклонения от нее.

Перспективы развития когнитивной науки
Компьютерные науки, которые входят в ядро когнитивной науки, многие связывают только с искусственным интеллектом. Однако это не так. Особенно это справедливо, если рассматривать влияние когнитивной науки на приложения (когнитивную инженерию, когнитивную экономику, когнитивную социологию).

По мнению А. С. Нариньяни, авторитетного ученого в области вычисли-

тельной математики (ВМ), назрели новые парадигмы в вычислительной математике [19]. Вычислительная математика должна вернуться из технических прикладных методов расчета в основу инженерии знаний. На смену «эпохе алгоритма» должна прийти «парадигма модели», что приведет к восстановлению базовой содержательной роли математики и становления ее «технологией метазнаний». Однако такая трансформация предполагает, что основным содержанием ВМ станет качественное продвижение следующих основных, тесно связанных составляющих, развитие теории представления знаний и соответствующих аппаратов описания моделей.

1. Развитие технологий моделирования, оптимизация самого процесса функционирования модели с учетом таких свойств реальных задач, как недоопределенность, неполнота, неточность и т.д.
2. Развитие, т.е. расширение и эффективизация универсальной процедуры сжатия пространства моделирования для выделения также решения (которое может качественно различаться для различных классов проблем) и взаимодействия с ним при решении конкретных прикладных задач.

Узость, ограниченность вычислительной трактовки сознания и мышления справедливо подвергается основательной критике выдающимся физиком и математиком Р. Пенроузом.

Он считает, что огромное количественное накопление не всегда приводит к новому качеству. Пенроуз убедительно показывает, что даже собственное «математическое понимание» не может быть сведено к вычислительным операциям, поддерживает «невчислительный» характер математического восприятия [21]. Это относится не только к математическому, но и ко всякому пониманию. Оно составляет важнейшую особенность всякой познавательной деятельности, неотъемлемое свойство сознания. *Понимание* является

весьма общей чертой, присущей всем человеческим существам, и эта способность принципиально не является вычислительной по своей природе, не влечет зависимости от математики.

Существенное сближение ИИ с ЕИ предполагает более глубокое исследование ЕИ. Именно недостаточная исследованность ЕИ является наиболее узким местом компьютерного моделирования.

Наиболее основательно и многопланово данное положение выражено в работе А. П. Огурцова [20]. В ней убедительно показано, что перспективы компьютерного моделирования и нейрокомпьютинга — это перспективы философии и психологии сознания. Именно ими будет создан новый язык анализа сознания, в том числе интеллект, который найдет свою реализацию в компьютерных моделях.

Сейчас с очевидностью можно утверждать, что все компьютерные модели далеки от биологической основы работы интеллекта. Это особенно видно на примере искусственных нейронных сетей (ИНС): потенциал той модели ИНС, которую мы описали ранее, практически исчерпан. Поэтому необходимо появление новых идей, исходящих из нейронаук и когнитивной психологии, которые бы дали новые импульсы развитию ИНС.

Каково же современное состояние и перспективы дальнейшего развития ЭС?

Во-первых, сейчас не стоит вопрос о вычислительных ресурсах, в частности об объеме оперативной памяти, что было характерно для 1970–1980-х годов, когда разработчикам приходилось считать каждый ее мегабайт.

Во-вторых, развились языки программирования для систем ИИ, в частности для ЭС.

В-третьих, ЭС становятся более универсальными, так, можно отметить электронно-справочную систему *Sus* (*lu – Sus — lopedic*), разработанную компанией *Suscorp*. Эта система содержит более 1 млн утверждений, охватывает все

области знаний и способна делать логические выводы.

Говоря о перспективе развития ЭС, отметим важность учета человеческого фактора при их разработке. Как известно, экспертные системы функционируют в основном вместе с базами знаний, представляющими собой совокупность фактов и правил логического вывода в выбранной предметной области деятельности. Это обстоятельство и позволяет моделировать поведение опытных специалистов в определенной области знаний с использованием процедур логического вывода и принятия решений. По мнению разработчиков ЭС, этап приобретения знаний является одним из главных узких мест в рамках технологии создания экспертных систем. Это объясняется, во-первых, низкой скоростью наполнения базы знаний системы из-за того, что в настоящее время процесс формирования знаний зачастую невозможен без участия специалистов по когнитивной инженерии — инженеров по знаниям (эти специалисты должны обладать знаниями в области когнитивной психологии, искусственного интеллекта, программирования), хотя работы по автоматизации этого процесса ведутся достаточно интенсивно. Во-вторых, есть предметные области, например, диспетчерская деятельность, для которых зачастую трудно найти опытного человека-эксперта, а иногда такового просто не существует.

Кроме того, давно замечено, что не все эксперты готовы и умеют делиться своими знаниями. Поэтому применение ИНС для прогнозирования поездной обстановки в автоматизированных системах диспетчерского управления [11], как и использование модели динамической продукции для прогнозирования движения поездов в интеллектуальных транспортных системах [12] требует учета данного обстоятельства.

Иными словами, в структуре знаний эксперта важное место занимают «неявные знания», извлечение которых требует специальных методов и приемов. Отдельные такие приемы

и методы, как, например, интервью о примерах эффективного и неэффективного принятия решения в профессиональных ситуациях, имитационные тесты (наблюдение за поведением человека в профессионально значимых условиях), метод оценки ситуаций на основе беседы, сфокусированной на личном профессиональном опыте человека, находят свое применение при создании экспертных систем. Однако очевидно, что предстоит дальнейшая работа в этом направлении.

Наконец, следует остановиться на месте когнитивной науки в системе NBIC (нано-, био-, информационных и когнитивных технологий), которая в настоящее время и в обозримом будущем олицетворяет прогресс в развитии человека и социума.

Как следует из вышеизложенного, когнитивная наука оказывает большое

и все возрастающее влияние на все основные разделы современного научного знания, в том числе на гуманитарные и социальные дисциплины. В этой связи представляется целесообразным расширить NBIC за счет включения в систему социогуманитарных нормативов и социальных технологий, как считает Д. И. Дубровский [13]. Однако при этом расширении важно сохранить ядро когнитивной науки, в которое, как отмечалось выше, вошли такие важнейшие для когнитивных исследований социогуманитарные дисциплины, как психология, антропология, эпистемология, лингвистика. Расширение ядра без значимых идей и методов развития когнитивных исследований подобно информационному шуму, который окажет мешающее воздействие на наметившееся взаимопроникновение перечисленных научных дисциплин. ■

Литература

1. Абдикеев Н. М., Аверкин А. Н., Ефремова Н. А. Когнитивная экономика в эпоху инноваций // Вестник РЭА, 2010. № 1. С. 3–20.
2. Аверкин А. Н., Кузнецов О. П., Кулинич А. А., Титова Н. В. Поддержка принятия решений в слабоструктурированных предметных областях: анализ ситуации и оценка альтернатив // Известия РАН. Теория и системы управления, 2006. № 3. С. 139–149.
3. Бахтизин А. Р. Вычислимая модель «Россия: Центр — Федеральные округа» : препринт. М. : ЦЭМИ РАН.
4. Воронин В. М. Современная инженерная психология на железнодорожном транспорте. Екатеринбург : Изд-во УрГУПС, 2011. 280 с. ISBN 978-5-94614-219-9.
5. Воронин В. М., Наседкина З. А. Исследование и моделирование готовности к экстремному действию на основе теории обнаружения сигналов // Вестник УрГУПС, 2012. № 3. С. 95–102. ISSN 2079-0392.
6. Воронин В. М., Наседкина З. А. Психологические проблемы речевого взаимодействия в системе «человек-ЭВМ» : монография / 2-е изд. — Екатеринбург : Изд-во УрГУПС, 2012. — 164 с.
7. Воронин В. М., Курицин С. В. Латентно-семантический и пропозициональный анализ связанного текста / Психологический вестник Уральского гос. ун-та им. А. М. Горького. Екатеринбург : Изд-во УрГУ, 2008.
8. Воронин В. М., Наседкина З. А. Когнитивная наука и ее приложения // Вестник УрГУПС, № 1, 2013. С. 104–116. ISSN 2079-0392.
9. Гапанович В. А., Розенберг И. Н. Новые направления развития интеллектуального железнодорожного транспорта // Железнодорожный транспорт, 2011. № 4. С. 5–11. ISSN 0044-4448.
10. Диев В. С. Нечеткость в принятии решений // Философия науки, 1998. № 1 (4). С. 45–52. ISSN 1560-7488.
11. Долгий И. Д., Криволапов С. В. Динамические модели прогнозирования движения поездов в интеллектуальных системах диспетчерского управления // Вестник РГУПС, 2012. № 4. С. 75–81. ISSN 0201-727X.
12. Долгий И. Д., Криволапов С. В. Прогнозирование поездной обстановки в автоматизированных системах диспетчерского управления на основе иерархической нейронной сети // Вестник РГУПС, 2013. № 1. С. 71–74. ISSN 0201-727X.

13. Дубровский Д. И. Когнитивная наука и НБИК-конвергенция // Труды 5-й Междунар. конф. по когнитивной науке. Калининград, 2012. Т. 1. С. 347–348.
14. Максимов В. И. Построение модели развития железнодорожного транспорта при взаимодействии с субъектами РФ в ходе реформирования // Труды 1-й Междунар. конф. «Когнитивный анализ и управление развитием ситуаций» (CASC 2001) М. : ИПУ РАН, 2001.
15. Круглов В. В., Борисов В. В. Искусственные нейронные сети. Теория и практика. М. : Горячая линия-Телеком.
16. Кузнецов О. П., Кулинич А. А., Марковский А. В. Анализ влияний при управлении слабоструктурированными ситуациями на основе когнитивных карт / В кн. : Человеческий фактор в управлении. М. : КомКнига, 2006. С. 313–344.
17. Курицин С. В., Воронин В. М. Исследование оценки понимания нарративных и экспозиторных текстов с применением латентного семантического анализа // Сибирский психологический журнал, 2009. № 33. ISSN 1726-7980.
18. Максимов В. И. Структурно-целевой анализ развития социально-экономических ситуаций // Проблемы управления, 2005. № 3. С. 30–38.
19. Нариньяни А. С. Модель или алгоритм: новая парадигма информационной технологии // Вопросы философии, 2011. № 4. ISSN 0042-8744.
20. Огурцов А. П. Достижения и трудности моделирования интеллектуальных актов // Философия ИИ. М-лы Всерос. междисциплинарной конференции. М., 2005.
21. Пенроуз. Большое, малое и человеческий разум. — М., 2003.
22. Пью Д. С., Хиксон Д. Дж. Исследователи об организациях : хрестоматия. М. : ЛИНК, 1999.
23. Робертс Ф. Дискретные модели с приложениями к социальным, биологическим и экологическим задачам. М. : Наука, 1986.
24. Силов В. Б. Принятие стратегических решений в нечеткой обстановке. М. : ИНПРОРЕС, 1995.
25. Трахтенгерц Э. А. Субъективность в компьютерной поддержке решений. М. : СИНТЕГ, 2001. 256 с.
26. Федулов А. С. Нечеткие реляционные когнитивные карты // Теория и системы управления, 2005. № 1. С. 120–132. ISSN 0002-3388.
27. Axelrod R. Structure of Decision. Princeton. New Jersey: Princeton University Press, 1976.
28. Cohen L. J. Can human irrationality be experimentally demonstrated? // Behavioral and Brain Sciences, 1981. Pp. 317–370.
29. Kintsch W. Comprehension: A paradigm for cognition. N.Y. : Cambridge University Press, 1998.
30. Landauer T. K., Dumais S. T. A solution to Plato's problem: the Latent Semantic Analysis theory of the acquisition, induction, and representation of knowledge // Psychological Review, 1997. № 104.
31. Landauer T. K., Foltz P. W., Laham D. Introduction to Latent Semantic Analysis // Discourse Processes, 1998. № 25. Pp. 259–284.
32. Marko K. et. al. Ford Motor Company, Automotive Control Diagnostics, IJCNN, 1989.
33. Ross D. Economics Theory and Cognitive Science: Microexplanation. The MIT Press, 2005.
34. Srylios C. D., Groumpos P. P. The challenge of modeling supervisory systems using fuzzy cognitive maps // J. Intelligent Manufacturing, 1998.V.9.
35. Srylios C. D., Groumpos P. P. A Soft Computing Approach for Modelling the Supervisor of Manufacturing Systems // J. Intelligent and Robotic Systems, 1999.V.26.
36. Taber W. R. Knowledge processing with fuzzy cognitive maps // Expert Systems with Applications, 1991.V.2.
37. Walliser B. Cognitive Economics. Springer, 2008.

References

1. Abdikeev N. M., Averkin A. N., Efremova N. A. Kognitivnaya ekonomika v epokhu innovatsiy [Cognitive economy in the era of innovation] // Vestnik REA, 2010. № 1. P. 3–20.
2. Averkin A. N., Kuznetsov O. P., Kulnich A. A., Titova N. V. Podderzhka prinyatiya resheniy v slabostruktirovannykh predmetnykh oblastiakh: analiz situatsii i ocenka alternativ [Decision support in semistructured subject areas: situation analysis and assessment of alternatives] // Izvestiya RAN. Teoriya i sistemy upravleniya, 2006. № 3. P. 139–149.
3. Bakhtizin A. R. Vychislimaya model «Rossiya: Centr — Federalnye okruga» [Computable model «Russia: Center — Federal Districts»]: preprint. М. : CEMI RAN.

4. Voronin V. M. *Sovremennaya inzhenernaya psikhologiya na zhelezнодорожном транспорте*. [Modern engineering psychology in railway transport] Ekaterinburg : USURT Publishing House, 2011. 280 p. ISBN 978-5-94614-219-9.
5. Voronin V. M., Nasedkina Z. A. *Issledovanie i modelirovanie gotovnosti k ekstremnomu deystviyu na osnove teorii obnaruzheniya signalov*. [Research and modeling of preparedness for emergency action on the basis of signal detection theory] // Herald of USURT, 2012. № 3. P. 95–102. ISSN 2079-0392.
6. Voronin V. M., Nasedkina Z. A. *Psikhologicheskie problemy rechevogo vzaimodeystviya v sisteme «chelovek — EVM»* : monografiya [Psychological problems of verbal interaction in «human — machine» system : monograph] / 2nd edition — Ekaterinburg : USURT Publishing House, 2012. — 164 p.
7. Voronin V. M., Kuricin S. V. *Latentno-semanticheskii i propozitsionalny analiz svyaznogo teksta* [Latent semantic and propositional analysis of coherent text] / Psikhologicheskii vestnik Uralskogo gos. un-ta im. A. M. Gorkogo. Ekaterinburg : Izd-vo UrGU, 2008.
8. Voronin V. M., Nasedkina Z. A. *Kognitivnaya nauka i ee prilozheniya* [Cognitive science and its applications] // Herald of USURT, № 1, 2013. P. 104–116. ISSN 2079-0392.
9. Gapanovich V. A., Rozenberg I. N. *Novye napravleniya razvitiya intellektualnogo zhelezнодорожного транспорта* [New areas for the development of intellectual railway transport] // Zhelezнодороzhny transport, 2011. № 4. P. 5–11. ISSN 0044-4448.
10. Diev V. S. *Nechetkost v prinyatii resheniy* [Fuzziness in decision making] // Filosofiya nauki, 1998. № 1 (4). P. 45–52. ISSN 1560-7488.
11. Dolgiy I. D., Krivolapov S. V. *Dinamicheskie modeli prognozirovaniya dvizheniya poezdov v intellektualnykh sistemakh dispetcherskogo upravleniya* [Dynamic train traffic forecasting models in smart dispatching systems] // Vestnik RGUPS, 2012. № 4. P. 75–81. ISSN 0201-727X.
12. Dolgiy I. D., Krivolapov S. V. *Prognozirovanie poezdnoy obstanovki v avtomatizirovannykh sistemakh dispetcherskogo upravleniya na osnove ierarkhicheskoy neyronnoy seti* [Prediction of train situation in automated dispatch control systems based on a hierarchical neural network] // Vestnik RGUPS, 2013. № 1. P. 71–74. ISSN 0201-727X.
13. Dubrovskiy D. I. *Kognitivnaya nauka i NBIK-konvergenciya* [Cognitive science and NBIC-convergence] // Trudy 5-y Mezhdunar. konf. po kognitivnoy nauke. Kaliningrad, 2012. V. 1. P. 347–348.
14. Maksimov V. I. *Postroenie modeli razvitiya zhelezнодорожного транспорта pri vzaimodeystvii s subyektami RF v khode reformirovaniya* [Building a model of railway transport development in interaction with the subjects of the Russian Federation during the reform] // Trudy 1-y Mezhdunar. konf. «Kognitivny analiz i upravlenie razvitiem situatsiy» (CASC 2001) M. : IPU RAN, 2001.
15. Kruglov V. V., Borisov V. V. *Iskusstvennyye neyronnye seti. Teoriya i praktika*. [Artificial neural networks. Theory and practice]. M. : Goryachaya liniya-Telekom.
16. Kuznecov O. P., Kulinich A. A., Markovskiy A. V. *Analiz vliyaniy pri upravlenii slabostrukturirovannymi situatsiyami na osnove kognitivnykh kart* [Analysis of the effects in management of semi-structured situations based on cognitive maps] / In: Chelovecheskiy faktor v upravlenii. M. : KomKniga, 2006. P. 313–344.
17. Kuricin S. V., Voronin V. M. *Issledovanie ocenki ponimaniya narrativnykh i ekspozitornykh tekstov s primeneniem latentnogo semanticheskogo analiza* [Research of evaluation of understanding of narrative and expository texts using latent semantic analysis] // Sibirskiy psikhologicheskii zhurnal, 2009. № 33. ISSN 1726-7980.
18. Maksimov V. I. *Strukturno-celevoy analiz razvitiya socialno-ekonomicheskikh situatsiy* [Structural-targeted analysis of development socio-economic situations] // Problemy upravleniya, 2005. № 3. P. 30–38.
19. Narinyani A. S. *Model ili algoritm: novaya paradigma informatsionnoy tekhnologii* [Model or algorithm: a new paradigm of information technology] // Voprosy filosofii, 2011. № 4. ISSN 0042-8744.
20. Ogurcov A. P. *Dostizheniya i trudnosti modelirovaniya intellektualnykh aktov*. [Achievements and challenges of modeling intelligent acts] // Filosofiya II. M-ly Vseross. mezhdisciplinarnoy konferentsii. M., 2005.
21. Penrose. *Bolshoe, maloe i chelovecheskiy razum*. [Big, small, and the human mind] — M., 2003.

22. Pugh D.S., Hickson D.J. Issledovateli ob organizatsiyakh : khrestomatiya. [Researchers on organizations : a reader] M. : LINK, 1999.
23. Roberts F. Diskretnye modeli s prilozheniyami k socialnym, biologicheskim i ekologicheskim zadacham. [Discrete models with applications to social, biological and ecological problems] M. : Nauka, 1986.
24. Silov V.B. Prinyatie strategicheskikh resheniy v nechetkoy obstanovke. [Strategic decision-making in a fuzzy environment] M. : INPRO-RES, 1995.
25. Trakhtengerc E.A. Subyektivnost v kompyuternoy podderzhke resheniy. [Subjectivity in computer decision support] M. : SINTEG, 2001. 256 p.
26. Fedulov A.S. Nechetkie relyatsionnye kognitivnye karty [Fuzzy relational cognitive maps] // Teoriya i sistemy upravleniya, 2005. № 1. P. 120–132. ISSN 0002-3388.
27. Axelrod R. Structure of Decision. [Struktura resheniy]. Princeton. New Jersey : Princeton University Press, 1976.
28. Cohen L.J. Can human irrationality be experimentally demonstrated? [Mozhet li chelovecheskaya bezrassudnost byt prodemosntrirovana opytym putyom?] // Behavioral and Brain Sciences, 1981. Pp. 317–370.
29. Kintsch W. Comprehension: A paradigm for cognition. (Model protsessa poznaniya) N.Y.: Cambridge University Press, 1998.
30. Landauer T.K., Dumais S.T. A solution to Plato's problem: the Latent Semantic Analysis theory of the acquisition, induction, and representation of knowledge [Resheniye problemy Plato: latentno-semanticheskiy analiz teorii priobreteniya, primeneniya i predstavleniya znaniy] // Psychological Review, 1997. № 104.
31. Landauer T.K., Foltz P.W., Laham D. Introduction to Latent Semantic Analysis [Vvedeniye v latentno-semanticheskiy analiz] // Discourse Processes, 1998. № 25. Pp. 259–284.
32. Marko K. et. al. Ford Motor Company, Automotive Control Diagnostics [Kompaniya Ford Motor, avtomaticheskiy control vyyavleniya oshibok], IJCNN, 1989.
33. Ross D. Economics Theory and Cognitive Science: Microexplanation. [Ekonomicheskaya teoriya i kognitivistika: mikroobyaseniye]. The MIT Press, 2005.
34. Srylios C.D., Groumpos P.P. The challenge of modeling supervisory systems using fuzzy cognitive maps [Konkurentsiya modelirovaniya kontroliruyushchikh sistem s ispolzovaniyem metoda nechetkikh kognitivnykh kart] // J. Intelligent Manufacturing, 1998.V.9.
35. Srylios C.D., Groumpos P.P. A Soft Computing Approach for Modelling the Supervisor of Manufacturing Systems [Vychislitelniy metod dlya sozdaniya kontraliruyushchego proizvodstvennyye sistemy organa] // J. Intelligent and Robotic Systems, 1999.V.26.
36. Taber W.R. Knowledge processing with fuzzy cognitive maps [Obrabotka znaniy s pomoshchyu nechetkikh kognitivnykh kart] // Expert Systems with Applications, 1991.V.2.
37. Walliser B. Cognitive Economics. [Kognitivnaya ekonomika] Springer, 2008.

*Статья сдана в редакцию 3 декабря 2013 года
Публикуется в авторской редакции*

Организация образовательного процесса

УДК 658.386; 656.08

Е. А. Малыгин

Практико-ориентированная подготовка специалистов

UDC 658.386; 656.08

E. A. Malygin

Practice-oriented training of specialists

Аннотация

В статье предлагается формирование нового уровня профессионального образования, ориентированного на конкретный вид профессиональной деятельности выпускников университета. Предложены условия и формы подготовки прикладных бакалавров, определены необходимые для этого условия, которые не будут противоречить Закону «Об образовании в Российской Федерации».

Автором сформулированы основные элементы совершенствования качества подготовки специалистов с учетом инновационного развития транспорта, предложены пути сближения профессиональных и образовательных стандартов по специальностям железнодорожного транспорта, а также формы совместной работы учреждений среднего профессионального и высшего образования. Отдельно проанализированы условия и организация работы базовых кафедр на крупных профильных предприятиях и в научных организациях.

Ключевые слова: подготовка специалистов, уровни профессионального образования, профессиональные компетенции, прикладной бакалавр, образовательные технологии, базовые кафедры, профессиональная деятельность, практико-ориентированная подготовка.

Summary

The article proposes to create a new level of professional education focused on the specific type of professional activity of university graduates. The terms and forms of training of applied bachelors are proposed, the necessary conditions defined, which are not contrary to the Law «On Education in the Russian Federation» currently in force.

The author formulates the basic elements of improvement of the training quality, taking into account innovative development of transport; the ways of convergence of professional and educational standards in railway transport disciplines are proposed, along with forms of cooperation between secondary vocational and higher education institutions. The conditions and organization of work of basic departments at relevant large enterprises and research organizations are analyzed individually.

Keywords: professionals' training, vocational education levels, professional competence, applied bachelor, educational technologies, basic departments, professional activity, practice-oriented training.

Евгений Алексеевич Малыгин, канд. техн. наук, профессор; кафедра «Автоматика, телемеханика и связь на железнодорожном транспорте» Уральского государственного университета путей сообщения; Екатеринбург, Россия. E-mail: EMalygin@usurt.ru.

Evgeny Alexeevich Malygin, PhD in Engineering, Associate Professor, Vice-Rector for Education, Ural State University of Railway Transport, Ekaterinburg, Russia. E-mail: EMalygin@usurt.ru.

Количественный рост числа выпускников вузов не решает проблем развития средств автоматизации и компьютеризации производства, внедрения новых технологий и изменений в спектре востребованных специальностей кадрового обеспечения производственных процессов без перехода на новые стандарты и новые технологии подготовки.

Изменения, идущие в производственной сфере страны, активно проявляются и на железнодорожном транспорте. Одновременно с внедрением на предприятиях новых техники и технологий, становлением новых организационно-экономических условий деятельности сохраняется (в процентном отношении) процесс старения основных фондов. К этому добавляется дефицит кадров, что проявляется как общим сокращением числа работающих (что может быть частично восполнено ростом производительности труда), так и усилением несоответствия уровней подготовки кадров требованиям производства*. Это относится ко всем уровням подготовки персонала — от рабочих массовых профессий до специалистов и руководителей.

При внедрении автоматизированных систем и уходе человека из непосредственного управления процессом требуется формирование у работника компетенции принятия интеллектуального решения (а решать-то наши специалисты и не умеют, им проще выполнять команды и инструкции).

Неблагоприятная демографическая ситуация в России и очередная демографическая «яма» 1980-х гг. сейчас ощущается в профессиональных образовательных учреждениях, но через пять-шесть лет весьма ощутимо скажется в экономике нашей страны [1]. И это накладывается на вузы и колледжи повышенную ответственность при подготовке кадров, востребованных реальным производством.

Существовавшая ранее паритетность уровней реальной экономики и профес-

сиональной подготовки персонала в настоящее время нарушена [5]. Это не означает, что образование стало принципиально хуже, но экономика стала другой (причем не однозначно, что лучше). Направление создания интегрированного аппаратно-технологического оборудования, сокращение возможностей его ремонта на производстве изменяет потребность в квалификации кадров и спектре профессиональных и личностных компетенций специалистов. Уровневая система кадрового обеспечения реформируемого производства должна иметь адекватную поддержку в форме уровня профессионального образования, которое активно переходит на подготовку бакалавров, магистров. Специалитет же по направлениям, связанным с безопасностью производственных процессов, и ряд других видов профессиональной деятельности необходимо сохранить.

Изменения производства, связанные с активным внедрением сервисных центров, сокращением жизненного цикла технических средств, интеграцией систем и переходом на безлюдные технологии, определяют необходимость адекватных изменений системы профессионального образования.

Основные элементы совершенствования качества подготовки специалистов с учетом инновационного развития производства:

- опережающая подготовка специалистов и кадров массовых специальностей по новой технике, технологии и организации работы производственного комплекса;

- развитие системы государственно-частного партнерства в реформировании учебно-материальной базы образовательных учреждений, участвующих в кадровом обеспечении предприятий;

- переход на профессиональные стандарты в подготовке специалистов на основе компетентностного принципа их построения;

*Для рабочих массовых профессий замена сокращающегося персонала плохо обученными мигрантами не спасает, а лишь загоняет проблему внутрь (вроде что-то делают, но как?).

создание комплексных систем подготовки кадров по обеспечению безопасности производственных процессов;

мониторинг адекватности спектра профессий новым технико-технологическим и социально-экономическим условиям деятельности предприятий и организаций;

переход на многоуровневую систему подготовки кадров — от подготовки специалистов, включающей в себя различные их квалификационные уровни, до подготовки кадров массовых профессий, от простейших по уровню профессиональной подготовки до профессий, требующих уровня среднего профессионального и даже высшего образования.

Закон «Об образовании в Российской Федерации» [2] закрепил возможность вариативного формирования образовательных программ и, в частности усиление практико-ориентированной подготовки специалистов для большого спектра отраслей экономики страны*.

Переход на образовательные стандарты нового поколения, который осуществляется в профессиональном образовании России, существенным образом меняет структуру содержания учебных планов образовательных программ и программ дисциплин, которые должны ориентироваться в первую очередь на формирование конкретных компетенций обучающихся. При этом меняются роль и место дополнительных образовательных программ отраслевой составляющей, которые должны быть интегрированы в основную образовательную программу, а это требует разработки технологий и регламентов формирования учебного плана [6].

Предлагаемые принципы и методики подготовки кадров для предприятий предусматривают общественно-профессиональный вариант разработки требований к профессиям работников прак-

тически всех направлений деятельности, что базируется на профессиональных стандартах по укрупненным направлениям деятельности работников и по конкретным специальностям и должностям в соответствии с номенклатурой кадров.

Система профессионального образования переходит на уровневую структуру: техник вместо квалифицированного рабочего; прикладной бакалавр — как младший командный состав; магистры — для подготовки среднего и старшего командного состава. При этом на определенном переходный период сохраняется подготовка по уровню специалитета для ряда производств, в т.ч. для железнодорожного транспорта.

Характерными особенностями многоуровневой системы высшего профессионального образования для современного производства независимо от реализуемых уровней подготовки можно считать: завершенность каждого из уровней образования; компетентностный принцип формирования образовательных программ с переходом от понятия «квалификация» к понятию «компетенция»; рост объемов вариативной составляющей в учебных планах, их личностная ориентация; введение новой системы измерения объемов освоения знаний — «зачетная единица»; модульный принцип формирования содержания образовательных программ подготовки кадров.

Многоуровневое профессиональное образование обеспечит создание кадрового ресурса, адекватного меняющимся условиям деятельности транспортных предприятий страны.

Анализ большого числа производственных процессов, в т.ч. процессов на железнодорожном транспорте, позволяет сделать вывод, что в производственной сфере во все большем объеме происходит разделение функций

*История подготовки кадров под конкретные рабочие места не является принципиально новой как в мире, так и в России, точнее в СССР. Дуальная система профессионального образования в Германии во многом определила эффективность подготовки кадрового ресурса страны по всем уровням профессий и специальностей. Действовавшие в СССР заводы-вузсы готовили специалистов и руководителей, хорошо знающих реальное производство и мотивированных на получение высшего профессионального образования для повышения эффективности своей деятельности на производстве. Хорошую систему целевой подготовки имели ранее существовавшие крупные отрасли народного хозяйства (железнодорожники, энергетики, машиностроители, металлурги и др.).

эксплуатационно-производственной деятельности и работы по программно-информационной, ремонтной и сервисной поддержке производства. Эксплуатационный штат должен иметь подготовку по широкому спектру межпредметных областей, а специалисты служб обеспечения и поддержки — обладать глубокими знаниями как специальности в целом, так и навыками в конкретных видах деятельности. Другими словами, требуются достаточное производство кадров, способных работать в условиях эксплуатации нового сложного оборудования и «штучное» производство узких специалистов по конкретным видам деятельности подразделений обеспечения. При этом для первой группы специалистов все больше стирается грань между уровнями инженера и техника [3].

Особенности современного производства определяют изменения в организации подготовки кадров.

Первичная производственная деятельность выпускников требует практически одинаковых профессиональных знаний по специальности. Но выпускники отраслевых техникумов не имеют требуемого кругозора в вопросах работы новых, высокоинтеллектуальных технических систем и профессиональной культуре, поэтому они не могут выполнять функции даже младших руководителей. Производство во все большей степени требует таких специалистов, как техник повышенного уровня с теоретической подготовкой инженера или выпускник системы высшего образования с квалификацией «прикладной бакалавр». Такой специалист может успешно осуществлять эксплуатационно-производственную деятельность в условиях технического перевооружения отрасли [8].

Бакалавр на транспортном предприятии предназначен для непосредственной эксплуатационно-профессиональной деятельности. Прикладной бакалавриат предусматривает длительную практику (шесть-восемь месяцев), а при подготовке академического бакалавра

делается упор на наукоемкое производство и последующую подготовку в академической магистратуре.

Практикоориентированная подготовка по уровню прикладного бакалавриата для конкретного рабочего места может осуществляться при наличии обязательных условий: а) наличие обязательного договора между университетом и предприятием с указанием конкретного рабочего места, на которое будет готовиться студент; б) согласие студента обучаться на это рабочее место; в) получение в процессе обучения хорошей производственной практики и получение рабочей профессии по профилю получаемого высшего образования; г) наличие базовых кафедр на крупных железнодорожных предприятиях и в научных учреждениях отрасли, развитие сетевых форм подготовки специалистов. Прикладной бакалавр — это *образовательная квалификация*, присваиваемая выпускнику, закончившему основную образовательную программу высшего образования уровня бакалавриата, обладающего компетенциями по решению технологических задач в различных сферах социально-экономической деятельности, готового приступить к профессиональной деятельности сразу после окончания вуза.

Схема взаимодействия предприятий и образовательных учреждений приведена на рисунке.

Схема взаимодействия подчеркивает активную совместную деятельность вузов и предприятий-партнеров в процессе реализации программ прикладного бакалавриата.

В настоящее время из 471 образовательного стандарта ФГОСЗ+107 предусматривают распараллеливания («развилку») в присваиваемых квалификациях на «прикладной бакалавр» и «академический». Но опрос большого числа студентов, поступающих на I курс, показал, что более 75% из них не имеют сформированной мотивации обучаться по программам прикладного бакалавриата, не готовы оценить

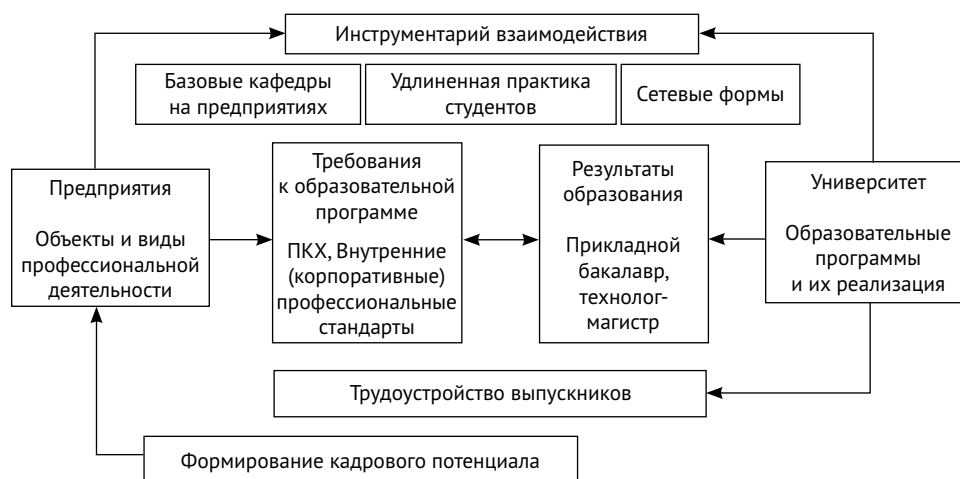


Схема взаимодействия предприятий и образовательных учреждений при реализации программ практико-ориентированной подготовки

свои способности эффективно работать на конкретном рабочем месте и не представляют это конкретное место своей будущей работы. С учетом этого, нами предлагается первые два года обучения проводить в единых потоках, обеспечивая базовую подготовку, а компетенции, необходимые для рассматриваемого уровня образования, формировать на старших курсах и особенно на производственной практике.

Примерное распределение объемов и структура ООП по программам академического и прикладного бакалавриата приведены в таблице.

Уровень прикладного бакалавриата несколько сокращает объем общетеоретической подготовки с увеличением объема практической составляющей, но это не означает тупиковую траекторию развития образования студента, потому что для формирования резерва руководящих кадров предусматривается уровень магистратуры (академической или технологической). Этот уровень можно осваивать как после завершения первой ступени (бакалавриата), так и после нескольких лет работы на производстве (по очной, очно-заочной или заочной формам подготовки).

Примерная структура ООП по программам академического и прикладного бакалавриата

Структура программы бакалавриата		Объем программы бакалавриата в зачетных единицах	
		программа бакалавриата с присвоением квалификации «академический бакалавр»	программа бакалавриата с присвоением квалификации «прикладной бакалавр»
Блок 1	Дисциплины (модули)	204–210	186–198
	Базовая часть	99–105	99–105
	Вариативная часть		
Блок 2	Практики	24–27	36–45 (6–7 мес.)
Блок 3	Государственная итоговая аттестация	6–9	6–9
Объем программы бакалавриата		240	

При этом можно предложить модульное построение образовательной программы, при котором завершение модуля (или блока модулей) сопровождается сертификацией достигнутых компетенций [3]. Новая система подготовки предусматривает возможность выбора любого из направлений подготовки магистров независимо от предыдущего направления подготовки на уровне бакалавриата.

В большинстве стандартов прикладного и академического бакалавриата присутствуют идентичные виды профессиональной деятельности выпускников. Разница заключается в заданной глубине их освоения, что определяется характером области задач и будущей профессиональной деятельностью выпускников.

В процессе реализации практико-ориентированных образовательных программ университетов, как уже было сказано, усиливается производственная составляющая образовательной программы. Именно здесь должны быть использованы возможности колледжей, вошедших в состав университетских комплексов*. Здесь необходимо проработать вопрос о соблюдении лицензионных нормативов при реализации программ прикладного бакалавриата (до половины содержания программ будут реализовывать мастера производственного обучения и преподаватели колледжей, что не позволит вузу выполнить критичный для него 60%-ный уровень наличия высшего уровня квалификации ППС в целом по ООП прикладного бакалавриата).

Подготовка специалистов предусматривает активное участие работодателей в формировании и реализации компетентностного принципа. Именно производство должно сказать: какие должны быть компетенции у выпускника

каждого из уровней подготовки? какой нужен специалист?

Предлагаемые принципы и методики подготовки кадров для железнодорожного транспорта (да и для производственных предприятий) предусматривают общественно-профессиональный принцип разработки требований к профессиям соответствующего (в нашем случае, транспортного) производства, что базируется на профессиональных стандартах по укрупненным направлениям деятельности работников отрасли промышленности и по конкретным специальностям и должностям в соответствии с номенклатурой кадров [7].

Позиции же образовательной организации и производства не всегда совпадают. Необходимо активно внедрять общественно-профессиональную аттестацию специалистов. Нужна независимая оценка возможности работы на производстве выпускников образовательных организаций. Диплом вуза и право работы на определенной должности — это не одно и то же. На базе вузов и колледжей можно было бы создать центры общественно-профессиональной аттестации выпускников или претендентов на замещение конкретных должностей. Нужна стыковка образовательных и профессиональных стандартов.

Реализация практико-ориентированной подготовки кадров определяет необходимость изменения содержания и технологий образовательной деятельности. К таким формам инновационной образовательной, по мнению автора, деятельности можно отнести:

внедрение в основных образовательных программах (ООП) научной составляющей подготовки специалистов через проведение вариативного курса «Основы научной деятельности студентов» (блок по выбору вуза) на II курсе с последующим развитием содержания

*В колледжах имеется богатейший опыт профессиональной подготовки и соответствующая производственная база и кадровый ресурс преподавателей и мастеров. Автором разработаны научно-методические основы формирования интегрированных образовательных программ непрерывного многоуровневого профессионального образования [3]. Многие положения разработанной теоретической работы могут быть использованы при формировании содержания и организации образовательного процесса по уровню прикладного бакалавриата. Именно при реализации данных ООП колледжи университетских комплексов найдут поле приложения своих ресурсов.

этого направления деятельности в каждой из дисциплин, а также во внеучебных формах работы;

включение в учебные планы всех ООП комплексных курсовых проектов (ККП), разработка которых требует от студента решения не узкопредметной задачи, а достижения междисциплинарного, комплексного проектного решения. ККП могут интегрировать до четырех дисциплин, имевших ранее собственные курсовые работы и проекты*;

изменение содержания магистерской подготовки в части увеличения реальной научно-исследовательской и проектной деятельности магистрантов. ФГОС существенно увеличил объем времени на практику, НИРС и выполнение на их основе выпускных работ (объем практики увеличился в 1,5 раза, а НИРС — более чем в три). Это позволяет сформировать ООП под конкретные запросы производства и обучающихся. Для реализации таких образовательных программ целесообразно создавать научно-образовательные центры (НОЦ) или использовать малые инновационные (внедренческие) предприятия, за которыми закреплены магистры для прохождения практик, проведения исследований и выполнения ВКР.

Эффективной формой сочетания образовательной и производственной деятельности можно считать использование системы видеоконференц-связи, позволяющей вести образовательный процесс с территориально удаленными студентами. Такой метод позволяет,

например, проводить занятия со студентами учреждений сетевого взаимодействия или филиалов вузов силами наиболее квалифицированными преподавателями по единому расписанию проведения таких занятий. Это повышает качество подготовки студентов филиалов как очников, так и заочников. Развитием данной системы можно рассматривать проведение установочных сессий для студентов старших курсов по наиболее сложным дисциплинам, проведение консультаций студентов в межсессионный период по графику, который доводится до студентов-заочников. Для увеличения контактного времени работы преподавателя со студентом-заочником можно по графику консультаций проводить сеансы по системе Skype и другим новым телекоммуникационным технологиям. Комплексным решением новых технологий образовательной деятельности можно считать активное внедрения в образовательный процесс технологий электронного обучения.

Закон «Об образовании в Российской Федерации» предусматривает возможность создания базовых кафедр на крупных предприятиях и в научных организациях. Накопленный вузами опыт работы филиалов кафедр позволяет создать на их основе базовые кафедры университета на предприятиях. При этом должно произойти существенное изменение условий и содержания их деятельности. Организация практики студентов, проведение научных исследований по проблемам производства, привлечение к образовательной

*Например, при подготовке специалистов по автоматике и телемеханике на железнодорожном транспорте студенты проектируют системы автоматики на станции, разрабатывают перегонные устройства в стыковке с ранее разработанными станционными устройствами, далее — проектируют для этого участка устройства ДЦ и на каждом этапе работы над ККП решают вопросы стоимости устройств и экономической эффективности их внедрения, одновременно решаются вопросы надежности проектируемых устройств, использования линий связи объектов между собой и их электроснабжения, обеспечения безопасности производственных процессов. Такой широкий набор объединенных дисциплин, конечно, невозможно выполнить за один год в одной единой работе. Поэтому таких проектов два-три. Каждый из ККП, как правило, выполняется в течение одного учебного года. Для руководства работой в предлагаемой форме у студентов может быть общий руководитель и консультанты по разделам, возможна вариативность в уровне разработки тех или иных разделов проекта в зависимости от интересов студента (особенно если он целевик). В проекте обязательно должен быть предусмотрен раздел научной работы студента по одному из разделов проекта. Защита ККП должна производиться комиссией в составе руководителя и консультантов. Оптимальным периодом выполнения ККП можно считать III и IV курсы, но отдельные студенты могут уже на II курсе выполнять вместо дисциплинарных проектов комплексные, объединяющие, например, электронику, электрические машины и математические модели систем и процессов.

деятельности руководителей и ведущих специалистов реального производства, содействие в проведении стажировок преподавателей вузов на предприятиях и в научных учреждениях региона — это далеко не полный перечень возможных видов деятельности базовых кафедр. Учитывая интегративный характер современного производства, можно предложить такую форму базовых кафедр, как межотраслевая, объединяющая интересы специалистов нескольких предприятий, близких по видам деятельности и объединенных единым производственным процессом.

Реализация ООП прикладного бакалавриата и связанные с этим процессы производственной подготовки, создание базовых кафедр на производстве, индивидуализации подготовки студентов под конкретное рабочее место меняют экономические аспекты деятельности образовательных учреждений, в т.ч. принципы расчета себестоимости подготовки, а также стоимость реализуемых новых образовательных программ [4]. В настоящее время принятая система ценообразования предусматривает только учет себестоимости, что не позволяет вузу на законных основаниях формировать стоимость с учетом

затрат на развитие образовательного учреждения (в т.ч. кадровой составляющей) и с учетом рыночного спроса на востребованные уровни и качество подготовки выпускников. Ранее автором был предложен нормативный метод расчета себестоимости, структурированный по принципу действующих кодов бюджетной классификации затрат [4]. Этот метод рассчитан на многовариантное использование при определении себестоимости обучения как в среднем по образовательной организации, так и по отдельной взятой образовательной программе (специальности или направления). Методика расчета себестоимости образовательных услуг вуза должна предполагать использование рыночных механизмов ценообразования через систему повышающих и понижающих коэффициентов, формирующих некую сумму средств, предназначенных для reinvestирования в образовательный процесс. Ресурсное обеспечение реализации программ прикладного бакалавриата с учетом особенностей указанного уровня подготовки кадров требует дополнительного изучения, обоснования и формирования рекомендаций для практического применения в образовательных организациях. ■

Литература

1. Антропов В. А. Проблемы модернизации и инноваций в российском профессиональном образовании. — Екатеринбург : Институт экономики УрО РАН, 2013. — 104 с.
2. Федеральный закон от 29.12.2012 № 273-ФЗ «Об образовании в Российской Федерации» [Электронный ресурс]. Доступ из справ.-правовой системы «КонсультантПлюс».
3. Малыгин Е. А. Научно-методологические основы формирования интегрированных образовательных программ непрерывного профессионального образования. — Екатеринбург : Изд-во УрГУПС, 2007. — 183 с.
4. Малыгин Е. А. Вопросы ценообразования в подготовке специалистов в вузах и техникумах : учеб. пособ. — Екатеринбург : Изд-во УрГУПС, 2009. — 168 с.
5. Антропов В. А., Морозова Е. Н. Кадровая политика саморазвития предприятий // Вестник УрГУПС, 2010. № 3. — С. 95–104. ISSN 2079–0392.
6. Антропов В. А. Динамика модернизационных проектов в России // Вестник УрГУПС, 2013. № 1. — С. 78–103. ISSN 2079–0392.
7. Антропов В. А. Инновации в профессиональном образовании: вопросы для дискуссии // Вестник УрГУПС, 2013. № 2. — С. 78–83. ISSN 2079–0392.
8. Антропов В. А. Проблемы развития российского профессионального образования // Вестник УрГУПС, 2013. № 4. — С. 32–40. ISSN 2079–0392.

References

1. Antropov V. A. Problemy modernizatsii i innovatsiy v rossiyskom professionalnom obrazovanii. [Issues of modernization and innovation in the Russian professional education]. — Ekaterinburg : Institut ekonomiki UrO RAN, 2013. — 104 p.
2. Federalny zakon ot 29.12.2012 № 273-FZ «Ob obrazovanii v Rossiyskoy Federacii» [Federal Law № 273-FZ of 29.12.2012 «On Education in the Russian Federation»] [Electronic resource] Accessed from the Consultant Plus law information system.
3. Malygin E. A. Nauchno-metodologicheskie osnovy formirovaniya integrirovannykh obrazovatelnykh programm nepreryvnogo professionalnogo obrazovaniya. [Scientific and methodological basis for the formation of integrated educational programs of continuing professional education] — Ekaterinburg : USURT Publishing House, 2007. — 183 p.
4. Malygin E. A. Voprosy cenoobrazovaniya v podgotovke specialistov v vuzakh i tekhnikumakh : ucheb. posob. [Pricing issues in the training of specialists in universities and colleges : a textbook] — Ekaterinburg : USURT Publishing House, 2009. — 168 p.
5. Antropov V.A., Morozova E.N. Kadrovaja politika samorazvitiya predpriyatij [Personnel Policy of Enterprises' Self-development] // Herald of USURT, 2010. № 3. — Pp. 95–104. ISSN 2079-0392.
6. Antropov V.A. Dinamika modernizatsionnykh proektov v Rossii [Dynamics of modernization processes in Russia] // Herald of USURT, 2013. № 1. — Pp. 78–103. ISSN 2079-0392.
7. Antropov V.A. Innovatsii v professionalnom obrazovanii: voprosy dlya diskussii [Innovations in vocational education: issues for discussion] // Herald of USURT, 2013. № 2. — Pp. 78–83. ISSN 2079-0392.
8. Antropov V.A. Problemy razvitiya rossiyskogo professionalnogo obrazovaniya [Problems of development of Russian vocational education] // Herald of USURT, 2013. № 4. — Pp. 32–40. ISSN 2079-0392.

*Статья сдана в редакцию 21 ноября 2013 года
(Окончание следует)*

Ю. А. Савельев

Гипотезы теории мнимых чисел

Yu.A. Savelyev

Imaginary numbers theory hypotheses**Аннотация**

Разработан графический способ решения уравнений с дробными степенями неизвестного с извлечением при необходимости квадратного корня из отрицательных чисел. Правомерность применения изложенного метода подтверждена симметричностью ветвей графиков и установленным родством гиперболы с окружностью и эллипсом.

Графически доказано, а математически подтверждено, что в зависимости от численной величины свободного члена в уравнении

$$\sqrt{2x\sqrt{2x}} - 10 - \sqrt{x\sqrt{x}} - 6 + \psi = 0$$

число корней может быть от одного до шести.

Показаны законы выполнения арифметических операций (сложение, вычитание, умножение и деление) с мнимыми числами. Доказано, что квадратный корень из отрицательного числа может быть как положительным, так и отрицательным числом, а также одновременно тем и другим. В развитие теории функций комплексного переменного показан второй вариант сложения комплексных чисел.

Исследование изображения окружности в мнимой части графика показало, что она имеет форму и математическое описание гиперболы. Подобное имеет место и в отношении эллипса. Он также в мнимой части становится гиперболой. Изложенные закономерности подтверждены математическими выкладками.

Установленное родство окружности, эллипса и гиперболы графически подтверждено тем, что они все являются сечениями одного и того же конуса вращения.

Графически показано, что извлечение квадратного корня из отрицательных чисел применимо только в графических методах решения инженерных задач.

Ключевые слова: мнимые числа, арифметические операции, дробные степени, решение уравнений, корень из отрицательных чисел, родство гиперболы, окружности, эллипса.

Summary

A graphical way of solving equations with fractional powers of unknown is developed, with generation of square root of negative numbers, if necessary. The legitimacy of using the proposed method is confirmed by the symmetry of graph branches and established relationship of hyperbola with a circle and an ellipse.

It is graphically demonstrated and mathematically confirmed that, depending on the numerical value of constant term in equation

$$\sqrt{2x\sqrt{2x}} - 10 - \sqrt{x\sqrt{x}} - 6 + \psi = 0$$

the number of roots can be from one to six.

The laws of arithmetic operations (addition, subtraction, multiplication and division) with imaginary numbers are shown. It is proven that the square root of a negative number can be both positive and negative, as well as simultaneously both. In furtherance of the theory of functions of a complex variable, a second option of addition of complex numbers is shown.

The study of the image of circle in the imaginary part of the graph shows that it has a shape and mathematical description of hyperbola. This is the case with respect to the ellipse as well; it also becomes hyperbola in the imaginary part. The patterns outlined have been confirmed by mathematical calculations.

The established relationship between circle, ellipse and hyperbola is graphically confirmed by the fact that they are sections of the same cone of revolution.

It is graphically shown that the square root of a negative number is applicable only in graphic methods for solving engineering problems.

Keywords: imaginary numbers, arithmetic operations, fractional powers, solution of equations, root of a negative number, affinity of hyperbola, circle, ellipse.

Юрий Александрович Савельев, канд. техн. наук, профессор; кафедра «Проектирование и эксплуатация автомобилей» Уральского государственного университета путей сообщения; Екатеринбург, Россия. E-mail: USaveliev@usurt.ru.

Yury Alexandrovich Savelyev, PhD in Engineering, Professor, Design and Operation of Automobiles Department, Ural State University of Railway Transport, Ekaterinburg; Russia. E-mail: Usaveliev@usurt.ru.

Математика развивается и пополняется новым арсеналом способов как решения возникающих задач, так и получения новых научных данных. Основным инструментом являются многочисленные математические методы и операции. Графические методы, 2–2,5 тыс. лет до н.э. и позднее бывшими основными, в последующие столетия отошли на второй план и сейчас считаются вспомогательными или иллюстрационными. Между тем, развитие средств компьютерной графики, порожденных математикой и вычислительной техникой, позволяет путем точных геометрических построений и измерений получать новые научные данные. Например, только графически можно определить величину трехгранного угла, измеряя его в стерадианах [1, 2], параметры кривизны кривых, не имеющих математического описания или имеющих его, но не имеющих производных [3], установить зависимость числа корней уравнений разных степеней от величины свободного члена [4] и др. [5].

Целью данной работы является разработка графического способа решения уравнений с дробными степенями неизвестного с извлечением при необходимости квадратного корня из отрицательных чисел. Правомерность применения изложенного метода подтверждена симметричностью ветвей графиков и установленным родством гиперболы с окружностью и эллипсом. Применимость изложенного варианта извлечения квадратного корня ограничена целевыми графическими построениями и не распространяется на известные математические операции. Иными словами, речь идет об аналоге теории функций комплексного переменного, но использующей обычную плоскость.

Априори принято считать, что нельзя извлечь корень четной степени из отрицательного числа. Однако в [6, с. 202] показано, что такое действие после допустимых математических преобразования в принципе возможно:

$$\sqrt[6]{-1} = (-1)^{\frac{1}{6}} = (-1)^{\frac{2}{12}} = \sqrt[12]{(-1)^2} = \sqrt[12]{1}.$$

Завершив последовательность типовой математической операцией, получим:

$$\sqrt[6]{-1} = \pm 1. \quad (1)$$

Мнимыми на первой стадии исследований по установившейся традиции будем называть числа типа

$$\sqrt{-b^2} = b\sqrt{-1} = bi, \quad (2)$$

где i — мнимая единица. Однако, учитывая то, что в математике $\sqrt{b^2} = \pm b$, соотношение (2) следует трактовать расширительно (3):

$$\sqrt{-b^2} = \pm b\sqrt{-1} = \pm bi. \quad (3)$$

Цель работы — показать на конкретных примерах допустимость извлечения квадратного корня из отрицательных чисел пока в узких пределах данного исследования.

Гипотеза 1. Арифметические операции с мнимыми числами. При этом будем считать, что мнимое — это такое комплексное число (z), у которого действительная часть равна нулю, а мнимая отлична от него: $z = 0 + bi$.

Сложение/вычитание. Очевидно, что по аналогии с суммированием комплексных чисел, сумма мнимых $z_1 = bi$ и $z_2 = di$ должна быть равна $z = (b + d)i$. Но, учитывая соотношение (3), суммой мнимых чисел будем считать:

$$z \pm (b + d)i. \quad (4)$$

Покажем, что соотношение (3) практически не изменит смысл графической операции сложения комплексных чисел в теории функций комплексного переменного (рис. 1). Как следует из рис. 1, при использовании допустимого отрицательного значения числа b на комплексном чертеже появляется зеркальное отображение со всеми свойствами известных норм сложения комплексных чисел. Условно говоря, появляется «нижнесторонняя» система отсчета

с алгебраическим сложением отрицательных чисел. Данный вариант не имеет научной новизны, но может быть использован в удобном случае. Кроме того, на рис. 1 графически подтверждена возможность суммирования мнимых чисел.

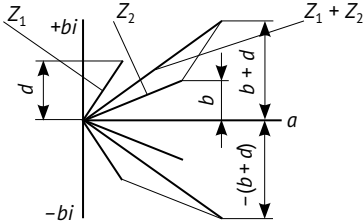


Рис. 1. Два варианта сложения комплексных и мнимых чисел

Аналогично можно вычислять и разность мнимых чисел, выбирая одну из двух возможных систем отсчета.

$$z = \pm (b - d)i. \quad (5)$$

Умножение. Из аналогии с комплексными произведение мнимых чисел должно было бы быть:

$$z_1 \cdot z_2 = -(\pm b) \cdot (\pm d). \quad (6)$$

Однако это не так. Независимо от выбранной системы отсчета $z_1 \cdot z_2 = b \cdot d$. Сказанное подтвердим графически (рис. 2) и численным примером.

Пусть требуется перемножить комплексные числа: $z_1 = 1 + 2i$ и $z_2 = 2 + 2i$. Операцию выполним графически: модуль вектора-произведения равен произведению модулей сомножителей, а аргумент (угол) — их сумме.

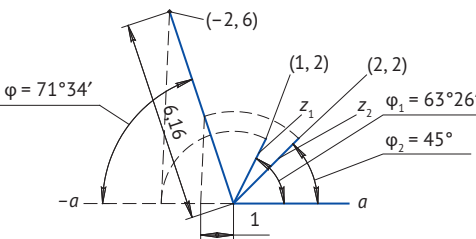


Рис. 2. Графическое умножение двух комплексных чисел

Знак «минус» в соотношении (6) может быть только в том случае, когда сумма углов φ_1 и φ_2 больше прямого, поэтому на результат он не влияет. При одинаковых знаках сомножителей произведение всегда имеет знак «плюс». Отметим, что выполнение математической операции (рис. 2) осуществлено авторским методом графического векторного исчисления [7–9]. Сложение аргументов — их поворотом, а перемножение модулей — с использованием принципа геометрического подобия. Для ясности линии построения показаны штрихом.

Деление. Частное от деления мнимых чисел можно определить по соотношению

$$\frac{z_1}{z_2} = \frac{b}{d}. \quad (7)$$

Гипотеза 2. Квадратный корень из отрицательного числа — отрицательное число.

Подтверждение соотношения (гипотеза 1, со знаком «минус») и гипотезы 2 реализуем графическим решением нескольких уравнений. Вначале рассмотрим уравнение (6), корень ($x = 16$) которого известен из математического решения:

$$\sqrt{10 - x} = \sqrt{18 - 1,5x}. \quad (9)$$

Известное графическое решение состоит в построении графиков функций левой и правой частей уравнения (9). Абсцисса точки их пересечения является ответом. Но особенность выбранного уравнения состоит в том, что искомая точка пересечения находится в мнимой части чертежа, точки которой получены извлечением квадратного корня из отрицательных чисел (рис. 3).

Так, например, ордината точки А вычислена следующим образом:

$$f_1(x = 12) = \sqrt{10 - 14} = \sqrt{-4} = -2.$$

По точкам, найденным аналогичным способом, построены графики функций — левой (1) и правой (2) частей, которые пересекаются в заранее известной точке с абсциссой, равной 16.

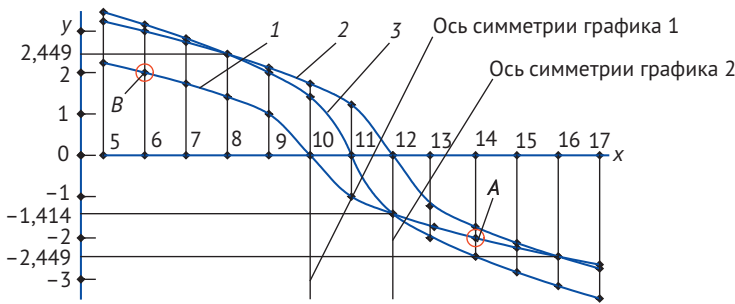


Рис. 3. Графики функций:

$$1 - y_1 = \sqrt{10 - x}; \quad 2 - y_2 = \sqrt{18 - 1,5x}; \quad 3 - y_3 = \sqrt{22 - 2x}$$

Справедливость изложенного приема подтвердим другим графическим приемом. Как известно [4, 5], графики функций обладают одной или двумя осями симметрии. В данном случае обе функции имеют по две оси симметрии, одной из которых является ось абсцисс, а другие, зависящие от условия кривой, показаны на рис. 3. В результате показано, что ветви графиков действительной и мнимой частей абсолютно совпадают. Так, например, точка *A* имеет симметричную *B*:

$$f_1(x = 6) = \sqrt{10 - 6} = \sqrt{4} = 2.$$

Приведенное решение уравнения (9) является ни единственным, ни уникальным. На рис. 3 показано также решение уравнения:

$$\sqrt{10 - x} - \sqrt{22 - 2x} = 0$$

(графики 1 и 3). Оно тоже получено как извлечением квадратного корня из отрицательных чисел, так и построением симметричных ветвей графиков. Корень равен 12. Кстати, графики 2 и 3 также дают решение, но традиционным способом в действительной части чертежа.

Таким образом, можно считать доказанной возможность извлечения квадратного корня из отрицательных чисел. Но изложенное имеет не столько теоретическое, сколько практическое значение, так как данный метод позволяет решать сложные уравнения, содержащие дробные степени переменного.

Гипотеза 3. Поскольку, согласно соотношению (1), мнимое число обладает свойствами действительного, допустимо их суммирование и вычитание как между собой, так и с другими рациональными числами.

Подтвердим изложенное и гипотезу 3 решением более сложного уравнения (10), которое содержит дробные степени неизвестного и переменный свободный член. При этом отметим в качестве примечания, что все графические доказательства сводятся к графическому построению, которому придается статус типового, если оно может быть подтверждено неопределенное число раз и, желательно, разными способами.

$$\sqrt{2x\sqrt{2x} - 10} - \sqrt{x\sqrt{x} - 6} + \psi = 0. \quad (10)$$

Нахождение одного из корней уравнения (10) показано на рис. 4, а всех возможных — на рис. 5

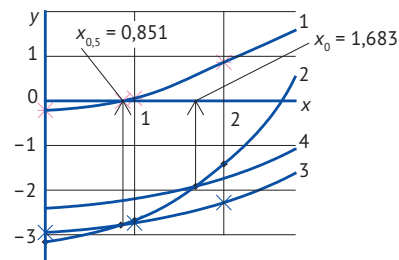


Рис. 4. Фрагменты графического решения уравнения (10)

Графики построены по точкам, показанным на чертеже разными стилями.

Так, кривая 1 — это графическое отображение уравнения (10) при значениях x от 0 до 3 и величине свободного члена 0,5. Значение искомого корня, полученного измерением по чертежу, равно 0,851.

Этот же результат получен в пересечении кривых 2

$$(y_1 = \sqrt{2x\sqrt{2x} - 10})$$

и 3

$$(y_2 = \sqrt{x\sqrt{x} - 6} - 0,5).$$

Кривая 4

$$(y_3 = \sqrt{x\sqrt{x} - 6})$$

совместно с 2 дает решение уравнения (10) при нулевом значении свободного члена. Графически это реализовано перемещением графика 3 на величину 0,5, что равносильно увеличению всех ординат кривой 3 на указанную величину. Кстати, кривая 3 может быть получена вычитанием из ординат точек 1 ординат точек 2.

Полученное значение корня можно подтвердить математически:

$$\sqrt{2x\sqrt{2x} - 10} = \sqrt{x\sqrt{x} - 6};$$

$$2x\sqrt{2x} - 10 = x\sqrt{x} - 6;$$

$$(2x\sqrt{2x} - x\sqrt{x})^2 = 16;$$

$$(9 - 4\sqrt{2})x^3 = 16;$$

$$x = \sqrt[3]{\frac{16}{9 - 4\sqrt{2}}} \cong 1,685.$$

Математический аппарат, заложенный в графический редактор (в том числе и в «Компас-3Д»), позволяет достичь точности измерений сопоставимой с «чисто» математической. Для этого достаточно уменьшить расстояние между точками и использовать при вычислении координат большее число значащих цифр.

Таким образом можно считать доказанным возможность арифметических операций с мнимыми числами. Кроме того, показано, что численное значение корня уравнения зависит от величины свободного члена. Но от него и только от него зависит и число корней уравнения. Это свойство показано нами для действительных чисел [10, 11].

В той же мере оно справедливо и для уравнений с дробными степенями неизвестного и содержащих в том числе мнимые числа*.

С названной целью кривая 1 (рис. 2) на рис. 5 показана при большем интервале значений x : от -7 до $+4$. Иначе это графическое отображение уравнения (10) при величине $\psi = 2,5$.

Влияние свободного члена на число корней любого уравнения объясняется тем, что многочлен

$$\sqrt{2x\sqrt{2x} - 10} - \sqrt{x\sqrt{x} - 6}$$

как единое целое величиной ψ перемещается по чертежу вверх-вниз. В частности, при $\psi = 0,713$ уравнение (10) имеет один корень а при его нулевом значении их два: $+1,683$, как показано выше, и его симметричное значение $-1,683$.

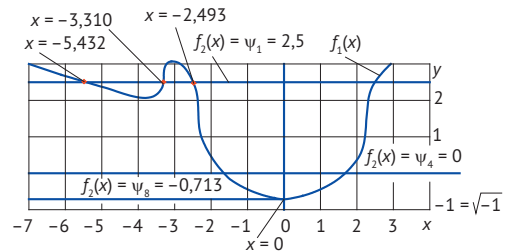


Рис. 5. Графическое решение уравнения (10)

При $\psi = 2,5$ корней уже 6: $x_{1,2} \pm 5,432$; $x_{3,4} \pm 3,310$; $x_{5,6} \pm 2,492$. И, наконец, при значениях $\psi < 0,713$ исследуемое уравнение решений не имеет. Покажем алгебраическую проверку одного из них:

Возможно, впервые к такому выводу в XVI в. пришел Дж. Кардано при решении кубических уравнений. Используя мнимые числа своим методом, он доказал, что уравнение $x^3 = 30x + 36$ имеет лишь один корень, равный 6.

$$\begin{aligned}
 f_1(x = -2,493) &= \\
 &= \sqrt{2(-2,493)\sqrt{2(-2,493)} - 10} - \\
 &= -\sqrt{(-2,493)\sqrt{(-2,493)} - 6} = \\
 &= \sqrt{(-4,986)(-2,233) - 10} - \\
 &= -\sqrt{(-2,493)(-2,233) - 6} = \\
 &= \sqrt{11,133 - 10} - \sqrt{3,936 - 6} = \\
 &= \sqrt{1,133} - \sqrt{-2,063} = \\
 &= 1,064 + 1,436 = 2,5.
 \end{aligned}$$

Примечание. Ввиду симметрии, на рис. 3 показана лишь часть графика, имеющего, кстати, две точки максимума, три минимума, что важно для математического анализа.

Таким образом, можно считать геометрически доказанным правило, что в уравнениях с дробными степенями число решений зависит только от величины свободного члена.

Гипотеза 4. Квадратный корень из отрицательного числа может быть и положительным числом.

Подтверждение этой гипотезы проведем также двумя способами. Во-первых, графики функций, показанных на рис. 3, построим по схеме

$$y = \sqrt{-A^2} = A$$

(рис. 6).

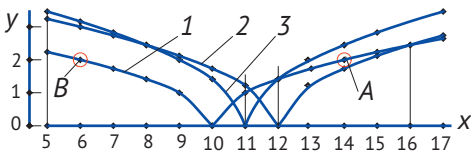


Рис. 6. Решение уравнений по схеме

$$\sqrt{-A^2} = A$$

В результате получены те же ответы в тех же уравнениях, но иным способом, например, при $x = 16$:

$$\sqrt{10 - x} = \sqrt{18 - 1,5x} = \sqrt{-6} = 2,45;$$

$$\sqrt{22 - 2x} = \sqrt{-10} = 3,16.$$

Характерно, что здесь ветви графиков также симметричны в данном случае только относительно осей, перпендикулярных оси абсцисс.

Приведем графическое доказательство справедливости гипотез 2 и 3. С этой целью сформулируем и докажем гипотезу 5.

Гипотеза 5. Окружность, эллипс и гипербола с точки зрения теории мнимых чисел являются родственными, то есть могут быть описаны схожими (одинаковыми) математическими зависимостями.

Известное уравнение окружности $x^2 + y^2 = a^2$ можно представить в виде

$$y^2 = a^2 - x^2 \quad (11)$$

или

$$y = \pm\sqrt{a^2 - x^2}. \quad (12)$$

При $x \leq a$ график уравнения (11) — окружность (рис. 7). Продолжим график, принимая большие значения $x (x > a)$ с учетом справедливости гипотез 2 и 4. График этой функции при $a = 5$ также показан на рис. 7. Кривая построена по точкам при $x = 6, 7, 8, 9, 10$. Так, при

$$x = 10 \quad y = \pm\sqrt{25 - 100} = \pm\sqrt{-75} = \pm 8,66$$

(N_1 и N_2).

Закономерное расположение точек в мнимой части чертежа побудил поиск их математического описания, который показал, что они абсолютно точно отвечают уравнению равнобочной (равносторонней) гиперболы (13)

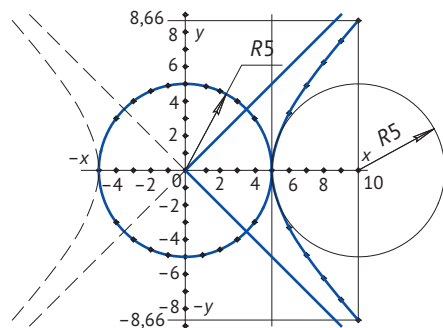


Рис. 7. Исследование окружности в мнимой части чертежа

$$\frac{x^2}{a^2} - \frac{y^2}{a^2} = 1. \quad (13)$$

Например, координаты произвольной точки $N(10; \pm 8,66)$, полученной по уравнению (12), удовлетворяют и уравнению (13):

$$\frac{10^2}{5^2} - \frac{\pm 8,66^2}{5^2} = 4 - 3 = 1.$$

Обобщая и выполнив известные преобразования, получим:

$$y = \pm\sqrt{x^2 - a^2} = \pm\sqrt{-(a^2 - x^2)}. \quad (14)$$

Сравнивая уравнения (12) и (13) и, заменив $(a^2 - x^2)$ на A , можно однозначно утверждать, что

$$\pm\sqrt{A^2} = \pm\sqrt{-A^2}. \quad (15)$$

Кстати, центр гиперболы совпадает с центром окружности и, отходя от темы, отметим, что радиус кривизны гиперболы в ее вершине равен радиусу производящей окружности. С учетом соотношения (12), гипербола имеет зеркальное отображение относительно вертикальной оси окружности.

Таким образом, можно утверждать, что в мнимой части чертежа (и только в ней) математическое описание окружности и гиперболы совпадают. Геометрическое родство этих фигур состоит

в том, что они являются сечениями одного и того же конуса вращения (рис. 8), образующие которого параллельны асимптотам гиперболы, и имеющего линейный угол при вершине 90° . При этом плоскость, в которой находится окружность, проходит через вершину гиперболы.

Установленное родство гиперболы с окружностью не является единственным. Покажем, что этим же качеством обладает и эллипс, так как его математическое описание (13) имеет сходство и с окружностью и с гиперболой

$$\frac{x^2}{a^2} + \frac{y^2}{b^2} = 1. \quad (16)$$

Выполнив обычные математические преобразования, получим соотношение (17), удобное для последующих построений:

$$y = \pm \frac{b}{a} \sqrt{a^2 - x^2}. \quad (17)$$

Точки, вычисленные по уравнению (17), при $a = 5, b = 10$ образуют кривую, являющуюся также, как и в предыдущем случае, гиперболой (рис. 9) с параметрами a и b , описываемую уравнением (18).

$$\frac{x^2}{a^2} - \frac{y^2}{b^2} = 1. \quad (18)$$

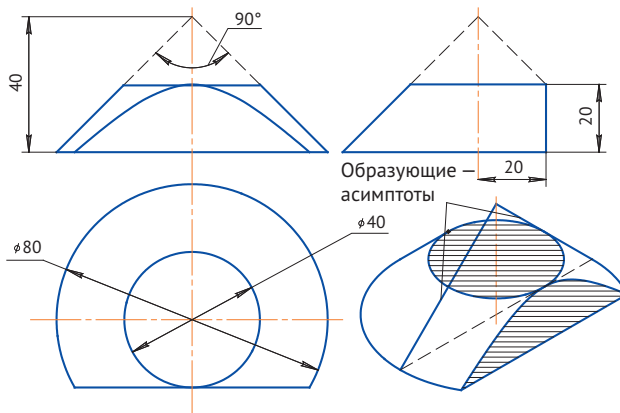


Рис. 8. Геометрическое родство окружности, гиперболы и треугольника

Поразительно, но факт, что все точки полученной кривой одновременно удовлетворяют уравнениям эллипса (17), но не (16), и гиперболы (18). Например, для точки $M(7, 9,8)$ по уравнению (14) имеем

$$y = \pm \frac{10}{5} \sqrt{25 - 49} = \pm 9,80,$$

а по (15)

$$\frac{49}{25} - \frac{9,8^2}{10^2} = 1.$$

Для сведения на рис. 9 показаны все параметры гиперболы. В частности, разность расстояний точки M от фокусов равна $2a$.

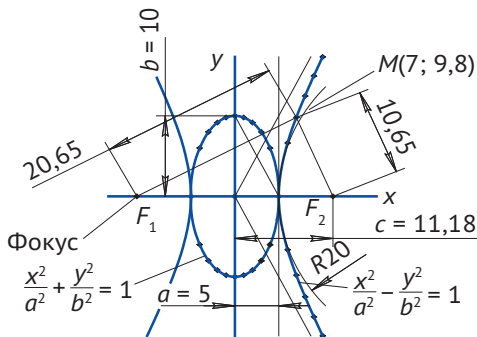


Рис. 9. Построение гиперболы, родственной эллипсу

Невозможность использования для анализа уравнение (16) свидетельствует, что все сказанное относится только к мнимой части чертежа. Отметим, что и эллипс, и гипербола (рис. 9) также являются сечениями одного конуса вращения, образующие которого параллельны асимптотам, теперь уже обычной гиперболы, но найти их общую точку (как на рис. 8) не удалось.

Родство эллипса и гиперболы, а также и параболы установили еще древние греки. В полярной системе координат это родство выражается формулой (19)

$$y^2 = 2px + \lambda x^2, \quad (19)$$

где p и λ — некоторые постоянные, причём $p \neq 0$. Если $\lambda = 0$, уравнение (13) описывает параболу, если $\lambda < 0$ — эллипс, если $\lambda > 0$ — гиперболу. В [6] показано и геометрическое родство этих фигур.

В данном исследовании показано родство гиперболы, окружности, треугольника и эллипса как элементов сечения конуса и по математическому параметру a .

Исходя из изложенного можно сделать предварительный, может быть и спорный, вывод: окружность и эллипс с геометрической точки зрения являются частными вариантами гиперболы в узкой области координат x и y . Обобщенное уравнение трех кривых:

$$\frac{x^2}{a^2} \pm \frac{y^2}{b^2} = 1. \quad (20)$$

Со знаком плюс и равенстве $a = b$ и $x, y, \leq a$ — это уравнение окружности, при $x, y, \leq a(b)$ и знаке плюс — это эллипс, со знаком минус при всех значениях x, y, a, b , а также со знаком плюс при $x, y, \geq a(b)$ — это гипербола.

Как отмечено выше, извлекать квадратный корень из отрицательных чисел можно только в мнимой части чертежа. Подтвердим гипотезу 6 следующими рассуждениями.

Гипотеза 6. Ограниченность применения теории мнимых чисел.

Решим уравнение:

$$x^2 = -2. \quad (21)$$

Ни математически, ни графически оно решения не имеет (рис. 10, а). Но, выполнив допустимую математическую операцию, получим:

$$x = \sqrt{-2}. \quad (22)$$

Оно уже имеет графическое решение известным способом путем построения графиков функций левой и правой его частей (рис.10, б, в): $x_{1,2} = \pm 1,41$. Подставляя ответ в (21), в порядке обсуждения для будущих исследований возможно допустимо считать $\pm 1,41^2 = \pm 2$.

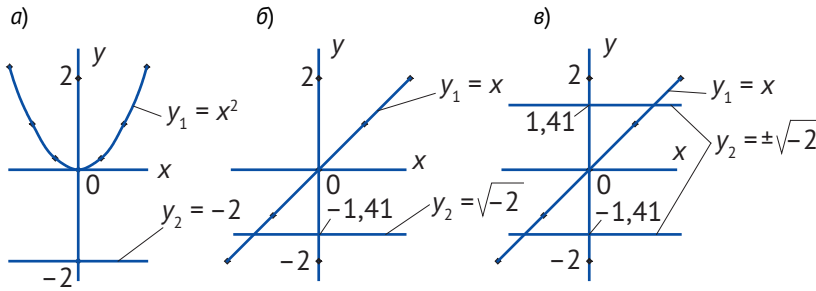


Рис. 10. Графическое решение уравнений

Выводы

- Исходя из нормы $\sqrt{b^2} = \pm b$ показано, что в теории функций комплексного переменного допустимы зеркальные отображения элементов в отрицательном направлении мнимой оси.
- Графически обоснованы арифметические операции с мнимыми числами.
- Показан вариант графического умножения комплексных чисел.
- Дано решение уравнений с извлечением квадратного корня по схеме $\sqrt{-b^2} = -b$.
- Показано решение уравнения с извлечением квадратного корня по схеме $\sqrt{-b^2} = +b$.
- Математически подтверждено графическое решение уравнения с дробными степенями неизвестного.
- Доказано, что число корней уравнения с дробными степенями зависит только от численного значения свободного члена.
- Извлечением квадратного корня из отрицательных чисел доказано родство окружности и эллипса с гиперболой.
- Определена область применимости извлечения квадратного корня из отрицательных чисел.
- Вычислительная графика — графический раздел высшей математики. ■

Литература

- Савельев Ю. А. Визуализация стерадиана : сб. научн. тр. / М. : МИТХТ, 2010. С. 7–10.
- Савельев Ю. А. Количественное измерение телесных углов : сб. научн. тр. / Саратов : СГТУ, 2009. С. 26–29.
- Савельев Ю. А. Графическое построение эволют кривых и исследование их формы : сб. научн. тр. / Саратов : СГТУ, 2008. С. 100–105.
- Савельев Ю. А. Графическое определение числа корней уравнений разных степеней : сб. научн. тр. / Саратов : СГТУ, 2010. С. 108–113.
- Савельев Ю. А. Вычислительная графика. — Екатеринбург : Изд-во УМЦ УПИ, 2005. — 149 с.
- Математика. Энциклопедия для детей. М. : Аванта+, 2005. — 685 с. ISBN 978-5-98986-711-0.
- Савельев Ю. А. Новое векторное исчисление : сб. научн. тр. / Екатеринбург : Изд-во УрГУПС, 2003. С. 88–95.
- Савельев Ю. А. Графический расчет электрических цепей синусоидального тока методом векторного исчисления : сб. научн. тр. / Екатеринбург : Изд-во УрГУПС, 2003. С. 204–212.
- Савельев Ю. А. Вычислительная графика. Екатеринбург : Изд-во УМЦ УПИ, 2005. — 149 с.
- Савельев Ю. А. К определению числа корней уравнений // Геометрия и графика. М. : МИТХТ, 2013 (в печати).
- Савельев Ю. А. Четырехмерный континуум пространство-время // Вестник УрГУПС, 2013. Вып. 1 (17). — С. 14–23. ISSN 2079-0392.

References

1. Savelyev Yu.A. Vizualizaciya steradiana : sb. nauchn. tr. [Visualization of steradian : collection of scientific works] / M. : MITKhT, 2010. p. 7–10.
2. Savelyev Yu.A. Kolichestvennoe izmerenie telesnykh uglov : sb. nauchn. tr. [Quantitative measurement of solid angles : collection of scientific works] / Saratov : SGTU, 2009. p. 26–29.
3. Savelyev Yu.A. Graficheskoe postroenie evolyut krivykh i issledovanie ikh formy : sb. nauchn. tr. [Graphical construction of evolutes of curves and the study of their shape : collection of scientific works] / Saratov : SGTU, 2008. p. 100–105.
4. Savelyev Yu.A. Graficheskoe opredelenie chisla korney uravneniy raznykh stepeney : sb. nauchn. tr. [Graphical determination of the number of roots of various degrees : collection of scientific works] / Saratov : SGTU, 2010. p. 108–113.
5. Savelyev Yu. A. Vychislitelnaya grafika. [Computer graphics] — Ekaterinburg : Izd-vo UMC UPI, 2005. — 149 p.
6. Matematika. Enciklopediya dlya detey. [Mathematics. Encyclopedia for children] M. : Avanta+, 2005. — 685 p. ISBN 978-5-98986-711-0.
7. Savelyev Yu.A. Novoe vektornoe ischislenie : sb. nauchn. tr. [New vector calculus : collection of scientific works] / Ekaterinburg : USURT Publishing House, 2003. P. 88–95.
8. Savelyev Yu.A. Graficheskii raschet elektricheskikh cepey sinusoidalnogo toka metodom vektornogo ischisleniya : sb. nauchn. tr. [Graphical calculation of sinusoidal current circuits using vector calculus method : collection of scientific works] / Ekaterinburg : USURT Publishing House, 2003. p. 204–212.
9. Savelyev Yu.A. Vychislitelnaya grafika. [Computer graphics]. Ekaterinburg : Izd-vo UMC UPI, 2005. — 149 p.
10. Savelyev Yu.A. K opredeleniyu chisla korney uravneniy [On determination of the number of roots of equations] // Geometriya i grafika. M. : MITKhT, 2013 (v pechati).
11. Savelyev Yu.A. Chetyrekhmernyy kontinuum prostranstvo-vremya [Four-dimensional space-time continuum] // Herald of USURT, 2013. Issue 1 (17). — P. 14–23. ISSN 2079-0392.

Статья сдана в редакцию 25 декабря 2013 года

Строительные конструкции

УДК 624.041.20

А. Х. Ягофаров, Х. Ягофаров, А. Б. Разумов

Анализ деформативности и пример проектирования неразрезной балки переменной жесткости

UDC 624.041.20

A. Kh. Yagofarov, Kh. Yagofarov, A. B. Razumov

Deformability analysis and design example of a continuous beam with variable stiffness

Аннотация

Выполнен анализ напряженно-деформированного состояния новой неразрезной балки переменной жесткости и бесконечной длины. Анализ выполнен на основе использования аналитических выражений, полученных авторами ранее [1].

Приведены примеры проектирования новой балки двух поперечных сечений, а именно: из прокатного швеллера и из гнутого тонкостенного Z -образного сечения. Выполнены расчеты узла жесткого крепления консолей к смежным балкам.

Сравнительный анализ расхода стали на балки различных конструкций и схем показал следующее: новая балка из прокатного швеллера экономичней простой балки из прокатного швеллера на 25 %, а из тонкостенного гнутого Z -образного сечения — на 55 %, то есть более чем вдвое. Новая балка из Z -образного сечения легче аналогичной балки из прокатного швеллера на 40 %. Таким образом, тонкостенный Z -образный профиль обеспечивает максимальный технический и экономический эффект новой балки.

Разработан простой узел жесткого крепления консолей к смежным балкам фрикционным соединением.

Получены аналитические выражения максимального прогиба пролетной зоны новой балки различными методами расчета. Сравнительный анализ результатов расчета по полученным формулам, а также на ЭВМ показал их достоверность, то есть подтвердил корректность аналитических выкладок при получении расчетного прогиба новой балки.

Аналитическими выкладками установлено, что для новой балки требование жесткости вообще неактуально, то есть жесткость балки обеспечивается заблаговременно расчетом на прочность по нормальным напряжениям.

Ключевые слова: новая балка, простая балка, простая балка с защемленными концами, прогиб (f), относительный прогиб (f/l), предельный прогиб f_u .

Анвар Хабидович Ягофаров, канд. техн. наук, доцент; кафедра «Строительные конструкции и строительное производство» Уральского государственного университета путей сообщения, Екатеринбург, Россия. E-mail: AYagofarov@usurt.ru.

Хабид Ягофаров, д-р техн. наук, профессор; кафедра «Строительные конструкции и строительное производство» Уральского государственного университета путей сообщения, Екатеринбург, Россия. E-mail: AYagofarov@usurt.ru.

Алексей Борисович Разумов, аспирант; кафедра «Строительные конструкции и строительное производство» Уральского государственного университета путей сообщения, Екатеринбург, Россия. E-mail: razumov74@inbox.ru.

Anvar Khabidovich Yagofarov, PhD in Engineering, Associate Professor, Building Structures and Building Industry Department, Ural State University of Railway Transport. Ekaterinburg, Russia. E-mail: AYagofarov@usurt.ru.

Khabid Yagofarov, DSc in Engineering, Professor, Building Structures and Building Industry Department, Ural State University of Railway Transport. Ekaterinburg, Russia. E-mail: AYagofarov@usurt.ru.

Alexei Borisovich Razumov, graduate student, Building Structures and Building Industry Department, Ural State University of Railway Transport. Ekaterinburg, Russia. E-mail: razumov74@inbox.ru.

Summary

The analysis of the stress-strain state of a new continuous beam of variable stiffness and infinite length has been performed. The analysis has been conducted using analytic expressions obtained earlier by the authors [1].

Examples of the new beam design with two cross-sections are provided, namely: rolled channel section and thin-walled Z-shaped section. Analysis of the rigid fastener attaching consoles to the adjacent beams has been performed.

Comparative analysis of steel amount per beams with various designs and schemes revealed the following: a new beam made of rolled channel is 25 % more cost effective than conventional rolled-channel beam, and thin-walled Z-shaped section beam is 55% more cost effective, i.e. more than twice. New Z-shaped section beam is 40% more lightweight than similar rolled channel beam. Thus, thin-walled Z-shaped profile provides maximum technical and economic effect of the new beam.

A simple rigid fastener attaching consoles to the adjacent beams with frictional connection has been developed.

Analytical expressions of maximum deflection of the new beam span zone have been obtained using various calculation methods. Comparative analysis of the results of calculation on obtained formulas, as well as computer analysis proved their validity, i.e. validated the correctness of analytical calculations for obtaining design deflection of the new beam.

Analytical calculations indicated that stiffness requirement is generally irrelevant for the new beam, i.e. beam stiffness is ensured in advance by strength analysis based on normal stresses.

Keywords: new beam, conventional beam, conventional beam with clamped ends, deflection (f), relative deflection (f/l), ultimate deflection f_u .

В работе [1] приведены аналитические выражения оптимального вылета консоли для различных консольно-шарнирных схем по критерию равенства опорного и пролетного изгибающих моментов.

В работе [2] приведены аналитические выражения, позволяющие выполнить анализ НДС неразрезной балки принципиально новой конструкции. Новизна ее заключается в том, что балка собрана из двухконсольных балок, консоли которых жестко скреплены со смежными балками. В результате образуется многопролетная неразрезная балка, в которой опорные участки на сравнительно небольшом протяжении имеют удвоенную жесткость по сравнению с пролетным участком. Конструкция обеспечивает наиболее рациональное распределение конструкционного материала по длине балки, гарантируя соответствующий технический и экономический эффект [2]. Ниже по тексту используется термин «новая балка».

Характерными сечениями для расчета прочности новой балки являются опорное сечение, пролетное сечение и сечение в начале консоли. При этом опорный изгибающий момент воспринимается двойным сечением балки.

Аналитические выражения расчетных усилий приведены в таблице 1 [2].

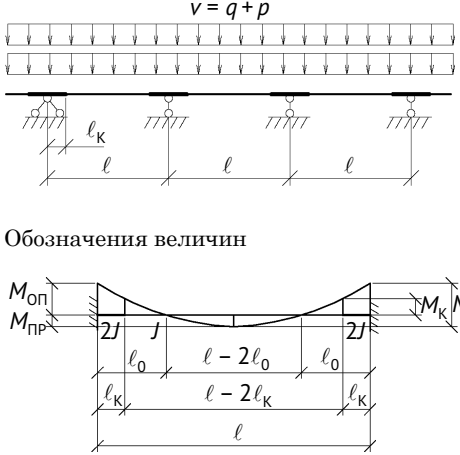
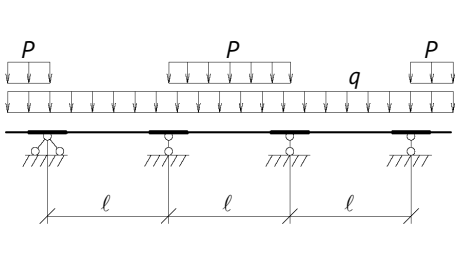
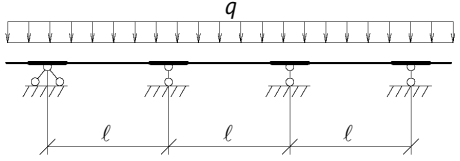
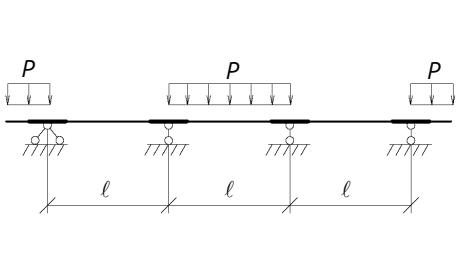
Можно выполнить анализ с целью выявления характерного расчетного сечения по видам загружений и различным параметрам новой балки. Но будет проще для каждого конкретного случая рассчитать значения изгибающих моментов во всех характерных сечениях при схемах загрузки I и II и выбрать максимальное, то есть расчетное значение, по которому компоуют поперечное сечение балки.

Необходимое число потенциально-расчетных изгибающих моментов — четыре [2].

$$M_{\max} = \left. \begin{array}{l} \left\{ \frac{0,5M_{\text{оп, I}}}{M_{\text{к, I}}} \right\} \text{ схема загрузки I} \\ \left\{ \frac{M_{\text{пр, II}}}{M_{\text{к, II}}} \right\} \text{ схема загрузки II} \end{array} \right\} \text{ по таблице 1.}$$

Таблица 1

Расчетные формулы по схемам загрузки

№ и схема загрузки балки	Формулы усилий
<p>I</p>  <p>Обозначения величин</p>	$M_{Б, I} = v \cdot l^2 / 8; Q_{Б, I} = v \cdot l / 2;$ $M_{ОП, I} = M_{Б, I} \left(\frac{2(1 - 2\Delta^2)}{3(1 - \Delta)} \right);$ $M_{ПР, I} = M_{Б, I} \left(\frac{1 - 3\Delta + 4\Delta^2}{3(1 - \Delta)} \right);$ $M_{К, I} = M_{Б, I} \left(\frac{2(1 - 6\Delta + 10\Delta^2 - 6\Delta^3)}{3(1 - \Delta)} \right);$ $M_{К, I} = M_{ПР, I} \text{ при } \Delta = 0,144$ $Q_{К, I} = Q_{Б, I}(1 - 2\Delta);$ $\Delta_{0, I} = 0,5 \left(1 - \sqrt{1 - \frac{M_{ОП, I}}{M_{Б, I}}} \right)$
<p>II</p> 	$M_{ОП, II} = M_{Б, III} \left[\frac{(1 - 2\Delta^2)(2 + n)}{3(1 - \Delta)} \right];$ $M_{ПР, II} = M_{Б, III} \frac{1 - 3\Delta + 4\Delta^2 + n(2 - 3\Delta + 2\Delta^2)}{3(1 - \Delta)};$ $M_{К, II} = M_{ОП, II} - 4M_{Б, I}\Delta(1 - \Delta);$ $\Delta_{0, II} = 0,5 \left(1 - \sqrt{1 - \frac{M_{ОП, II}}{M_{Б, I}}} \right)$
<p>III</p> 	$M_{Б, III} = q \cdot l^2 / 8 = \frac{M_{Б, I}}{1 + n};$ $Q_{Б, III} = q \cdot l / 2 = \frac{Q_{Б, I}}{1 + n}$
<p>IV</p> 	$M_{Б, IV} = p \cdot l^2 / 8 = \frac{n \cdot M_{Б, I}}{1 + n};$ $Q_{Б, IV} = p \cdot l / 2 = \frac{n \cdot Q_{Б, I}}{1 + n};$ $M_{ОП, IV} = M_{Б, IV} \frac{1 - 2\Delta^2}{3(1 - \Delta)};$ $M_{ПР, IV} = M_{Б, IV} \frac{2 - 3\Delta + 2\Delta^2}{3(1 - \Delta)}$

$\Delta = \frac{l_K}{l}; \Delta_0 = \frac{l_0}{l}; n = \frac{P}{q}$, где l_0 — расстояние от опоры до сечения с нулевым моментом;

расчетный пролет — средний

1. Пример расчета и конструирования новой балки

Расчеты выполнены в сравнении с другими типами балок.

Исходные данные: пролет $l = 6$ м; сталь С245, $R_y = 24$ кН/см² [3]; предельный прогиб $f_u = l/200 = 3$ см [4]; коэффициент условий работы $\gamma_c = 1$; общая устойчивость балки обеспечена настилом. Нагрузки приведены в таблице 2.

Таблица 2

Нагрузки пример расчета

№ п/п	Наименование	Нормативная, кН/м	γ_f	Расчетная, кН/м
1	Постоянная	$q^H = 8,1$	1,27	$q = 10,3$
2	Временная	$p^H = 1,3$	1,46	$p = 1,9$
Всего		$v^H = 9,4$	$\gamma_{f, \text{ср}} = 1,3$	$v = 12,2$

1.1. Простая балка

Статический расчет [5]

$$M_{B, I} = v \cdot l^2 / 8 = 12,2 \cdot 6^2 / 8 = 54,9 \text{ кН} \cdot \text{м};$$

$$Q_{B, I} = v \cdot l / 2 = 12,2 \cdot 6 / 2 = 36,6 \text{ кН}.$$

Конструктивный расчет

$$W \geq M_{B, I} / R_y \cdot \gamma_c = 5490 / 24 \cdot 1 = 229 \text{ см}^3.$$

Принят швеллер 24П по ГОСТ 8240–89, $W = 243 \text{ см}^3 > 229 \text{ см}^3$, $I = 2910 \text{ см}^4$, $g_1 = 24 \text{ кг/м}$.

Проверка жесткости:

$$f = \frac{5}{384} \cdot \frac{v^H \cdot l^4}{EI} = \frac{5}{384} \cdot \frac{0,094 \cdot 600^4}{2,06 \cdot 10^4 \cdot 2910} = 2,8 \text{ см} < f_u = 3 \text{ см}.$$

Прочность и жесткость балки обеспечены.

Масса одного пролета балки:

$$G_1 = \kappa_c \cdot g_1 \cdot l = 1,05 \cdot 24 \cdot 6 = 151,2 \text{ кг},$$

где $\kappa_c = 1,05$ — конструктивный коэффициент.

1.2. Простая балка с защемленными концами

Статический расчет [5]

$$M_{\text{оп. б}} = v \cdot l^2 / 12 = 12,2 \cdot 6^2 / 12 = 36,6 \text{ кН} \cdot \text{м};$$

Конструктивный расчет

С учетом пластической стадии работы стали — 2-й класс конструкций

$$W \geq M_{\text{оп. б}} / R_y \cdot \gamma_c \cdot c_x = 3660 / 24 \cdot 1 \cdot 1,12 = 136,2 \text{ см}^3.$$

Принят швеллер 20П по ГОСТ 8240–89, $W = 153 \text{ см}^3$, $I = 1530 \text{ см}^4$, $g_2 = 18,4 \text{ кг/м}$.

Проверка жесткости:

$$f = \frac{1}{384} \cdot \frac{v^H \cdot l^4}{EI} = \frac{1}{384} \cdot \frac{0,094 \cdot 600^4}{2,06 \cdot 10^4 \cdot 1530} = 1,0 \text{ см} < f_u = 3 \text{ см}.$$

Прочность и жесткость балки обеспечены.

Масса одного пролета балки:

$$G_2 = \kappa_c \cdot g_2 \cdot l = 1,1 \cdot 18,4 \cdot 6 = 122 \text{ кг},$$

где $\kappa_c = 1,1$ — конструктивный коэффициент (с учетом стыковки балок по длине).

1.3. Новая балка

Параметры балки следующие: вылет консоли $l_k = 780$ мм, то есть $\Delta = l_k / l = 0,78 / 6 = 0,13$. Соотношение временной и постоянной нагрузок $n = p / q = 1,9 / 10,3 = 0,184$.

Статический расчет (таблица 1)

Балочный изгибающий момент и балочная поперечная сила:

$$M_{B, I} = v \cdot l^2 / 8 = 12,2 \cdot 6^2 / 8 = 54,9 \text{ кН} \cdot \text{м};$$

$$Q_{B, I} = v \cdot l / 2 = 12,2 \cdot 6 / 2 = 36,6 \text{ кН}.$$

Расчетные значения изгибающих моментов в характерных сечениях балки представлены в таблице 1.

Опорный момент на одно сечение балки:

$$\frac{1}{2} M_{\text{оп, I}} = \frac{1}{2} M_{\text{б, I}} \left(\frac{2(1 - 2\Delta^2)}{3(1 - \Delta)} \right) = \frac{1}{2} 54,9 \frac{2(1 - 2 \cdot 0,13^2)}{3(1 - 0,13)} = 20,32 \text{ кН} \cdot \text{м}.$$

Пролетный момент:

$$\begin{aligned} M_{\text{пр, II}} &= M_{\text{б, III}} \frac{1 - 3\Delta + 4\Delta^2 + n(2 - 3\Delta + 2\Delta^2)}{3(1 - \Delta)} = \\ &= 46,35 \frac{1 - 3 \cdot 0,13 + 4 \cdot 0,13^2 + 0,184(2 - 3 \cdot 0,13 + 2 \cdot 0,13^2)}{3(1 - 0,13)} = 17,41 \text{ кН} \cdot \text{м}, \end{aligned}$$

здесь $M_{\text{б, III}} = q \cdot l^2 / 8 = 10,3 \cdot 6^2 / 8 = 46,35 \text{ кН} \cdot \text{м}$

(загружение III).

Изгибающие моменты в сечении у консоли:

$$\begin{aligned} M_{\text{к, I}} &= M_{\text{б, I}} \left(\frac{2(1 - 6\Delta + 10\Delta^2 - 6\Delta^3)}{3(1 - \Delta)} \right) = \\ &= 54,9 \frac{2(1 - 6 \cdot 0,13 + 10 \cdot 0,13^2 - 6 \cdot 0,13^3)}{3(1 - 0,13)} = 15,8 \text{ кН} \cdot \text{м}; \end{aligned}$$

$$M_{\text{к, II}} = M_{\text{оп, II}} - 4M_{\text{б, I}}\Delta(1 - \Delta) = 38,1 - 4 \cdot 54,9 \cdot 0,13(1 - 0,13) = 13,3 \text{ кН} \cdot \text{м}.$$

Здесь

$$M_{\text{оп, II}} = M_{\text{б, III}} \frac{(1 - 2\Delta^2)(2 + n)}{3(1 - \Delta)} = 46,35 \frac{(1 - 2 \cdot 0,13^2)(2 + 0,184)}{3(1 - 0,13)} = 34,47 \text{ кН} \cdot \text{м}.$$

Полученные расчеты показали, что расчетным для конструктивного расчета балки является опорный изгибающий момент при схеме I загрузки.

Конструктивный расчет

С учетом пластической стадии работы стали — 2-й класс конструкций

$$W \geq \frac{1}{2} M_{\text{оп, I}} / R_y \cdot \gamma_c \cdot c_x = 2032 / 24 \cdot 1,12 = 75,6 \text{ см}^3.$$

Принят швеллер 16П по ГОСТ 8240-89, $W = 93,8 \text{ см}^3$, $I = 750 \text{ см}^4$, $g_3 = 14,2 \text{ кг/м}$.

Расчет узла крепления консоли к смежной балке

Расчетные усилия следующие:

$$M_{\text{к}} = 0,5M_{\text{к, I}} = 0,5 \cdot 15,8 = 7,9 \text{ кН} / \text{м};$$

$$Q_{\text{к}} = 0,5Q_{\text{к, I}} = 0,5Q_{\text{б, I}}(1 - 2\Delta) = 0,5 \cdot 36,6(1 - 2 \cdot 0,13) = 13,6 \text{ кН}.$$

Узел крепления консоли к балке приведен на рисунке 1, а. Консоль крепится к смежной балке двумя высокопрочными болтами из стали 40Х диаметром $d = 20 \text{ мм}$, $A_{b, n} = 2,45 \text{ см}^2$, $R_{b, h} = 75,5 \text{ Н/мм}^2$, соединение фрикционное, обработка контактных поверхностей щетками, то есть $\mu = 0,35$ [3].

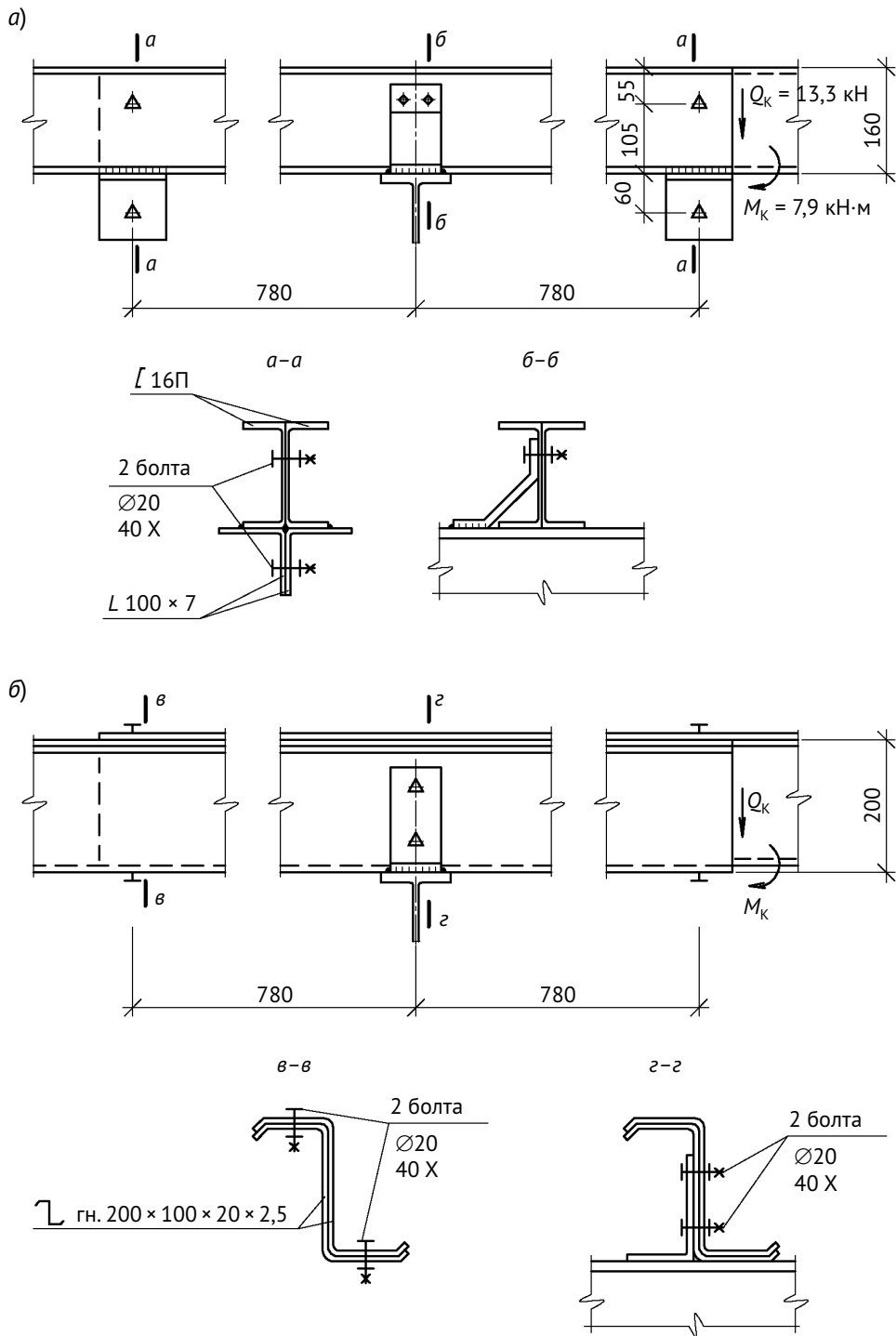


Рис. 1. Крепление консолей к смежной балке из прокатного швеллера (а) и гнутого тонкостенного Z-образного профиля (б)

Несущая способность одного болта равна

$$Q_{bh} = R_{bh} \cdot A_{bn} \cdot \mu / \gamma_b = 75,5 \cdot 2,45 \cdot 0,35 / 1,3 = 49,8 \text{ кН.}$$

Изгибающий момент, действующий на начало консоли, воспринимается парой сил, создаваемой болтами. Требуемое плечо пары сил определяют по формуле

$$h_{\Pi} \geq M_K / Q_{bh} = 7,9 / 49,8 = 0,159 \text{ м.}$$

Принято $h_{\Pi} = 165 \text{ мм.}$

Расчет прочности соединения на действие комплекса усилий M_K и Q_K :

– от поперечной силы

$$F_Q = Q_K / n_b = 13,6 / 2 = 6,8 \text{ кН,}$$

где $n_b = 2$ — число болтов;

– от изгибающего момента

$$F_M = M / h_{\Pi} = 7,9 / 0,165 = 47,9 \text{ кН.}$$

Суммарное усилие

$$F = \sqrt{F_Q^2 + F_M^2} = \sqrt{6,8^2 + 47,9^2} = 48,4 \text{ кН} < Q_{bh} = 49,8 \text{ кН.}$$

Вывод: прочность соединения обеспечена.

Масса балки на один пролет:

$$G_3 = \kappa_c \cdot (l + l_K) \cdot g_3 = 1,05 \cdot (6 + 2 \cdot 0,78) \cdot 14,2 = 112,7 \text{ кг,}$$

где $\kappa_c = 1,05$ — конструктивный коэффициент.

Для новой балки конструктивно и экономически рационален гнутый тонколистовой Z-образный профиль, например, Z гн. 200×100×20×3 (рис. 2).

Для скрепления консоли со смежной балкой достаточно двух высокопрочных болтов, скрепляющих полки друг с другом (рис. 1, б). В этом узле поперечная сила с одной стороны узла будет передаваться со смежной балки на консоль за счет плотного контакта

полок профиля, то есть за счет сжатия (правая часть узла на рис. 1, б), а с другой стороны — высокопрочными болтами за счет их растяжения (левая часть узла), что ослабит натяжение болтов. С учетом этого несущая способность одного болта за счет трения будет равна

$$Q_{bh} = (R_{bh} \cdot A_{bn} - Q_K / 2) \mu / \gamma_b = (75,5 \cdot 2,45 - 13,3 / 2) \cdot 0,35 / 1,3 = 48 \text{ кН.}$$

Изгибающий момент воспринимается парой сил, создаваемой высокопрочными болтами. Для этого необходимое усилие натяжения равно

$$F = M_K / h_{\Pi} = 7,9 / 0,2 = 39,5 \text{ кН} < Q_{bh} = 48 \text{ кН.}$$

Вывод: прочность соединения обеспечена.

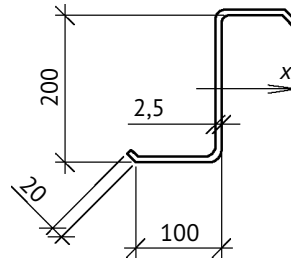


Рис. 2. Поперечное сечение гнутого тонколистового Z-образного профиля

Геометрические характеристики поперечного сечения профиля следующие

$$A = 0,25[(10 + 2) \cdot 2 + 20] = 11 \text{ см}^2;$$

$$I_x = \frac{0,25 \cdot 20^3}{12} + 2(10 + 2) \cdot 0,25 \cdot 10^2 = 767 \text{ см}^4;$$

$$W_x = 2I_x / h = 767 \cdot 2 / 20 = 76,7 \text{ см}^3.$$

По прочности требуется $W_x = 75,6 \text{ см}^3$, то есть прочность профиля по нормальным напряжениям для данных условий обеспечена. Момент инерции сечения несколько превышает момент инерции швеллера 16П, у которого $I_x = 750 \text{ см}^4$.

Следовательно, жесткость балки из гнутого профиля будет несколько выше, чем из прокатного швеллера.

Опорная реакция воспринимается двумя высокопрочными болтами и уголком крепления балки к ригелю, что исключает местное напряжение в стенке балки на опоре.

Прочность по приведенным напряжениям [3]:

$$\sigma = 0,5 \cdot M_{\text{оп. II}} \cdot y / I = \\ = 2032 \cdot 9,0 / 767 = 23,8 \text{ кН / см};$$

$$\tau = 0,5 Q_{\text{Б, I}} / s \cdot h_w = \\ = 18,3 / 0,25 \cdot 18 = 4,1 \text{ кН / см}^2;$$

$$\frac{0,87}{R_y \cdot \gamma_c} \sqrt{\sigma^2 + 3\tau^2} = \\ = \frac{0,87}{24} \sqrt{23,8^2 + 3 \cdot 4,1^2} = 0,9 < 1.$$

Прочность по приведенным напряжениям обеспечена.

Погонная масса профиля:

$$g_4 = A \cdot \gamma_{\text{ст}} = 11 \cdot 0,785 = 8,64 \text{ кг/м}.$$

Масса балки на один пролет:

$$G_4 = \kappa_c \cdot (l + 2l_k) \cdot g_4 = \\ = 1,05 \cdot (6 + 2 \cdot 0,78) \cdot 8,64 = 68,6 \text{ кг},$$

где $\kappa_c = 1,05$ — конструктивный коэффициент.

Сравнительные данные расхода стали на балки разных типов приведены в таблице 3.

Из таблицы 3 следует, что неразрезная балка переменного сечения из прокатного профиля (швеллера) на 25% легче простой балки, а из гнутого тонкостенного профиля — на 55%, то есть более чем вдвое. Гнутый профиль легче прокатного на 40%.

С увеличением доли временной нагрузки эффективность новой балки будет снижаться.

2. Анализ и оценка прогиба новой балки

Расчетным пролетом новой балки для определения прогиба является полностью загруженный расчетный пролет при отсутствии временной нагрузки на смежных пролетах (загружение II таблицы 1).

При расчете прогиба новой балки ориентиром для сравнения может служить прогиб простой балки с защемленными концами. Дело в том, что эпюра M_B зафиксирована относительно оси балки, а эта же эпюра расчетного пролета новой балки перемещается по высоте, и положение ее зависит от соотношения временной и постоянной нагрузок n . При сравнительно малой величине временной нагрузки эпюра M_B новой балки будет выше эпюры простой балки с защемленными концами, и наоборот, при большой относительной величине временной нагрузки эпюра M_B новой балки расположится ниже эпюры простой балки с защемленными концами (рис. 3). Соответственно и прогиб расчетного пролета новой балки в первом случае будет меньше прогиба простой балки с защемленными концами, а во втором случае — больше.

Таблица 3

Расход стали на один пролет балок разных конструкций

№ п/п	Тип балки и профиль сечения	g , кг/м	G , кг	Соотношение
1	Простая из швеллера 24П	24	151,2	1,00
2	Простая с защемленными концами из швеллера 20П	18,4	122,0	0,81
3	Новая из швеллера 16П	14,2	112,7	0,75
4	Новая из Z гн. 200×100×20×2,5	8,64	68,6	0,45

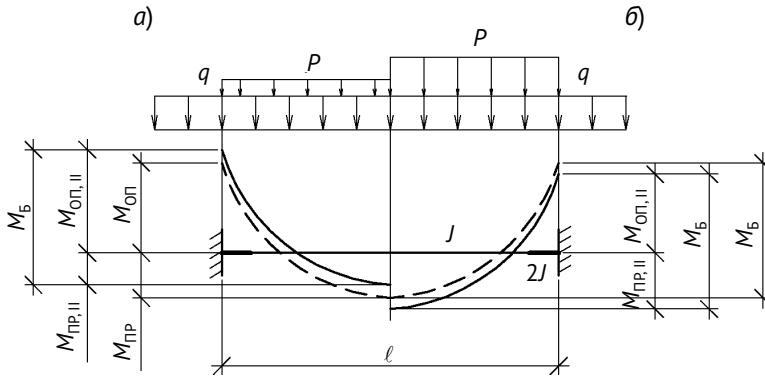


Рис. 3. Эпюры изгибающих моментов
 - - - - - простой балки с защемленными концами;
 ————— многопролетной неразрезной балки переменного сечения при малой (а) и большой (б) доли временной нагрузки

В случае, если эпюры изгибающих моментов расчетного пролета новой балки и простой балки с защемленными концами совместятся, то прогибы их будут равными. Это случится при достижении соотношения

$$\frac{M_{\text{оп, II}}}{M_{\text{пр, II}}} = \frac{(1 - 2\Delta^2)(2 + n)}{(1 - 3\Delta + 4\Delta^2) + n(2 - 3\Delta + 2\Delta^2)} = 2,$$

где 2 — соотношение опорного $M_{\text{оп}}$ и пролетного $M_{\text{пр}}$ изгибающих моментов простой балки с защемленными концами [3].

Для относительного вылета консоли $\Delta = 0,1$ имеют

$$\frac{0,98(2 + n)}{0,74 + 1,72n} = 2$$

и получают $n = 0,48/2,46 = 0,20$.

Для относительного вылета консоли $\Delta = 0,2$ имеют

$$\frac{0,98(2 + n)}{0,56 + 1,48n} = 2$$

и получают $n = 0,72/2,04 = 0,35$.

Это означает, что если доля временной нагрузки меньше полученных выше значений, то прогиб расчетного пролета новой балки будет меньше прогиба простой балки с защемленными концами и наоборот.

Прогиб расчетного пролета новой балки можно рассчитать приближенно и строго математически разными способами. Рассмотрены некоторые из них, основанные на использовании эпюры изгибающих моментов в общем виде.

Первый способ

Представляют расчетный пролет новой балки как простую балку с защемленными концами, дополнительно нагруженную сосредоточенными моментами на концах, равными разности опорных изгибающих моментов новой балки и простой балки

$$M_{\text{yc}} = (M_{\text{оп, II}} - M_{\text{оп}}) = \left(M_{\text{оп, II}} - \frac{v \cdot l^2}{12} \right).$$

Прогибы простой балки с защемленными концами от нагрузки v и сосредоточенных моментов на опорах соответственно равны [5]

$$f_v = \frac{v \cdot l^4}{384EI} \text{ и } f_{\text{yc}} = \frac{M_{\text{yc}} \cdot l^2}{8EI}.$$

Алгебраическая сумма составляющих прогиба:

$$f = f_v - f_{\text{yc}} = \left(\frac{v \cdot l^4}{384EI} - \frac{M_{\text{yc}} \cdot l^2}{8EI} \right) = \frac{l^2}{8EI} \left(\frac{v \cdot l^2}{48} - M_{\text{yc}} \right).$$

В последнюю формулу подставляют выражение $M_{\text{вс}}$ и получают

$$f = \frac{l^2}{8EI} \left(\frac{v \cdot l^2}{48} - M_{\text{оп, II}} + \frac{v \cdot l^2}{12} \right) = \frac{l^2}{8EI} \left(\frac{5}{48} v \cdot l^2 - M_{\text{оп, II}} \right).$$

В последнюю формулу подставляют выражение балочного изгибающего момента $M_{\text{Б, I}} = v \cdot l^2 / 8$ и получают [5]

$$f = \frac{l^2}{8EI} \left(\frac{5}{6} M_{\text{Б, I}} - M_{\text{оп, II}} \right).$$

В выполненных выше выкладках предполагали нормативные значения усилий (моментов) и нагрузок (v). При использовании расчетных значений усилий и нагрузок в последнюю формулу следует ввести среднее значение коэффициента надежности по нагрузке $\gamma_{f, \text{cp}}$, тогда

$$f = \frac{l^2}{8EI\gamma_{f, \text{cp}}} \left(\frac{5}{6} M_{\text{Б, I}} - M_{\text{оп, II}} \right). \quad (1)$$

Если предположить, что эпюры изгибающих моментов новой балки и простой балки с защемленными концами совпали, то

$$M_{\text{оп, II}} = M_{\text{оп}} = \frac{v \cdot l^2}{12} = \frac{2}{3} M_{\text{Б}}.$$

Подставляя в формулу (1) полученное значение опорного момента, а также выражение $M_{\text{Б}} = v \cdot l^2 / 8$, получают

$$f = \frac{l^2}{8EI\gamma_{f, \text{cp}}} \left(\frac{5}{6} M_{\text{Б, I}} - \frac{2}{3} M_{\text{Б, I}} \right) = \frac{l^2}{8EI\gamma_{f, \text{cp}}} \cdot \frac{M_{\text{Б, I}}}{6} = \frac{v \cdot l^4}{384EI\gamma_{f, \text{cp}}},$$

то есть выражение прогиба простой балки с защемленными концами.

Из последнего можно сделать вывод, что формула (1) может использоваться как приближенная в запас жесткости, так как не учитывает увеличение

поперечного сечения балки на опорных участках.

Второй способ

Основан на расчете интеграла Мора перемножением рассчитанной эпюры изгибающих моментов от внешней нагрузки на эпюру моментов от единичной силы. Для этого эпюра изгибающих моментов от внешней нагрузки расчленяется на элементарные участки, которые предусмотрены в [5, таблица 8.3.20].

На рис. 4, а приведена эпюра изгибающих моментов новой балки, расчлененная на четыре элементарных участка. Первый участок представлен в виде выпуклой квадратной параболы в средней части балки, второй и четвертый участки — в виде вогнутой квадратной параболы и третий участок — в виде прямоугольной.

Эпюра изгибающих моментов от единичной силы приведена на рис. 4, б.

Прогиб балки равен алгебраической сумме составляющих прогибов от элементарных участков.

Решение интеграла Мора для элементарных участков:

$$\begin{aligned} f_1 &= \frac{M_{\text{пр, II}}}{12EI} (0,5l - l_{0, \text{II}}) \times \\ &\times (3 \cdot 0,5 \cdot l \cdot \Delta_{0, \text{II}} + 5 \cdot 0,25l) M_{\text{пр, II}} = \\ &= \frac{M_{\text{пр, II}} \cdot l^2}{12EI \cdot 2 \cdot 4} (1 - 2\Delta_{0, \text{II}})(6\Delta_{0, \text{II}} + 5) = \\ &= \frac{M_{\text{пр, II}} \cdot l^2}{96EI} (6\Delta_{0, \text{II}} - 12\Delta_{0, \text{II}}^2 + 5 - 100\Delta_{0, \text{II}}) = \\ &= \frac{M_{\text{пр, II}} \cdot l^2}{96EI} (5 - 4\Delta_{0, \text{II}} - 12\Delta_{0, \text{II}}^2) = \\ &= \frac{M_{\text{пр, II}} \cdot l^2}{24EI} (1,25 - \Delta_{0, \text{II}} - 3\Delta_{0, \text{II}}^2); \\ f_2 &= \frac{M_{\text{к, II}}}{12EI} (l_0 - l_{\text{к}})(3 \cdot 0,5 \cdot l \cdot \Delta + 0,5 \cdot l \cdot \Delta_{0, \text{II}}) = \\ &= \frac{M_{\text{к, II}} \cdot l^2}{12EI \cdot 2} (\Delta_{0, \text{II}} - \Delta)(3\Delta + \Delta_{0, \text{II}}) = \\ &= \frac{M_{\text{к, II}} \cdot l^2}{24EI} (3\Delta \cdot \Delta_{0, \text{II}} - 3\Delta^2 + \Delta_{0, \text{II}}^2 - \Delta \cdot \Delta_{0, \text{II}}) = \\ &= \frac{M_{\text{к, II}} \cdot l^2}{24EI} (\Delta_{0, \text{II}}^2 - 3\Delta^2 + 2\Delta \cdot \Delta_{0, \text{II}}); \end{aligned}$$

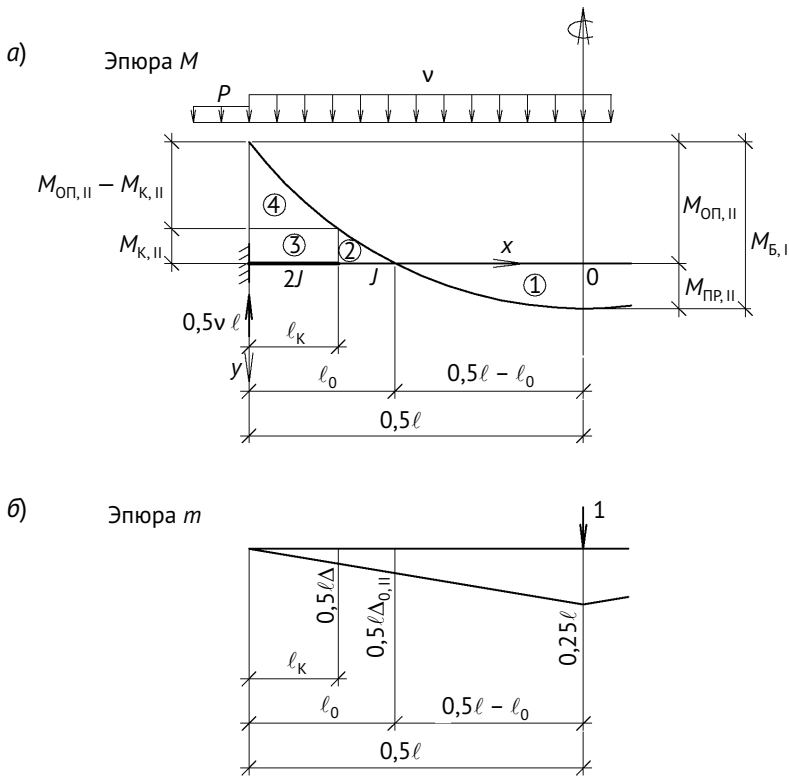


Рис. 4. Эпюры изгибающих моментов от внешней нагрузки (а) и единичной силы (б)

$$f_3 = \frac{M_{K, II}}{24EI} l_K \cdot 0,5 \cdot l \cdot \Delta = \frac{M_{K, II} \cdot l^2}{8EI} \Delta^2;$$

$$f_4 = \frac{1}{12E2I} 0,5 \cdot l \cdot \Delta \cdot l_K (M_{Op, II} - M_{K, II}) = \frac{l^2}{48EI} \Delta^2 (M_{Op, II} - M_{K, II}).$$

Прогиб балки равен сумме составляющих с учетом их направлений. При этом учитывают, что составляющие рассчитаны до оси симметрии, поэтому сумма удваивается:

$$\begin{aligned} f &= 2(f_1 - f_2 - f_3 - f_4) = \\ &= \frac{l^2}{12EI} \left[\begin{aligned} &M_{Pr, II} (1,25 - \Delta_{0, II} - 3\Delta_{0, II}^2) - M_{K, II} (\Delta_{0, II}^2 - 3\Delta^2 + 2\Delta \cdot \Delta_{0, II}) - 3M_{K, II} \Delta^2 - \\ &-\frac{1}{2} M_{Op, II} \Delta^2 + \frac{1}{2} M_{K, II} \Delta^2 \end{aligned} \right] = \\ &= \frac{l^2}{12EI} \left[\begin{aligned} &M_{Pr, II} (1,25 - \Delta_{0, II} - 3\Delta_{0, II}^2) - M_{K, II} \left(\Delta_{0, II}^2 - 3\Delta^2 + 2\Delta \cdot \Delta_{0, II} - 3\Delta^2 + \frac{1}{2} \Delta^2 \right) - \\ &-\frac{1}{2} M_{Op, II} \Delta^2 \end{aligned} \right] = \\ &= \frac{l^2}{12EI} \left[M_{Pr, II} (1,25 - \Delta_{0, II} - 3\Delta_{0, II}^2) - M_{K, II} (\Delta_{0, II}^2 + 2\Delta \cdot \Delta_{0, II} - 5,5\Delta^2) - 0,5M_{Op, II} \Delta^2 \right]. \end{aligned}$$

Если расчеты выполнить по расчетным значениям изгибающих моментов, то в последнюю формулу следует ввести среднее значение коэффициента надежности по нагрузке $\gamma_{f, \text{cp}}$:

$$f = \frac{l^2}{12EI\gamma_{f, \text{cp}}} \left[\begin{array}{l} M_{\text{пр, II}}(1,25 - \Delta_{0, \text{II}} - 3\Delta_{0, \text{II}}^2) - M_{\text{к, II}}(\Delta_{0, \text{II}}^2 + 2\Delta \cdot \Delta_{0, \text{II}} - 5,5\Delta^2) \\ -0,5M_{\text{оп, II}}\Delta^2 \end{array} \right]. \quad (2)$$

Аналитическое вычисление интеграла Мора выполнено в координатных осях x - y , показанных на рис. 4. Прогиб вычисляют по формуле

$$f = \frac{2}{EI} \left(\int_0^{l/2} M_x m_x dx + \int_0^{l_k} M_x m_x dx \right).$$

Первое слагаемое формулы представляет собой искомый прогиб балки постоянного сечения жесткостью I , а второе слагаемое — дополнительный прогиб от усиленного участка балки на длине l_k также жесткостью I .

Функции эпюр изгибающего момента от внешней нагрузки и их произведения равны

$$M_x = \frac{4M_{\text{Б, I}}}{l^2} x(l-x) - M_{\text{оп, II}} \text{ и } m_x = x/2;$$

$$M_x \cdot m_x = \frac{2M_{\text{Б, I}}}{l} x^2 - \frac{2M_{\text{Б, I}}}{l^2} x^3 - \frac{M_{\text{оп, II}}}{2} x.$$

Неопределенный интеграл произведения функций равен

$$\begin{aligned} \int \left(\frac{2M_{\text{Б, I}}}{l} x^2 - \frac{2M_{\text{Б, I}}}{l^2} x^3 - \frac{M_{\text{оп, II}}}{2} x \right) dx &= \frac{2M_{\text{Б, I}}}{l} \cdot \frac{x^3}{3} - \frac{2M_{\text{Б, I}}}{l^2} \cdot \frac{x^4}{4} - \frac{M_{\text{оп, II}}}{2} \cdot \frac{x^2}{2} = \\ &= \frac{2M_{\text{Б, I}}}{3l} x^3 - \frac{M_{\text{Б, I}}}{2l^2} x^4 - \frac{M_{\text{оп, II}}}{4} x^2. \end{aligned}$$

Выражение прогиба по первому интегралу:

$$\begin{aligned} f_1 &= \frac{2}{EI} \left(\frac{2M_{\text{Б, I}}}{3l} \cdot \frac{l^3}{8} - \frac{M_{\text{Б, I}}}{2l^2} \cdot \frac{l^4}{16} - \frac{M_{\text{оп, II}}}{4} \cdot \frac{l^2}{4} \right) = \frac{2l^2}{8EI} \left(M_{\text{Б, I}} \left(\frac{2}{3} - \frac{1}{4} \right) - \frac{M_{\text{оп, II}}}{2} \right). \\ f_1 &= \frac{l^2}{8EI} \left(\frac{5}{6} M_{\text{Б, I}} - M_{\text{оп, II}} \right). \end{aligned} \quad (3)$$

Последнее выражение совпало с формулой (1), полученной выше по первому способу определения прогиба новой балки.

Последнее подтверждает корректность аналитического расчета первого интеграла Мора.

Составляющая прогиба по второму интегралу в интервале $0 \leq x \leq l_k$ имеет вид

$$\begin{aligned} f_2 &= \frac{2}{EI} \left(\frac{2M_{\text{Б, I}}}{3l} \Delta^3 \cdot l^3 - \frac{M_{\text{Б, I}}}{2l^2} \Delta^4 \cdot l^4 - \frac{M_{\text{оп, II}}}{4} \Delta^2 \cdot l^2 \right) = \\ &= \frac{2\Delta^2 \cdot l^2}{EI} \left[M_{\text{Б, I}} \Delta \left(\frac{2}{3} - \frac{1}{2} \Delta \right) - \frac{M_{\text{оп, II}}}{4} \right] = \frac{\Delta^2 \cdot l^2}{EI} \left[\frac{M_{\text{Б, I}}}{3} \Delta (4 - 3\Delta) - \frac{M_{\text{оп, II}}}{2} \right]. \end{aligned}$$

Последняя формула дает дополнительный прогиб (отрицательный) и учитывает усиление балки в опорной зоне.

Полученные выше формулы предполагают нормативное значение изгибающих моментов. Когда принимают расчетное значение изгибающих моментов, в формулу вводят среднее значение коэффициента надежности по нагрузке $\gamma_{f, cp}$

$$f_1 = \frac{l^2}{8EI\gamma_{f, cp}} \left(\frac{5}{6} M_{Б, I} - M_{Оп, II} \right), \quad (4)$$

$$f_2 = \frac{(\Delta \cdot l)^2}{EI\gamma_{f, cp}} \left[\frac{M_{Б, I}}{3} \Delta(4 - 3\Delta) - \frac{M_{Оп, II}}{2} \right]. \quad (5)$$

Полный прогиб равен алгебраической сумме составляющих:

$$\begin{aligned} f = f_1 + f_2 &= \frac{l^2}{8EI\gamma_{f, cp}} \left(\frac{5}{6} M_{Б, I} - M_{Оп, II} \right) + \frac{(\Delta \cdot l)^2}{EI\gamma_{f, cp}} \left[\frac{M_{Б, I}}{3} \Delta(4 - 3\Delta) - \frac{M_{Оп, II}}{2} \right] = \\ &= \frac{l^2}{EI\gamma_{f, cp}} \left[\frac{5}{6 \cdot 8} M_{Б, I} - \frac{M_{Оп, II}}{8} + \frac{M_{Б, I}}{3} \Delta^3(4 - 3\Delta) - \Delta^2 \frac{M_{Оп, II}}{2} \right]. \end{aligned}$$

Окончательно получают

$$f = \frac{l^2}{EI\gamma_{f, cp}} \left[\frac{M_{Б, I}}{3} \left(\frac{5}{16} + 4\Delta^3 - 3\Delta^4 \right) - \frac{M_{Оп, II}}{8} (1 + 4\Delta^2) \right]. \quad (6)$$

Пренебрегая малыми числами ($4\Delta^3 - 3\Delta^4$) и $4\Delta^2$, получают

$$f = \frac{l^2}{8EI\gamma_{f, cp}} \left(\frac{5}{6} M_{Б, I} - M_{Оп, II} \right). \quad (7)$$

Последнее выражение повторяет формулы (1) и (3), полученные выше.

Расчет прогиба по полученным формулам

Исходные данные принимают по первому разделу: $l = 6$ м; $\Delta = 0,13$;

$$\Delta_{0, II} = 0,5 \left(1 - \sqrt{1 - \frac{M_{Оп, II}}{M_{Б, I}}} \right) = 0,5 \left(1 - \sqrt{1 - \frac{32,47}{54,90}} \right) = 0,218.$$

Расчетные значения изгибающих моментов:

$$M_{Б, I} = 54,9 \text{ кН} \cdot \text{м}; \quad M_{Оп, II} = 34,47 \text{ кН} \cdot \text{м}; \quad M_{Пр, II} = 17,41 \text{ кН} \cdot \text{м}; \quad M_{К, II} = 13,3 \text{ кН} \cdot \text{м};$$

профиль балки — швеллер 16П, $I = 750 \text{ см}^4$, $v^H = 9,4 \text{ кН/м}$.

По формуле (2) вычисляют

$$f = \frac{600^2}{12 \cdot 2,06 \cdot 10^4 \cdot 750 \cdot 1,3} \left[\begin{array}{l} 1741(1,25 - 0,218 - 3 \cdot 0,218^2) - \\ -1330(0,218^2 + 2 \cdot 0,218 \cdot 0,13 - 5,5 \cdot 0,13^2) - \\ -0,5 \cdot 3447 \cdot 0,13^2 \end{array} \right] = 2,24 \text{ см}.$$

По формулам (1), (3), (7) вычисляют

$$f = \frac{600^2}{8 \cdot 2,06 \cdot 10^4 \cdot 750 \cdot 1,3} \times \left(\frac{5}{6} 5490 - 3747 \right) = 1,86 \text{ см.}$$

По формуле (6) вычисляют

$$f = \frac{600^2}{2,06 \cdot 10^4 \cdot 750 \cdot 1,3} \times \left[\frac{5490}{3} \left(\frac{5}{16} + 4 \cdot 0,13^3 - 3 \cdot 0,13^4 \right) - \frac{3747}{8} (1 + 4 \cdot 0,13^2) \right] = 1,54 \text{ см.}$$

Прогиб простой балки с защемленными концами [5]

$$f = \frac{0,094 \cdot 600^4}{384 \cdot 2,06 \cdot 10^4 \cdot 750} = 2,05 \text{ см.}$$

Основные расчетные параметры новой балки рассчитаны на ЭВМ в программном комплексе «Лира 9.6» (таблица 4).

Анализ результатов таблицы показывает следующее.

1. Результаты статического расчета по аналитическим формулам и на ЭВМ

практически совпали, что подтверждает корректность теоретических выкладок, изложенных в [1].

2. Для расчета прогиба наиболее достоверным представляется результат (1,54 см), полученный аналитическим решением интеграла Мора, поэтому формула (6) рекомендуется для практических расчетов.

3. Формула (7) является упрощенным выражением формулы (6). Она достаточно проста, обеспечивает запас жесткости (примерно на 20%) и может быть использована в практических расчетах, когда не требуется высокая точность расчета прогиба балки.

4. Прогиб, полученный решением интеграла Мора перемножением эпюр изгибающих моментов с помощью таблиц, не дает достоверного результата (2,24 см), то есть больше прогиба простой балки с защемленными концами (2,05 см), что в принципе невозможно.

5. Расчеты с помощью ЭВМ несколько завышают значение прогиба (1,96 см) по сравнению с результатами расчета по строгой формуле (6). Численно разница невелика (0,5 см), но относительная разница чуть больше 20%.

6. Отмечается низкое значение прогиба по строгой формуле (6), которое почти вдвое меньше предельного прогиба.

Таблица 4

Сравнительная таблица результатов расчета

Усилие					
Изгибающие моменты, кН·м					$Q_{к, I}$
Обозначение	$M_{Б, I}$	$M_{ОП, I}$	$M_{К, I}$	$M_{ПР, II}$	
По таблице 1	54,90	40,64	15,80	37,47	27,2
На ЭВМ	54,90	40,10	15,30	37,40	27,1
Прогиб в см. по формулам					
(6)	(7)	(2)	ЭВМ	[5]	F_u [4]
1,54	1,86	2,24	1,96	2,05	3,0
Способ получения формулы					
Аналитическое решение интеграла Мора	Упрощенное выражение формулы (6), т.е. формула (7)	Графическое решение интеграла Мора по таблицам [5]	Комплекс «Лира 9.6»	Простая балка с защемленными концами	Предельный прогиб

Очевидно, проблема жесткости вообще не актуальна для новой балки, то есть она обеспечена расчетом на прочность.

Пятый пункт выводов проверяют анализом формулы (6)

$$f = \frac{l^2}{EI} \left(\frac{M_{Б.1}}{3} \left(\frac{5}{16} + 4\Delta^3 - 3\Delta^4 \right) - \frac{M_{оп. II}}{8} (1 + 4\Delta^2) \right) \leq f_u.$$

Условия расчета следующие: модуль упругости и расчетное сопротивление стали $E = 2,06 \cdot 10^4$ кН/см² и $R_y = 24$ кН/см²; относительная временная нагрузка $n = p/q = 1,0$; относительный вылет консоли $\Delta = 0,1$; предельный прогиб для балки пролетом 6 м $f_u = l/200 = 5 \cdot 10^{-3}l$.

Остальные величины вычисляют.

Момент инерции сечения балки равен

$$I = W \cdot h_{\text{э}} / 2 = W \cdot K_{\text{э}} \cdot h / 2,$$

где $W = \frac{M_{\text{пр. II}}}{R_y \cdot \gamma_{f, \text{сп}}}$ — требуемый момент сопротивления из условия прочности по нормальным напряжениям, где

$$\begin{aligned} M_{\text{пр. II}} &= M_{Б.1} \frac{1 - 3\Delta + 4\Delta^2 + n(2 - 3\Delta + 2\Delta^2)}{3(1 - \Delta)(1 + n)} = \\ &= \frac{v \cdot l^2}{8} \cdot \frac{1 - 3 \cdot 0,1 + 4 \cdot 0,1^2 + 1(2 - 3 \cdot 0,1 + 2 \cdot 0,1^2)}{3(1 - 0,1)(1 + 1)} = \frac{v \cdot l^2}{8} \cdot 0,455 = 0,057v \cdot l^2 \end{aligned}$$

— расчетный изгибающий момент;

$h_{\text{э}}$ — высота эквивалентного прямоугольного единичной ширины сечения балки, связанного с сечением прокатного профиля зависимостью

$$W = \frac{1 \cdot h_{\text{э}}^2}{6}; h_{\text{э}} = \sqrt{6W}; K_{\text{э}} \cdot h = \sqrt{6W}, \text{ отсюда } K_{\text{э}} = \sqrt{6W} / h,$$

здесь h — высота сечения прокатного профиля.

Значения коэффициента $K_{\text{э}}$ приведены в таблице 5.

Таблица 5

Коэффициент $K_{\text{э}}$ для балочных профилей

№ п/п	Швеллер		Двутавр					
	номер	$K_{\text{э}}$	балочный		широкополочный		колонный	
1	№ 10	1,44	№ 10Б1	1,43				
2	№ 20	1,51	№ 20Б1	1,66	№ 20Ш1	2,04	№ 20К1	2,43
3	№ 40	1,69	№ 40Б1	1,95	№ 40Ш1	2,44	№ 40К1	3,26
4			№ 60Б1	1,96	№ 60Ш1	2,44		

С учетом выполненных изысканий записывают выражение момента инерции сечения балки

$$I = \frac{M_{\text{пр. II}} \cdot K_{\text{э}} \cdot h}{2R_y \cdot \gamma_{f, \text{сп}}} = \frac{0,057 \cdot v l^2 \cdot K_{\text{э}} \cdot h}{2 \cdot 24 \cdot 1,2} = 1 \cdot 10^{-3} v l^2 \cdot K_{\text{э}} \cdot h.$$

Балочный и опорный изгибающий моменты равны

$$M_{\text{б, I}} = v l^2 / 8 = 0,125 v l^2$$

и

$$M_{\text{оп, II}} = M_{\text{б, I}} \frac{(1 - 2\Delta^2)(2 + n)}{3(1 - \Delta)(1 + n)} = 0,125 v \cdot l^2 \frac{(1 - 2 \cdot 0,1^2)(2 + 1)}{3(1 - 0,1)(1 + 1)} = 0,068 v \cdot l^2.$$

Полученные выражения подставляют в исходную формулу прогиба (6) и получают

$$f = \frac{l^2}{2,06 \cdot 10^4 \cdot 10^{-3} v \cdot l^2 K_{\text{э}} \cdot h} \times \left(\frac{0,125 v l^2}{3} \left(\frac{5}{16} + 4 \cdot 0,1^3 - 3 \cdot 0,1^4 \right) - \frac{0,068 v l^2}{8} (1 + 4 \cdot 0,1^2) \right) = \frac{2,02 \cdot 10^{-4} l^2}{K_{\text{э}} \cdot h} \leq 5 \cdot 10^{-3} l.$$

После преобразований получают

$$\frac{l}{K_{\text{э}} \cdot h} \leq \frac{5}{0,202}$$

и окончательно

$$K_{\text{э}} \cdot h \geq 0,04l. \quad (8)$$

Если принять для швеллера $K_{\text{э}} = 1,5$, то получают $h \geq 0,026l$.

Очевидно, что для конкретных условий расчета фактическая высота сечения балки будет больше полученного предельного значения. Например, для пролета $l = 6$ м предельное значение высоты сечения балки равно

$$h \geq 0,026 \cdot 600 = 15,6 \text{ см,}$$

а в приведенном выше примере расчета условию прочности отвечает швеллер 16, то есть высота сечения балки больше предельного по условию жесткости. Из таблицы 5 следует, что у двутавров коэффициент $K_{\text{э}}$ больше, чем у швеллеров, поэтому и разница между предельной высотой сечения балки по условию жесткости и по условию прочности будет еще больше.

Соотношение прогибов расчетного пролета новой балки и простой балки с защемленными концами

Для решения этого вопроса выражение прогиба расчетного пролета новой балки по формуле (6) делят на выражение прогиба простой балки с защемленными концами [5]:

$$f_{\text{б}} = \frac{v \cdot l^4}{384EI\gamma_{f, \text{сп}}} = \frac{M_{\text{б, I}} \cdot l^2}{48EI\gamma_{f, \text{сп}}}.$$

Также заменяют выражение

$$M_{\text{б, II}} = \frac{M_{\text{б, I}}(1 - 2\Delta^2)(2 + n)}{3(1 + n)(1 - \Delta)}.$$

После сокращения величин получают

$$\frac{f_{\text{II}}}{f_{\text{б}}} = 48 \left[\frac{\frac{1}{3} \left(\frac{5}{16} + 4\Delta^3 - 3\Delta^4 \right) - \frac{(1 + 4\Delta^2)(1 - 2\Delta^2)(2 + n)}{8(1 + n)3(1 - \Delta)}}{\frac{(1 + 4\Delta^2)(1 - 2\Delta^2)(2 + n)}{8(1 + n)3(1 - \Delta)}} \right].$$

После несложных преобразований имеют

$$\frac{f_{\text{II}}}{f_{\text{б}}} = 5 + 64\Delta^3 - 48\Delta^4 - \frac{2(1 + 2\Delta^2 - 8\Delta^4)(2 + n)}{(1 + n)(1 - \Delta)}.$$

Результаты вычислений приведены на графиках (рис. 5).

Из анализа графиков можно сделать вывод, что прогиб новой балки меньше прогиба простой балки с защемленными концами только при относительной величине временной нагрузки в пределах $n = 0 - 0,5$.

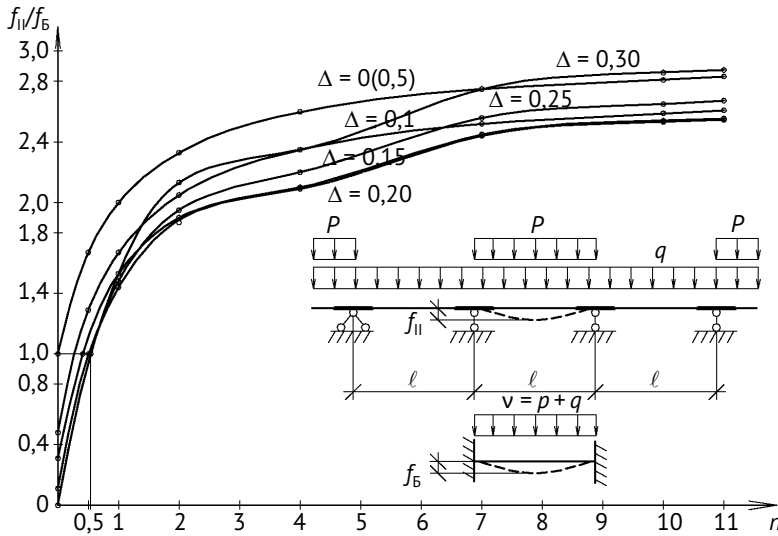


Рис. 5. Графики отношения прогиба новой балки f_{II} к прогибу простой балки с защемленными концами f_B

Условие совмещения эпюр изгибающих моментов расчетного пролета на прочность новой балки и простой балки с защемленными концами определяется условием

$$M_{B,I} \frac{2(1-2\Delta^2)}{3(1-\Delta)} = \frac{2}{3} M_{B,I}$$

или $1 - 2\Delta^2 = 1 - \Delta$ или $\Delta = 0$.

Это означает, что указанные эпюры не совмещаются. Эпюра изгибающих моментов расчетного пролета новой балки по прочности всегда будет располагаться выше эпюры изгибающих моментов простой балки с защемленными концами.

Выводы

1. Новая балка — неразрезная переменного сечения из прокатного профиля обеспечивает экономию стали до 25% по сравнению с простой балкой, разрезной.
2. Наибольший конструктивный и экономический эффект обеспечивает тонколистовой гнутый Z-образный профиль для новой балки. Расход стали снижается более чем в два раза по сравнению с простой бал-

кой из прокатного профиля, одновременно упрощаются узлы сопряжения консоли со смежной балкой и опорой.

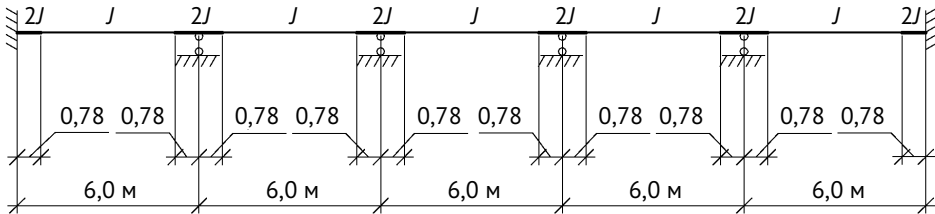
3. Получены приближенные и математически строгие выражения для определения прогиба расчетного пролета новой балки.
4. Установлено, что проблема жесткости не актуальна для новой балки. Она обеспечена заблаговременно подбором профиля балки по условию прочности из ординарных марок стали.
5. Последний вывод относится и к простой балке с защемленными концами.
6. Установлено следующее:
 - прогиб расчетного пролета новой балки равен прогибу простой балки с защемленными концами при достижении временной нагрузки величины в 2,3–2,5 раза больше постоянной нагрузки;
 - эпюра изгибающих моментов расчетного пролета новой балки на жесткость совмещается с эпюрой изгибающих моментов простой балки с защемленными концами, если временная нагрузка равна половине постоянной;

— эпюра изгибающих моментов расчетного пролета новой балки на прочность всегда располагается выше эпюры изгибающего момента простой балки с защемленными концами.

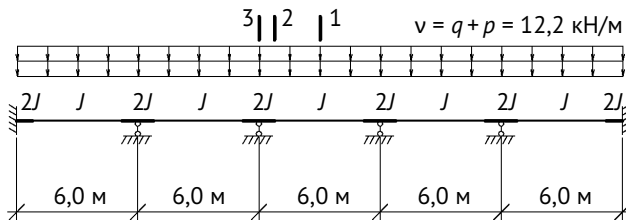
7. Открывается широкая возможность для исследования и реализации балок с различным соотношением жесткостей на нескольких участках балки по длине. ■

Расчет новой балки на ЭВМ

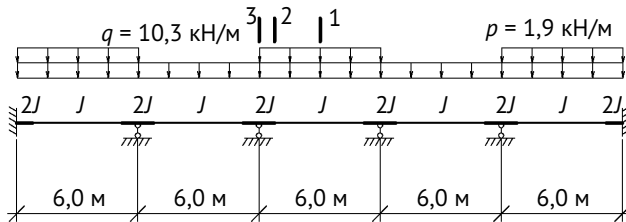
Статическая схема балки
Профиль балки: [16, $A = 18,1 \text{ см}^2$, $W = 93,8 \text{ см}^3$, $I = 750 \text{ см}^4$



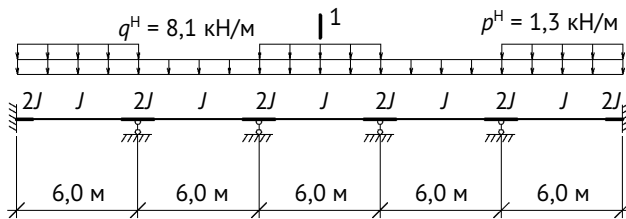
Расчетные схемы



Цель расчета: усилия в сечениях 1, 2, 3



Цель расчета: усилия в сечениях 1, 2, 3



Цель расчета: прогиб в сечении 1

Рис. 6. Статическая и расчетные схемы балки

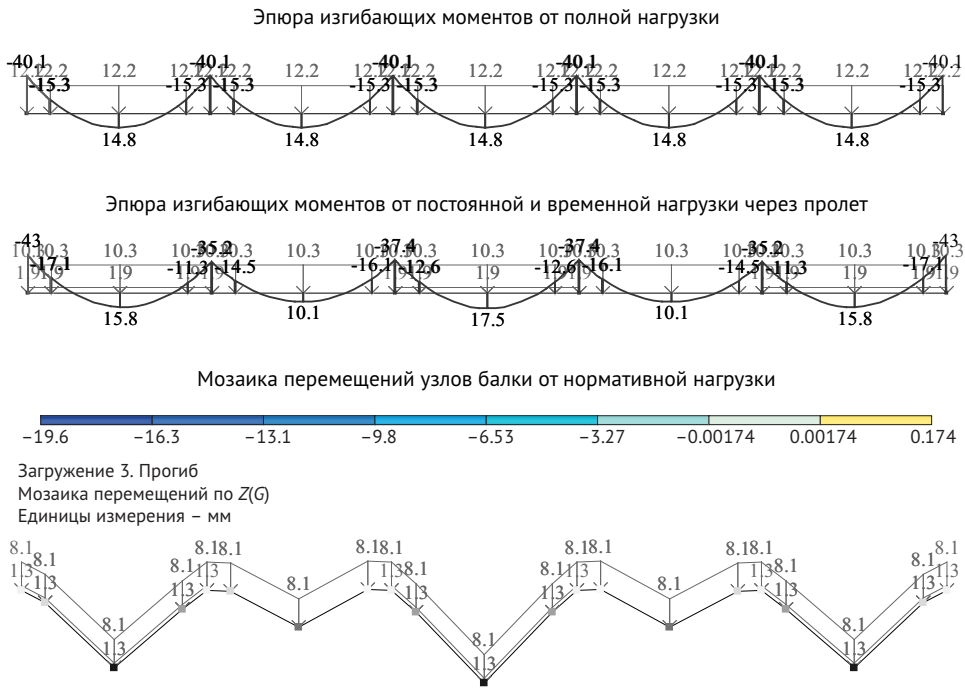


Рис. 7. Результаты расчета на программном комплексе «Лира 9.6»

Литература

1. Ягофаров Х., Ягофаров А.Х., Разумов А.Б. Оптимизация консольно-балочных систем // Вестник УрГУПС, 2011. № 1(9). — С. 42–65. ISSN 2079-0392.
2. Ягофаров А. Х., Ягофаров Х., Разумов А. Б. Преобразование системы двухконсольных балок в многопролетную неразрезную балку переменной жесткости // Вестник УрГУПС, 2013. № 4 (20). — С. 58–73. ISSN 2079-0392.
3. СП 16.13330.2011. Стальные конструкции. Актуализированная редакция СНиП II-23–81*/ Минрегион России. М. : 2011. 173 с.
4. СП 20.13330.2011. Нагрузки и воздействия. Актуализированная редакция СНиП 2.01.07–85*. Минрегион России. М. : 2010. 79 с.
5. Справочник проектировщика промышленных, жилых и общественных зданий и сооружений. Расчетно-теоретический / ред. А. А. Уманский. Госстройиздат. М., 1960. — 1040 с.

References

1. Yagofarov A. Kh., Yagofarov Kh., Razumov A. B. Preobrazovanie sistemy dvukhkonsolnykh balok v mnogoproletnuyu nerazreznuyu balku peremennoy zhestkosti [Transformation of dual console system into multiple-span continuous beam of variable stiffness] // Herald of USURT, 2013. № 4 (20). — P. 58–73. ISSN 2079-0392.
3. SP 16.13330.2011. Stalnye konstrukcii. Aktualizirovannaya redakciya SNiP II-23-81* [Steel structures. Updated edition of SNiP II-23-81] / Minregion Rossii. M., 2011. 173 p.
4. SP 20.13330.2011. Nagruzki i vozdeystviya. Aktualizirovannaya redakciya SNiP 2.01.07-85*. [Loads and impacts. Updated edition of SNiP 2.01.07-85]. Minregion Rossii. M., 2010. 79 p.
5. Spravochnik proektirovshchika promyshlennykh, zhilykh i obschestvennykh zdaniy i sooruzheniy. Raschetno-teoreticheskiy [Analytical and theoretical reference book of designer of industrial, residential and public buildings] / edited by A. A. Umanskiy. Gosstroyizdat. M., 1960. — 1040 p.

Статья сдана в редакцию 24 января 2014 года

Аспирантская тетрадь

УДК 331.452: 316.454.3: 614.87.2

А. Ю. Инжеватова

Снижение уровня производственного травматизма за счет повышения надежности работника

UDC 331.452: 316.454.3: 614.87.2

A. Yu. Inzhevatova

Reduction of occupational injury rate by improving reliability of workers

Аннотация

Проведен анализ производственного травматизма в ОАО «РЖД» и установлено, что основная причина травмирования — организационного характера, в том числе человеческий фактор. Рассмотрены понятия «человеческий фактор» и «надежность работника» в системе «человек – машина – окружающая среда». Предложены основные способы уменьшения воздействия человеческого фактора на производственный процесс. Большое внимание уделено способам повышения надежности работника, а именно: системам профотбора и обучения работников. Рассмотрены основные группы критериев профотбора с точки зрения взаимодействия в системе «человек – машина – окружающая среда». Предлагается проводить профотбор по двум группам критериев; к первой группе относятся квалификационные характеристики, ко второй — критерии, характеризующие адекватное поведение в трамвоопасной производственной среде. В качестве примера профотбора по таким критериям приведен тест, который оценивает склонность человека к риску и помогает сформировать так называемые группы риска.

Предложена разработка единой концепции мероприятий по учету человеческого фактора и профилактике производственного травматизма на производстве.

Ключевые слова: производственный травматизм; человеческий фактор; «человек – машина – окружающая среда»; надежность работника; профпригодность; критерии профотбора; склонность к риску.

Summary

Analysis of occupational injuries in JSC RZD revealed that the main cause of injury is of organizational nature, including the human factor. The concepts of «human factor» and «worker reliability» are analyzed in the «human – machine – environment» system. Basic ways to reduce the impact of human factors on the production process are proposed. Much attention is paid to methods of increasing reliability of employees, namely professional selection and worker training systems. Main groups of professional selection criteria are considered in terms of interaction in the system «human – machine – environment». It is recommended to carry out professional selection based on two criteria groups; the first one consists of qualifying characteristics, the second one includes criteria characterizing adequate behavior in traumatic production environment. An example of professional selection using such criteria is given as a test that evaluates human propensity to risk and helps to form the so-called risk groups.

Development of a unified concept of activities to take into account human factors and prevent occupational injuries in the workplace is proposed.

Keywords: industrial injuries, human factor, «human – machine – environment»; reliable employee; professional suitability, professional selection criteria; propensity to risk.

Анастасия Юрьевна Инжеватова, аспирант; кафедра «Техносферная безопасность» Уральского государственного университета путей сообщения. Екатеринбург, Россия. E-mail: ainzhievatova@mail.ru.

Anastasia Yuryevna Inzhevatova, graduate student, Technospheric Safety Department, Ural State University of Railway Transport, Ekaterinburg, Russia. E-mail: ainzhievatova@mail.ru

Снижение уровня производственного травматизма и профилактика несчастных случаев в подразделениях ОАО «РЖД» — одна из наиболее актуальных проблем. Проводимая в ОАО «РЖД» работа по охране труда и созданию безопасных рабочих мест позволила в 2012 г. сохранить тенденцию к снижению случаев производственного травматизма (рис. 1).

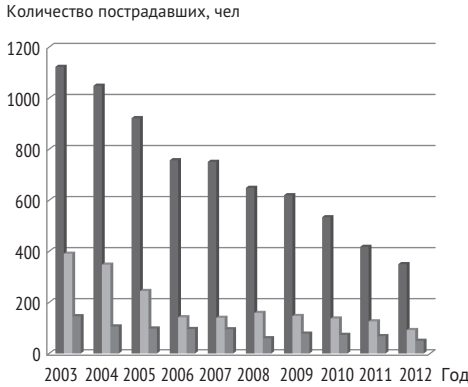


Рис. 1. Динамика производственного травматизма в ОАО «РЖД» за 2003–2012 гг. [1]

- — всего пострадавших;
- — с тяжелым исходом;
- — со смертельным исходом

Причиной большинства случаев травматизма является человеческий фактор; об этом свидетельствуют данные статистики по травматизму.

Согласно отчету ОАО «РЖД» о состоянии условий и охраны труда, за 2012 г. травмировано 358 работающих. Распределение причин несчастных случаев на производстве в ОАО «РЖД» приведено на рис. 2.

Основными остаются причины организационного характера (82,8%), в том числе человеческий фактор (рис. 3).

Значительная доля травм происходит из-за неудовлетворительной организации и контроля за безопасным производством работ, нарушений работниками структурных подразделений трудовой, производственной и технологической дисциплины. Все эти причины можно считать проявлениями человеческого фактора на производстве.

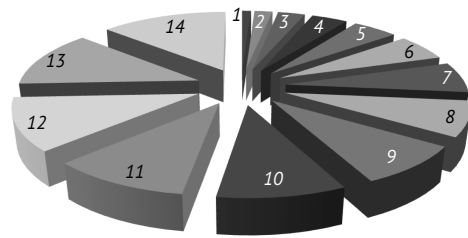


Рис. 2. Распределение причин несчастных случаев на производстве в ОАО «РЖД» в 2012 г. [1]

1 — неудовлетворительное содержание зданий и сооружений (0,7 %); 2 — нарушения при эксплуатации (1,5 %); 3 — конструктивные недостатки машин (1,5 %); 4 — использование работающего не по специальности (2,4 %); 5 — эксплуатация неисправных машин и механизмов (2,6 %); 6 — недостатки в обучении безопасным приемам труда (3,3 %); 7 — несовершенство технологического процесса (3,5 %); 8 — неприменение средств индивидуальной и коллективной защиты (4,2 %); 9 — неудовлетворительное содержание рабочих мест (4,8 %); 10 — нарушение правил дорожного движения (9,1 %); 11 — прочие причины (12,4 %); 12 — нарушение технологического процесса (13,0 %); 13 — нарушение трудовой и производственной дисциплины (18,5 %); 14 — неудовлетворительная организация и контроль за производством работ (22,5 %)



Рис. 3. Причины несчастных случаев в ОАО «РЖД» в 2012 г., % [1]

«Человеческий фактор» — многозначный термин, описывающий возможность принятия человеком ошибочных или нелогичных решений в конкретных ситуациях [2]. Это определение вкладывает в понятие «человеческий фактор» негативный смысл и характеризует его только как причину неудовлетворительной работы человека. С другой стороны, человеческий фактор можно рассмотреть как показатель надежности

работника в системе «человек – машина – среда». В этом случае человеческий фактор включает в себя комплексную оценку взаимосвязи психофизиологических особенностей работника, его способности к адаптации в сложных производственных ситуациях (надежности работника), надежности оборудования и факторов окружающей среды.

Надежность — свойство объекта сохранять во времени в установленных пределах значения всех параметров, характеризующих способность выполнять требуемые функции в заданных режимах и условиях применения, технического обслуживания, хранения и транспортирования [3]. Этот термин относится к надежности технических средств. По аналогии, он может применяться и в отношении работника, но с некоторыми поправками. Надежность работника — совокупность психофизиологических свойств работника, обеспечивающих выполнение требуемых функций в системе «человек — машина — окружающая среда». Решение проблем надежности работника включает оценку психофизиологических особенностей работника с учетом требований конкретной управляемой системы, а также изучение закономерностей формирования его безошибочных и своевременных действий при работе. Надежность работника является важным компонентом человеческого фактора.

Понятие «человеческий фактор» характеризуется чрезвычайной многогранностью и сложностью. На практике его применение сводится, как правило, к поиску самых простых, очевидных и грубых его проявлений. Например, считается, что наиболее частой причиной нарушения требований охраны труда в организации является незнание работником этих требований, а такие возможные причины, как неудовлетворительный инструктаж по охране труда, недостаточная информированность о производственных рисках и их последствиях, психофизиологические особенности работника часто не принимаются во внимание.

Снизить уровень производственного травматизма в системе «человек – машина – окружающая среда» можно двумя способами:

- повысить надежность технических средств, которые обеспечивают безаварийную работу железнодорожного транспорта и улучшение условий труда;
- повысить надежность работника, совершенствовать системы профотбора и подготовки работников.

Многие исследования и технические разработки позволяют решать проблемы надежности работника в системе «человек – машина – окружающая среда».

На железной дороге широкомасштабно внедрены и действуют уникальные информационные системы:

- телемеханическая система контроля бодрствования машиниста (ТСКБМ), функционирующая на основе новой технологии контроля состояния человека. Система не допускает засыпания машиниста, а при снижении уровня активного бодрствования ниже критического включает функцию экстренного торможения поезда. Все поставляемые на железные дороги России новые локомотивы, в том числе моторвагонного подвижного состава («Сапсан», «Дезиро» и др.) оборудуются системой ТСКБМ;
- комплекс универсальный психодиагностический (УПДК-МК), предназначен для профотбора машинистов по психофизиологическим параметрам и выявления лиц, непригодных к профессии;
- информационно-аналитическая автоматизированная система предрейсовых осмотров (АСПО), которая позволяет не допускать к рейсу работников, принадлежащих к группе повышенного риска. Система объединяет более 1700 терминалов. Корпоративная база данных собирает результаты предрейсовых осмотров работников локомотивных бригад всех дорог и содержит более 100 млн обследований [4].

Несмотря на наличие таких систем, по-прежнему существует объективная потребность в снижении производственного травматизма за счет повышения надежности работника.

Если рассматривать человеческий фактор с позиции надежности человека, т.е. как взаимосвязь личностных качеств работника, то основные компоненты человеческого фактора:

- психофизиологический (состояние здоровья, работоспособность, выносливость, способности и склонности человека, тип нервной системы и другие физиологические параметры);
- социально-демографический (возраст, пол, семейное положение и др. факторы);
- квалификационный (уровень образования, объем специальных знаний, трудовых навыков, интеллект, творческие способности, профессионализм);
- личностный (отношение к труду, дисциплинированность, активность, ценностные ориентации, мотивированность, нравственность).

Большое количество несчастных случаев возникает из-за неудовлетворительной организации работ, поэтому следует обратить особое внимание на профотбор и обучение работников, в том числе руководителей. По статистике, гибнут и травмируются в основном высококвалифицированные специалисты. Работает формула: нарушение правил безопасности из-за переоценки своих возможностей и опыта плюс недооценка внешних факторов. Это действует более чем в половине случаев смертельного травматизма [5]. Поэтому обучение руководителей и специалистов должно проходить по актуализированному методикам с определенной периодичностью, в некоторых случаях необходим пересмотр этих сроков в сторону уменьшения периода между предыдущим и последующим обучением и проверкой знаний.

Кроме этого, необходимо уделить особое внимание профотбору работников.

При приеме на работу человека необходимо не только оценивать его профпригодность, но также анализировать мотивацию, психологические и психофизиологические качества.

Поэтому предлагается проводить профотбор по двум группам критериев. К первой группе относятся требования, необходимые для достижения высокого уровня профессиональной успешности, так называемые квалификационные характеристики. Ко второй группе — критерии, характеризующие адекватное поведение в травмоопасной производственной среде. Они могут не являться профессионально значимыми с точки зрения выполнения самой работы, но важны для сохранения здоровья и профессионального долголетия. Эти критерии в большинстве случаев связаны с риском и некоторыми личностными характеристиками. К таким критериям можно отнести самоконтроль, стрессоустойчивость, мотивационные установки, склонность к риску. Следовательно, при профотборе на опасные работы целесообразно анализировать результаты тестов, заданий, компьютерных программ, оценивающих перечисленные показатели, в том числе индивидуальную склонность к риску.

Существует большое количество компьютерных программ и диагностических комплексов для психофизиологического отбора на профессии с повышенной опасностью. Например, лабораторией физиологии и психологии труда (НИИ охраны труда, Екатеринбург) разработана компьютерная программа, которая оценивает склонность человека к риску и помогает сформировать так называемые группы риска на предприятии.

Суть программы заключается в следующем. Испытуемому предъявляются выдвигающиеся поочередно на мониторе прямые линии разной длины, движущиеся с постоянной скоростью. Испытуемый должен остановить линию до ее окончания нажатием клавиши. Каждой линии присваивается определенное количество баллов, пропорциональное ее длине. Предварительно

испытуемому ставится задача набрать максимальное количество баллов, при этом сообщается о порядке начисления баллов, а также указывается, что если он не успел нажать на клавишу до окончания линии, то баллы данной линии вычитаются из набранного результата.

В результате склонность к риску оценивают следующим образом: как более выраженную в случае, если набранная испытуемым средняя по всем линиям сумма баллов без учета знака составляет более 75 % от средней суммы баллов всех линий; если набранная средняя сумма баллов без учета знака меньше 35 % от средней суммы баллов всех линий, то это поведение испытуемого характеризуют как осторожное. Для оценки избегания наказания в задании вводят короткие линии, длина которых в пять-десять раз короче остальных; их баллы не суммируют с набранным результатом, а для оценки реакции избегания наказания определяют сумму баллов ответов на линии, следующими за короткими, и относят их к набранной сумме баллов [6].

Такой способ позволяет дифференцировать лиц, склонных к риску, и лиц с осторожным поведением. Способ может найти широкое применение при психофизиологическом профессиональном отборе, в частности, для работников опасных профессий и руководителей работ.

Минимизация уровня производственного травматизма возможна только при наличии в трудовых коллективах квалифицированных кадров, прошед-

ших соответствующее обучение по охране труда. В программы обучения по охране труда должны включаться вопросы, связанные с психологией безопасности, надежностью и другие, учитывающие все элементы системы «человек – машина – среда».

Необходима разработка единой концепции мероприятий по учету человеческого фактора в профилактике производственного травматизма. Ее основными принципами должен быть учет всех аспектов человеческого фактора и направленность на профилактику несчастного случая. Она должна включать:

- сбор информации от работающих о состоянии охраны труда на их рабочих местах и ее анализ в специальных комитетах по охране труда с участием самих работающих;
- совершенствование обучения охране труда, в том числе учебного материала, инструктажа, инструкций и др.;
- систему мероприятий, стимулирующих положительную мотивацию к безопасной работе;
- психофизиологический отбор на травмоопасные виды работ;
- обучение руководителей всех уровней основам психологии безопасности.

Для полного учета влияния человеческого фактора нужен новый подход — рассмотрение безопасности как состояния среды профессиональной деятельности. Такой подход предполагает взаимосвязь технических средств (объекта), человека (субъекта) и условий работы. ■

Литература

1. Анализ состояния условий и охраны труда в ОАО «РЖД» за 2012 год : отчет ОАО «РЖД». М., 2013. 102с.
2. Большая советская энциклопедия: электронная энциклопедия. URL : <http://bse.sci-lib.com/> (дата обращения: 10.10.2013).
3. СТО РЖД 02.042-2011. Управление ресурсами на этапах жизненного цикла (УПРАН), утвержден и введен в действие распоряжением ОАО «РЖД» от 22 марта 2012 г. № 560р. URL: <http://scbist.com/osty/17169-sto-rzhd-02-042-2011-upravlenie-resursami-riskami-nadezhnostyu-na-etapah-zhiznennogo-cikla-urran-sistemy-ustroistva-i-oborudovanie-hozyaistva-avtomatiki-i-telemehaniki.html> (дата обращения: 1.12.2013).
4. РЖД : электронный портал. URL: <http://www.rzd.ru> (дата обращения : 10.10.2013).
5. Гудок : электронная газета. 2013. URL: <http://www.gudok.ru/newspaper> (дата обращения: 10.10.2013).
6. Компьютерный тест «Способ оценки склонности человека к риску» : пат. 2013127747/20 (041368) Рос. Федерации.

References

1. Analiz sostoyaniya usloviy i okhrany truda v OAO «RZhD» za 2012 god: otchet OAO «RZhD» [Analysis of working conditions and safety in JSC RZD in 2012: Report of JSC RZD]. М., 2013. 102 p.
2. Bolshaya sovetskaya enciklopediya : elektronnyaya enciklopediya. [Great Soviet Encyclopedia: electronic encyclopedia]. URL: <http://bse.sci-lib.com/> (date accessed: 10.10.2013).
3. STO RZhD 02.042-2011. Upravlenie resursami na etapakh zhiznennogo cikla (URRAN), utverzhden i vveden v deystvie rasporyazheniem OAO «RZhD» ot 22 marta 2012 g. № 560r. [Lifecycle resource management (URRAN), approved and put into effect by the Order № 560r of JSC RZD on March 22, 2012] URL: <http://scbist.com/osty/17169-sto-rzhd-02-042-2011-upravlenie-resursami-riskami-i-nadezhnostyu-na-etapah-zhiznennogo-cikla-urran-sistemy-ustroystva-i-oborudovanie-hozyaistva-avtomatiki-i-telemehaniki.html> (date accessed: 1.12.2013).
4. RZhD: elektronny portal. [RZD : electronic portal]. URL: <http://www.rzd.ru> (date accessed: 10.10.2013).
5. Gudok: elektronnyaya gazeta. [Gudok : electronic newspaper] 2013. URL: <http://www.gudok.ru/newspaper> (date accessed: 10.10.2013).
6. Kompyuternyy test «Sposob ocenki sklonnosti cheloveka k risku» [Computer test: «Method for estimating human propensity to risk»] : pat. 2013127747/20 (041368) Ros. Federacii.

Статья сдана в редакцию 27 декабря 2013 года

В выпуске «Вестника УрГУПС», № 4(20) на стр. 74 вместо

А. О.Клементьев, М.Н.Смердов. Оценка несущей способности железобетонных пролетных строений, армированных композитной арматурой» следует читать: А. О.Клементьев, М.Н.Смердов. Обзор пролетных строений, армированных композитной арматурой. Опыт применения неметаллической композиционной арматуры в железобетонных пролетных строениях мостов.

Название изменено по настоятельной просьбе одного из авторов.

А. В. Барковский

Эволюция партийной избирательной системы современной России

A. V. Barkovsky

Evolution of the party electoral system in today's Russia

Аннотация

Анализ партийной и избирательной системы современной России позволяет оценить достоинства и недостатки изложенных политических реформ.

Распад СССР на отдельные государства повлиял на основы партийного строительства. Отсутствие партийной кооперации и сотрудничества во времена СССР привели к сложностям при формировании законодательных органов власти в РФ. Партиям пришлось в короткие сроки приспосабливаться к новым сформировавшимся условиям политической жизни. Далеко не все партии смогли достойно выдержать подобную конкуренцию.

На процедуру выборов, в частности губернаторов, повлияли различные общественные, в том числе и мировые проблемы. Возникающая потребность общества участвовать в различных избирательных процедурах привела к неоднозначной реакции представителей органов власти.

Тенденция развития оппозиционных структур демонстрирует факт появления в России новой (пока слабой) политической силы. Перспективы влияния оппозиции на политическую систему РФ зависят от возможностей, предоставляемых государством. Властные структуры подобные возможности ужесточают.

Ключевые слова: выборы, партии, губернаторы, избирательное законодательство.

Summary

Analysis of the party and electoral system in today's Russia allows to evaluate the advantages and disadvantages of the presented political reforms.

Collapse of the USSR into separate states affected the basis of party building. Lack of party cooperation and collaboration during the USSR times led to difficulties in formation of legislative authorities in the Russian Federation. The parties had to quickly adapt to the new political environment. Not all the parties were able to properly withstand the competition.

The election procedure, specifically governor elections, was influenced by various public issues, including the global ones. Emerging needs of the society to take part in various electoral procedures led to a mixed reaction of the government.

Development trend of opposition structures demonstrates the emergence of a new (still weak) political force in Russia. Prospects for the opposition's influence on the political system in Russia depend on the capabilities provided by the state. The government is curtailing such opportunities.

Keywords: elections, parties, governors, electoral legislation.

Андрей Вячеславович Барковский, старший преподаватель; кафедра «Философия и история» Уральского государственного университета путей сообщения; Екатеринбург, Россия. E-mail: abarkovski@usurt.ru.

Andrey Vyacheslavovich Barkovsky, Senior Lecturer, Philosophy and History Department, Ural State University of Railway Transport, Ekaterinburg, Russia. E-mail: abarkovski@usurt.ru.

Отсутствие конкуренции и интеграционных процессов в советской партийной номенклатуре привело к нежеланию или неумению представителей отечественной партийной элиты эффективно решать возникающие проблемы.

Реальной интеграции политических партий в систему институтов государственной власти России способствовало начало деятельности Государственной думы, первые выборы в которую состоялись 12 декабря 1993 года. Успех на выборах Либерально-демократической партии России (23,5%) был для многих неожиданным. На втором месте оказался пропрезидентский блок «Выбор России» (15%), выступавший под лозунгом проведения демократических реформ. Третье и четвертое места заняли коммунисты (13%) и примыкавшая к ним Аграрная партия России (8,5%) [1].

На выборах депутатов второй Госдумы (декабрь 1995 г.) приняло участие 43 избирательных объединения. Однако преодолеть 5%-ный порог, установленный законом, смогли всего четыре из них. Итоговый список выглядел следующим образом: Коммунистическая партия РФ (22,3%), ЛДПР (11,2%), Движение «Наш дом — Россия» (10,1%), «Яблоко» (6,9%) [1].

Слабеющий политический режим в течение нескольких последних лет правления Б. Н. Ельцина не был в состоянии ответить на исходивший от общества запрос о сильной власти. В этой ситуации в борьбу за места в парламенте кроме КПрФ, «Яблока» и ЛДПР включились новые партийные структуры — правая партия Союз правых сил и две партии власти — движение «Единство» и блок «Отечество — вся Россия». 19 декабря 1999 года состоялись выборы депутатов Госдумы третьего созыва. В них приняли участие 26 избирательных объединений и блоков, что явилось отражением тенденций к сокращению числа партий — участников избирательных кампаний, к созданию крупных межпартийных блоков и строительству на их основе массовых

партийных структур. Пятипроцентный барьер преодолели КПрФ — 24,29% (фракция — 88 депутатов); межрегиональное движение «Единство» — 23,32% (фракция — 83); блок «Отечество — вся Россия» — 13,33% (фракция — 47); блок «Союз правых сил» — 8,52% (фракция — 32); «Блок Жириновского» — 5,98% (фракция ЛДПР — 16); объединение «Яблоко» — 5,93% (фракция — 21) [1].

После принятия в 2001 году ФЗ «О политических партиях» наблюдается тенденция к снижению политической конкуренции.

Для партий в ходе их регистрации и выдвижения на выборах созданы неравные условия и сложнейшие бюрократические барьеры, позволяющие выжить только строго определенным и буквально зачищать политическое поле от партий оппозиционных или несогласованных (несистемных).

8 июля 2000 года в самом первом своем Послании Федеральному Собранию президент РФ В. В. Путин сказал: «России необходимы партии, которые пользуются массовой поддержкой и устойчивым авторитетом... Опыт показал, что чиновничьи партии погибают мгновенно, как только попадают из тепличных условий в конкурентную среду» [2].

Однако за прошедшие годы эта совершенно правильная президентская установка в условиях новой политической действительности трансформировалась в свою противоположность — 1 декабря 2001 года была образована новая чиновничья партия «Единая Россия». Именно для того, чтобы не допустить ее гибели, и были созданы особо благоприятные тепличные условия вплоть до искусственной ликвидации конкурентной среды.

К политической партии предъявляются достаточно жесткие требования. Необходимое условие для ее создания — соответствие количества членов политической партии нормам; ФЗ «О политических партиях» (2001 г.) введена минимальная численность партии — 10 тыс. чел., далее ее повысили до 50 тыс.

Результат — снижение количества партий в России. На рубеже XX–XXI вв. России насчитывалось 95 партий федерального значения и более 1,5 тыс. партий, имеющих региональный статус. В 1995 г. правом участия в парламентских выборах располагали 250 партий и объединений, а в 1999 г. — 139. На середину сентября 2003 г. Минюстом было зарегистрировано 48 политических партий. Право на участие в выборах в Госдуму в декабре 2003 г. получили 44 политические партии и 20 общественных объединений, отвечающих требованиям закона. В 2007 г. в выборах могли участвовать всего 16 политических партий [3].

На наш взгляд, цель снижения количества зарегистрированных партий — изменить представления населения о партиях. До реформы многие граждане путались в целях и задачах различных партий. Реформа должна была интегрировать партии под единые идеологические принципы, соответственно упростить избирателю процесс выбора между ними. В реальности партийная реформа создала преференции для развития одной партии. Оппозиционные политические структуры не смогли объединиться и поэтому потеряли своих представителей в законодательных собраниях страны.

Новый Закон «О внесении изменений в законодательные акты Российской Федерации о выборах и референдумах и иные законодательные акты Российской Федерации» (июль 2005) поднял минимальную планку — для прохождения в законодательные собрания партиям будет необходимо набрать не менее 7% голосов, а не 5%, как было раньше. Политическая система В. Путина не только снизила общее количество партий, но и создала сложные условия вхождения выжившим партиям в законодательную власть. Также новые правила исключают возможность кандидатам в депутаты по одномандатным округам избираться в парламент. Получается, что у электората исчезла возможность получить в парла-

менте «личного» депутата, отстаивающего позиции конкретных избирателей.

К сожалению, не все теоретические элементы пропорциональной избирательной системы были внедрены на практике в России. В частности:

- наличие одномандатных округов: законом были ликвидированы;
- система способна обеспечить высокий уровень партийного представительства в парламенте (общее количество партий в законодательном органе РФ снизилось);
- имеет место состязание кандидатов внутри одной партии, избиратель получает возможность персонально оценить каждого из них: в средствах массовой информации фигурировали только партийные лидеры (остальные члены партий не занимались активной агитацией);
- множественность кандидатов означает, что у избирателей всегда есть выбор в том смысле, к кому из них «нести свои проблемы» (мало кто из избирателей знает фамилию своего «родного» депутата).

Выборы в Госдуму (декабрь 2007-го и декабрь 2011 гг.) проходили только по партийным спискам, без участия депутатов-самовыдвиженцев. Безусловно, выборы в парламент по партийным спискам менее прозрачны, так как построены на авторитете партийного лидера. Так, в декабре 2007 г. лидером партийного списка единороссов был В. В. Путин, а в декабре 2011 г. — Д. А. Медведев. Большинство избирателей отдавали свои голоса, видя в избирательном бюллетене напротив названия партии фамилии представителей российского тандема. А стали ли В. Путин и Д. Медведев депутатами Госдумы? Нет. Они отдали свои мандаты другим представителям партийного списка. И процесс отказа от мандатов не ограничивался Путиным и Медведевым. Например, по итогам выборов 4 декабря 2011 года в партийном списке «Единой России» 89 человек отказались от своих мандатов. Другими словами, избиратели голосовали за одних представителей

партийного списка, а в действительности депутатами могли стать (и стали) другие.

Избранный в 2008 г. президентом РФ Д. Медведев высказал в своем Послании Федеральному Собранию (5 ноября 2008) идею поэтапного снижения планки минимальной численности политической партии для ее государственной регистрации, а затем внес в Госдуму РФ законопроект, предусматривающий снижение минимального порога численности политических партий. До 1 января 2010 года — не менее 50 тыс. членов политической партии, с 1 января 2010 г. до 1 января 2012 г. — не менее 45 тыс., с 1 января 2012 г. — не менее 40 тыс [4].

Также Д. Медведев внес в Госдуму законопроекты об изменении сроков полномочий: президента с четырех до шести лет, а Госдумы — с четырех до пяти лет [5]. Увеличение сроков полномочий объясняется необходимостью проведения реформ в различных сферах жизни общества и увеличением временного интервала в сроках избрания депутатов и президента РФ.

Своим решением Медведев удивил многих граждан. В. Путин в течение первых двух сроков своего президентства отказывался вносить изменения в действующую Конституцию РФ, хотя многие уговаривали его сделать это. После ухода с поста президента В. Путин положительно оценил поправки в Конституцию РФ, предложенные Д. Медведевым. Многие избиратели связали реакцию В. Путина на вводимые изменения желанием баллотироваться на третий срок президентства. Мнение электората подтвердилось в сентябре 2013 года. На съезде партии «Единая Россия» Д. Медведев объявил о нежелании баллотироваться в президенты. С позиции сегодняшнего дня можно предположить, что Путин хотел изменить Конституцию, но не своими руками.

Выборы в Законодательное собрание РФ (декабрь 2012) вызвали бурю протеста в российском обществе. Нынешний премьер-министр Д. А. Медведев

в ответ на требования общества в конце своего президентского срока высказался за очередное реформирование партийной системы.

Ключевое положение этой реформы, состоящее в сокращении требования о численности партий с 40 тыс. до 500 членов, вошло в новую редакцию ФЗ «О политических партиях». С 2016 г. (напомним, в 2012 г. еще действовал 7%-ный барьер) также снижается минимальный процентный барьер для прохождения депутатов в Госдуму — с 7 до 5%. Принято сформулированное Д. А. Медведевым предложение, чтобы зарегистрированные партии могли принимать участие в выборах без сбора подписей.

Следует отметить, что в ходе обсуждения законопроектов представители парламентских партий — как «Единой России», так и оппозиции — выступили за увеличение минимальной численности партий. Однако администрация бывшего президента Д. Медведева проявила достаточную твердость и провела реформу по первоначальному варианту.

В итоге, по состоянию на 21 сентября 2013 года Минюстом зарегистрированы 73 партии [6]. Можно предположить, что увеличение их численности с каждым годом будет замедляться, а в перспективе будет сокращаться. Среди множества партий возникли так называемые партии-однодневки — не ставят цель получения власти, объединение членов происходит на основе жизненных интересов (партии «Автомобильная Россия», «Женский диалог», «Города России» и т.д.). На фоне упрощения процедуры регистрации партий возросло их общее количество, но в момент ужесточения конкуренции между ними, возможно, часть партий свернут свою политическую деятельность.

Безусловно, увеличение количества политических партий говорит о демократической тенденции в развитии государства. Но частая смена вектора развития партий не создает основу для их успешного функционирования. На наш взгляд, целью создания

партий в современной России является интеграция граждан на основе общей идеи. Однако зачастую партийное руководство (в особенности малочисленных партий) не всегда стремится получить властные полномочия. В итоге партии создаются, но популярности среди электората они не имеют.

В. В. Путин, избранный на третий срок президентства в начале марта 2013 г., внес новый проект ФЗ «О выборах депутатов Госдумы» [7]. Он предложил отказаться от пропорциональной системы выборов (когда все 450 депутатов избираются по партспискам) и перейти к смешанной (225 — по спискам и 225 — по одномандатным округам).

На практике смешанная избирательная система:

- предоставляет избирателю возможность выбрать от одномандатного округа кандидата одной партии и в то же время проголосовать за другую партию;
- препятствует достижению более высокого уровня представительства одной партии при возвращении одномандатных округов;
- содействует централизации и усилению партий, поскольку именно они решают, кто баллотируется от округа, а кто включается в партийные списки.

В президентской редакции закона есть некоторые особенности: например, не предусмотрены избирательные блоки и наложено вето на участие в выборах для всех, кто когда-либо был осужден за тяжкие или особо тяжкие преступления. Учитывая изложенные в законе изменения о порядке избрания партий, можно предположить, что структура парламентских фракций по результатам следующих выборов депутатов станет более представительной. Таким образом, по результатам следующих парламентских выборов может исчезнуть простое большинство одной партии (например, «Единой России»).

Выборы в региональные и городские законодательные собрания в сентябре 2013 г. наметили следующую тенден-

цию. Депутаты-одномандатники, избирающиеся от конкретного района города или региона, при прохождении в законодательные органы начинают процесс присоединения к различным парламентским фракциям. Но это имеет место только в регионах.

Так, например, в сентябре 2013 г. в Екатеринбурге прошли выборы депутатов Городской думы по смешанной избирательной системе. Избрано 36 депутатов (18 по партийным спискам, 18 — по одномандатным округам) [8]. В новый состав Думы вошли представители шести партий: «Единая Россия» (21 депутат), «Справедливая Россия» (7 депутатов), «Гражданская платформа» (3 депутата), КПРФ (2 депутата), «Российская партия пенсионеров за справедливость» (2 депутата), ЛДПР (1 депутат). После избрания 15 из 18 депутатов, избранных по одномандатным округам, вступили в коалицию с «Единой Россией», образовав в Екатеринбургской городской думе парламентское большинство [9]. Наличие парламентского большинства означает невозможность принятия меньшинством какого-либо решения без поддержки представителей партии власти (партии меньшинства могут создать коалицию и лоббировать законопроекты, коалиции же меньшинства потребуется поддержка партии большинства).

В октябре 2013 г. депутаты Госдумы приняли — пока еще во втором чтении — новую избирательную инициативу, касающуюся выборов депутатов законодательных собраний Москвы и Санкт-Петербурга [10]. В этих субъектах Федерации предлагается проводить выборы только по одномандатным округам, без применения на выборах партийных списков. Однако эксперты не исключают, что в третьем чтении в тексте законопроекта может появиться поправка, обязывающая ввести изложенные новации не только в Москве и Санкт-Петербурге, но и в других субъектах РФ.

Возникает предположение, что подобное нововведение связано со снижением рейтинга «Единой России». При

создании коалиции с депутатами, избранными по одномандатным округам, партии власти, возможно, будет легче получить парламентское большинство в двух крупных мегаполисах РФ. Ситуация на выборах депутатов Екатеринбургской городской думы 8 сентября 2013 г. подтверждает такое предположение.

Процесс развития действующего избирательного законодательства направлен на сохранение в стране партии, имеющей большинство в законодательных органах регионов и в Федерации в целом.

Немаловажным событием в избирательной системе страны стала отмена выборов руководителей регионов. На наш взгляд, этому послужило социальное явление, которого ранее не было в нашей стране, — терроризм.

Терроризм в России как глобальная проблема обострился в начале двухтысячных. В целях борьбы с этим явлением политическое руководство страны осуществило ряд серьезных реформ в избирательном законодательстве, в частности внесена законодательная инициатива об отмене прямых выборов руководителей субъектов РФ. Прямые выборы губернаторов предложено заменить референдумом членов законодательных собраний о доверии кандидату на эту должность [11]. Такие изменения в структуре избирательной системы функционировали до 1 июня 2012 г.

Такая инициатива направлена на усиление борьбы и искоренение терроризма, а действенным механизмом должно послужить укрепление властной вертикали и повышение роли и ответственности законодательных (представительных) и исполнительных органов государственной власти регионов России.

Предложенные в те годы инициативы имели положительные аспекты: политические процессы в стране стали более предсказуемыми, что привело к большей политической стабильности; партия, получившая большинство мандатов депутатов на выборах

в законодательные собрания субъектов РФ, приобретала возможность предложить президенту РФ три кандидатуры на пост губернатора, способные влиять на искоренение терроризма; появилась возможность избавиться от влияния на выборах губернаторов финансово-олигархических группировок (зачастую криминогенных), а потом и финансово-промышленных групп.

Назначение губернаторов в какой-то мере принесло положительные моменты в борьбе с терроризмом и экстремизмом, хотя справится с угрозой того и другого, в особенности в южных регионах страны, так и не удалось [12].

В тактике назначения губернаторов проявились и весьма негативные явления: некоторые губернаторы признавались нелегитимными; обнаружилась нехватка достойных и лояльных кандидатур, обусловленная «кадровым голодом». Процесс построения вертикали власти требовал от В. В. Путина постановку на ключевые руководящие позиции в регионах провластных одобряемых кандидатур. Решением этой проблемы стало создание списка, называемого «Кадровый резерв Кремля» [13].

Региональные выборы (сентябрь 2013 г.) Центральный избирательный комитет признал самыми конкурентными [14]. Получается, что ЦИК, хоть и косвенно, признал выборы в декабре 2011 г. и марте 2012 г. менее открытыми и прозрачными.

Под влиянием протестного движения зимой-весной 2012 г. и зарождающимися элементами гражданского общества в России бывший президент РФ Д. Медведев вносит на рассмотрение депутатам Госдумы ФЗ «О внесении изменений в Федеральный закон «Об общих принципах организации законодательных (представительных) и исполнительных органов государственной власти субъектов Российской Федерации» [15]. Согласно закону, населению РФ возвращается право избирать руководителей субъектов Федерации.

Демократичная процедура избрания глав субъектов РФ была поставлена

под сомнение введением так называемого муниципального фильтра — сбора подписей депутатов представительных органов муниципальных образований в поддержку кандидатов на должности глав регионов. Кандидатам требуется собрать подписи определенного количества муниципальных депутатов для выдвижения кандидатуры на выборах в губернаторы (в разных регионах их уровень составляет от 5 до 10%). На первый взгляд, вполне демократичное предложение. Однако при сохранении большинства на всех уровнях власти одной партии муниципальный фильтр может превратиться в продвижение представителя именно этой партии.

Безусловно, при таком подходе есть и положительные моменты, например, наличие муниципального фильтра кандидата. Муниципальные депутаты в России формально являются органом самоуправления и не входят в систему государственной власти. Однако собственные источники финансирования муниципалитетов покрывают лишь часть их бюджетных расходов, зачастую весьма незначительную. В результате работа местного самоуправления финансируется из регионального бюджета. При этом губернатор и региональные законодательные собрания оказываются ответственными за распределение средств между муниципалитетами.

Наметилась еще одна положительная тенденция при выборах мэра Москвы (сентябрь 2013 г.). При сборе подписей депутатов муниципальных собраний А. Навальный, желающий быть кандидатом в мэры, столкнулся с их отказом оставлять подписи в свою поддержку. Должность мэра позволяла укрепить позиции оппозиционера в Российской политической системе и частично реализовать идеи [16] хотя бы в одном субъекте Федерации.

С. Собянин, будучи временно исполняющим обязанности мэра Москвы во время избирательной кампании, попросил муниципальных депутатов поставить свои подписи за А. Навально-

го [17]. Участие оппозиционера в выборах было для Собянина фактором получения легитимной власти. Поэтому С. Собянин способствовал регистрации скандального блогера кандидатом в мэры Москвы.

Безусловно, такая ситуация может повториться в других субъектах РФ. Но количество таких случаев не будет массовым. Причина заключается в законопроекте о праве регионов отказываться от прямых выборов глав своих руководителей. Текст соответствующего закона рассматривают депутаты Госдумы [18].

В частности, по этому проекту российский регион может принять закон, в соответствии с которым губернатор будет избираться депутатами регионального парламента. Если регион решит отказаться от прямых выборов, то политические партии, представленные в региональном и федеральном парламентах, получают право представить президенту России по три кандидата. Глава государства направит три из них на рассмотрение регионального парламента, который одного из президентских кандидатов изберет на пост главы региона.

Изложенная новация в первую очередь интересна тем субъектам РФ, в которых преобладает население, исповедующее принципы мусульманской религии, и соответствующий национальный состав.

С учетом менталитета и мировоззренческих основ, гражданам некоторых субъектов РФ нет смысла выбирать руководителя региона. Депутаты Государственной думы продемонстрировали дифференцированный подход к выбору глав субъектов в зависимости от религиозного и национального состава. Представленная мера является менее демократичной, но при этом учитывает разнообразные интересы населения России.

В XXI в. в российском партийном и избирательном законодательстве наблюдается частая смена вектора направления деятельности. Учитывая апатичное отношение граждан РФ

к проводимой политике, возникла ответная реакция — нежелание разбираться в тонкостях изменений.

Любая реформа, особенно политическая, требует подготовки соответствующего общественного мнения. Мнение граждан Российское государство учитывает, но приспособление к партийным и избирательным новшествам происходит без участия населения. Насущные проблемы, (например внесение изменений в Конституцию, упразднение или введение выборов глав регионов и т.д.) в демократическом сообществе решаются путем общенародных референдумов.

Подобный, на первый взгляд простой способ решения проблемы, для российской власти является малоприменимым. Сложно объяснить причины. Можно предположить — отсутствие референдумов связано с нежеланием или даже страхом узнать мнение населения. Хотя прошедшие выборы демонстрируют явную поддержку граждан правящей верхушки власти. Надеемся, построение демократических ценностей в России будет проходить по общемировым стандартам, но в тоже время история страны показывает особый путь политического развития. ■

Литература

1. Результаты выборов депутатов Госдумы. URL: <http://www.rg.ru/2003/12/09/rezultaty.html> (дата обращения: 15.11.2013).
2. Выступление В. В. Путина при представлении ежегодного Послания Президента Российской Федерации Федеральному Собранию Российской Федерации 8 июля 2000 г. // Росс. газ. — 2000. — № 133.
3. Денисов С. А. Использование норм государственного (конституционного) права против оппозиции // Конституционное и муниципальное право, 2008. № 18. ISSN 1812-3767.
4. Барковский А. В. Партийная система России на рубеже 90–2000-х годов // Страницы истории России : сб. научн. трудов, 2013. С. 83–88.
5. Изменение сроков полномочий президента и парламента. URL: http://ria.ru/trend/term_office_president_12112008/ (дата обращения: 21.10.2013).
6. Список зарегистрированных политических партий. URL: <http://minjust.ru/ru/nko/gosreg/partii/spisok> (дата обращения: 1.10.2013).
7. Иванов М. Смешанная система вызвала замешательство. URL: <http://www.kommersant.ru/doc/2172094> (дата обращения: 17.04.2013).
8. Выборы–2013. URL: <http://izkom.ekburg.ru/399/> (дата обращения: 1.12.2013).
9. Полные итоги выборов в Екатеринбурге: финальный результат Ройзмана, провал ЕР и список депутатов гордумы. URL: <http://www.znak.com/svrdl/news/2013-09-09/1011170.html> (дата обращения: 9.09.2013).
10. Госдума отменила выборы по партийным спискам в Москве и Петербурге. URL: <http://lenta.ru/news/2013/10/22/onemandat/> (дата обращения: 05.11.2013).
11. Макаров Б. А. Отмена выборов как средство борьбы с терроризмом. URL: <http://www.bibliofond.ru/view.aspx?id=97429> (дата обращения: 10.10.2013).
12. Куликов А. Отмена выборов глав регионов себя оправдала. URL: <http://www.pravda.ru/politics/authority/kremlin/18-03-2010/1023278-otmena-0/> (дата обращения: 18.03.2010).
13. ЦИК назвал прошедшие в России выборы самыми конкурентными. URL: <http://www.km.ru/v-rossii/2013/09/08/vybory-mera-moskvy/720101-tsik-nazval-proshedshie-v-rossii-vybory-samymi-konkure> (дата обращения: 08.09.2013).
14. Кадровый резерв кремля. URL: <http://archive.kremlin.ru/articles/kadry.shtml> (дата обращения: 10.02.2014).
15. Тамара Шкель. К выборам готовы. URL: <http://www.rg.ru/2012/05/04/gubernator.html> (дата обращения: 04.05.2012).
16. Навальный А. URL: <http://navalny.livejournal.com/> (дата обращения: 16.02.2014).
17. Штаб Навального принял 49 подписей от муниципальных депутатов ЕР. URL: <http://ria.ru/politics/20130709/948539477.html> (дата обращения: 09.07.2013).
18. Прямым выбором губернаторов могут дать задний ход. URL: <http://www.bfm.ru/news/205838?doctype=article#UQIyl6P2rcs> (дата обращения: 23.01.2013).

References

1. Rezultaty vyborov deputatov Gosdumy. [The results of elections of deputies of the State Duma] URL: <http://www.rg.ru/2003/12/09/rezultaty.html> (date accessed: 15.11.2013).
2. Vystuplenie V. V. Putina pri predstavlenii ezhegodnogo Poslaniya Prezidenta Rossiyskoy Federacii Federalnomu Sobraniyu Rossiyskoy Federacii 8 iyulya 2000 g [Speech of V. V. Putin when presenting the annual President's Address to the Federal Assembly of the Russian Federation, July 8, 2000] // Ross. gaz. — 2000. — № 133.
3. Denisov S. A. Ispolzovanie norm gosudarstvennogo (konstitucionnogo) prava protiv oppozitsii [Application of provisions of state (constitutional) law against the opposition] // Konstitucionnoe i municipalnoe pravo, 2008. № 18. ISSN 1812-3767.
4. Barkovsky A. V. Partijnaya sistema Rossii na rubezhe 90–2000-kh godov [Russian party system at the turn of the 1990s-2000s] // Stranicy istorii Rossii : sb. nauchn. trudov, 2013. p. 83–88.
5. Izmenenie srokov polnomochiy prezidenta i parlamenta. [Changing the terms of office of the President and Parliament] URL: http://ria.ru/trend/term_office_president_12112008/ (date accessed: 21.10.2013).
6. Spisok zaregistrovannykh politicheskikh partiy. [List of registered political parties] URL: <http://minjust.ru/ru/nko/gosreg/partii/spisok> (date accessed: 1.10.2013).
7. Ivanov M. Smeshannaya sistema vyzvala zameshatelstvo. [Mixed system caused confusion] URL: <http://www.kommersant.ru/doc/2172094> (date accessed: 17.04.2013).
8. Vybory–2013. [Elections 2013] URL: <http://izkom.ekburg.ru/399/> (date accessed: 1.12.2013).
9. Polnye itogi vyborov v Ekaterinburge: finalny rezultat Royzmana, proval ER i spisok deputatov gordumy. [Full results of the elections in Ekaterinburg: Roizman final result, failure of United Russia party and the list of deputies of the City Duma] URL: <http://www.znak.com/svrdl/news/2013-09-09/1011170.html> (date accessed: 9.09.2013).
10. Gosduma otmenila vybory po partiynym spiskam v Moskve i Peterburge. [The State Duma overturned elections by party lists in Moscow and St. Petersburg] URL: <http://lenta.ru/news/2013/10/22/onemandat/> (date accessed: 05.11.2013).
11. Makarov B. A. Otmena vyborov kak sredstvo borby s terrorizmom. [Abolition of elections as a means of combating terrorism] URL: <http://www.bibliofond.ru/view.aspx?id=97429> (date accessed: 10.10.2013).
12. Kulikov A. Otmena vyborov glav regionov sebya opravdala. [Abolition of elections of regional leaders justified] URL: <http://www.pravda.ru/politics/authority/kremlin/18-03-2010/1023278-otmena-0/> (date accessed: 18.03.2010).
13. CIK nazval proshedshie v Rossii vybory samymi konkurentnymi. [Central Election Committee called the last elections in Russia the most competitive] URL: <http://www.km.ru/v-rossii/2013/09/08/vybory-mera-moskvy/720101-tsik-nazval-proshedshie-v-rossii-vybory-samymi-konkure> (date accessed: 08.09.2013).
14. Kadrovyy rezerv kremlya. [Kremlin staff reserve] URL: <http://archive.kremlin.ru/articles/kadry.shtml> (date accessed: 10.02.2014).
15. Tamara Shkel. K vyboram gotovy. [Ready for elections] URL: <http://www.rg.ru/2012/05/04/gubernator.html> (date accessed 04.05.2012).
16. Navalny A. URL: <http://navalny.livejournal.com/> (date accessed: 16.02.2014).
17. Shtab Navalnogo prinyal 49 podpisey ot municipalnykh deputatov ER. [Navalny's office received 49 signatures from municipal deputies of United Russia party] URL: <http://ria.ru/politics/20130709/948539477.html> (date accessed: 09.07.2013).
18. Pryamym vyboram gubernatorov mogut dat zadniy khod. [Direct elections of governors can be backed up] URL: http://www.bfm.ru/news/205838?doctype=article#_UQIy16P2rcs (date accessed: 23.01.2013).

Статья сдана в редакцию 10 декабря 2013 года

В. В. Курейко, Ю. А. Москвина

Влияние личности преподавателя на успешность студента

V. V. Kureyko, Yu. A. Moskvina

Influence of the teacher's personality on student's success

Аннотация

В данной статье рассматриваются особенности влияния личности преподавателя на успешность студента при обучении иностранному языку. Многие преподаватели считают, что проблемы, возникающие у студентов во время изучения иностранного языка, связаны с низким уровнем владения иностранным языком, и часто забывают о мотивации, о стиле преподавания и о психологических особенностях группы. Современная система образования стремится унифицировать процесс обучения, где личностные связи между студентом и преподавателем не играют большой роли. Но возможно ли принять унифицированные технологии без вреда для уровня успеваемости группы?

Перед проведением исследования были сформулированы следующие гипотезы: а) любой учитель может заменить другого без вреда для успеваемости группы и б) смена стиля преподавания (и преподавателя) сможет мотивировать студентов на изучение иностранного языка.

Исследование проведено методами анкетирования и эксперимента. Перед проведением эксперимента студенты отвечали на вопросы, связанные с целями изучения иностранного языка. Во время двухнедельного эксперимента два преподавателя меняли академические группы. Таким образом, хотя обучение и велось по одному учебнику в рамках одной учебной программы, но каждый преподаватель использовал свой стиль ведения занятия. Проанализировав результаты эксперимента, авторы делают выводы и подтверждают первую гипотезу, опровергнув вторую.

Таким образом, при сильной внешней мотивации стиль преподавания не может влиять на успешность группы. С другой стороны, результат семестрового тестирования показал, что любой преподаватель может заменить коллегу без вреда для подготовки к тесту.

Ключевые слова: мотивация, успешность, исследование.

Summary

The article discusses the specifics of influence of the teacher's personality on student's success in learning a foreign language. Many teachers believe that the problems encountered by students during the study of a foreign language are associated with low level of proficiency in foreign language, and often forget about motivation, the style of teaching, and the psychological characteristics of the group. The modern education system seeks to unify the learning process, where personal ties between student and teacher do not play a big role. Is it possible to adopt unified technologies without deteriorating performance level of the group?

Prior to the study the following hypotheses were formulated: a) Any teacher can replace another one without deterioration to the group performance, and b) change in the style of teaching (and teacher) can motivate students to study a foreign language.

The study was conducted using questionnaires and experiment. Before the experiment, students answered questions related to the objectives of learning a foreign language. During the two-week experiment two teachers changed academic groups. Thus, although training was conducted with the same textbook and the same curriculum, each teacher used his style of training. Analyzing the results of the experiment, the authors make conclusions and confirm the first hypothesis, denying second.

Thus, in the presence of strong external motivation teaching style can not affect success of the group. On the other hand, the result of a semester testing showed that any teacher can replace a colleague without detriment to preparation for the test.

Keywords: motivation, success, study.

Вячеслав Владимирович Курейко, преподаватель; кафедра иностранных языков и межкультурных коммуникаций Уральского государственного университета путей сообщения; Екатеринбург, Россия. E-mail: Slavakureiko@gmail.com.

Юлия Александровна Москвина, преподаватель; кафедра иностранных языков и межкультурных коммуникаций Уральского государственного университета путей сообщения; Екатеринбург, Россия. E-mail: moskvina_yuliya@bk.ru.

Vyacheslav Vladimirovich Kureyko, Lecturer, Foreign Languages & Cross-Cultural Communication Department, Ural State University of Railway Transport, Ekaterinburg, Russia. E-mail: Slavakureiko@gmail.com

Yuliya Alexandrovna Moskvina, Lecturer, Foreign Languages & Cross-Cultural Communication Department, Ural State University of Railway Transport, Ekaterinburg, Russia. E-mail: moskvina_yuliya@bk.ru

It is popularly believed, one of the main factors in achieving student satisfaction and getting the most out of English lessons is positive teacher-student relations. For students learning a new language, the prospect of facing a class full of people can be daunting to say the least. Students may feel that they are being «judged» by other class members, or feel less confident in their language abilities. It is very important for teacher to ensure that students feel at ease within the classroom from the offset, so they are able to relax, open up and use the language they have learnt effectively in a «no-pressure» environment.

As everybody knows, teacher can motivate or inspire his/her students. That's wide-spread opinion. But is that true?

As Gardner states «motivation is a combination of effort plus desire to achieve the goal of learning the language plus favourable attitudes towards learning the language» [1].

Many researchers believe, one teacher can explain the theme better, than the another one, because students feel that the teacher is a «real» and «approachable» person, with a friendly attitude. In the same way a teacher develops a connection with their class, students are able to connect with the teacher. It is a so-called positive motivation. On the other hand, some teachers become frustrated when a grammatical concept they have been focusing on for weeks is still being incorrectly implemented by students. Students like to feel that their teacher is fair. Usually they think: «If a teacher doesn't like me, I will never get a good mark». Sometimes it makes them think that another teacher rates them higher. Of course, it is important to not make an example of students who make errors, but instead to professionally correct them. Students try to be better at the subject, because they are simply afraid of future exams. Here we can see the example of negative motivation.

Both positive and negative motivation could lead to the same result however on the long run the overuse of negative mo-

tivation may result in problems like hating the person who uses it (a teacher) or the subject which must be studied (English language) [2].

But this approach neglects the principle of the unified technology, which is supposed to be the most appropriate at transport University [3]. At transport University positive motivation is the most important one, because it can let students participate in different international projects.

Today a lot of new methods of teaching have been adopted. One of them is the unified technology, where any teacher can start lesson in any class, using one set of materials and programs. If a teacher is ill, another one can easily replaces him.

These facts lead us to two objectives of the study:

- to find out if teachers' change makes harm the group success level;
- to find out if the change of teaching style motivate students.

In consistence with the objectives, following research question is made: Can teachers' change influence on students' success level.

For above research question, following hypothesis were formulated:

- any teacher can be replaced without any harm for the group success level;
- the change of teaching style can motivate students.

The descriptive survey research was used to carry out this study.

Descriptive research can be used to identify and classify the elements or characteristics of the subject, e.g. number of days lost because of industrial action. Quantitative techniques are most often used to collect, analyse and summarise data. Surveys involve selecting a representative and unbiased sample of subjects drawn from the group which is studied. The main methods of asking questions are by face-to-face or telephone interviews, by using questionnaires or a mixture of the two [4].

The second method is an experiment. The experiment is a situation in which a researcher attempts to objectively observe phenomena which are made to

occur in a strictly controlled situation where one or more variables are varied and the others are held constant [5].

To prove these hypothesis two teachers of foreign language department decided to make exchange and spend two weeks teaching each other's groups. On the appointed day, teachers went to their new classes and performed the duties and taught the classes of their colleague.

At the beginning of academic year students were tested by English teachers. This test had two levels. The first level included grammatical exercises, the second one involved interview with a teacher. According to the results, all first-year students were divided into three groups: elementary, pre-intermediate, intermediate. Chosen for the survey groups are referred to such specialties as Trading Business (Group A, Teacher A) and Management (Group B, Teacher B). The amount of elementary students in these groups is different. As you can see (fig. 1) group B is bigger and the percent of elementary students is higher. For the survey we chose two elementary groups which represent both specialties. The survey asked 2 student groups of the same faculty, who represented different majors.

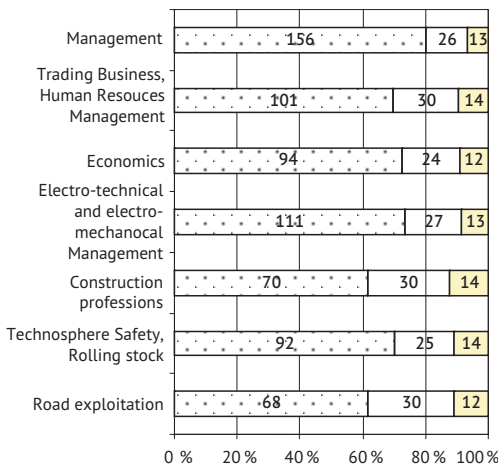


Fig. 1

- ▒ — the amount of students;
- — the amount of pre-intermediate students;
- — the amount of intermediate students

Two chosen groups were rated on the scale, where 10 points is the highest mark. The average mark of Group A is 4,2, the average mark of Group B is 3,3. It means that Group A's result of entrance test is higher. But discrepancy is not critical, so it does not imply a significant difference in the level of knowledge. The learning process was largely influenced by personal qualities of students.

The survey covered the first course, it is the period when students study basic respects of English language included into University program. Both interviewed groups are from faculty of Economics, they are taught with the same course book and they both have elementary level of English language and these are criteria by which these groups were chosen. The only difference between the groups is success level. Group B has higher success level than Group A.

Both teachers represent two different teaching styles. We chose Mosston's ideas to identify teaching style.

The «Spectrum of teaching styles» is a continuum of teaching styles categorized according to the decisions made by the teacher and/or learner in the planning (pre-impact), teaching (impact) and evaluation (post-impact) phases of the lesson. At the extreme «teacher centred» end of the Spectrum is the Command style, in which the teacher makes all the decisions across all three phases of the lesson. At the other, pupil centred, end of the Spectrum is the Self Teaching style in which the learner takes full responsibility for the learning process [6]. Between these two styles, Mosston and Ashworth have systematically identified and described a series of other styles, each with its own decision-making structure.

Style A Command — Teacher makes all the decisions.

Style B Practice — Pupils practise teacher prescribed tasks.

Style C Reciprocal — Pupils work in pairs, one as the teacher and one as the learner.

Style D Self Check — Pupils evaluate their own performance against criteria.

Style *E* Inclusion — Teacher provides alternative levels of difficulty for pupils.

Style *F* Guided Discovery — Teacher plans a target and leads the pupils to discover it.

Style *G* Problem Solving — Teacher presents a problem and pupils find their own solution.

Style *H* Individual — Teacher proposes subject matter, pupils plan and design the programme.

Style *I* Learner Initiated — Pupil decides content and plans and designs the programme.

Style *J* Self Teaching — pupils take full responsibility for the learning process.

According to this classification Teacher *A* represents Style *B* (classical method), Teacher *B* practices Style *D*.

Group *A* is close-knit, but badly amenable to discipline and teacher has to constantly keep the group in suspense to hold its attention. Group *B* is well-organized and teachable.

Any survey requires a gender picture of the group. Mostly the students who answered the questionnaire were 18 years old. This age group is represented of 58% of all interviewed; 27% of interviewed students is represented by 17 years old students. About 13% is a group of 19 years old students (fig. 2).

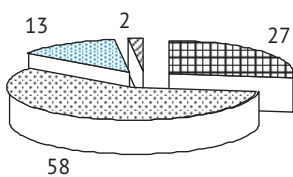


Fig. 2. Age amount of University students, %
 ■ — 17 years; ■ — 18 years;
 ■ — 19 years; ■ — 20 years

The survey covered group *A* which was taught by teacher *A* and group *B* which was taught by teacher *B*. The number of female and male students was measured in both groups. So it makes some differences in teaching style, because girls are more emotional and more sensitive to criticism than boys (fig. 3).

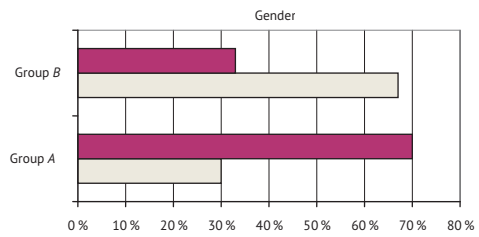


Fig. 3

■ — female; □ — male

67% of group *A* students is female and 33% is male. Almost 70% of group *B* students is male and 30% is female.

The amount of female students exceeds the number of male ones in group *A*, and vice versa the number of male students is in excess of the amount of female students in group *B* (fig. 4).

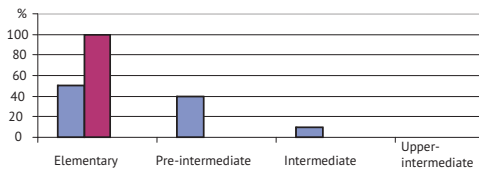


Fig. 4. Student's level of English

■ — group A; ■ — group B

The graph above gives us the information about the students' value of their English level. Although the survey was taken only in elementary groups, the students rate their skills higher. As it can be seen here all group *B* students (100%) are sure that they have elementary level. The group *A* opinion about the knowledge level differs; 50% of group *A* has an elementary level, 40% has pre-intermediate level and 10% is represented by intermediate level. But their average mark is only 4,01 out of 10. It means that they overrated their backgrounds and knowledge.

Students were asked to give their opinion about the most important skill of English level (fig. 5); 50% of group *A* students and 80% of group *B* students think that the most important skill is speaking; 20% of group *A* students and 10% group *B* students are sure that listening is the most significant one; 20% of group *A* students and 5% of group *B* students

are convinced that writing is the most useful skill. According to the opinion of both group reading is less important one (10% group B, 5% group A).

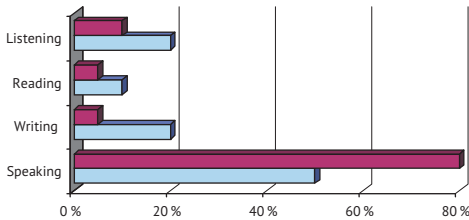


Fig. 5. The most important skills
■ – group B; ■ – group A

Before experiment students were asked why they studied English. Foreign language is one of the compulsory subjects of University program and it is also a reason why some students study it as it is shown on fig. 5. Most of the students think that knowledge of English language will help them at work, some of them like travelling and it forces them to study international language. Group B interests in English as subject. So their marks are higher. Group A is concentrated on the future work, so they actually don't want to make efforts at the present, because they start working only in 4 or 5 years. Group B wants to pass the exam, because they are afraid of being expelled. That's a negative motivation. On the other hand, they are focused on English, both as subject and as the way of communication. So we can say, Group B is both highly and negatively motivated. Group A is more interested in exam, than in future speaking English. It makes Group A motivation negative (fig. 6).

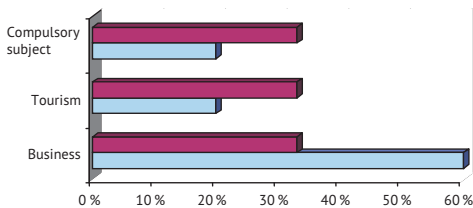


Fig. 6. Why do you study English?
■ – group B; ■ – group A

After experiment students were asked the same question. The results were approximately the same.

As students said, there are too many difficulties that prevent English studying process like laziness, lack of practice and deficiency of wish (fig. 7).

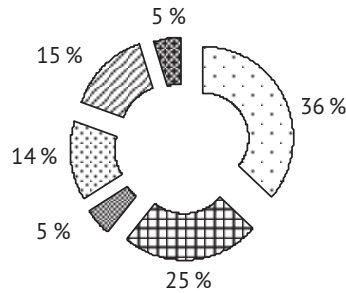


Fig. 7. What prevents you from studying English?

□ – laziness; □ – no time;
▣ – nothing prevents; ▣ – no practice;
▣ – I can't answer the question; ▣ – no wish

The graph shows that 36% of students are too lazy to study English language. The answer «nothing prevents» was given by 25% of respondents; 15% of students thinks that lack of practice interferes with studying English and we consider this answer as the objective one, but obviously, about 75% has no any objective reasons not to study English.

All students said that they got used to the teacher and for the purpose of studying the influence of teacher's personality for students' results researchers made an exchange of groups. Also students (100% in both groups) are sure that the personality of a teacher plays a huge role in education process as well as it influences on a quality of education. But the results of experiment show another picture.

During two weeks both groups were taught the same grammar spot «types of questions». They tried to get used to the teacher's way of teaching and personality and after two weeks students were asked to make a progress check. It consisted out of 4 blocks: 1) Ask the question to the statement; 2) Translate different types of question; 3) Put the words in the

correct word order; 4) Fill the gap. There were taken several grammar spots such as tenses: Present Simple, Past Simple, Future Simple, types of questions: general question, special question, alternative question, tag-question, question to the subject.

In the first block students were supposed to ask the questions to the statements, e.g.: 1) The boys are interested in sports; 2) Anna's favorite color is red; 3) Nick was in London last year.

The second block consisted of different types of questions in Russian and students had to translate them into English, e.g.: 1) Ты любишь чай или кофе? 2) Твой брат будет врачом, не так ли? 3) Кто будит тебя по утрам?

In the third block students were asked to put the questions into the correct word order, e.g.: 1) in/car?/your/Who/that/is/girl; 2) Where/you/live?/do; 3) did/go/you/yesterday?/Where.

The fourth block asked students to fill the gaps: 1) _____ is Jane a dentist or a surgeon? 2) He is a good doctor, _____? 3) _____ of the members of your family can sing well?

At the end of the research teachers found out that the teacher's personality and way of teaching don't play a big role in education process as soon as both groups showed almost equal results of progress check, but the researches knew portraits of the group and got prepared to the difficulties they could face during teaching process (fig. 8).

When the entrance test was held the results of Group A were higher therefore it was expected that their results of the test in the end of experiment would

be higher than Group B results, but as soon as Group B is highly-motivated results of the test in the end of experiment are equal. According to the test that was held in the end of December Group A average score is 69% (100% was maximum), Group B average score is 71%. Although there was the exchange of teachers between groups, we can see that the results are almost equal. Consequently, the first hypothesis is proved. Any teacher can be replaced without any harm for the group success level. Students can adapt to any teacher, and teacher's personality is not so important as students' will to study and students' personal qualities.

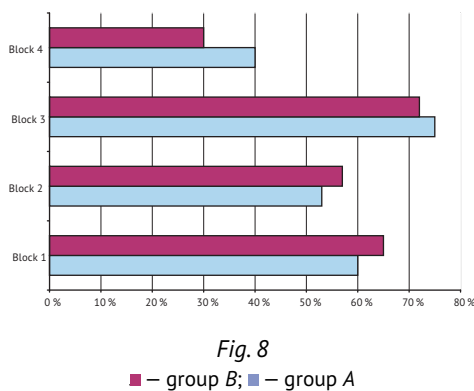


Fig. 8

■ – group B; ■ – group A

If we look at the results again, we can see that our second hypothesis is wrong as soon as the change of teaching style did not give any result. Consequently, the change of teaching style can not motivate students. Motivation plays a big role in education process, but it can not be cultivated by changing teaching style. Any teacher chooses a definite way of teaching and he or she leads students to the better results. ■

References

1. Gardner R. The socio-educational model of second language acquisition: a research paradigm. *EUROSLA Yearbook*. № 6. 2006. Pp. 237–260. ISSN: 15681491.
2. Grigorieva A. V., Moskvina Yu. A. Motivatsia studentov pri izuchenii inostrannogo yazyka. [Students' motivation for language learning] // *Herald of the USURT*, 2013. № 4. P. 54. ISSN 2079-0392.
2. Bushuev S. V., Ershova E. V., Vakalyuk A. V., Anashkina N. Y., Zagozkina I. V., Druisko N. A., Lopatina T. Y., Nazarenko T. Y., Gorshkova T. V. Organizatsia processa obucheniya inostrannomu yazyku v transportnom vuze. [Organizing the process of foreign language training at transport Universities] // *Innotrans*. 2012. № 4 (5). Pp. 48–50.

3. Colin N. Introduction to Research and Research Methods. URL: <http://www.brad.ac.uk/management/media/management/els/Introduction-to-Research-and-Research-Methods.pdf> (date accessed : 23.01.2014).
4. Rosenthal R. Experimenter Effects in Behavioural Research. New York: Appleton-Century-Crofts. 1986. 124 p.
5. Mosston M., Ashworth S. Teaching Physical Education. San Francisco: Benjamin Cummins. 2002. 37 p.

Статья сдана в редакцию 25 декабря 2014 года

Г. В. Шишкова

Социологические аспекты детерминант профессиональных деформаций

G. V. Shishkova

Sociological aspects of professional deformation determinants

Аннотация

В статье рассматриваются причины возникновения и уровни развития профессиональных деформаций личности с точки зрения социологии. Отмечается, что вопрос о профессиональных деформациях приобретает новый масштаб в связи с трансформационными процессами, происходящими в российском обществе и в мировом сообществе. Автор внедряет понятия профессиональных деформаций индивида макро- и микроуровня. Сделан вывод, что социологические аспекты профессиональных деформаций относятся к макропроцессам, протекающим в обществе на уровне страны, в то время как психологи ищут причины профессиональных деформаций личности на микроуровне.

Высказано мнение, что детерминантами профессиональных деформаций могут выступать различные факторы, причем их проявление может выражаться на различных уровнях — макро-, микро-, мезо-. Утверждается, что глобальные явления как макродетерминанты и их опосредованные проявления на уровне государств в виде разработки новых законопроектов в различных сферах общественного устройства также влияют на развитие профессиональных деформаций.

Ключевые слова: профессиональная деформация, макродетерминанты профессиональных деформаций, деструкция личности, профессиональная деятельность.

Summary

This article discusses the causes and levels of development of professional deformations of a personality from sociological point of view. It is noted that the issue of professional deformations takes on a new scale in connection with the transformation processes taking place in Russian society and the global community. The author introduces the concept of professional deformation of the individual at macro and microlevel. A conclusion is made that the sociological aspects of professional deformation are related to macro-processes occurring in the society at the country level, while psychologists are looking for reasons of professional deformations of personality at the micro-level.

It is suggested that different factors can act as professional deformation determinants, and they can be expressed at various levels — macro, micro, meso. It is suggested that global phenomena such as macro-determinants and their indirect manifestations at the country level, in the form of development of new laws in various spheres of social structure also affect the development of professional deformation.

Keywords: professional deformation, macro-determinants of professional deformation, destruction of personality, professional activity.

Галина Валерьевна Шишкова, ассистент; кафедра «Управление персоналом и социология» Уральского государственного университета путей сообщения; Екатеринбург, Россия. E-mail: trifanovag@mail.ru.

Galina Valeryevna Shishkova, Assistant; Human Resource Management & Sociology Department, Ural State University of Railway Transport, Ekaterinburg, Russia. E-mail: trifanovag@mail.ru.

Вопрос о профессиональных деформациях индивида в различных сферах деятельности приобретает особую актуальность, поскольку любые отклонения в профессиональном поведении могут иметь далеко идущие последствия как для рабочего процесса в целом, так и для самого работника. Изучение личности в условиях профессиональной деятельности становится все более важным направлением социологии и смежных с нею дисциплин, потому как содержание происходящих в российском обществе процессов во многом зависит от характера взаимодействия личности и общества, стабильности и содержания функций социальных институтов и общностей, ценностных приоритетов и ориентиров в индивидуальном и массовом сознании. Особенно важным вопросом о профессиональных деформациях личности становится в условиях появления новых профессий и усиливающейся социальной дифференциации.

Существует достаточно много определений профессиональных деформаций личности. Автор разделяет точку зрения Н. И. Шаталовой, трактующую профессиональную деформацию как дисфункциональные изменения поведения личности, «которые возникают под влиянием как внешних по отношению к личности, так и внутриличностных сил, которые действуют взаимозависимо и взаимообусловлено. Таковыми силами могут быть противоречивые тенденции поведения, социально-экономические отношения и формы жизнедеятельности в материальном и духовном производстве, в политической и бытовой сфере, во взаимных отношениях людей и т.п.» [6, с. 26]. В результате деформации происходят обратимые и необратимые изменения личности, сформированной в определенной нормативной системе.

Как социальное явление профессиональные деформации уже были отмечены в начале XX в. К. Марксом, обозначившим «профессиональный крестинизм» как ограничение или полное отсутствие интеллектуального, духов-

ного контакта с миром, герметизацию разума в жестких стандартах, а уже в 1921 г. социологом П. А. Сорокиным вводится понятие «профессиональная деформация», включающее рассмотрение форм влияния профессии на человека, исходя, преимущественно, из негативного аспекта влияния профессиональной деятельности на человека [3].

В данной статье мы остановимся на причинах профессиональных деформаций, действие которых вызывает, определяет, изменяет поведение человека и влияет на его результаты, а в нашем случае — на производительность труда. Одна и та же причина при разных условиях может вызывать неодинаковые следствия. Кроме того, происходит взаимодействие причин, что также влияет на конечный результат (в нашем рассуждении — на профессиональные деформации). В свою очередь, профессионально-деформированное поведение может оказывать обратное влияние на причины, его породившие, так как поведение не бывает пассивным по отношению к миру. Причем когда речь идет о причинно-следственных связях в описании поведения, мы говорим не только о социально-экономических причинах. Можно вести речь и о биологических истоках, связанных с природной подструктурой человека; информационных, которые все больше вторгаются в жизнь современного человека и т.п. Причины профессиональных деформаций могут быть внутренними, обусловленными особенностями личности, сложившейся ее социальной и природной подструктурами, и внешними, обусловленными влиянием тех или иных элементов окружающей среды.

Пространственное видение дифференциации причин профессиональной деформации личности позволяет представить их как многоуровневую систему (рис. 1).

Так, мировой кризис (макроуровень) оказал значительное влияние на экономику Российской Федерации, а в виде опосредованных форм это уже

выражается во внутренней экономике страны, например, в обсуждении в Государственной думе вопроса об увеличении пенсионного возраста. То есть появляется больше предпосылок для устойчивых, необратимых профессиональных деформаций у большой группы работающего населения.

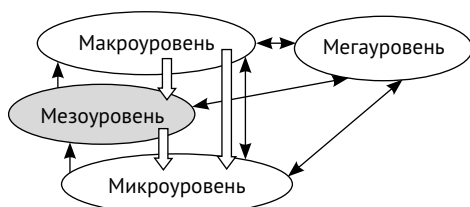


Рис.1. Многоуровневый характер детерминант профессиональных деформаций

Влияние микрофакторов на возможное развитие профессиональных деформаций без учета макроскопических общественных явлений отражается, но не является глобальным. Глобальный экономический кризис, воздействуя в первую очередь на экономические аспекты мирового сообщества, затрагивает абсолютно каждого человека. Например, неудачная игра на бирже, потеря акций или банкротство зачастую приводят человека к принятию фатального решения и рассматриваются им как последний выход из сложившейся ситуации. Но на работу всей биржи, а тем более общества это не оказывает никакого влияния.

Основной экономический ресурс глобального общества — знания. Эта ситуация предвосхищена академиком В.И. Вернадским, полагающим, что место «человека трудящегося» займет «человек учащийся». Четверть века назад концепции образования взрослых, пожизненного образования представлялись сверхинновационными образовательными тенденциями, тогда как сейчас внедряются повсеместно. Согласно материалам исследований Европейского фонда ассоциации развития менеджмента, период устаревания зна-

ний специалистов в настоящее время составляет полтора-два года. Поэтому на первый план выходит задача систематического, комплексного и непрерывного развития человеческих ресурсов, согласованного с целями и стратегией развития организации (мегауровень).

Любая профессиональная деятельность выступает причиной особенностей и противоречий личности. В связи с переходом мирового сообщества из постиндустриальной в постиндустриальную эпоху, характеризующуюся глобальными трансформационными социально-экономическими процессами, усилением роли коммуникативных и информационных технологий, количество профессий постоянно изменяется. В настоящее время, согласно Единому тарифно-квалификационному справочнику, в России насчитывается более семи тысяч названий профессий [1]. Профессия — это определенный род деятельности личности, обладающей теоретическими знаниями и практическими навыками, полученными в результате специальной подготовки и опыта работы.

Деформации — достаточно сложное явление. Одни из них ведут к изменениям личности, позитивно влияющим на производственный процесс; другие — к тому, что можно назвать противоречиями, которые создают производственные и личностные проблемы. Для того чтобы разобраться в сущности проявления профессиональных деформаций, рассмотрим причины, способствующие их появлению. Под причиной профессиональных деформаций мы будем понимать некое основание поведения человека в процессе трудовой деятельности.

Вначале покажем деформирующие факторы, которые могут встретиться, и имеют свои аналоги в работе профессионала. Каждый из них может стать типологизирующим основанием для систематизации причин профессиональных деформаций. Это: а) объективные, связанные с мезо- и макропроцессами экономической и социальной жизни

предприятия и общества, б) субъективные особенности и свойства конкретного профессионала как личности (способности, тип темперамента, психическая подвижность/ригидность, мировоззренческая независимость/податливость, личностная зрелость/незрелость и т.п.) и в) особенности выполняемой работы (трудовых обязанностей) — это профессиональные рамки, в которые поставлена личность (принципы и установки, сформировавшееся устойчивое видение картины мира, профессиональные навыки, проблематика контингента объектов приложения профессиональных усилий, должностные обязанности, условия работы и пр.).

Особенности воздействия предыдущих факторов развития, зависящие от таких параметров, как методы работы учителей, их авторитетность в детской среде, степень сформированности личностной значимости профессиональной деятельности, ощущения ответственности, эмоциональная вовлеченность в профессиональную деятельность, мотивация, ощущение миссии, сила внешнего контроля и т.д.

Воздействие текущих особенностей профессиональной деятельности: особенности конкретно выполняемой работы, мотивации труда, способов контроля, воздействия коллективных установок, стиля руководства в подразделении и организации в целом и т.п.

«Обжиг» — именно те факторы, которые способствуют деформациям поведения и закреплению их в повседневном (профессиональном) поведении личности.

Так как отмеченные факторы выступают в совокупности, происходит их наложение друг на друга, в результате чего может произойти усиление их воздействия на личность. Сочетание вышеупомянутых факторов может привести к деформациям, которые уже нельзя будет компенсировать релаксацией, отпуском или отгулами. То есть такого рода деформация станет постоянной и будет сопровождать человека до конца его жизни.

В специальной научно-исследовательской литературе присутствуют различные классификации профессий. В каждой профессии существуют свои, разные по содержанию критерии норм и патологий работников (юридические, медицинские, педагогические и т.д.). В соответствии с социальным назначением профессии, функцией, которую выполняет определенная сфера разделенного труда, определяются и критерии поведенческой нормы и профессиональные деформации.

П.А. Сорокин, рассуждая о свойствах конкретного человека, локализует личностные деформации (физиология — психофизиология — психология — социальная жизнь) и выделяет следующие их виды [4]: 1) деформации анатомического и соматического строения человека, вызванной его профессией; 2) деформации двигательных рефлексов в связи с деформацией внешности (облика) человека; 3) деформации психических переживаний и всей личности человека; 4) деформации всего образа жизни.

Изучая воздействие конкретной профессии на личность (речь шла о представителях профессий типа «человек — человек»), Ф.Э. Зеер дифференцирует их по степени общности проявления и делит на четыре уровня [2]:

1) общепрофессиональные деформации, которые присущи работникам одной профессии. Трудовое поведение личности в результате длительного выполнения профессиональной деятельности становится узнаваемым, а люди похожими друг на друга;

2) специальные профессиональные деформации проявляются в процессе овладения личностью более узкой специализацией по профессии;

3) профессионально-типологические деформации образуются в результате наложения личностных характеристик работника на структуру своей деятельности. Появление таких деформаций не обусловлено выполнением определенной профессиональной деятельности и может проявляться у представителей любых профессий;

4) индивидуализированные деформации возникают вследствие многолетнего выполнения индивидом определенной профессиональной деятельности и выражаются в появлении особых гипертрофированных качеств личности.

Вследствие развития деформаций происходят изменения поведения, что влияет и на результаты профессиональной деятельности. Как правило, наблюдается снижение эффективности и качества труда, поскольку в коллективе возможно появление напряженной социально-психологической обстановки и образование конфликтов, нарушение целостности восприятия мира личностью, снижение ее адаптивности и устойчивости, социальная нестабильность индивида, его неудовлетворенность жизнью и т.д.

Существует еще несколько оснований для выявления причин профессиональных деформаций личности. Это, например, особенности ролевого поведения, среди которых можно выделить следующие: непонимание выполняемой роли индивидом, неправильное вхождение в роль и выход из нее, неопределенные границы существования «Я-профессионального» и «Я-человеческого», сущность содержания роли, различное проигрывание одной и той же роли в зависимости от индивидуальных качеств личности, субъективное отождествление себя с выполняемой ролью.

Определение причин возникновения профессиональных деформаций с помощью ролевой теории личности особенно актуально для профессий типа «человек — человек».

К причинам возникновения профессиональных деформаций личности с точки зрения теории управления можно отнести: недостаточный контроль руководства над своими подчиненными и, как следствие, безнаказанность поступков работников, нечеткие руководящие указания и отсутствие (или ошибочность) критериев для оценки деятельности работников, недостатки в планировании и организации труда работников, состояние социально-психологического климата в коллективе.

Причинами профессиональных деформаций социально-организационного характера являются замкнутость индивида и нежелание делиться результатами своей деятельности, использование неоправданных средств для достижения целей организации, перегруженность. В результате — нервозность и переутомление, отсутствие дисциплины и неправильное понимание норм поведения на рабочем месте, самоуверенность, неприятие законодательных актов в области регулирования трудового поведения, неуверенность в собственном мнении, непонимание целей и характера работы, отсутствие желания заниматься данной профессиональной деятельностью, неблагоприятные взаимоотношения в семье.

Детерминантами профессиональных деформаций могут быть условия профессиональной деятельности, к которым можно отнести профессиональные вредности, монотонию, избыточную изоляцию человека в течение рабочего дня, а также социально-психологические факторы взаимодействия людей, негативное влияние руководителей и коллег по работе и т.п.

Одну из причин можно назвать общим словом «дефицит». Среди них можно указать отсутствие профессионального опыта, дефицит ресурсов для выполнения деятельности, невнимание руководителя, дефицит способности к самокритике (например, когда человека портит его высокое должностное положение и обладание властью), «дефицит возможности сравнения», когда человек много лет работает на одном предприятии в одной и той же должности, не имея примера для подражания или сравнения.

Под профессиональными привычками понимается набор автоматизированных действий человека, возникающих в ходе долговременного выполнения трудовой деятельности. Часто привычки формируются незаметно для самой личности, а иногда и против воли человека. Так, черствость медицинских работников к пациентам рассматривается как часть профессионально-деформированного поведения; сокрытие

истинной информации от покупателей и приукрашивание товара — это качества, которые могут возникнуть у работников торговли; менторский тон и стремление научить каждого — привычки, формирующиеся в педагогической сфере деятельности. Профессиональные привычки, возникающие вследствие издержек профессии, как правило, носят отрицательный характер и создают целый комплекс причин для развития деформаций.

Ключевым и определяющим моментом была и остается специфика деятельности индивида. Одни профессии имеют более сложную структуру и требуют повышенной ответственности перед обществом — врач, педагог, полицейский, а значит, представители таких профессий обладают более высоким риском возникновения профессиональных деформаций; другие профессии — агроном, технолог, экономист, токарь — менее опасны с точки зрения возможности приобретения профессиональных деформаций.

Н. С. Пряжников отмечает детерминанты, связанные со становлением профессионала [5]: неосознаваемые и осознаваемые неудачные мотивы выбора (либо не соответствующие реальности, либо имеющие негативную направленность); деструкции несоответствия ожиданиям в начале профессиональной деятельности (первые же неудачи побуждают искать «кардинальные» методы); образование стереотипов профессионального поведения (с одной стороны, стереотипы придают работе стабильность, помогают в формировании индивидуального стиля труда, но, с другой, они мешают адекватно действовать в нестандартных ситуациях, которые достаточно в любой работе); разные формы психологических защит, позволяющих человеку снижать степень неопределенности, снижать психическую напряженность (это рационализация, отрицание, проекция, идентификация, отчуждение); эмоциональная напряженность, часто повторяющиеся отрицательные эмоциональные состояния (синдром «эмоционального выгора-

ния»); на стадии профессионализации (особенно для социомических профессий) по мере становления индивидуального стиля деятельности снижается уровень профессиональной активности, и возникают условия для стагнации профессионального развития.

Мы показали возможные причины профессиональных деформаций. Но задача состоит не только в изучении, классификации видов и типов профессиональных деформаций, а и в разработке рекомендаций, направленных на своевременное предотвращение возникновения профессиональных деформаций личности.

В таблице представлены неоднозначные последствия, которые могут возникнуть в результате выполнения профессиональной деятельности. Часть из них можно отнести к позитивным изменениям, соответствующим понятию «личностный рост», вторую же часть следует трактовать как негативные последствия профессиональной деятельности.

Последствия профессиональной деятельности

Позитивные последствия (личностный рост)	Негативные последствия (профессиональные деформации)
Более глубокая идентификация себя и своей личности	Проецирование негативной ситуации на себя и своих близких, непонимание окружающих людей и проблематики происходящих событий
Получение жизненного и профессионального опыта	Навязчивая диагностика себя и окружающих (наешивание ярлыков и интерпретация поступков)
Способность к рефлексии	Позиция самоустранения, избегания
Навыки конструктивного нахождения выхода из критических ситуаций, основанного на опыте	Чрезмерный самоконтроль, критическое отношение к себе и окружающим, завышение планки
Коммуникационные навыки	Гиперрефлексия
Способность к эмпатии	Пресыщение общением, эмоциональная холодность
Развитие толерантности к оппонентам	Нетерпимость к чужому мнению

Заблаговременное выявление возможных причин, провоцирующих развитие профессиональных деформаций, внимательное отношение руководства к своим подчиненным позволит сохранить здорового, полноценного, опытного работника, повысить эффективность профессиональной деятельности. ■

Литература

1. Единый тарифно-квалификационный справочник работ и профессий рабочих с последними изменениями от 17 мая 2001 г. URL: <http://base.consultant.ru/cons/cgi/online.cgi?req=doc; base=LAW; n=92907> (дата обращения: 12.12.2013).
2. Зеер Э. Ф. Психология профессий : учеб. пособие для студентов вузов. — 2-е изд., перераб., доп. — М. : Академический проект; Екатеринбург : Деловая книга, 2003. — С. 239–241.
3. Сорокин П. А. Система социологии. — М. : Изд-во «Астрель», 2008. С. 176.
4. Сорокин П. А. Общедоступный учебник социологии : статьи разных лет. — М., 1994. С. 335.
5. Пряжников Н. С. Психология труда и человеческого достоинства : учеб. пособие для студ. Высш. учеб. заведений / Н. С. Пряжников, Е. Ю. Пряжникова. 4-е изд., стер. — М. : Издательский центр «Академия», 2007.
6. Шаталова Н. И. Деформации трудового потенциала работника // Социологические исследования, № 7. 2000. ISSN 0132-1625.

References

1. Ediny tarifno-kvalifikacionny spravochnik rabot i professiy rabochikh s poslednimi izmeneniyami ot 17 maya 2001 g. [Single wage-rate reference book of jobs and professions with the latest changes as of May 17, 2001] URL: <http://base.consultant.ru/cons/cgi/online.cgi?req=doc; base=LAW; n=92907> (date accessed: 12.12.2013).
2. Zeer E. F. Psikhologiya professiy: ucheb. posobie dlya studentov vuzov. [Professions psychology : a textbook for students] — 2nd ed., Rev., Ext. — M. : Akademicheskii proekt; Ekaterinburg : Delovaya kniga, 2003. — P. 239–241.
3. Sorokin P. A. Sistema sociologii. [Sociology system] — M. : Izd-vo Astrel, 2008. p. 176.
4. Sorokin P. A. Obschedostupny uchebnik sociologii: statyi raznykh let. [Popular sociology textbook: articles from various years] — M., 1994. P. 335.
5. Pryazhnikov N. S. Psikhologiya truda i chelovecheskogo dostoinstva : ucheb. posobie dlya stud. Vyssh. ucheb. zavedeniy [Psychology of labor and human dignity : a textbook for universities] / N. S. Pryazhnikov, E. Yu. Pryazhnikova. 4-e izd., ster. — M. : Izdatelskiy centr Akademiya, 2007.
6. Shatalova N. I. Deformacii trudovogo potenciala rabotnika [Deformation of labor potential of employee] // Sociologicheskie issledovaniya, № 7. 2000. ISSN 0132-1625.

Статья сдана в редакцию 19 декабря 2013 года

А. О. Богатырko, А. В. Григорьева

Индивидуально-образовательный маршрут студента как механизм реализации лично-ориентированного обучения

A. O. Bogatyрко, A. V. Grigoryeva

Individual educational route of a student as a personally-oriented approach implementing mechanism

Аннотация

Статья посвящена актуальной проблеме — использованию индивидуально-образовательных маршрутов в процессе обучения иностранному языку (данная тема малоизученна и требует дальнейших исследований). В статье раскрывается необходимость реализации лично-ориентированного подхода в обучении. Основное внимание обращается на необходимость реализации лично-ориентированного подхода в обучении с использованием индивидуально-образовательных маршрутов при формировании грамматических навыков.

В соответствии с провозглашенными принципами гуманизации и демократизации, сменились ценностные ориентации общества — в качестве самой большой ценности признается свободная, развитая и образованная личность, способная жить и творить в условиях постоянно меняющегося мира. Общая ориентация системы образования на лично-ориентированное обучение потребовала значительных изменений в структуре, содержании и технологиях подготовки будущих специалистов. Гуманитаризация, дифференциация и демократизация образования сделали систему более гибкой, вариативной и открытой. Данные преобразования обусловили необходимость использования индивидуально-образовательных маршрутов, так как индивидуально-образовательный маршрут позволяет каждому улучшить и пополнить знания при проектировании своей учебной деятельности.

На основе анализа психолого-педагогической литературы авторы раскрывают сущность и содержание лично-ориентированного обучения, определяют структуру и технологию проектирования индивидуально-образовательного маршрута, обосновывают необходимость реализации лично-ориентированного подхода при обучении иностранному языку.

Выбор в качестве объекта исследования такого языкового аспекта, как грамматика, обусловлен прежде всего состоянием и проблемами современной методики преподавания иностранного языка. В связи с увеличением роли коммуникативного метода в обучении иностранному языку в последнее время наметилась тенденция к сокращению роли грамматики, что привело к значительному увеличению количества ошибок в речи студентов. По мнению авторов, обучению грамматике должно уделяться особое внимание: основная работа должна быть направлена сначала на выработку автоматизма владения грамматическим явлением, а затем уже умения применять его в речи. Авторы полагают, что решение данных задач может способствовать обучению по индивидуальным образовательным маршрутам на занятиях иностранного языка.

Александра Викторовна Григорьева, преподаватель; кафедра иностранных языков и межкультурных коммуникаций Уральского государственного университета путей сообщения Екатеринбург, Россия. E-mail: karnaukhova_a@mail.ru.

Арина Олеговна Богатырko, преподаватель; кафедра иностранных языков и межкультурных коммуникаций Уральского государственного университета путей сообщения Екатеринбург, Россия. E-mail: bogatyрко.arina@mail.ru.

Alexandra Viktorovna Grigoryeva, Lecturer, Foreign Languages & Cross-Cultural Communication Department, Ural State University of Railway Transport, Ekaterinburg, Russia. E-mail: karnaukhova_a@mail.ru.

Arina Olegovna Bogatyрко, Lecturer, Foreign Languages & Cross-Cultural Communication Department, Ural State University of Railway Transport, Ekaterinburg, Russia. E-mail: bogatyрко.arina@mail.ru.

Согласно объекту исследования, проведены следующие диагностики: изучение уровня развития самостоятельной познавательной деятельности и определение уровня сформированности основных грамматических навыков студентов первого курса. В качестве методов исследования использовались теоретический анализ литературы, тестирование, анкетирование, беседа и методы формальной логики (анализ, синтез, классификация, сравнение).

Проанализировав результаты исследования, авторы пришли к заключению, что данный образовательный метод будет способствовать повышению как общего уровня знаний учащихся, так и сформированности грамматических навыков в рамках определенной темы.

Ключевые слова: индивидуально-образовательный маршрут, личностно-ориентированное обучение, самореализация, самоконтроль, самоопределение.

Summary

The article is devoted to the actual problem — the use of individual educational routes in the process of learning a foreign language (the topic is poorly explored and requires further research). The paper reveals the need to implement a personally-oriented approach to learning. It focuses on the need to implement a student-centered approach to learning using individual educational routes in the formation of grammar skills.

In accordance with the proclaimed principles of humanization and democratization, society value orientation has changed — the largest value is recognized as free, developed and educated individual, capable to live and create in a constantly changing world. The general orientation of the education system towards personally-oriented learning demanded significant changes to the structure, content and technology training of future specialists. Humanization, differentiation and democratization of education made the system more flexible, variable and open. These transformations determined the use of individual educational routes as the individual educational route allows everyone to improve and enrich the knowledge in the design of educational activity.

Based on the analysis of psychological and pedagogical literature, the authors reveal the essence and content of personally-oriented learning, determine the structure and technology of designing individual educational route, justify the need for implementation of a student-centered approach to learning a foreign language.

The selection of grammar language aspect as the study object is primarily determined by the state and the problems of the modern methods of foreign language teaching. Due to the increasing role of communicative method in learning a foreign language, recently the role of grammar tends to decline, which leads to significant increase in the number of errors in the speech of students. According to the authors, learning grammar should be given particular attention: the main work should be aimed first at generation of automaticity of possession of a grammatical phenomenon, and then at the ability to apply it in a speech. The authors believe that solving these problems can contribute to training on individual educational routes in foreign language classes.

According to the research object, the following diagnosis has been carried out: study of the level of development of independent cognitive activity and estimation of the development level of basic grammar skills of first-year students. The research methods included theoretical analysis of the literature, testing, questioning, conversation and formal logic methods (analysis, synthesis, classification, comparison).

After analyzing the results of the study, the authors concluded that the educational method will enhance both the overall level of students' knowledge and development of grammatical skills within a particular theme.

Keywords: individual educational route, student-centered learning, self-actualization, self-control, self-determination.

During last decades the priorities in Russian educational system has changed a lot. Modern educational paradigm is focused on developing of creative abilities and making individual culture. Today the progress of society is only possible if people are able to look for ways to provide their spiritual and financially safe life and show personal creativity.

These transformations that have happened in the political, economic and social sphere caused need of realization personally-oriented approach in training. Valuable orientations have changed. According to the proclaimed principles of humanization and society democratization, the greatest value is the free, developed and educated personality that is capable to live and create in the constantly changing world conditions.

The analysis of pedagogical literature showed that there are various definitions of the concept «personally-oriented training».

Personally oriented training is focused on a student as a fundamental value of the educational process. It creates conditions for the formation of personal qualities, promotes the development of thinking and helps to become creative and active. Values of personality-oriented training are people in all their diversity [1].

Personnel-oriented training is not just consideration of subject characteristics, it is another training organization, which does not involve «consideration» and assumes «inclusion» of personality features or subjective experience. The aim of personally-oriented training is the development of self-realization, self-development, adaptation, self-control, self-defense, self-education mechanisms that are necessary for formation of an original personal image [2].

Personally-oriented training is the type of training in which the interaction between the subjects of training is focused on their personal characteristics [3].

The foundation of personal-oriented training is the principles of humanistic direction in philosophy, psychology and

pedagogics, developed by Karl Rogers.

The first, the individual is situated in the center of constantly changing world. The world of perception of surrounding reality is significant for everyone, this inner world cannot be up to the end learned by anybody from the outside.

The second, the person perceives surrounding reality through a prism of own relation and understanding.

The third, the individual aspires to self-knowledge and self-realization, he possesses internal ability to self-improvement.

The fourth, the mutual understanding necessary for development, can be reached only as a result of communication [3].

The main ideas of personally-oriented training are:

- the theory is understood as especially individual activity of a student. This activity is directed on transformation of socially-significant models that have been set in training;
- assimilation of knowledge from the purpose turns into the means of the student development. They help consider his or her opportunities and individually-significant values [4].

Every teacher has a task to organize training process so that it possesses system of the functions corresponding to the personality structure and at the same time it generally forms the personality. Personally-oriented training provides development and self-development of the student's identity, according to his specific features. Personally-oriented training gives to each student opportunity to learn and realize himself in educational activity. The purpose of personally-oriented training is maintenance and development of self-realization, self-control, self-determination mechanisms that are necessary for formation of an original personal image and dialogical interaction with people, nature, culture and civilization [5].

Self-realization is a process and a result of the maximum individual development and inclinations and abilities of the person that are realized in practical

affairs. It is also the aspiration of the personality to permanent self-improvement. Self-control means that person constantly compares his or her acts, intentions with actions of other people. It is important to be guided by public interests, however you should not lose your unique identity. Self-determination is a formation of a moral position of the personality. Self-determination is a basic personality — stylistic way of responding to the circumstances of life and lifestyle [5].

The paradigm of personnel-oriented training is based on the five points that became the main provisions of the design of individual educational route.

The first, education is a process of person's formation by finding his unique identity, spirituality and creative beginning.

The second, the teacher recognizes that every student has a personal sense in his or her acts. There is also a personal importance on which it is necessary to rely in pedagogical process (humane approach).

The third, it is important to keep and restore the meaning of life, a personal liberty, moral, corporal and spiritual health in the person.

The fourth, education is aimed at satisfaction of people's needs such as freedom of choice, actions, acts, positions, personal responsibility, self-realization, self-determination.

The fifth, pedagogical technology is based on transition from monologue to dialogue, from social control to self-development [9].

In order to make the possibility of self-government to appear in the learning process it is necessary to include students in the process of development of important knowledge, self-determination, self-development of their own educative design process.

The realization of these goals requires the provision of free choice of educational route, the acquirement of skills to build their own development programs.

The individual educational route is a personal path of realization of intellectual, emotional and volitional, creative, spiritual and moral student's potential

in the educational process, in accordance with his or her personal preferences and needs, and the social order of society [6].

The individual educational route is the structured action program of students at a certain training stage [7].

It is a designed together with a teacher variable structure of learning activities that provides students with the position of the subject selection and development of educational content [8].

The value of individually-educational route is that it allows anyone on the basis of self-assessment to improve their knowledge and skills in the design of the educational activity.

Theoretical analysis of the pedagogical literature suggests the concept duality of «individual educational route». Many scholars consider the individual educational route in the whole educational process and in the specific academic discipline. Therefore, we can assume that individual educational route can be used for specific academic subjects.

Practical organization of individual educational route becomes actual within a particular theme.

During our scientific research we carried out a number of diagnostics. We studied a level of development of independent cognitive activity and a level of development of the main grammatical skills of the first-year students. There were used the following methods of research: theoretical analysis of the literature, testing, questioning, conversation and methods of formal logic (analysis, synthesis, classification of comparison).

The researchers have found that the survey should have been taken by 110 first-year students, who represented Economics Faculty. 56% of students who took part in the research were 18 years old, 44% of students are represented by 17 years old.

More than a half of the students at economical specialties is female students (58%) and 42% of students are male. They have been studying English since 11 years old. The level of English can be estimated as elementary.

According to the object of our research the following diagnostics were conducted:

- 1) the level of development of independent cognitive activity of students;
- 2) the level of development of the grammatical skills on the subject «Present Simple» (the grammar test).

In order to determine the level of development of individual students' cognitive activity, we used methodology of studying the rigidity of thinking because the design of individual educational route is impossible without independent productive activity of students [12]*.

The choice of this technique is due to the possibility of using this diagnostic method to determine the main form of activity used to solve various tasks. We also expected to explore the reproductive activity that implies a search for some new, sometimes unconventional solutions and in accordance with it to reveal the level of students' independent cognitive activity.

Pidkasisty P. I. identifies the following levels of development of individual students' cognitive activity: the identification level, the level of reproduction, the productive level and the level of independent creative activity [14].

The experimental material consisted of 10 logical operations. Students should solve these problems and write the sequence of operations.

The first five tasks have only one solution, which involves the reproductive mode of action. Tasks 6–10 require finding a new decision or other mode of action.

Analysis of the results of the first five tasks showed that about 60% of students (66 people) correctly solved five tasks; 40% (44 people) correctly solved three of the five tasks. Thus, it can be concluded that 60% of the students (66 people) have well developed reproductive level of independent activity.

At this level activity is aimed at the perception of information about the properties of the object. At the reproduction level people begin to generalize techniques and methods of cognitive activi-

ty, transfer them to the solution of complex problems.

Analysis of the results of the second five tasks showed that 70% of students (77 people) have solved one problem of five ones using new ways and their level of development of independent cognitive activity can be defined as reproductive; 30% of students (33 people) solved three tasks of five ones using a new method. It says that they have developed a productive level of activity. This level of independent work is based on the ability of inductive and deductive conclusions and generalization.

10% of students (11 people) solved four of five tasks using a new method and their level of self-sufficiency is defined as the level of independent creative activity. This means that students apply existing knowledge to solve problems in new situations [13].

The diagnostic results are presented in fig.1.

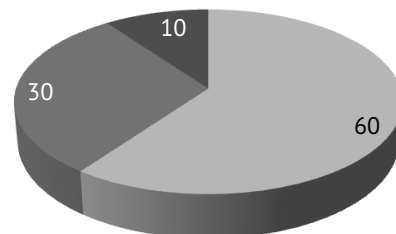


Fig. 1. Level of independent students activity,%
 ■ – reproductive level;
 ■ – productive level;
 ■ – level of creative activity

Thus, the analysis of the data leads to the following conclusion. The graph above gives us the information that 30% of students (33 people) are at the productive level of independence, 60% of students (66 people) are at the reproductive level of activity and 10% of students (11 people) have the level of independent creative activity. The data confirms the necessity and urgency of developing individual educational route for these students.

*Rigidity is inertia, inflexibility of thinking and avoidance of new solutions [13].

Development of individual educational route for students requires studying the level of formation of grammatical skills. For this purpose students were tested at the beginning of the term. The theme of the questionnaire was «Present Simple». This tense were studied at school. At the University it was repeated with students. The third class the grammar test was performed and it was compiled in accordance with the operations of control of grammar skills. The level of development of receptive and productive grammar skills was tested. One point was raised for each correct answer. The maximum number of points was 45. The level of grammar skills development determined number of points and the number of performed operations.

If students get from 30 to 45 points, it means that grammar skills are formed. If they get from 15 to 29 points, the grammar skills are partially formed. And the grammar skills are not formed, if students only get 14 points or less. Test results are shown in fig. 2–4.

According to figure 2, 70% of the students (77 people) have a developed receptive grammar skill and 30% of students (33 people) have an undeveloped receptive grammar skill.

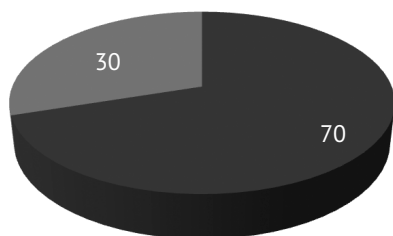


Fig. 2. The level of development of receptive grammar skills,%
■ – developed; ■ – undeveloped

As you can see (fig. 3), only 20% of the students (22 people) have a developed productive grammar skill and 80% of students (88 people) have an undeveloped productive grammar skill.

According to the test results, 20% of the students (22 people) have developed receptive and productive grammar skills.

These students may build the sentences in the «Present Simple» tense, differentiate it from other grammar phenomena, use this tense as well in speech as in writing.

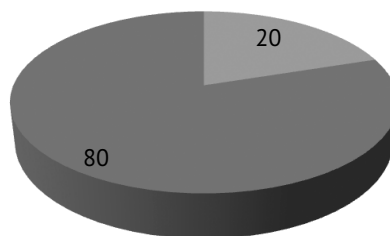


Fig. 3. The level of development of productive grammar skills,%
■ – developed; ■ – undeveloped

Half of students 50% (55 people) has a partly developed grammar skill. Students can choose the right grammar form, but they have difficulty in the use of this tense as well in speech as in writing.

And 30% of students (33 people) have an undeveloped grammar skill. These students do not recognize grammatical phenomena in a sentence, they cannot use them in spoken and written speech.

You can see the test results in figure 4.

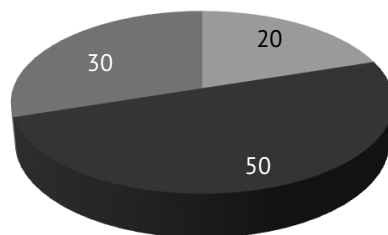


Fig. 4. The level of development of grammar skills,%
■ – developed; ■ – partly developed; ■ – undeveloped

When comparing the results of two diagnostics the following patterns were revealed:

20% of students (22 people) have developed grammar skills on the topic and they exhibit personality traits such as independence and responsibility. Their level of independent activity is defined as the level of independent creative activity;

50% of students (55 people) have undeveloped productive grammar skills but they have developed receptive grammar skills. These students are showing themselves as independent people and they are on a productive level of independent activity;

30% of students (33 people) have undeveloped productive and receptive grammar skills. They are on the reproductive level of independent activity.

Diagnostics results revealed that the organization of training on individual educational route will enhance both the overall level of students' knowledge and skills in the context of formation of a particular topic.

This survey can be used in order to create individual educational route for interviewed students. It will help them not only to improve their knowledge of English but also to develop their knowledge of other subjects.

It is necessary to realize personally-oriented training in English language teaching at university because modern society requires the development of specialist, his or her communicative abilities, in order to allow them to enter into the world community and to operate successfully in it. The use of individual educational routes helps to realize personnel-oriented training as well as to individualize and differentiate the learning process. ■

Литература

1. Ковалева О. И. Личностно-ориентированное обучение студентов современных вузов как фактор сохранности здоровья : автореф. дис. ... на соиск. уч. ст. канд. пед. наук. Ставрополь, 2004. 28 с.
2. Алексеев А. Н. Личностно-ориентированное обучение: вопросы теории и практики. Тюменский государственный университет, 1996. 216 с.
3. Селевко Г. К. Современные образовательные технологии : учеб. пособие. М. : Народное образование, 1998. 98 с.
4. Якиманская И. С. Технология личностно-ориентированного образования // Директор школы. Спецвыпуск. 2000. № 7.
5. Бондаревская Е. В. Гуманистическая парадигма личностно-ориентированного образования // Педагогика. 1997. № 4. С. 17.
6. Фролова С. В. Индивидуальный образовательный маршрут как способ индивидуализации воспитательного процесса в вузе // Молодой ученый. 2013. № 9. С. 418–420.
7. Марсова С. Е. Индивидуальный образовательный маршрут студента в системе непрерывного образования. URL: <http://www.kpinfo.org/activities/research/conferences/conference-internet-2013-april/80-razvitie-pedagogicheskogo-obrazovaniya-v-mire/471-3-17> (дата обращения: 17.02.2014).
8. Башмаков М. И. Индивидуальная программа. URL: <http://zdd.1september.ru/2005/04/10.htm> (дата обращения: 26.12.2013).
9. Лоренц В. В. Проектирование индивидуально-образовательного маршрута как условие подготовки будущего учителя к профессиональной деятельности : дис. ... на соиск. уч. ст. канд. пед. наук. Омск, 2001. 250 с.
10. Шадриков В. Д. Личностно-ориентированное обучение // Педагогика. 1994. № 5. С. 66.
11. Тряпицына А. П. Теория проектирования образовательных программ // Петербургская школа. 1998. С. 79–90.
12. Пидкасистый П. И. Педагогика : учеб. пособие для студентов педагогических вузов и педагогических колледжей. — М. : Педагогическое общество России, 1998. 640 с.
13. Леонтьев В. Г. Проблемы мотивации учения // Педагогика. 1998. № 1. С. 68.

References

1. Kovaleva O. I. Lichnostno-orientirovannoe obuchenie studentov sovremennykh vuzov kak faktor sokhrannosti zdorovya : avtoref. dis. ... na soisk. uch. st. kand. ped. nauk. [Student-centered learning in modern universities as a factor of safety of health. Synopsis of PhD in Pedagogics thesis] Stavropol, 2004. 28 p.
2. Alekseev A. N. Lichnostno-orientirovannoe obuchenie: voprosy teorii i praktiki. [Student-centered learning: theory and practice issues] Tyumenskiy gosudarstvenny universitet, 1996. 216 p.

3. Selevko G. K. *Sovremennyye obrazovatelnye tekhnologii : ucheb. posobie*. [Modern educational technologies : a textbook] M. : Narodnoe obrazovanie, 1998. 98 с.
4. Yakimanskaya I. S. *Tekhnologiya lichnostno-orientirovannogo obrazovaniya*. [Student-centered learning technology] // *Direktor shkoly. Spetsvypusk*. 2000. № 7.
5. Bondarevskaya E. V. *Gumanisticheskaya paradigma lichnostno-orientirovannogo obrazovaniya* [Humanist paradigm of student-centered learning] // *Pedagogika*. 1997. № 4. P. 17.
6. Frolova S. V. *Individualny obrazovatelny marshrut kak sposob individualizatsii vospitatelnogo processa v vuzе* [Individual educational route as a way to customize the educational process in university] // *Molodoy ucheny*. 2013. № 9. P. 418–420.
7. Marsova S. E. *Individualny obrazovatelny marshrut studenta v sisteme nepreryvnogo obrazovaniya*. [Individual educational route of a student in continuing education system] URL: <http://www.kpinfo.org/activities/research/conferences/conference-internet-2013-april/80-razvitiye-pedagogicheskogo-obrazovaniya-v-mire/471-3-17> (date accessed: 17.02.2014).
8. Bashmakov M. I. *Individualnaya programma*. [Individual program] URL: <http://zdd.1september.ru/2005/04/10.htm> (date accessed: 26.12.2013).
9. Lorenc V. V. *Proektirovanie individualno-obrazovatel'nogo marshruta kak uslovie podgotovki buduschego uchitelya k professional'noy deyatelnosti : dis. ... na soisk. uch. st. kand. ped. nauk*. [Designing individual educational path as a condition of training of future teachers to professional occupation. Synopsis of PhD in Pedagogics thesis] : Omsk, 2001. 250 p.
10. Shadrikov V. D. *Lichnostno-orientirovannoe obuchenie* [Student-centered learning] // *Pedagogika*. 1994. № 5. p. 66.
11. Tryapitsyna A. P. *Teoriya proektirovaniya obrazovatelnykh programm* // *Peterburgskaya shkola*. [Theory of designing educational programs] 1998. P. 79–90.
12. Pidkasisty P. I. *Pedagogika : ucheb. posobie dlya studentov pedagogicheskikh vuzov i pedagogicheskikh kolledzhey*. [Education science : a textbook for pedagogic universities and colleges] — M. : Pedagogicheskoe obschestvo Rossii, 1998. 640 p.
13. Leontyev V. G. *Problemy motivatsii ucheniya* [Learning motivation issues] // *Pedagogika*. 1998. № 1. P. 68.

Статья сдана в редакцию 1 декабря 2013 года

Уважаемые коллеги!

Информирую вас о требованиях, предъявляемых к оформлению статей.

При наборе используйте Word-2003 или Word-2007; шрифт (по всему тексту, в том числе в рисунках и таблицах) — тип Times, размер шрифта — 14, межстрочное расстояние — 1,5, абзацный отступ — 1,25 (1,27) см, поля — 2 см; расстановка переносов по всему тексту — автоматическая.

Набор формул: простые формулы и сочетания символов ($x^2 < y^2$; $E = mc^2$; $a^2 + b^2 = c^2$; Q_{i-1} ; ψ_j) — только в текстовом режиме, сложные

$$(s^2 = \frac{1}{n-1} \left[\sum_{j=1}^e x_j^2 n_j - \frac{1}{n} \left(\sum_{j=1}^e x_j n_j \right)^2 \right]; \left(\frac{\sigma_a}{[n]} \right)$$

или S_i^m) — только в редакторе формул

Equation или в MathType.

Написание букв: русские (а, б, в, А, Б, В), греческие (Θ, Σ, Ω, Ψ, α, β, δ, ε, λ, π), а также цифры и функции (1, 2, 3; I, II, III; max, lg, sin и т.п.) пишутся только прямо; латинские (a, b, n, A, B, N и т.д.) — только курсивом. Исключение — курсив во вспомогательном тексте (слова «Таблица» и «Рис.», примечания в рисунках и ссылки в тексте на эти примечания).

Оформление текста: левый верхний край — инициалы, фамилия; заголовок — все буквы ПРОПИСНЫЕ, жирные, расположение — по центру набора; таблиц и рисунков: в таблицах размер шрифта — на полтора-два размера меньше, чем в основном тексте (11,5–12), расположение текста в «шапке» таблицы — по центру, в столбцах — по ширине; межстрочное расстояние — 1; слово «Таблица» — курсивное начертание, в правый край таблицы; название таблицы — начертание нормальное (прямое), расположение — по центру таблицы. В рисунках (графиках, диаграммах): размер подрисуноч-

ной подписи — 14, расположение — по центру набора, слово «Рис.» — курсив, название рисунка — нормальное начертание, описание рисунка (экспликация) — нормальное начертание, условные обозначения — курсивное начертание, их расшифровка — нормальное. Расположение таблиц и рисунков — строго после ссылки на них.

Кроме того, рисунки обязательно прилагаются к материалу (один рисунок — один файл; формат — *.jpg).

Ссылки на литературу в тексте пишутся в квадратных скобках ([1], [1, 2] или [3–5]); нумерация сквозная. Список литературы/источников оформляется по ГОСТ 7.0.5–2008.

В конце статьи обязательно ставится дата отсылки материала в редакцию.

Объем статьи — не более 14-ти страниц.

Название файла: Фамилия. Первое слово заголовка. Многоточие. Последнее слово заголовка (Сидоров. Синтез... электроприводом).

К материалу (статье) обязательно прилагаются (отдельным файлом): УДК, сведения об авторе, аннотация, ключевые слова (название файла: УДК 000. Сидоров. Синтез... электроприводом).

Материалы для очередного номера журнала «Вестник УрГУПС» принимаются до 30 числа первого месяца квартала (до 30-го января, 30-го апреля, до 30-го июля, до 30-го октября). Материалы, поступившие в редакцию после 30-го числа, будут опубликованы только в следующем номере.

Успешной работы!

*Л. Барышникова,
литературный и выпускающий
редактор журнала «Вестник УрГУПС»*

